

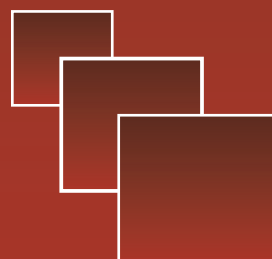
Вестник

Уральского
государственного
университета
путей сообщения

Научный журнал

Herald
of the Ural State University
of Railway Transport

Scientific journal



Научный журнал
Вестник Уральского государственного
университета путей сообщения
(Вестник УрГУПС)
№ 4 (44), 2019 год

Главный редактор
Василий Михайлович Сай
Научный редактор
Василий Федорович Лапшин

Литературный и выпускающий редактор
Людмила Станиславовна Барышникова

Техническое редактирование и верстка
Светлана Николаевна Наймушина

Учредитель и издатель:
Федеральное государственное
бюджетное образовательное учрежде-
ние высшего образования «Уральский
государственный университет путей
сообщения» (ФГБОУ ВО УрГУПС)

Адрес учредителя, издателя и редакции:
620034, Екатеринбург,
ул. Колмогорова, 66

Телефон редакции: (343) 221-25-60.
Веб-сайт: www.usurt.ru/vestnik;
e-mail: vestnik@usurt.ru.

Вестник УрГУПС включен ВАКом
в перечень периодических, научных
и научно-технических изданий,
выпускаемых в Российской Федерации,
в которых рекомендуется публикация
основных результатов диссертаций.

DOI:10.20291/2079-0392

Свидетельство о регистрации
средства массовой информации
Роскомнадзора ПИ № ФС77–38188
от 30 ноября 2009 г.

Подписной индекс журнала
в общероссийском
каталоге «Пресса России» – 70070

Отпечатано в издательстве
Уральского государственного
университета путей сообщения,
620034, Екатеринбург,
ул. Колмогорова, 66.

Подписано в печать 10.12.2019
Дата выхода в свет 18.12.2019.
Цена 300 руб.

Тираж 300 экз. 1-й з-д: 1–80.
Формат 70×100/16.
Заказ 57

Уральский государственный
университет путей сообщения
(ФГБОУ ВО УрГУПС), 2019 ©

Ural State University
of Railway Transport»
(Herald of the USURT)
№ 4 (44), 2019

Editor-in-chief,
Vasily M. Say
Science editor
Vasily F. Lapshin

Script and copy editor
Lyudmila S. Baryshnikova

Technical editing and make-up
Svetlana N. Naimushina

Founder and publisher:
Federal state-funded educational
institution of the higher education
«Ural State University of Railway Transport»
(FGBOU VO URGUPS)

Address of the founder, publisher and edition:
66 Kolmogorov Street,
620034, Ekaterinburg

Telephone: +7 (343) 221-25-60.
Web-site: www.usurt.ru/vestnik;
e-mail: vestnik@usurt.ru.

DOI:10.20291/2079-0392

by the Federal Service for Supervision
in the sphere of communications,
information technology and mass communications
(Roskomnadzor) PI № FS77–38188
of November 30, 2009.

Subscription reference number
of the issue in the All Russia Catalogue
«Pressa Rossii» – 70070

Printed in the Publishing house
of the Ural State University of
Railway Transport
66 Kolmogorov Street,
620034, Ekaterinburg.

Passed for printing 10.12.2019
Data of issue 18.10.2019.
The price 300 rub.

Circulation 300. The 1st pr.: 1–80.
Format 70×100/16.
Order 57

The Ural State University
of Railway Transport
(FGBOU VO URGUPS), 2019 ©

МЕЖДУНАРОДНЫЙ РЕДАКЦИОННЫЙ СОВЕТ

Кейт Бурнхам, профессор, Университет г. Ковентри, факультет машиностроения и вычислительной техники, Великобритания

Петер Копачек, заслуженный профессор, Венский технологический университет, Институт механики и мехатроники, Вена, Австрия

Владимир Цыганов, д-р техн. наук, профессор, Институт проблем управления Российской академии наук, Москва, Россия

Сергей Герман-Галкин, д-р техн. наук, профессор, Морская академия, Институт судовой автоматики и электротехники, Щецин, Польша

Клаус Беккер, профессор, Университет прикладных наук г. Кельна, Институт автомобильной техники, лаборатория NVH, Германия

Василий Сай, д-р техн. наук, профессор, Уральский государственный университет путей сообщения, Екатеринбург, Россия

РЕДКОЛЛЕГИЯ

Аккерман Геннадий Львович, д-р техн. наук, профессор, УрГУПС, Екатеринбург

Ашпиз Евгений Самуилович, д-р техн. наук, профессор, РУТ, Москва

Булаев Владимир Григорьевич, д-р техн. наук, профессор, УрГУПС, Екатеринбург

Воробьев Александр Алексеевич, д-р техн. наук, профессор, МГУПС, Москва

Воскресенская Тамара Петровна, д-р техн. наук, профессор, СибГИУ, Новокузнецк

Корнилов Сергей Николаевич, д-р техн. наук, профессор, МГТУ, Магнитогорск

Кузнецов Константин Борисович, д-р техн. наук, профессор, УрГУПС, Екатеринбург

Курганов Валерий Максимович, д-р техн. наук, ТГУ, г. Тверь

Лапшин Василий Федорович, д-р техн. наук, профессор, УрГУПС, Екатеринбург

Сапожников Валерий Владимирович, д-р техн. наук, профессор, ПГУПС, Санкт-Петербург

Сизый Сергей Викторович, д-р техн. наук, профессор, УрФУ, Екатеринбург

Тимофеева Галина Адольфовна, д-р физ.-мат. наук, профессор, УрГУПС, Екатеринбург

Щурин Константин Владимирович, д-р техн. наук, профессор, ОГУ, Оренбург

INTERNATIONAL EDITORIAL BOARD

Keith Burnham, professor, Coventry University, Faculty of Engineering and Computing, Great Britain

Peter Kopachek, Professor Emeritus, TU Wien, Institute for Mechanics and Mechatronics, Vienna, Austria

Vladimir Tsyganov, DSc, professor, Russian Academy of Sciences, Institute of Control Sciences, Moscow, Russia

Sergey German-Galkin, DSc, professor Maritime Academy, Institute of naval automation and electric engineering, Szczecin, Poland

Klaus Becker, professor, Cologne University of Applied Sciences, Institute of Automotive Engineering, NVH Laboratory, Germany

Vasily Say, DSc, professor, The Ural State University of Railway Transport, Ekaterinburg, Russia

EDITORIAL BOARD

Akkerman Gennadiy Lvovich, DSc, Professor, Ural State University of Railway Transport, Yekaterinburg

Ashpiz Evgeniy Samuilovich, DSc, Professor, Russian University of Transport, Moscow

Bulaev Vladimir Grigorievich, DSc, Professor, Ural State University of Railway Transport, Yekaterinburg

Vorobjev Alexander Alexeevich, DSc, professor, Moscow State University of Railway Transport, Moscow

Voskresenskaya Tamara Petrovna, DSc, professor, Siberian State Industrial University, Novokuznetsk

Kornilov Sergey Nikolaevich, DSc, professor, Magnitogorsk State Technical University, Magnitogorsk

Kuznetsov Konstantin Borisovich, DSc, professor, The Ural State University of Railway Transport, Ekaterinburg

Kurganov Valeriy Maximovich, DSc, Professor, Tver State University, Tver city

Lapshin Vasily Fedorovich, DSc, Professor, Ural State University of Railway Transport, Yekaterinburg

Sapozhnikov Valery Vladimirovich, DSc, professor, Petersburg State University of Railway Transport, Saint-Petersburg

Sizyi Sergey Viktorovich, D. Sc. in engineering, professor, Ural Federal University, Ekaterinburg

Timofeeva Galina Adolfovna, DSc, professor, The Ural State University of Railway Transport, Ekaterinburg

Shchurin Konstantin Vladimirovich, DSc, professor, Orenburg State University, Orenburg

Содержание

Математические модели технологических процессов

- 4 Д.С. Завалищин, А.Д. Хазимуллин. Построение оптимальных стратегий в программе лояльности клиентов

- 12 Г.А. Тимофеева, А.А. Шевцов. Система согласованного управления транспортными потоками на сложном перекрестке

Механика машин и роботов

- 25 А.В. Гриценко, К.В. Глемба, Г.Н. Салимоненко, А.Г. Карпенко, В.В. Руднев. Исследование экологических качеств бензинового двигателя автомобиля в режиме частичного отключения цилиндров

- 40 П.В. Губарев, Д.В. Глазунов, А.С. Шапшал, О.В. Айдинян. Способ оценки технологических качеств пропитанных стеклослюдинитовых электроизоляционных лент

- 46 А.В. Гриценко, К.В. Глемба, А.А. Петелин, В.Н. Кожанов, А.Г. Карпенко, В.В. Руднев. Исследование экологических качеств дизельного двигателя и его экономичности при отключении части цилиндров в режимах малых нагрузок

Управление в технических системах

- 65 А.С. Митраков. Выбор и обоснование рациональных параметров системы принудительного наклона кузова отечественного электропоезда

- 76 Д.М. Маяков. Качественный анализ надёжности силового оборудования тепловозов серии 2ТЭ25А

Организация и логистика

- 83 В.С. Паршина. Реализация управленческой концепции эластичности спроса на услуги на примере грузоперевозок

- 92 Н.А. Друцко. Особенности реализации проектной технологии в неязыковом вузе в контексте подготовки студентов к научно-технической конференции

Безопасность деятельности человека

- 101 К.Б. Кузнецов, А.А. Пазуха. Оценка на основе теории нечетких множеств эффективности защитных заземляющих устройств при эксплуатации контактной сети

Аспирантская тетрадь

- 112 П.М. Тихонов. Развитие ресурсного обеспечения при регулируемой закупочной деятельности

- 124 Д.Ю. Горелова. Архитектоника взаимодействия интегратора и элементов сети с учетом рисков

Contents

Mathematic models of technological processes

- 4 D.S. Zavalishchin, A.D. Khazimullin. Construction of optimal strategies in the program of customers' loyalty

- 12 G.A. Timofeeva, A.A. Shevtsov. Coordinated management system of transport flows at complex intersection

Mechanics of machines and robots

- 25 A.V. Gritsenko, K.V. Glemba, G.N. Salimonenko, A.G. Karpenko, V.V. Rudnev. Ecological properties of automobile petrol engine under partial deactivation of cylinders

- 40 P.V. Gubarev, D.V. Glazunov, A.S. Shapshal, O.V. Aidinyan. Evaluation technique of technological properties of impregnated mica-and-fiberglass electric insulation tapes

- 46 A.V. Gritsenko, K.V. Glemba, A.A. Petelin, V.N. Kozhanov, A.G. Karpenko, V.V. Rudnev. Investigation of diesel engine ecological properties and its efficiency under deactivation of a part of cylinders in light-load conditions

Control in engineering systems

- 65 A.S. Mittrakov. Choice and justification of rational parameters of body powered tilt system of domestic electric train

- 76 D.M. Mayakov. Quantitative analysis of 2ТЭ25А diesel locomotive power equipment reliability

Organization and logistics

- 83 V.S. Parshina. Realization of managerial conception of elasticity of demand for services (as exemplified by freight transportation)

- 92 N.A. Drutsko. Specific features of project technology implementation in a non-linguistic University in the context of preparing students for a scientific and technical conference

Personal and social safety

- 101 K.B. Kuznetsov, A.A. Pazukha. Evaluation of protective earthing device efficiency in catenary working on the basis of fuzzy-set theory

Research of young scientists

- 112 P.M. Tikhonov. Development of resources provision under controlled procurement-related activities

- 124 D.Yu. Gorelova. Architectonics of interaction between an integrator and network elements with consideration of risks

Математические модели технологических процессов

УДК 519.832; 519.863

Д. С. Завалищин, А. Д. Хазимуллин

Построение оптимальных стратегий в программе лояльности клиентов

UDC 519.832; 519.863

D. S. Zavalishchin, A. D. Khazimullin

Construction of optimal strategies in the program of customers' loyalty

Аннотация

Рассмотрены возможности современных программ лояльности, которые используют в той или иной степени концепцию CRM (Customer relationship management – управление взаимоотношениями с клиентами). Пройдя длинный путь от периодических распродаж и дисконтных карт до интерактивных мобильных приложений, программы лояльности претерпели существенные изменения, которые направлены на сохранение своих клиентов и привлечение новых. Удержание наиболее

ценных клиентов – приоритет в программах лояльности среди большинства компаний, но только половина из них использует этот показатель для измерения успеха. Успешные программы лояльности клиентов, например, программа «РЖД Бонус», включают в себя сложные методы персонализации и расширенную сегментацию, используют новые и разнообразные источники данных. Существует тесная взаимосвязь между эффективностью программы лояльности и использованием данных аналитики

для разработки и измерения стратегии управления. Высокоэффективные программы ориентированы на клиента, сосредотачивают усилия в первую очередь на опыте работы с клиентами – создании бренда и обеспечении удовлетворенности клиентов – прежде чем ожидают лояльности от клиентов. Проще говоря, компании с сильными программами лояльности полагаются на аналитику клиентов, чтобы управлять своими стратегиями и оказывать ощутимое влияние на бизнес. Для построения модели взаимодействия

Статья рекомендована к публикации Г.А. Тимофеевой, д-р физ.-мат. наук, профессором. Уральский государственный университет путей сообщения. E-mail: GTimofeeva@usurt.ru.

Дмитрий Станиславович Завалищин, канд. физ.-мат. наук, доцент; кафедра «Естественнонаучные дисциплины» Уральского государственного университета путей сообщения; Екатеринбург, Россия; с.н.с. отдела оптимального управления Института математики и механики им. Н.Н.Красовского УрО РАН; Екатеринбург, Россия; в.н.с. научной лаборатории ИЕИМ УрФУ; Екатеринбург, Россия. E-mail: dzaval@mail.ru.

Артем Дамирович Хазимуллин, магистрант Уральского государственного университета путей сообщения; Екатеринбург, Россия. E-mail: hazimullinad@mail.ru.

The article is recommended for publishing by G.A. Timofeyeva, Doctor of phys.-math. science, Professor, Ural state university of railway transport. E-mail: GTimofeeva@usurt.ru.

Dmitry Stanislavovich Zavalishchin, Cand. of phys.-math. science, Associate Professor; «Science» Chair, Ural state university of railway transport; Yekaterinburg, Russia; S.s.s.(Senior staff scientist), RAS Ural branch, Institute of Mathematics and Mechanics named after N.N. Krasovsky, Department of optimal management; Yekaterinburg, Russia; (L.r.w.) ,Leading Research Worker, Research laboratory, UrFU; Yekaterinburg, Russia. E-mail: dzaval@mail.ru.

Artyom Damirovich Khazimullin, Graduate Student, Ural state university of railway transport; Yekaterinburg, Russia. E-mail: hazimullinad@mail.ru.

«продавец – покупатель» и определения оптимальных стратегий их поведения используется математический аппарат теории матричных игр.

Ключевые слова: теория игр, оптимизация, программа лояльности, линейное программирование, исследование операций.

DOI: 10.20291/2079-0392-2019-4-4-11

Abstract

Possibilities of updated loyalty programs which use to a greater or lesser degree the concept CRM (Customer relationship management) are examined. Having passed a long way from periodic sales and discount cards to interactive mobile

applications, the loyalty programs underwent significant changes which are aimed at retaining the customers and attracting the new ones. Maintaining the most valuable customers is a priority in loyalty programs among most companies, but only half of them use this indicator for measurement of success. Successful customer loyalty programs, for example, «RZD Bonus» program, include complicated personalization methods and varying data sources. There is a close interrelationship between the loyalty program and usage of analytics information for development and measurement of management strategy. Highly effective programs are in the instance

customer-oriented, they focus efforts on the work experience with customers – creating a brand and providing customer satisfaction – before expecting loyalty from the customers. To put it simply, companies with good loyalty programs trust the analytics of customers in order to control their strategies and produce a notable on business. A mathematical apparatus of a theory of matrix games is used for construction of an interacting model «a seller – a buyer» and determination of optimal strategies of their behavior.

Key words: theory of games, loyalty program, linear programming, investigation of operations.

DOI: 10.20291/2079-0392-2019-4-4-11

Введение

Цель внедрения программы лояльности клиентов в бизнес сферы обслуживания заключается в увеличении потока клиентов и росте числа продаж. Количественные оценки таких изменений получить довольно трудно. Возможен лишь качественный анализ: как влияют те или иные действия поставщика услуг в этом направлении на прибыль предприятия? Приведем для примера основные аспекты программы лояльности клиентов «РЖД Бонус», призванной увеличить поток клиентов и, следовательно, прибыль ОАО «РЖД». Основная идея программы – накопление клиентами баллов за совершенные поездки для их обмена на премиальные билеты по определенному курсу. Также в программе есть специальные проекты для студентов и семей, члены которых могут получать дополнительные скидки и преференции. В зависимости

от активности клиентов, то есть частоты, дальности и общей стоимости поездок за календарный год, программа присваивает два уровня участия: «базовый» и «золотой». Высший уровень предусматривает лучшие условия накопления баллов и более выгодный курс их обмена на премиальные билеты.

В сравнении с мировым уровнем развития программ лояльности «РЖД Бонус» имеет неплохие показатели по объему пакета предоставляемых услуг. Дополнительно в рамках сотрудничества ОАО «РЖД» с финансовыми кредитными организациями Альфа-Банк, банк «Открытие», Райффайзенбанк, Сбербанк и Росбанк существует возможность накопления баллов за транзакции по ко-брендовым кредитным и дебетовым картам*.

В современных программах лояльности помимо «личного кабинета», в котором клиенты отслеживают состояние счета, может быть предусмотрен

* Ко-брендовая карта – специально выпущенная банком-эмитентом карта в кооперации с компанией-партнером. Используя эту карту, клиент банка может при определенных условиях получать скидки и бонусы компании-партнера при оплате товаров и услуг. Данная кооперация также известна как кросс-маркетинг.

интерактивный интерфейс с расширенными возможностями управления этим счетом. Участники программы лояльности могут иметь особые привилегии, так называемый vip-статус с более выгодными условиями. Это побуждает их совершать еще больше покупок. Особые условия для vip-клиентов определяются продавцом. Что касается привлечения новых клиентов, то здесь можно говорить о льготах для потенциальных участников, например, стартовые бонусы, особые условия для первой или второй покупки. В общем, продавец должен максимально управлять своей программой лояльности. У продавца, обладающего информацией о возможном или наиболее вероятном поведении покупателя, есть много стратегий для увеличения прибыли. Эту ситуацию можно моделировать с использованием математической теории игр с природой в условиях неопределенности.

С другой стороны, интересно рассмотреть оптимальное поведение покупателя. У покупателя, в свою очередь, есть несколько стратегий, которые обеспечат выгодность его покупки. Сегодня это особенно актуально при бурном развитии онлайн-коммерции. Покупатель, совершивший успешную покупку в Интернете, оценивает достоинства такой услуги и, как правило, имеет мотив совершать повторные покупки. Также существуют общие платформы, которые связывают покупателя и продавца. Современные программы лояльности интегрированы с социальными сетями и содержат пакет анализа данных с модулем статистики. Лицо, принимающее решение, получает данные в режиме реального времени и имеет возможность выстраивать адаптивную или оптимальную стратегию.

Есть еще один аспект: использование так называемого игрового подхода в управлении программой лояльности [2]. Игровой подход не базируется на теории игр, он по смыслу близок к компьютерным играм-стратегиям. Геймификация – это применение элементов игрового дизайна и принципов

игры в неигровом контексте. Она становится захватывающей тенденцией в удерживающем клиентов маркетинге. В своей основе геймификация – это не создание чего-то нового, скорее, усиление того, что уже работает путем применения методов взаимодействия, основанных на данных аналитики; для мотивации пользователей и создания ценности – поддержание лояльности. Поддержание лояльности клиентов служит основой маркетинга, но все же компании часто тратят гораздо меньше на удержание старых клиентов, чем на приобретение новых. Программы лояльности можно найти везде – от кофейни до мобильных приложений. Обычно основанная на системе очков или бейджей геймификация лояльности клиентов вознаграждает клиентов за покупку и обмен опытом с другими. Общие награды включают скидки и подарки, бесплатную доставку или другие ценные призы за участие. Ориентируясь на определенное поведение и предлагая соответствующие системы вознаграждений, геймификация обеспечивает отличный способ вознаграждения самых лояльных клиентов. Можно считать геймификацию предпосылкой к применению теории игр в создании модели программы лояльности.

Применение же принципов теории игр к разработке бизнес- и маркетинговой стратегии тоже целесообразно. Нейман и Моргенштерн определили два типа игр [5]. Первая – это игры, в которых игроки взаимодействуют в соответствии с заданными правилами взаимодействия. Во втором типе игроки взаимодействуют без каких-либо внешних ограничений. Бизнес – это комплекс игр обоих типов. Когда мы думаем об этом таким образом, подходы, которые приводят к геймификации, очень похожи на те, которые повышают уровни vip-наград. Используя такие мотивы клиентов, как статус и достижения, vip-уровни остаются проверенным способом повысить вовлеченность в программы и повысить успех.

Постановка задачи

Для прогнозирования потребностей потенциальных покупателей используется ряд показателей. Это может быть уровень потребления до и после регистрации в программе, то есть изменения в активности клиентов после входа в программу, уровень оттока среди участников и неучастников программы, поскольку программа лояльности действительно влияет на удержание клиентов, сравнивая доходы участников, и участники, не участвующие в программе, с точки зрения разницы в потребительской ценности между участниками и участниками, не участвующими в программе, степени участия, т.е. соотношении числа участников программы и общего числа клиентов, добавленной стоимости программы, другими словами, добавленная стоимость программы лояльности компании. Расчет этих эффектов и показателей занимает много времени и денег, следовательно, требует автоматизации. Инструменты статистики и аналитики позволяют получать информацию об истории покупок, продвигать более персонализированные акции и оценивать эффективность всех сервисов за контрольный период. Таким образом, выстраивается эффективная система взаимодействия пользователей клиентов и предпринимателей. Более того, обе стороны могут принимать определенные решения, аналогичные выбору оптимальных стратегий в теории игр [3].

Использование методов исследования операций [1, 4, 6–8], в частности, классической теории игр, несомненно, повысит эффективность принимаемых решений. Для предпринимателей желательно наблюдать положительную тенденцию роста новых клиентов. А для клиентов целесообразно выбрать оптимальную стратегию размещения баллов и бонусов с точки зрения увеличения их скидок. В результате эта ситуация взаимодействия может быть описана как матричная игра размера $m \times n$, где m – количество компонентов

в стратегии предпринимателя, n – количество компонентов в стратегии клиента. Используются данные об эффективности принятых чистых или смешанных стратегий с точки зрения первого игрока в виде стандартной матрицы выигрышей или платежной матрицы:

$$P = \begin{pmatrix} a_{11} & \cdots & a_{1n} \\ \vdots & \ddots & \vdots \\ a_{m1} & \cdots & a_{mn} \end{pmatrix}, \quad (1)$$

где элемент a_{ij} – прибыль от реализации пары, т.е. i -й стратегии продавца и j -й стратегии покупателя.

Стратегией первого игрока A является набор $S_A = \{p_1, \dots, p_m\}$ действий по управлению программой лояльности, а стратегией второго игрока B – набор $S_B = \{q_1, \dots, q_n\}$ решений по использованию или накоплению своих баллов. Максимин, или гарантированная прибыль продавца, оценивается выражением

$$\alpha = \max_{i=1, \dots, m} \min_{j=1, \dots, n} a_{ij}, \quad (2)$$

а минимакс, или максимально возможный проигрыш покупателя, находится по формуле

$$\beta = \min_{j=1, \dots, n} \max_{i=1, \dots, m} a_{ij}. \quad (3)$$

В случае, если $\alpha = \beta$, то игра будет иметь седловую точку и решаться в чистых стратегиях, а цена v игры будет равна $v = \alpha = \beta$. Если же $\alpha < \beta$, то решение игры составляют смешанные стратегии со средней ценой $\alpha \leq v \leq \beta$.

Для оптимальной стратегии продавца S_A^0 средние выигрыши не меньше цены игры v . Это условие записывается с помощью системы неравенств:

$$\begin{cases} a_{11}p_1 + a_{m1}p_m \geq v \\ \vdots \\ a_{1n}p_1 + a_{mn}p_m \geq v \end{cases}. \quad (4)$$

Далее вводятся обозначения:

$$x_1 = p_1 / v, \dots, x_m = p_m / v, \quad (5)$$

и система (4) принимает вид

$$\begin{cases} a_{11}x_1 + a_{m1}x_m \geq 1 \\ \vdots \\ a_{1n}x_1 + a_{mn}x_m \geq 1 \end{cases} \quad (6)$$

Целью продавца является максимизация своего гарантированного выигрыша v , поэтому из условия равенства единице суммы долей его оптимальной стратегии

$$p_1 + \dots + p_m = 1 \quad (7)$$

следует, что

$$x_1 + \dots + x_m = 1/v \rightarrow \min. \quad (8)$$

Ограничения (6) вместе с минимизацией линейной функции (8) составляют задачу линейного программирования. Ее оптимальное решение $X^0 = (x_1^0, \dots, x_m^0)$ дает возможность с учетом связей (5) выписать оптимальную стратегию продавца $S_A^0 = \{p_1^0, \dots, p_m^0\}$.

Для определения оптимальной стратегии покупателя S_B^0 учтем, что он стремится минимизировать свой возможный проигрыш, т.е. найти $\max 1/v$. Значит q_1, \dots, q_n удовлетворяют неравенствам

$$\begin{cases} a_{11}q_1 + a_{1n}q_n \leq v \\ \vdots \\ a_{m1}q_1 + a_{mn}q_n \leq v \end{cases} \quad (9)$$

Примем обозначения

$$y_1 = q_1/v, \dots, y_n = q_n/v, \quad (10)$$

и система (9) запишется как

$$\begin{cases} a_{11}y_1 + a_{1n}y_n \leq 1 \\ \vdots \\ a_{m1}y_1 + a_{mn}y_n \leq 1 \end{cases} \quad (11)$$

Из условия равенства единице суммы долей оптимальной стратегии покупателя

$$q_1 + \dots + q_n = 1 \quad (12)$$

получаем

$$y_1 + \dots + y_n \rightarrow \max. \quad (13)$$

Ограничения (11) вместе с максимизацией целевой функции (13) составляют двойственную задачу линейного программирования, оптимальное решение которой $Y^0 = (y_1^0, \dots, y_n^0)$ с учетом (10) даст оптимальную стратегию покупателя $S_B^0 = \{q_1^0, \dots, q_n^0\}$.

Таким образом, игра сводится к двум взаимно двойственным задачам линейного программирования, решая которые находят оптимальные стратегии обоих игроков.

Используя обобщенные данные российской компании Global Intellect Service [2], можно выписать в таблицу вероятные прибыли продавца зависимости от реализации различных стратегий участников игры (таблица).

Теперь мы можем найти оптимальные стратегии первого и второго игроков для заданной таблицей матрицы выплат.

Анализ стратегий поведения

	Тратить бонусы	Копить бонусы	Зарабатывать бонусы рекомендациями	Зарабатывать бонусы по ко-брендовым картам	Нет активности
Поощрение vip-клиентов	33000	25000	36000	47000	26000
Удержание клиентов	28000	21000	30000	48000	29000
Распродажи	34000	35000	29000	27000	31000
Ребрендинг	26000	27000	32000	28000	27000

Вычисление оптимальных смешанных стратегий

Игра задана платежной матрицей (1):

$$P = \begin{pmatrix} 33000 & 25000 & 36000 & 47000 & 26000 \\ 28000 & 21000 & 30000 & 48000 & 29000 \\ 34000 & 35000 & 29000 & 27000 & 31000 \\ 26000 & 27000 & 32000 & 28000 & 27000 \end{pmatrix}. \quad (14)$$

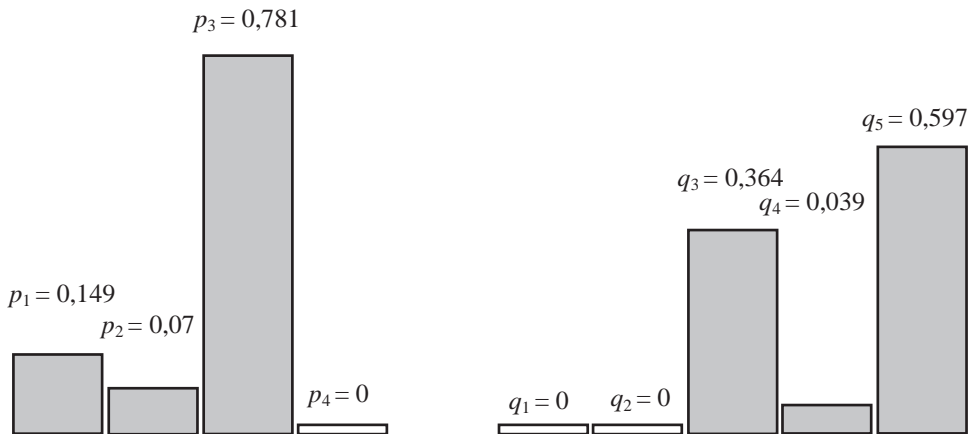
Нижняя цена игры, или гарантированная прибыль продавца по формуле (2), равна $\alpha = 29000$, верхняя цена игры, или максимальный возможный проигрыш покупателя по формуле (3), равна $\beta = 31000$. Чистых оптимальных стратегий нет ($\alpha \neq \beta$), а цена игры при применении смешанных оптимальных стратегий находится в интервале $29000 = \alpha \leq v \leq \beta = 31000$.

Запишем полученную игровую задачу как взаимно-двойственные задачи линейного программирования [4]. Пусть p_1, p_2, p_3, p_4 – доли в оптимальной смешанной стратегии первого игрока, а q_1, q_2, q_3, q_4, q_5 – доли в оптимальной смешанной стратегии второго игрока. Содержание смешанных стратегий игроков отражено в первом столбце и первой строке таблицы. Принимая обозначения (5) и (10), получим задачи линейного программирования:

$$\begin{cases} x_1 + x_2 + x_3 + x_4 \rightarrow \min \\ \begin{cases} 33000x_1 + 28000x_2 + 34000x_3 + 26000x_4 \geq 1 \\ 25000x_1 + 21000x_2 + 35000x_3 + 27000x_4 \geq 1 \\ 36000x_1 + 30000x_2 + 29000x_3 + 32000x_4 \geq 1 \\ 47000x_1 + 48000x_2 + 27000x_3 + 28000x_4 \geq 1 \\ 26000x_1 + 29000x_2 + 31000x_3 + 27000x_4 \geq 1 \end{cases} \end{cases}, \quad (15)$$

$$\begin{cases} y_1 + y_2 + y_3 + y_4 + y_5 \rightarrow \max \\ \begin{cases} 33000y_1 + 25000y_2 + 36000y_3 + 47000y_4 + 26000y_5 \leq 1 \\ 28000y_1 + 21000y_2 + 30000y_3 + 48000y_4 + 29000y_5 \leq 1 \\ 34000y_1 + 35000y_2 + 29000y_3 + 27000y_4 + 31000y_5 \leq 1 \\ 26000y_1 + 27000y_2 + 32000y_3 + 28000y_4 + 27000y_5 \leq 1 \end{cases} \end{cases}, \quad (16)$$

Решения поставленных задач оптимизации (15), (16) $X^0 = (x_1^0, x_2^0, x_3^0, x_4^0)$ и $Y^0 = (y_1^0, y_2^0, y_3^0, y_4^0, y_5^0)$ позволяют найти доли в оптимальных смешанных стратегиях первого и второго игроков (рис.).



Таким образом, оптимальные смешанные стратегии обоих игроков состоят в следующем. Для предпринимателя (продавца) наилучшая стратегия включает три активности: «Поощрение vip-клиентов» (14,9 %), мероприятия по удержанию клиентов (7 %) и «Распродажи» (78,1 %). Для клиента (покупателя) оптимальная стратегия состоит из трех частей: «Зарабатывать бонусы рекомендациями» (36,4 %), «Зарабатывать бонусы по ко-брендовым картам» (3,9 %) и «Нет активности» (59,7 %). Оптимальное значение выигрыша составит 30114 руб.

Заключение

Аналитическая информация о поведении клиентов играет большую роль, помогая организациям оптимизировать и поддерживать ключевые моменты на протяжении всего пути клиента, где цель состоит в том, чтобы гарантировать продвижение последовательного, персонализированного и убедительного опыта независимо от типа взаимодействия или используемого канала. Когда один за другим опыт клиента является положительным, клиент лоялен.

Серьезными аспектами и источниками для лица, принимающего решения, являются углубление знаний о предпочтениях клиентов, понимание социальных отношений между клиентами и выяснение, как эти отношения влияют на покупательское поведение и лояльность, как доставлять ожидаемые, актуальные предложения и делать более точные прогнозы относительно поведения покупателей в будущем.

Эффективное управление программой лояльности клиентов – сложная комплексная задача для бизнеса. Например, в программе «РЖД Бонус» в плане клиентоориентированности лицам, принимающим решения, следует больше опираться на молодежный сегмент, разработку и внедрение современных технологий – тех же интерактивных мобильных приложений, интегрированных с социальными сетями и, возможно, даже с учебными порталами. Студенты колледжей и вузов могли бы иметь не просто скидки, а дифференцированные индивидуальные предпочтения участников программы, управлять своим статусом. Наконец, и успешная учеба должна тоже приносить прибыль: дополнительные бонусы в программе. ■

Литература

1. Таха Х. А. Введение в исследование операций. М. : Изд. дом «Вильямс», 2005. 912 с. ISBN 978-5-8459-0740-0.
2. Хазимуллин А. Д., Завалищин Д. С. Игровой подход к моделированию программы лояльности // Материалы X Международной студенческой научной конференции: «Студенческий научный форум-2018». 5 с. <https://scienceforum.ru/2018/article/2018002058>.
3. Gibbons R. D. Game Theory for Applied Economists. Princeton University Press, 1992. 288 p. ISBN 9780691003955.
4. Nering E. D., Tucker A. W. Linear Programs and Related Problems. Academic Press, 1993. 584 p. ISBN 9780125154406.
5. Neumann and von J., Morgenstern. O. Theory of Games and Economic Behavior. Princeton University Press, 1947. 625 p. ISBN 9780691130613.
6. Zavalishchin D. S. Dynamic Programming in Applied Optimization Problems // AIP Conference Proceedings. Vol. 1690. New-York : American Institute of Physics. 2015. 7 p.
7. Zavalishchin D. S., Popkov A. D. Dynamic programming method for optimization problem of multi-modal transportation // CEUR Workshop Proceedings. Vol. 1825. 2016. 5 p.
8. Zavalishchin D. S., Timofeeva G. A. Approach to Transportation Planning under Uncertainty // AIP Conference Proceedings. Vol. 1906. New-York : American Institute of Physics. 2017. 5 p.

Literature

1. Takha Kh. A. Introduction to Studies of operations. M.: Publishing house «Williams», [Vvedenie v issledovanie operatsij. M. : Izdatel'skij dom «Vil'yams»] 2005. 912 c. ISBN 978-5-8459-0740-0.

2. Khazimullin A. D., Zavalishchin D. S. Game approach to modeling the loyalty program // Proceedings X International students' conference; [Igrovoy podkhod k modelirovaniyu programmy loyal'nosti // Materialy Kh Mezhdunarodnoj studencheskoj nauchnoj konferentsii: «Studencheskij nauchnyj forum-2018»], 5 p. <https://scienceforum.ru/2018/article/2018002058>.
3. Gibbons R. D. Game Theory for Applied Economists. Princeton University Press, 1992. 288 p. ISBN 9780691003955.
4. Nering E. D., Tucker A. W. Linear Programs and Related Problems. Academic Press, 1993. 584 p. ISBN 9780125154406.
5. J. von Neumann and, O. Morgenstern. Theory of Games and Economic Behavior. Princeton University Press, 1947. 625 p. ISBN 9780691130613.
6. Zavalishchin D. S. Dynamic Programming in Applied Optimization Problems // AIP Conference Proceedings. Vol. 1690. New-York : American Institute of Physics. 2015. 7 p.
7. Zavalishchin D. S., Popkov A. D. Dynamic programming method for optimization problem of multi-modal transportation // CEUR Workshop Proceedings. Vol. 1825. 2016. 5 p.
8. Zavalishchin D. S., Timofeeva G. A. Approach to Transportation Planning under Uncertainty // AIP Conference Proceedings. Vol. 1906. New-York : American Institute of Physics. 2017. 5 p.

Статья сдана в редакцию 25 октября 2019 года

УДК 656.1

Г.А. Тимофеева, А.А. Шевцов

Система согласованного управления транспортными потоками на сложном перекрестке

UDC 656.1

G. A. Timofeeva, A. A. Shevtsov

Coordinated management system of transport flows at complex intersection

Аннотация

Статья посвящена исследованию и оптимизации системы согласованного управления сложным перекрестком на основе построения имитационной модели. Такой перекресток включает в себя комбинированные геометрические, планировочные (указательные знаки, разметку на проезжей части) и управляющие (светофорное управление, датчики подсчета количества транспортных средств) структуры.

Рост логистической составляющей городов России, увеличение населения, изменение инфраструктуры, повышение автомобилизации побуждают и рост уровня грузо- и пассажиропотоков.

Все это влияет на распределение транспортных потоков, фиксируется на оперативном светофорном регулировании на локальном и глобальном уровнях.

Рассмотрен вопрос выбора оптимального согласованного режима работы светофоров с учетом геометрии перекрестка и анализа основных характеристик, влияющих на эффективность работы комплекса светофорных объектов. Также стоит отметить краткий обзор наиболее распространенных моделей и алгоритмов для исследования поведения транспортных потоков в различных дорожных сетях. Рассмотрено специализированное программное обеспечение для создания имитационных моделей. Произведен анализ зарубежного и отечественного опыта для определения основных этапов моделирования транспортных потоков с последующим применением к реальному исследуемому объекту.

Для построения модели использовались среда Anylogic и оптимизатор OptQuest для оптимизации работы системы согласованного управления; рисунки выполнены с помощью САПР «Компас». Проанализированы различные подходы к выбору оптимальных параметров функционирования управляющей системы.

Ключевые слова: сложный перекресток, имитационное моделирование, оптимизация, согласованное управление.

DOI: 10.20291/2079-0392-2019-4-12-24

Abstract

The article is focused on research and optimisation of the system of coordinated management of a complex intersection based on building a simulation model. Such an intersection includes combined geometric, layout (indicating signs, road marking) structures as well as controlling control, detector units for counting the number of vehicles) ones.

The growth of a logistical component of Russia's cities, rising of population, change of infrastructure, increase in automobilisation provoke rising of the

All these have an impact on allocation of transport and are registered on prompt signalisation on the local and global level.

The issue of selection of optimal coordinated mode of operation is considered taking into account intersection geometry and analysis of basic characteristics, which have an impact on the of operation of complex of facilities. Also, a brief survey of the most common models and algorithms for investigating the behaviour in various road networks is worthwhile to note. Specialized software for building simulation models is given a consideration. The analysis of foreign and domestic experience in the basic stages of modelling of is carried out with further practical use to an actual object under examination.

For building the model, Anylogic environment and OptQuest optimiser were used to streamline the work of a coordinated management system; the were done by means of «Kompas» System of Automated Design. The various approaches to the selection of optimal parameters of management system operation are analysed.

Key words: complex intersection, simulation modelling, optimization, coordinated management.

DOI: 10.20291/2079-0392-2019-4-12-24

Статья рекомендована к публикации А.В. Мартыненко, канд. физ.-мат. наук, доцентом; Уральский государственный университет путей сообщения. E-mail: AMartynenko@usurt.ru.

Галина Адольфовна Тимофеева, д-р физ.-мат. наук, профессор; кафедра «Естественнонаучные дисциплины» Уральского государственного университета путей сообщения; E-mail: Gtimofeeva@usurt.ru.

Александр Александрович Шевцов, аспирант; кафедра «Естественнонаучные дисциплины» Уральского государственного университета путей сообщения; Екатеринбург, Россия. E-mail: aleksandrsevcov561@gmail.com.

The article is recommended for publishing by A.V. Martynenko, Candidate of physical and mathematical sciences, Associate professor; Ural state university of railway transport. E-mail: AMartynenko@usurt.ru

Galina Adol'fovna Timofeeva, Doctor of physical and mathematical sciences, Professor; «Natural-science disciplines» Chair of Ural state university of railway transport; E-mail: Gtimofeeva@usurt.ru.

Aleksandr Aleksandrovich Shevtsov, post-graduate student, «Natural-science disciplines» Chair of Ural state university of railway transport; Yekaterinburg, Russia. E-mail: aleksandrsevcov561@gmail.com.

Для описания транспортных потоков используются различные модели, в том числе гидродинамические, модели клеточных автоматов, имитационные [1, 4, 11, 14], модели следования за лидером, мультиагентные [3, 6, 5]. Важный параметр для гидродинамических, гравитационных, макромоделей – анализ времени перемещения транспортных средств по транспортной сети, например, города или района в достаточно большом масштабе, что позволяет пренебречь конкретной динамикой разгонов-торможений и некоторыми индивидуальными поведением транспорта [1, 5]. Для исследования транспорта и выбора оптимальных режимов работы активно применяются теория графов (задачи Штейнера, алгоритмы Диница), вероятностные модели оптимизации, многокритериальный подход и Парето-оптимальные решения [6], линейное программирование (алгоритм Форда – Фалкерсона, теорема Гофмана – Краскала, алгоритмы Эдмонса – Карпа, алгоритм Карзанова) [1, 5] и др.

При выборе оптимальных решений при проектировании и настройке системы управления транспортными потоками активно используются различные компьютерные системы моделирования. Наиболее известные: PTV Vissim (ведущее программное обеспечение для микроскопического моделирования движения с возможностью отображения всех участников дорожного движения и их взаимодействия в одной модели [5]), Transyt (программный пакет, содержащий макроскопическую модель трафика, программу-оптимизатор длительности разрешающих и запрещающих сигналов, с рабочей областью для создания имитационной модели [1]), Highway Capacity (HCS7), ArteryLite, AnyLogic (инструмент, который представляет мультимедийное имитационное моделирование, с рабочей областью для создания имитационной модели), LISA+.

Эффективность работы городской транспортной сети зависит от эффек-

тивности качества работы и согласованности отдельных компонентов данной сети, транспортных узлов (транспортно-пересадочные узлы, перекрестки, остановки и т.д.). Отметим ряд научных работ, которые посвящены исследованию влияния различных геометрических и инфраструктурных факторов на транспортные потоки [2, 11, 15]. Системы согласованного управления сложными перекрестками и другими транспортными системами создаются на основе имитационной модели исследуемого объекта, в которой применяются датчики случайного появления автомобилей, имитируется движение автотранспортных средств, переключаются разрешающие сигналы светофора, визуализирована карта пробок. Для повышения эффективности работы сложных перекрестков самый удачный вариант – применение различных вероятностных, адаптивных и интеллектуальных методов поиска лучших вариантов длительности разрешающих сигналов фаз [13, 10]. Существуют различные направления в области исследования построения композиции алгоритмов для поиска оптимальных решений [5, 9]. В рамках исследований разработано несколько имитационных моделей, которые применяются для различных адаптивных систем управления и более точного расчета оптимальной длительности, определения востребованных направлений, разработки планов пуска и т.д.

В качестве примеров применения на практике систем согласованного управления можно привести «умные светофоры». В их контроллеры загружают необходимый набор команд или план регулирования перекрестка, который основывается на наборе статистических данных (собираются наблюдением за интенсивностью потоков автотранспорта). Статистика показывает, в какое время суток автопоток пиковый. Большую роль в организации движения играют и межпиковые состояния потока. Один из важных факторов – выбор из существующих направлений самых востребованных в пиковые или межпиковые

часы, таким направлениям придается большее значение при выборе режимов регулирования.

При оптимизации дорожной структуры, в том числе сложных пересечений, специалисты исследуют проблемы, связанные с образованием пробок и заторов, увеличением числа конфликтных точек, проблемы увеличения количества ДТП и ухудшения экологической составляющей. Условно выделяются три направления исследований: строительное, планировочное, управляющее [7, 8]. В настоящей статье рассмотрены только управляющие решения для оптимизации работы сложного светофорного объекта.

Имитационная система согласованного управления

Оптимизация управления светофорными сигналами на основе имитационной модели рассматривалась в работах [4, 6]. Основываясь на опыте отечественных и иностранных специалистов, можно выделить основные этапы для реализации имитационной модели сложного перекрестка [5].

1. Описание местоположения перекрестка и примыкающей к нему улично-дорожной сети (УДС), изучение архитектуры исследуемого объекта (наличие железнодорожных путей, радиусы поворотов, длина и ширина проезжей части и т.д.). Определение состава (количество грузовых, легковых машин, автобусов, маршрутных такси и т.п.) и интенсивности существующих транспортных потоков по направлениям.

2. Определение количества и расположения светофоров, наличия различных светофорных фаз, в том числе выделения правых и (или) левых поворотов в отдельную разрешающую фазу.

3. Проведение статистического анализа распределений и интенсивностей существующих транспортных потоков по направлениям, суточных колебаний трафика, анализ проблемных направлений и выявление критических точек.

4. Выбор среды имитационного моделирования, определение характеристик транспортного потока, его состава и других свойств, необходимых для имитационной модели.

5. Разработка имитационной модели в выбранной среде.

6. Исследование поведения имитационной модели при существующем режиме работы светофора, проверка адекватности модели.

7. Выбор критериев и методов оптимизации, оптимизация режима программными средствами, анализ результатов.

Имитационное моделирование сложных перекрестков, состоящих из более чем двух пересечений и нескольких светофорных объектов, имеет особенности, которые следует учитывать при разработке модели. Важная задача управления транспортными потоками в этом случае – не столько выбор оптимальной продолжительности фаз, сколько обеспечение согласованной работы светофоров. Для выявления критических точек принципиально важно детальное и точное отображение геометрии перекрестка, поэтому для решения задачи первого этапа использовались Яндекс-карты, для имитационного моделирования и оптимизации – две различные среды: среда имитационного моделирования программирования Anylogic и оптимизатор OptQuest.

Для исследования системы согласованного управления выбран отдельный сложный перекресток городской транспортной системы г. Костаная с промежуточными стоп-линиями и с несколькими главными дорогами. Исследование заключалось в создании имитационной модели с учетом геометрии перекрестка, проведении экспериментов на модели для выявления влияния промежуточных стоп-линий и сложной геометрии на работу транспортного узла, выборе оптимальных параметров и режимов работы. Под параметрами подразумеваются геометрические характеристики перекрестка, интенсивность движения транспортных средств, количество

входных и выходных направлений на перекрестке, длительность разрешающих сигналов фаз, планировочные параметры перекрестка (т.е. расположение различных дорожных знаков: знак главной дороги, разрешающие знаки, запрещающие знаки, пешеходные переходы и расположение промежуточных стоп-линий т.д.).

Этапы построения модели

Этап 1. Исследование реально действующего объекта моделирования, изучение параметров проезжей части Костаная. Объектом моделирования служит пересечение просп. Абая, ул. Воинов-интернационалистов – ул. Баймагамбетова с большой разделительной зоной посередине. На подходе к перекрестку по просп. Абая с обеих сторон ул. Воинов-интернационалистов движение транспортных потоков осуществляется по двум полосам в каждом направлении, по ул. Баймагамбетова – по трем полосам в обоих направлениях, на примыкании со стороны училища по одной полосе в каждом направлении.

Интенсивность транспортных потоков по просп. Абая составляет в среднем

1317 привед. ед./ч, по ул. Воинов-интернационалистов – 570 привед. ед./ч в обоих направлениях, по ул. Баймагамбетова – 270 привед. ед./ч в обоих направлениях. Состав транспортного потока на пересечении представлен легковым и грузовым транспортом, автобусами; преобладает легковой транспорт (рис. 1).

В настоящее время движение транспортных потоков регулируется светофорами.

Отметим планировочную составляющую сложного перекрестка, т.е. расположение основных дорожных знаков (рис. 2).

Перекресток (рис. 2) состоит из трех основных направлений (ул. Воинов-интернационалистов, ул. Баймагамбетова, просп. Абая); эти направления указаны знаком «Главная дорога», на перекрестке есть еще два второстепенных направления, выходящих на ул. Быковского и во двор общеобразовательного учреждения. Кроме этого, на исследуемом объекте имеются две промежуточные стоп-линии, пешеходные переходы, присутствуют знаки «Въезд запрещён», т.к. на перекресток входят второстепенные направления, знаки

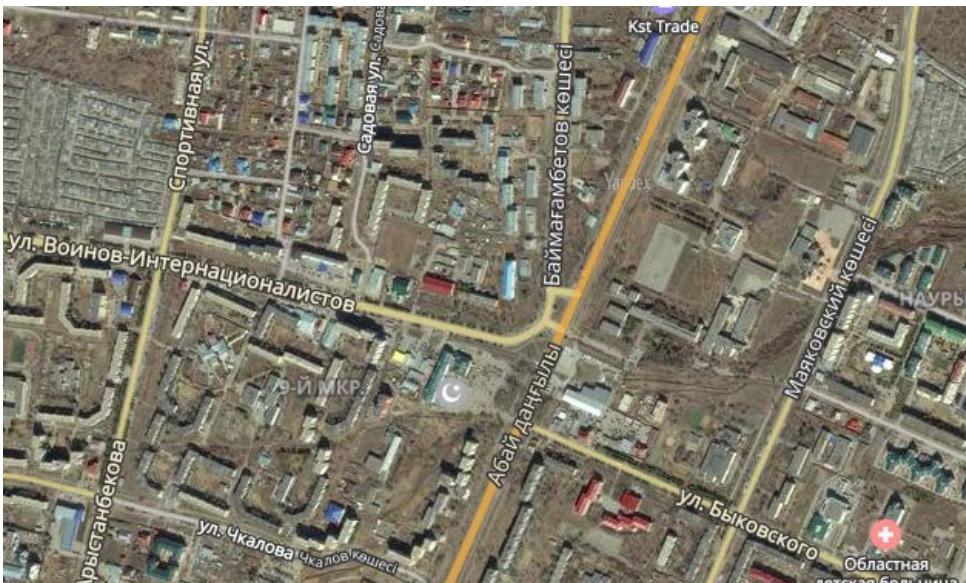


Рис. 1. Карта местности для имитационного исследования по г. Костаная (Яндекс-карты)

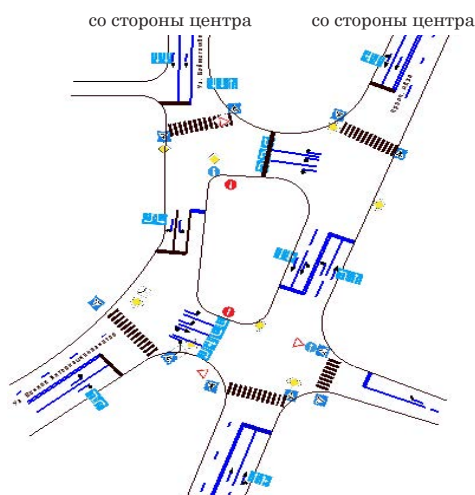


Рис. 2. Топографическое расположение основных дорожных знаков

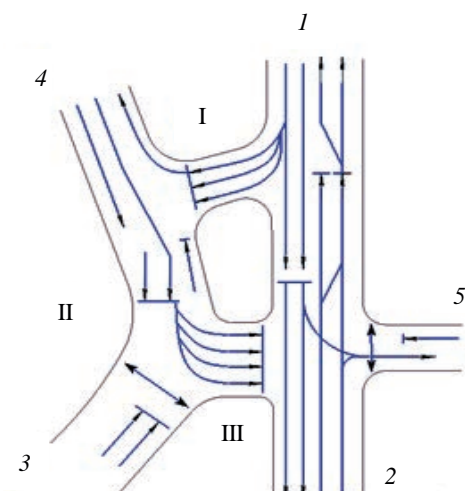


Рис. 3. Первая фаза

«Уступи дорогу». Есть разметка, указывающая направление движения автотранспорта.

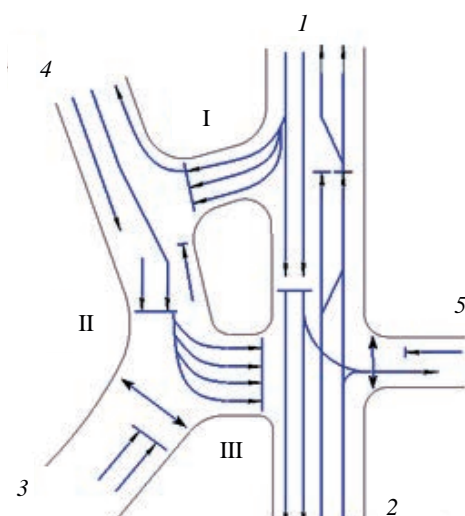
Этап 2. Анализ работы светофорного объекта.

Для регулирования представлена трехфазная система управления движением (СОД), исключая недопустимые конфликты «транспорт – транспорт». Результаты анализа конфликт-

ных направлений, проведенные для определения пофазного разъезда, приведены на схеме организации дорожного движения (рис. 3, 4).

Длительность фаз определяется интенсивностью транспортных потоков и временем, необходимым пешеходам для пересечения проезжей части со скоростью 1,3 км/ч. Длительность промежуточного такта светофорного цикла

а)



б)

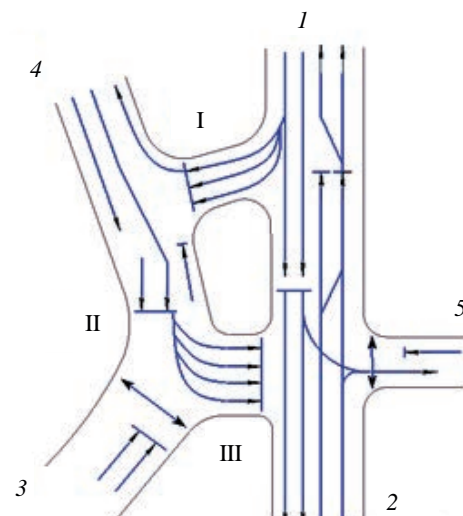


Рис. 4. Вторая фаза (а) и третья фаза (б)

обеспечивает полное и безопасное освобождение перекрестка после окончания основных тактов.

Первая фаза разрешает движение по направлению 1–2, 2–5, 4 – стоп-линия I, направление 5 – стоп-линия III, стоп-линия II.

Этап 3. Исследование интенсивности транспортного движения по направлениям (таблица 1).

Таблица 1

Интенсивность транспортного движения		
Номер геометрического направления	Интенсивность транспорта на полосу в приведенные ед./ч, пешеходов, чел./ч	
	фактическая, λ_i	допустимая, Λ_i
1	500	900
2	430	900
3	600	700
4	200	700
5	120	700

Этап 4. Выбор среды проектирования имитационной модели.

Самая подходящая для реализации исследуемой модели – специализированная среда AnyLogic (мультимедийная имитационная среда, используется агентно-ориентированный метод, упрощающий разработку).

В имитационной модели определяются характеристики транспортного потока, его состав и наличие пешеходов. Программная среда AnyLogic позволяет выбирать нужные параметры движения автотранспорта (длина – 4 м, предпочитаемая скорость – 60 км/ч, максимальное ускорение – $1,8 \text{ м/с}^2$, максимальное возможное торможение – $4,2 \text{ м/с}^2$). Транспортный поток представлен легковыми автомобилями, пешеходы на первом этапе исследования не учитываются.

Этап 5. Создание имитационной модели в среде AnyLogic происходит по следующему алгоритму: создание дорожной сети на соответствующем спутниковом снимке транспортного узла,

подключение карты пробок, разработка интерфейса управления имитационной моделью (включает матрицу распределения вероятности поворота автотранспорта, окна управления интенсивностями автотранспорта, датчики прибытия и убытия транспортных средств с возможностью подсчета последних и отображение результата прибытия и убытия по направлениям) (рис. 5, 6), задание интенсивности транспортных потоков (эквивалентной экспоненциально распределенному времени между прибытиями со средним значением, равным 1 (интенсивность прибытия)), создание и настройка светофорных фаз, оптимизация длительности светофорных фаз (с помощью оптимизатора OptQuest).

Этап 6. Проведение экспериментов на соответствие имитационной модели действительности, т.е. реальному светофорному объекту. Проверка работы имитационной модели в реальном и ускоренном времени показала совпадение средних выходных параметров с реальными на 85–90 % при прогонке при существующих параметрах движения.

Этап 7. Проведение оптимизационных экспериментов для реализации набора команд управления светофорным объектом (если необходимо) либо выбор наилучшего показателя длительности фаз, например, для некоторого востребованного направления, и последующее его применение.

Реализация имитационной модели в программе AnyLogic

Для работы в программе нужно задать интенсивности λ_i , $i = 1, \dots, 5$, транспортных средств по каждому из пяти направлений (поз. 5 – окна ввода, рис. 5, а), матрицу распределения вероятностей поворота

$$P = \{p_{ij}\}, i = 1, \dots, 5, j = 1, \dots, 5,$$

транспортного средства с одного из пяти направлений на одно из пяти других

а)

Н
Н в час

	1	2	3	4	5
1	500	0,0	0,5	0,3	0,1
2	430	0,3	0,0	0,5	0,1
3	600	0,3	0,4	0,0	0,25
4	200	0,2	0,3	0,1	0,0
5	120	0,1	0,3	0,3	0,0



в)

1	27,0
2	35,0
3	40,0

6

Рис. 5. Интерфейс управления имитационной моделью



Рис. 6. Интерфейс управления имитационной моделью

направлений, разворот и движение в обратную сторону по одному и тому же направлению исключается, т.к. такое движение запрещено (поз. 2, рис. 5), длительности разрешающих сигналов фаз u_k , $k = 1, 2, 3$ (поз. 6 – окна ввода, рис. 5).

Позиция 1 (рис. 5) – область визуализации имитационной модели движения транспортных средств на сложном перекрестке; транспорт поворачивает, тормозит на светофорах, ожидает (стоит) при возникновении затора.

В программе предусмотрены датчики, показывающие сколько транспортных средств покинуло область имитационного эксперимента, сколько движется от одного направления к другому (рис. 6, поз. 7), номер каждого направления (точка входа и выхода автотранспортных средств 9). Например, легковое транспортное средство появилось на направлении 3 (точка входа) и осуществило движение к точке выхода 1; рис. 6 показывает: на момент моделирования по данному маршруту проехало всего 25 транспортных средств. Предусмотрена также кнопка активации

карты пробок, которая подсвечивает красным цветом области проезжей части, где присутствует большое количество транспортных средств, т.е. образовалась пробка, зеленым – области, где транспортных средств нет либо их количество не критично, желтым – области, где количество автомашин еще не критично, но уже создает проблемы при организации движения (рис. 6, поз. 8).

Результаты эксперимента на основе действующего светофорного регулирования с известными интенсивностями λ_i представлены в таблице 1. В имитационной модели на этом этапе моделирования имеются некоторые упрощения: во-первых, рассмотрен только локальный перекресток, но не взаимодействие перекрестка с другими путями движения автотранспорта, то есть не учитывается возможность применения «зеленой волны», во-вторых, транспортный поток однообразный, состоит из только легковых автомобилей. Имитационная модель работает в течение 3600 с, т.е. в течение одного часа реального времени. Результат

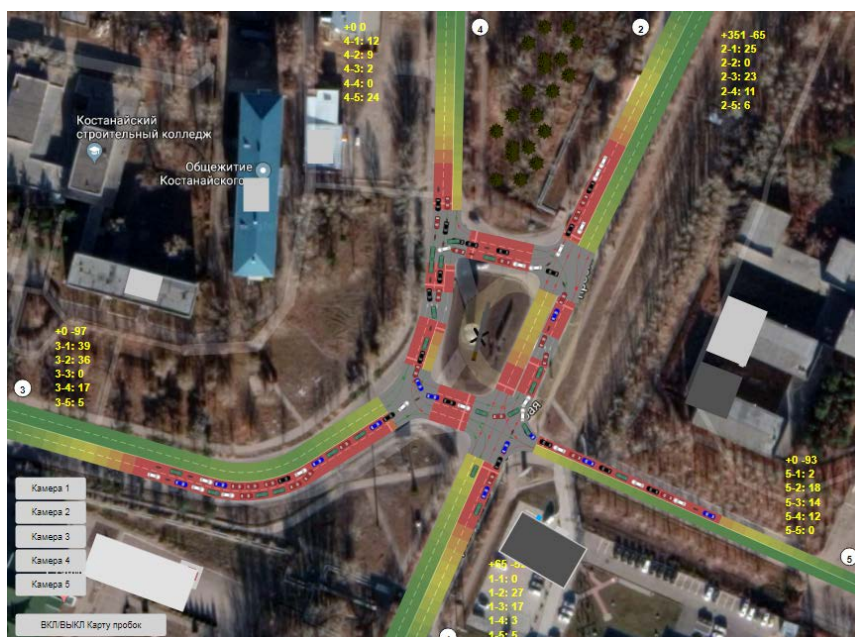


Рис. 7. Результат имитационного моделирования при реальных параметрах

моделирования представлен на рис. 7, где через 1403 с имитационного моделирования возник затор.

Такая ситуация действительно не редкость на исследуемом перекрестке из-за множества конфликтных потоков и сложной геометрии пересечения.

Выбор оптимального режима работы СОД на основе имитационной модели

Оптимизация режимов светофора (оптимизация основных длительностей разрешающих сигналов фаз) – это рациональное использование разрешающих сигналов светофора для движения транспортных и пешеходных потоков, которое обеспечивает наименьшее время ожидания и уровень загрузки проезжей части дороги.

Классические методы расчета оптимального режима [1, 7, 8] – методы пошагового спуска, подъема, сдвига [12] – работают только для перекрестков, где нет промежуточных стоп-линий. Для согласования фаз на сложных перекрестках используются расчеты с по-

мощью специального программного обеспечения, например, с использованием имитационной модели. При проектировании имитационной модели загружается схема пофазного развязки, программа анализирует конфликтные точки, интенсивности, вероятности поворотов на другие направления и находит (при заданной продолжительности разрешающих фаз) согласованный режим работы системы светофоров.

На рассматриваемом сложном перекрестке четыре мини-перекрестка, очень близких друг к другу (рис. 8). Координация проводится с помощью фаз и/или сложных промежуточных тактов на одном контроллере, а не с помощью сдвига, как можно было бы сделать для четырех отдельных перекрестков.

В рамках исследуемого объекта для поиска лучших длительностей разрешающих сигналов фаз применяется оптимизатор OptQuest – одно из лучших программных решений для поиска оптимальных результатов; в нем применяются методы и алгоритмы нейронных сетей, генетического программи-

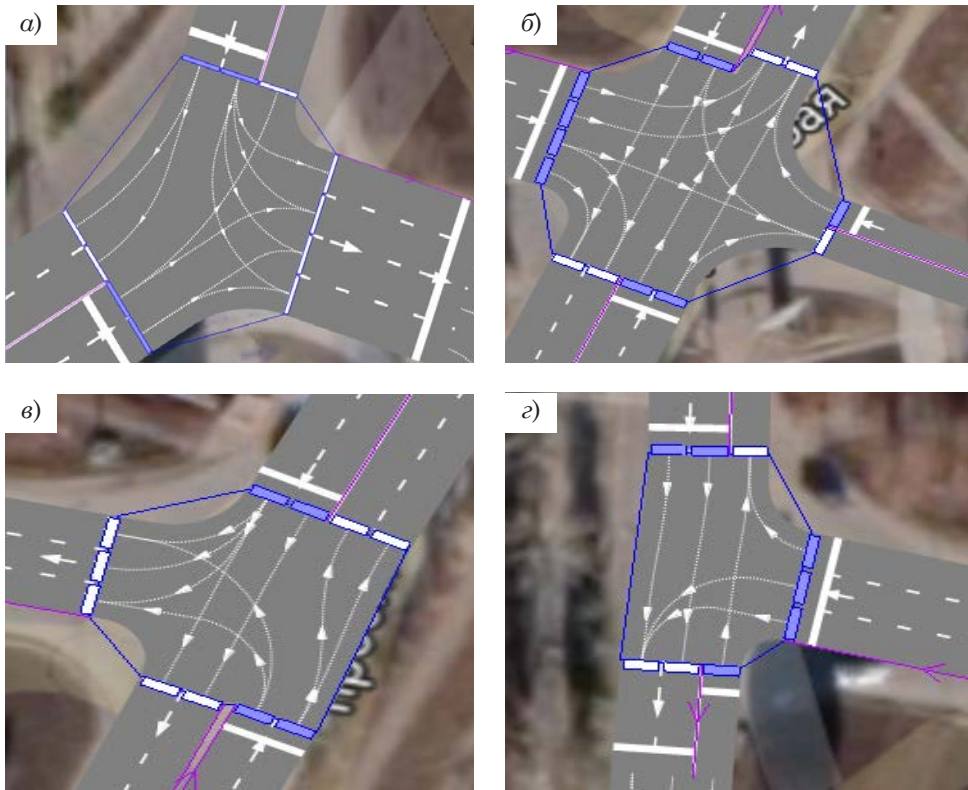


Рис. 8. Мини-перекрестки, входящие в составе исследуемого объекта
 а – просп. Абая – ул. Баймагамбетова; б – просп. Абая – ул. Быковского –
 ул. Воинов-интернационалистов; в – ул. Воинов-интернационалистов –
 ул. Баймагамбетова – ул. Быковского; з – ул. Баймагамбетова – просп. Абая –
 Воинов-интернационалистов

рования и классических методов оптимизации [4].

Организация поиска оптимальной длительности разрешающих фаз u_1 , u_2 , u_3 представляет собой итеративный процесс. Отметим, что длительности разрешающих фаз выбираются с учетом ограничений:

$$T_1 \leq u_k \leq T_2, k = 1, 2, 3.$$

Для расчетов выбирались следующие значения: $T_1 = 10$ с, $T_2 = 180$ с. Во время оптимизации программа выбирает оптимальные значения u_1^* , u_2^* , u_3^* в рамках эксперимента. В качестве критерия F выбрано среднее время прохождения перекрестка с учетом транспорта всех направлений. Входными

параметрами служат интенсивность автомашин по направлениям, вероятности поворота транспортного средства на другое направление. Программа совершает «прогон» возможных значений длительностей u_1 , u_2 , u_3 на имитационной модели и вычисляет оптимальное (минимальное) значение целевой функции $F(u_1^*, u_2^*, u_3^*, \lambda_i, P)$. Отметим, что модель имитационная; по заданным интенсивностям λ_i , $i = 1, \dots, 5$, и вероятностям поворотов $P = \{p_{ij}\}$, $i = 1, \dots, 5$, $j = 1, \dots, 5$, с помощью датчиков случайных чисел моделируется случайный поток машин, поэтому для корректной оценки средних показателей следует запускать процесс моделирования при каждом значении управляющих воздействий на относительно

продолжительный интервал системного времени (например, один час). Затем производится анализ полученных результатов (таблица 2).

Таблица 2
Оптимальные значения
длительности разрешающих
сигналов при средних значениях
интенсивностей

Параметр	Текущее	Оптимальное, u_i^*
Фаза 1, u_1	20	20
Фаза 2, u_2	46	21
Фаза 3, u_3	60	35

Для выбора оптимальной продолжительности разрешающих сигналов с использованием имитационной модели следует еще изучить устойчивость полученных оптимальных значений и всей системы к возможным колебаниям интенсивностей входящих потоков, так как значения разрешающих фаз, оптимальные при средних значениях интенсивностей, могут существенно увеличить среднее время прохождения перекрестка при пиковой загрузке системы за счет возникающих заторов. Таким образом, при выборе оптимального режима работы используем два критерия: минимум среднего времени прохождения сложного перекрестка при средних значениях интенсивности и ограничение на вероятность появления затора P_0 при пиковой загрузке системы (средние и допустимые значения интенсивностей для рассматриваемой приведены в таблице 1).

$$F(u_1^*, u_2^*, u_3^*, \lambda_i, P) \rightarrow \min,$$

$$P_0(u_1^*, u_2^*, u_3^*, \Lambda_i, P) \leq 0,05.$$

Решение полученной задачи оптимизации при наличии ограничений требует очень объемных имитационных экспериментов с различными значениями интенсивности, вероятностями поворота автомашин на другие направления, скоростями движения. Также важным фактором является разработка специальной программы оптимизации, состоящей из одного базового или композиции базовых алгоритмов.

Композиция не может учитывать все описанные данные, а относится только к их значимой части. Контрольная проверка полученной композиции должна осуществляться на последующих экспериментах. Задача считается успешно решенной, если контроль подтверждает результаты.

Выводы

Предложена методика анализа и выбора оптимальных параметров управления для сложного перекрестка с использованием имитационной модели и специальных программ оптимизации и имитационного моделирования. Показано, что используемых ресурсов недостаточно для получения оптимального режима для средних интенсивностей в пиковые часы. Выяснено, что перспективно использование адаптивных моделей регулирования, в том числе «умных светофоров», которые подстраиваются под изменение интенсивностей движения. ■

Литература

1. Алиев А. С., Стрельников А. И., Швецов В. И., Шершевский Ю. З. Моделирование транспортных потоков в крупном городе с применением к московской агломерации // Автоматика и телемеханика. 2005. № 11. С. 113–125. ISSN 0005-2310.
2. Бобрик П. П. Сравнение эффективностей треугольной и квадратной регулярных транспортных сетей // Транспорт: наука, техника, управление. 2005. С. 26. ISSN 0236-191.
3. Буслаев А. П., Новиков А. В., Приходько В. М. Вероятностные и имитационные оптимизации автодорожного движения. // Мир. 2003. 368 с. ISBN 5-03-003646-6.
4. Быков Е. А., Аксенов К. А., Антонова А. С. Аналитический обзор средств и методов для планирования имитационного эксперимента и синтеза мультиагентных процессов

- преобразования ресурсов // Современные проблемы науки и образования. 2014. № 2. 9 с. ISSN 2070-7428.
5. Гасников А. В., Кленов С. Л., Нурминский Е. А. Введение в математическое моделирование транспортных потоков // Московский центр непрерывного математического образования. 2013. ISBN 978-5-4439-0040-7.
 6. Завалищин Д. С., Тимофеева, Г. А., Ахмадинуров М. М. Математические модели управления транспортными потоками : монография. – Екатеринбург : УрГУПС. 2011. 120 с. ISBN 978-5-94614-190-1.
 7. Клинковштейн Г. И., Афанасьев М. Б. Организация дорожного движения // Транспорт. 2001. 247 с. ISBN 5-277-02240-6.
 8. Кременец Ю. А., Печерский М. П. Афанасьев М. Б. – Технические средства организации дорожного движения // Академкнига. 2005. 279 с. ISBN 5-94628-11-9.
 9. Кузюрин Н. Н., Фомин С. А. Эффективные алгоритмы и сложность вычислений // Авторское электронное издание. 2007. ISBN 5-7417-0198-1.
 10. Минаков И.А. Сравнительный анализ некоторых методов случайного поиска и оптимизации // Известия Самарского научного центра Российской академии наук. 1999. № 2. С. 286–293. ISSN 2658-4816.
 11. Смирнов Н. Н., Киселев А. Б., Никитин В. Ф. Математическое моделирование движения автотранспортных потоков методами механики сплошной среды // Труды Московского физико-технического института 2010. Т. 2. № 4 (8). С. 141 –151. ISSN 2072-6759.
 12. Стенбринк П. А. Оптимизация транспортных сетей // Транспорт. 1981. 320 с.
 13. Тарасян В. С., Куликова И. В., Мезенцев И. С. Построение системы нечеткого управления в мехатронных системах при помощи генетических алгоритмов // Современные проблемы науки и образования. 2014. № 6. 8 с. ISSN 2070-7428.
 14. Трапезникова М. А., Фурманова И. Р., Чурбанова Н. Г., Моделирование многополосного движения автотранспорта на основе теории клеточных автоматов // Математическое моделирование 2011. Т. 23. № 6. С. 133–146. ISSN 0234-0879.
 15. Швецов В. И. Математическое моделирование транспортных потоков // Автоматика и телемеханика. 2003. № 11. С. 3–46. ISSN 0005-2310.

Literature

1. Aliev A. S., Strelnikov A. I., Shvetsov V. I., Shershevsky Yu. Z. Modelling of transport in a big city with application to Moscow conglomeration // Automatics and automatic remote control. [Modelirovanie transportnykh potokov v krupnom gorode s primeneniem k moskovskoj aglomeratsii // Avtomatika i telemekhanika] 2005. № 11. P. 113–125. ISSN 0005-2310.
2. Bobrik P. P. Comparison of efficiency of triangular and square regular transport networks // Transport: science, engineering, management. [Sravnenie effektivnostej treugol'noj i kvadratnoj reguljarnykh transportnykh setej // Transport: nauka, tekhnika, upravlenie] 2005. P. 26. ISSN 0236-191.
3. Buslayev A. P., Novikov A. V., Prokhodko V. M. Probabilistic and simulational optimizations of motor vehicle // Mir. [Veroyatnostnye i imitatsionnye optimizatsii avtodorozhnogo dvizheniya // Mir.] 2003. 368 p. ISBN 5-03-003646-6.
4. Bykov E. A., Aksenov K. A., Antonova A. S. Analytical overview of means and methods for planning of a simulational experiment and synthesis of multi agent processes of transformation of resources // Modern problems of science and education. [Analiticheskij obzor sredstv i metodov dlya planirovaniya imitatsionnogo eksperimenta i sinteza mul'tiagentnykh protsessov preobrazovaniya resursov // Sovremennye problemy nauki i obrazovaniya] 2014. № 2. 9 p. ISSN 2070-7428.
5. Gasnikov A. V., Klenov S. L., Nurminsky E. A. Introduction to mathematical modeling of transport // Moscow centre of continuing mathematical education. [Vvedenie v matematicheskoe modelirovanie transportnykh potokov // Moskovskij tsentr nepreryvnogo matematicheskogo obrazovaniya] 2013. ISBN 978-5-4439-0040-7.
6. Zavalishchin D. S., Timofeyeva G. A., Akhmadinurov M.M. Mathematical models of control: [Matematicheskie modeli upravleniya transportnymi potokami : // Izdatel'stvo UrGUPS.] monograph // USURT publishers. 2011. 120 p. ISBN 978-5-94614-190-1.

7. Klinkovstein G. I., Afanasiev M. B. Organization of road transport // Transport. [Organizatsiya dorozhnogo dvizheniya // Transport.] 2001. 247 p. ISBN 5-277-02240-6.
8. Kremenets Yu. A., Pechersky M. P., Afanasiev M. B. — Technical means of organization of road transport // Akademkniga. [Tekhnicheskie sredstva organizatsii dorozhnogo dvizheniya // Akademkniga.] 2005. 279 p. ISBN 5-94628-11-9.
9. Kuzyurin N. N., Fomin S. A. Effective algorithms and complexity of calculations // Author's electronic issue. [Effektivnye algoritmy i slozhnost' vychislenij // Avtorskoe elektronnoe izdanie.] 2007. ISBN 5-7417-0198-1.
10. Minakov I. A. Comparative analysis of some methods of sporadic search and optimization // Bulletin of Samara center of Russia's academy of sciences. [Sravnitel'nyj analiz nekotorykh metodov sluchajnogo poiska i optimizatsii // Izvestiya Samarskogo nauchnogo tsentra Rossijskoj akademii nauk.] 1999. № 2. P. 286–293. ISSN 2658-4816.
11. Smirnov N. N., Kiselev A. B., Nikitin V. F. Mathematical modeling of motor transport using the methods of continuum mechanics // Papers of The Moscow physics and technology Institute 2010. [Matematicheskoe modelirovanie dvizheniya avtotransportnykh potokov metodami mekhaniki sploshnoj sredy // Trudy Moskovskogo instituta] V. 2. № 4 (8). P. 141–151. ISSN 2072-6759.
12. Stenbrink P. A. Optimization of transport networks // Transport. [Optimizatsiya transportnykh setej // Transport.] 1981. 320 p.
13. Tarasyan V. S., Kulikova I. V., Mezentsev I. S. Construction of fuzzy control system in mechatronic systems with the help of genetic algorithms // Modern problems of science and education. [Postroenie sistemy nechetkogo upravleniya v mekhatronnykh sistemakh pri pomoshhi geneticheskikh algoritmov // Sovremennye problemy nauki i obrazovaniya.] 2014. № 6. 8 p. ISSN 2070-7428.
14. Trapeznikova M. A., Furmanova I. P., Churbanova N. G. Modelling of motor transport multilane on the basis of cellular automata theory // Mathematical modeling [Modelirovanie mnogopolosnogo dvizheniya avtotransporta na osnove teorii kletochnykh avtomatov // Matematicheskoe modelirovaniya] 2011. V. 23. № 6. P. 133–146. ISSN 0234-0879.
15. Shvetsov V. I. Mathematical modeling of transport // Automatics and automatic remote control. [Matematicheskoe modelirovanie transportnykh potokov // Avtomatika i telemekhanika.] 2003. № 11. P. 3–46. ISSN 0005-2310.

Статья сдана в редакцию 25 октября 2019 года

Механика машин и роботов

УДК 621.43.05

*А. В. Гриценко, К. В. Глемба, Г. Н. Салимоненко,
А. Г. Карпенко, В. В. Руднев*

Экологические качества бензинового двигателя автомобиля в режиме частичного отключения цилиндров

UDC 621.43.05

*A. V. Gritsenko, K. V. Glemba, G. N. Salimonenko,
A. G. Karpenko, V. V. Rudnev*

Ecological properties of automobile petrol engine under partial deactivation of cylinders

Статья рекомендована к публикации М.В. Запечаловым, д-ром техн. наук, доцентом. Южно-Уральский аграрный университет. E-mail: mv.zapevalov@mail.ru.

Александр Владимирович Гриценко, д-р техн. наук, профессор; кафедра «Автомобильный транспорт» Южно-Уральского государственного университета (НИУ); профессор кафедры «Эксплуатация машинно-тракторного парка» ФГБОУ ВО «Южно-Уральский государственный аграрный университет»; г. Челябинск, Россия. E-mail: alexgrits13@mail.ru.

Константин Вячеславович Глемба, канд. техн. наук, доцент; кафедра «Автомобильный транспорт» Южно-Уральского государственного университета (НИУ); доцент кафедры «Эксплуатация машинно-тракторного парка» ФГБОУ ВО «Южно-Уральский государственный аграрный университет»; г. Челябинск, Россия. E-mail: glemba77@mail.ru.

Григорий Николаевич Салимоненко, аспирант; кафедра «Автомобильный транспорт» Южно-Уральского государственного университета (НИУ); г. Челябинск, Россия. E-mail: salimonenkov@mail.ru.

Анатолий Григорьевич Карпенко, канд. техн. наук, доцент; кафедра «Автомобильный транспорт, информационные технологии и методика обучения техническим дисциплинам» Южно-Уральского государственного гуманитарно-педагогического университета (ЧГПУ); г. Челябинск, Россия. E-mail: angr123@list.ru.

Валерий Валентинович Руднев, канд. техн. наук, доцент; кафедра «Автомобильный транспорт, информационные технологии и методика обучения техническим дисциплинам» Южно-Уральского государственного гуманитарно-педагогического университета (ЧГПУ); г. Челябинск, Россия. E-mail: rudnevv@mail.ru.

The article is recommended for publishing by M.V. Zapevalov, Doctor of tech. science, Associate Professor. South-Ural agrarian university. E-mail: mv.zapevalov@mail.ru.

Alexander Vladimirovich Gritsenko, Doctor of tech. science, Professor, «Motor transport» Chair, «South Ural state university»; Professor, «Operation of machine and tractor fleet, and technology and mechanization of livestock breeding» Chair, South Ural state agrarian university; Chelyabinsk, Russia. E-mail: alexgrits13@mail.ru.

Konstantin Vyacheslavovich Glemba, Cand. of tech. science, Associate Professor, «Motor transport» Chair, «South Ural state university»; Associate Professor, «Operation of machine and tractor fleet, and technology and mechanization of livestock breeding» Chair, South Ural state agrarian university; Chelyabinsk, Russia. E-mail: glemba77@mail.ru.

Andrey Alexandrovich Petelin, Cand. of tech. science, Associate Professor, «Tractors, farm machinery and land husbandry» Chair, South Ural state agrarian university; Chelyabinsk, Russia. E-mail: petelin.aa@mail.ru.

Vladimir Nikolayevich Kozhanov, Cand. of tech. science, Associate Professor, «Tractors, farm machinery and land husbandry» Chair, South Ural state agrarian university; Chelyabinsk, Russia. E-mail: kozhanov.vn@mail.ru.

Anatoly Grigorievich Karpenko, Cand. of tech. science, Associate Professor, «Motor transport, information technology and methodology of teaching engineering disciplines» Chair, South Ural state humanitarian and teachers' training university (ChSTTU); Chelyabinsk, Russia. E-mail: angr123@list.ru.

Valery Valentinovich Rudnev, Cand. of tech. science, Associate Professor, «Motor transport, information technology and methodology of teaching engineering disciplines» Chair, South Ural state humanitarian and teachers' training university (ChSTTU); Chelyabinsk, Russia. E-mail: rudnevv@mail.ru.

Аннотация

При эксплуатации автомобиля в городском режиме основную часть работы двигателя внутреннего сгорания (ДВС) составляют режимы холостого хода и малых нагрузок. Максимальная топливная экономичность ДВС происходит при использовании 70–80 % своей проектной мощности, на частичных же режимах – недобор экономичности. Проведен анализ методов снижения токсичности отработавших газов, выделены оптимальные способы. Один из путей повышения эксплуатационных свойств двигателя – регулирование рабочего объема двигателя на режимах частичных нагрузок методом отключения цилиндров. Сущность метода – исключение из работы некоторых цилиндров двигателя на частичных режимах с распределением нагрузки на оставшиеся цилиндры. Рассмотрен расход топлива за пробег и время работы при различных нагрузочных режимах двигателя. Обоснованы параметры работы двигателя при отключении части цилиндров. Экспериментально определены взаимосвязи показателей и параметров тестовых режимов при изменении количества отключенных цилиндров работающего двигателя с помощью разработанного прибора для отключения цилиндров. В ходе эксперимента основное внимание направлено на установление зависимости токсичности отработавших газов и топливной экономичности от количества отключенных цилиндров. Исследована зависимость изменения расхода топлива при отключении его цилиндров на различных частотах вращения коленчатого вала двигателя. По результатам эксперимента выявлено, что отключение цилиндров положительно сказывается на токсичности выхлопных газов. Снижение токсичности и экономия топлива отмечаются на всех экспериментальных режимах.

Ключевые слова: экологичность, экономичность, отключение цилиндров, режимы работы двигателя, частота вращения вала.

DOI: 10.20291/2079-0392-2019-4-25-39

Abstract

When the automobile is exploited in urban conditions, the main part of operation of the internal combustion engine (ICE) is composed of an idle stroke and light-load condition. The ICE maximum fuel is reached at 70-80% usage of its design capacity, at partial modes shortage is observed. The analysis of methods to decrease exhaust toxicity level was made, optimum ways were highlighted. Regulating of the engine working volume at partial loading modes with deactivation of cylinders appears to be one of the ways to improve engine operating properties. The essence of this method lies in deactivation of some cylinders at partial modes with distribution of the load onto remaining cylinders. Fuel consumption per mileage and operation time at various modes of the engine are studied. Engine operation parameters at deactivation of a part of cylinders are justified. There were experimentally determined interdependencies of indicators and parameters of checkout modes in case of changing the number of the working engine deactivated cylinders with the help of the developed device for deactivation of cylinders. In the process of the experiment the main attention is directed to tracing exhaust toxicity level and fuel to the number of deactivated cylinders. Dependence of fuel consumption change under deactivation of cylinders at various crankshaft rotational rates was investigated. By the results of the experiment it was detected that deactivation of cylinders produces a positive effect on exhaust toxicity level. Reduction of toxicity level and fuel are observed at all experimental modes.

Key words: sustainability, efficiency, deactivation of cylinders, engine operation modes, crankshaft rotational rate

DOI: 10.20291/2079-0392-2019-4-25-39

При эксплуатации мобильных энергетических средств экологичность ставится на первое место. Чтобы обеспечить экономичность, экологичность, надежность, комфортабельность и др. на автотранспорт устанавливают новейшие средства контроля, регулирования и автоматического управления [1–3].

В автомобилях распространены специализированные автотронные системы, а не универсальные, представляющие совокупность систем (экологической, микропроцессорной (электроискрового зажигания с дополнительными функциями регулирования), впрыска топлива для бензиновых двигателей, электронной системы автоматического

управления бензиновым двигателем (ЭСАУ-Д)) [4–6]. Глобальные требования к новым автомобильным системам по стандартам OBD-II (США) и EOBD-II (Европа) достижимы только с применением конструктивных мероприятий на заводах изготовителях [7–9].

Стремительное развитие автотранспорта требует одновременной разработки как инфраструктуры транспортных услуг, так и улучшения топливной экономичности и снижения токсичности отработавших газов (ОГ).

При эксплуатации автомобиля в городе ДВС работают в основном в режимах холостого хода или малых нагрузок, в результате они недостаточно экономичны, так как не используется их расчетная нагрузка (70–80 % от проектной мощности) [10, 11].

Рабочий объем двигателя регулируют, отключая цилиндры (ОЦ), что позволяет на частичных режимах исключить из работы часть цилиндров, переложив с них нагрузку на оставшиеся [12, 13].

Средства и методы повышения экологичности и экономичности ДВС: непосредственный впрыск топлива, каталитические нейтрализаторы, адсорберы топлива, механизмы управления фазами газораспределения, отключение цилиндров и др. Распространен способ, основанный на отключении части цилиндров. Впервые элементы конструкторских разработок и теорию регулирования мощности ДВС применил академик Е. А. Чудаков. Практический результат: снижение расхода топлива бензиновым поршневым ДВС до 25 %, двухсекционным роторнопоршневым – до 20 %, дизелем – до 15 % [14, 15].

Особенно актуальны разработки в области отключения цилиндров на V-образных двигателях типа V6, V8 или V12 (используются на автомобилях BMW, Wolkswagen и др.) [16, 17]. Но для повышения экологичности и экономичности мало используется методология тестового контроля систем ДВС путем исключения из работы цилиндров (полностью или частично, при режиме изменения длительности впрыска).

Современные методы снижения токсичности ОГ: воздействие на элементы газораспределительного механизма, отключение топливоподачи с сообщением отключенных цилиндров с атмосферой или с выпускным трактом двигателя, деактивация цилиндров в работе методом остановки элементов поршневой группы (модульное ОЦ) [18, 19]. Средства исключения из работы цилиндров двигателей приведены в таблице 1. С учетом нагрузочного режима для определения часового расхода топлива рассмотрена взаимосвязь между показателями работы двигателя [5, 20, 21].

В результате определено, что на топливный расход влияют изменение оборотов двигателя, индикаторный КПД, загрузка двигателя, число цилиндров в работе и условное среднее давление механических потерь [5, 22, 23].

Топливную экономичность Q_t определяют удельным расходом топлива в литрах на 100 т·км транспортной работы, которую считают одним из основных эксплуатационных показателей работы автотранспорта [5]:

$$Q_t = \frac{10^5 G_{\text{сум}}}{\rho_t L_{\text{гр}} P_{\text{гр}}}, \quad (1)$$

где $G_{\text{сум}}$ – количество топлива, израсходованное транспортным средством за определенный пробег, кг; $L_{\text{гр}}$ – пробег транспортного средства с грузом, км; ρ_t – плотность топлива, г/см³; $P_{\text{гр}}$ – полезный груз, перевозимый транспортным средством, кг.

Путем суммирования произведений часовых расходов топлива и времени работы при различных нагрузочных режимах двигателя находят расход топлива за пробег. Используя низшую теплоту сгорания топлива H_u , рабочий объем цилиндра V_h , индикаторный КПД двигателя η_i , частоту вращения коленчатого вала n , количество цилиндров в двигателе i , число тактов τ работы двигателя при максимальной цикловой подаче, среднее эффективное давление в цилиндре p_e и условное

Таблица 1

Преимущества и недостатки метода отключения цилиндров двигателя

Метод отключения цилиндров двигателя	Преимущества	Недостатки
Отключение подачи топлива (с перепуском отработавших газов)	Сохранение теплового режима отключаемых цилиндров	Высокие затраты на реконструкцию двигателя
Отключение привода газораспределительного механизма (без перепуска отработавших газов):	Отсутствие потерь на газообмен	Нарушение теплового режима, отключенных цилиндров
– клапана в закрытом положении;	То же самое	Неравномерный износ отключенных цилиндров
– клапаны находятся в открытом положении (величина открытия ограничивается ходом клапана при положении поршня в ВМТ);	То же самое	Повышение токсичности отработавших газов при повторном включении
– перепуск отработавших газов из рабочих цилиндров через выключенные;	То же самое	Проблемы с накоплением смазочного масла в отключенных цилиндрах
– циркуляция газов в отключенных цилиндрах из выпуска на выпуск	То же самое	Усложнение конструкции
Остановка поршней (без перепуска отработавших газов):	Полностью исключены механические потери	Увеличение вибрации и шума
– разрыв жесткой связи между коленчатым валом и поршнем («ломающийся» шатун);	– не требуется больших конструктивных изменений;	Трудность обслуживания и ремонта
– отключение рабочих цилиндров группами	– количество отключаемых цилиндров может быть любое	Нет

давление механических потерь двигателя $p_{мп}$ находят часовой расход топлива G_T (л/ч) [5]:

$$G_T = n \cdot p_e i \frac{0,12V_h}{\tau H_u \eta_i} + p_{мп}. \quad (2)$$

При исключении из работы части цилиндров двигателя изменятся и значения среднего эффективного давления и условного давления механических потерь и индикаторного КПД. По формуле (2) некорректно определять расход топлива при отключении цилиндров. Величина среднего эффективного давления p_e связана с крутящим моментом двигателя соотношением в зависимости от нагрузочного режима работы двигателя [5]:

$$p_e = \frac{3M_e \tau}{955V_h i}, \quad (3)$$

где M_e – текущее значение крутящего момента (Н·м), равное моменту сопротивления M_c (Н·м) на валу двигателя, которое, в свою очередь, связано с коэффициентом загрузки двигателя K_3 выражением [5]:

$$K_3 = \frac{M_c}{M_{eN}}, \quad (4)$$

где M_{eN} – крутящий момент при номинальном режиме работы двигателя, Н·м.

Выражение часового расхода топлива $G_{T,z}$ (л/ч) является функцией от показателей загрузки транспортного

средства, учитывающей режимы и показатели работы двигателя, которые изменяются при отключении части его цилиндров [5]:

$$G_{\tau z} = k_N \frac{0,12n_N}{n_{i_z}\eta_{i_z}} \left(K_{3z} \frac{3M_{eN}}{955} + p_{мп_z} \frac{V_h}{\tau} z \right), \quad (5)$$

где z – количество работающих цилиндров двигателя, ед.; k_N – коэффициент изменения номинальной мощности двигателя при работающих z цилиндрах; n_{i_z} – частота вращения коленчатого вала при работающих z цилиндрах, мин^{-1} ; n_N – частота вращения коленчатого вала при номинальном режиме работы двигателя, мин^{-1} ; η_{i_z} – индикаторный КПД двигателя при работающих z цилиндрах; K_{3z} – коэффициент загрузки двигателя при работающих z цилиндрах; $p_{мп_z}$ – условное давление механических потерь двигателя при работающих z цилиндрах, МПа.

Нагрузка на цилиндр связана с индикаторным давлением p_i в цилиндре [5]:

$$p_i = p_e + p_{мп}. \quad (6)$$

На холостом ходу индикаторное давление равно давлению механических потерь [5]:

$$p_i = p_{мп}. \quad (7)$$

Условное среднее эффективное давление (p_{e_i}) в случае без ОЦ находится, МПа [5]:

$$p_{e_i} = \frac{30N_e\tau}{nV_h i} = K_3 \frac{3M_{eN}\tau}{955V_h i}. \quad (8)$$

Условное среднее эффективное давление (p_{e_z}) в случае исключения из работы части цилиндров зависит от числа z цилиндров в работе, МПа [5]:

$$p_{e_z} = p_{e_i} \frac{i}{z}. \quad (9)$$

Аналогично найдем условное среднее давление механических потерь ($p_{мп_z}$) при исключении из работы части цилиндров, МПа [5]:

$$p_{мп_z} = p_{мп_i} \frac{i}{z} k_{мп_z}, \quad (10)$$

где $p_{мп_i}$ – условное среднее давление механических потерь двигателя без ОЦ, МПа; $k_{мп_z}$ – коэффициент изменения механических потерь двигателя при отключении части цилиндров.

Индикаторное давление в случае исключения из работы z цилиндров находим из выражения, МПа [5]:

$$p_{i_z} = \frac{i}{z} (p_{мп_i} k_{мп_z} + p_{e_i}). \quad (11)$$

Выбор критерия для оценки эффективности применяемых методов может быть основан на использовании технических, технологических, экономических параметров. При использовании метода полного (частичного) отключения цилиндров учитывался перевес эффекта – экономия топлива над затратами при разработке средств контроля и переоборудование ДВС. Проведенный анализ показал, что оптимальный способ – отключение цилиндров путем воздействия на топливоподачу и искрообразование. Некоторые результаты реализации этого способа представлены в [24]. При использовании этого способа не требуется доработки в конструкции двигателя (Volkswagen – остановка поршней, Honda – отключение привода газораспределительного механизма). Экономия топлива от применения метода отключения цилиндров составила до 10–15 %. Величины экономии топлива и содержание компонентов СО и СН в ОГ представлены в таблице 2 [25].

Недостаток исследований, приведенных в [24], – отсутствие контроля технического состояния двигателя и его систем. Особенность наших исследований заключается в непрерывном контроле технического состояния систем и механизмов ДВС (питания, зажигания, выпуска, впуска, газораспределения, цилиндропоршневой группы). Изменение параметров этих систем влияет на расход топлива и удельные показатели [24, 25].

Таблица 2

Результат экономии топлива и изменение содержания компонентов СО и СН в отработавших газах при разных режимах работы ДВС

Режим работы цилиндров ДВС	Результат в виде повышения / снижения (+ / –)		
	расхода топлива, %	уровня СО, раз	уровня СН, раз
Полное исключение из работы двух цилиндров	–30	–5	+6
Циклическое отключение по программе «1 импульс через 2»	–18	–6	–5
Постоянное отключение одного цилиндра	–14	–4	–3
Циклическое отключение по программе «1 импульс через 4»	–12	–4,5	–2
Циклическое отключение по программе «1 импульс через 5»	–5	–4	–1

Разработаны общая методика для решения задач, включающая тестовый контроль систем ДВС путем полного (или частичного) отключения цилиндров и изменения длительности впрыска с целью повышения экологичности и экономичности, способ снятия скоростных и нагрузочных характеристик ДВС и др. (рис. 1).

Методика включает в себя теоретические (анализ данных и разработка методики) и экспериментальные (лабораторные и эксплуатационные)

исследования. Испытательная установка состоит из двигателей ЗМЗ-406.10 и ВАЗ-2112 (оба с электронной системой управления). Для создания необходимых режимов нагрузки при работе двигателя использовался разработанный авторами прибор «догружатель бензинового двигателя» с программным интерфейсом, который позволяет создавать планируемую нагрузку на диагностируемые цилиндры. Также использовались USB Oscilloscope III Постоловского, пневмотестер К-69М,

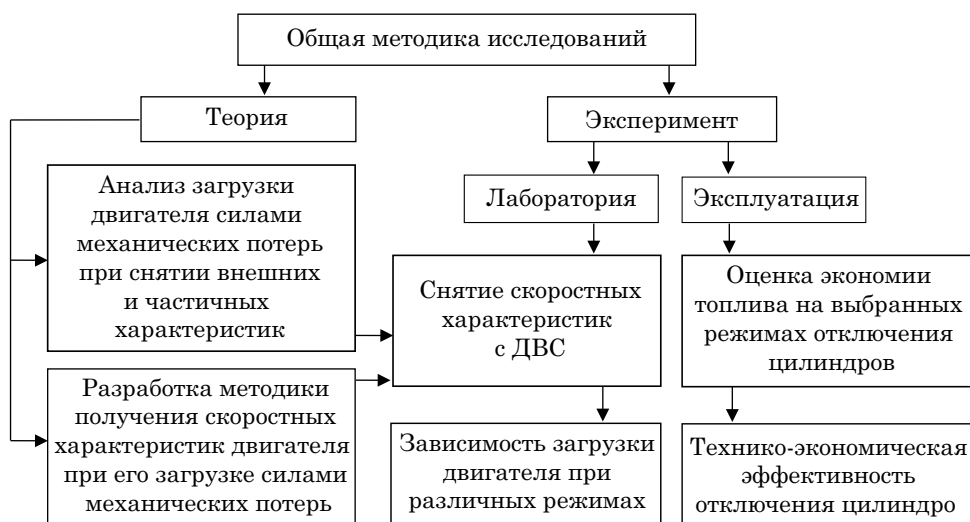


Рис. 1. Схема общей методики проведения исследований

мотор-тестер МТ-10. Достоверность определялась альтернативными методами с помощью сравнения полученных результатов с результатами диагностирования на аналогичных исправных ДВС [5, 7].

При проведении экспериментальных исследований использовался исследовательский стенд (рис. 2) на базе двигателя ЗМЗ-4062. К нему подключалась «электронно-управляемая нагрузка» с программным обеспечением (рис. 3), позволяющим при работе на стенде фиксировать значения выходных экспериментальных данных работы двигателя при отключении одного, двух и трех цилиндров [5, 26, 27].

Экспериментально получены взаимосвязи показателей и параметров тестовых режимов на работающем ДВС при изменении количества отключенных цилиндров при использовании разработанного прибора для ОЦ. В исследованиях внимание направлялось на определение зависимости между показателями токсичности, количеством исключенных из работы цилиндров двигателя и топливной экономичностью. Эффективность предложенного способа подтверждают экспериментальные данные [5, 26, 27].

На различных оборотах коленчатого вала двигателя экспериментально получена и исследована зависимость изменения токсичности ОГ двигателя при исключении их работы части цилиндров.



Рис. 2. Экспериментальный стенд (двигатель ЗМЗ-4062)

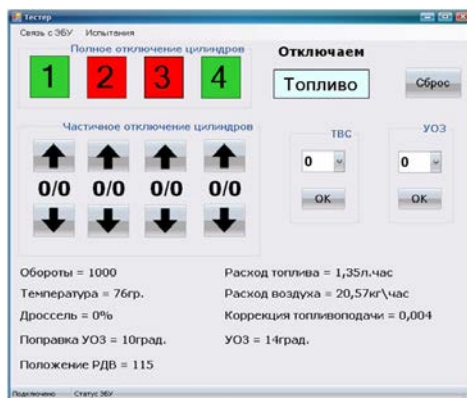


Рис. 3. Интерфейс программы в режиме съема данных при двух исключенных из работы цилиндрах

обороты – частота вращения коленчатого вала двигателя, мин^{-1} ; температура – температура охлаждающей жидкости, $^{\circ}\text{C}$; дроссель – процент открытия дроссельной заслонки; поправка УОЗ – поправка угла опережения зажигания, град; положение РДВ – положение регулятора добавочного воздуха, шагов; расход топлива – л/ч; расход воздуха – кг/ч; коррекция топливоподачи; УОЗ – угол опережения зажигания, град

Зависимость изменения токсичности ОГ двигателя, у которого отключали цилиндры, при оборотах коленчатого вала в интервале $1000\text{--}3500 \text{ мин}^{-1}$ представлена на рис. 4, а, б. Результаты исследований на всех экспериментальных режимах показали снижение токсичности. Причем в режиме максимальных оборотов (3500 мин^{-1}) обеспечивается максимальный эффект. Показатели токсичности оказались минимальными при работе двигателя на одном цилиндре.

Экспериментально определена взаимосвязь изменения расхода топлива при исключении из работы цилиндров двигателя на разных оборотах коленчатого вала (рис. 5). Анализ данных показал, что на всех экспериментальных режимах снижается расход топлива. Наибольший эффект обеспечивается при оборотах коленчатого вала 3000 мин^{-1} ; при исключении из работы двух цилиндров экономичность составляет 1,45 л/ч, или 30 %.

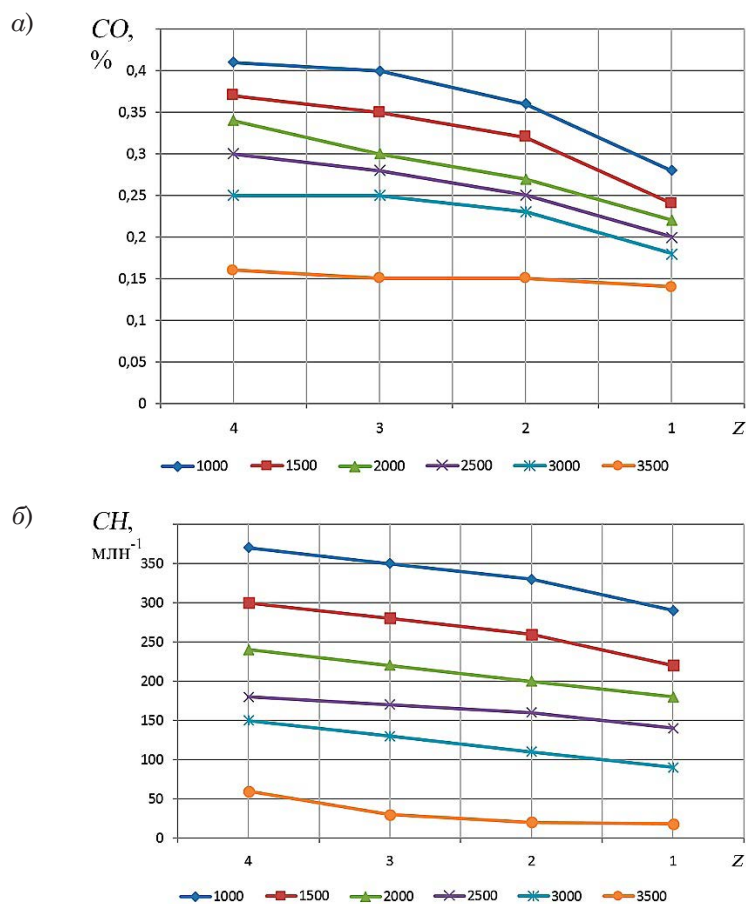


Рис. 4. Зависимости изменения

а – оксида углерода CO (%) и б – углеводородов CH (млн⁻¹) в зависимости от числа z цилиндров в работе при разных оборотах n коленчатого вала (1000–3500 мин⁻¹)

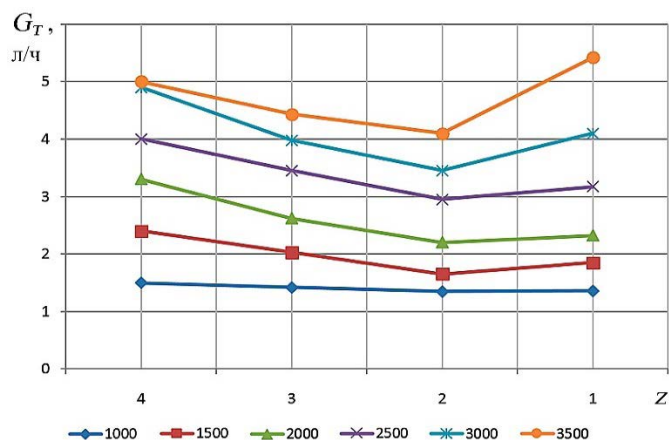


Рис. 5. График зависимости изменения часового расхода топлива G_T (л/ч) при изменении числа z работающих цилиндров на разных оборотах n коленчатого вала (диапазон 1000–3500 мин⁻¹)

Зависимости изменения экологических показателей работы четырехцилиндрового двигателя при разных значениях степени нагружения одного оставшегося в работе цилиндра (в другие три цилиндра из четырех полностью отключена подача топлива) представлены на рис. 6–9. Степень нагружения создается отключением впрыска топлива в цилиндры электромагнитными форсунками в течение некоторых циклов. Дискретность этих отключений составляет периоды, кратные 10 %, интервал варьирования составляет 10–80 %.

Из всех вариантов выпадает четвертый цилиндр (рис. 6). Начиная с полноценной работы цилиндра, содержание СО имеет максимальное значение в 2,5 %, здесь в цилиндре переобогащенная смесь (пропускная способность форсунки выше на 6 % при сравнительно малой относительной утечке из цилиндра (14 %). Например, в третьем цилиндре установлена форсунка с уменьшенной на 6 % пропускной способностью. Содержание СО остается практически на

одном уровне в 0,12–0,20 % (фиолетовый график идет полого). В тот же момент для первого цилиндра (зеленый график), в котором установлена форсунка с номинальной пропускной способностью, значение СО держится на уровне 0,44–0,63 %. То есть прослеживается четкая закономерность: с уменьшением пропускной способности форсунки содержание СО снижается на всем протяжении изменения нагружения.

Максимальное содержание СН наблюдается во втором цилиндре (рис. 7). Это связано с сочетанием значительного износа цилиндропоршневой группы (ЦПГ) (22 %) и заниженной на 3 % подачи форсункой топлива. Причем в начале процесса нагружения двигателя возрастают до максимального значения показания СН (538 млн^{-1}). Далее снижается уровень СН, что связано с улучшением процесса сгорания. При работе четвертого цилиндра (красный график, рис. 7) наблюдается наименьшее значение содержания СН (не выше 232 млн^{-1}). Это связано с наименьшим износом ЦПГ (14 %).

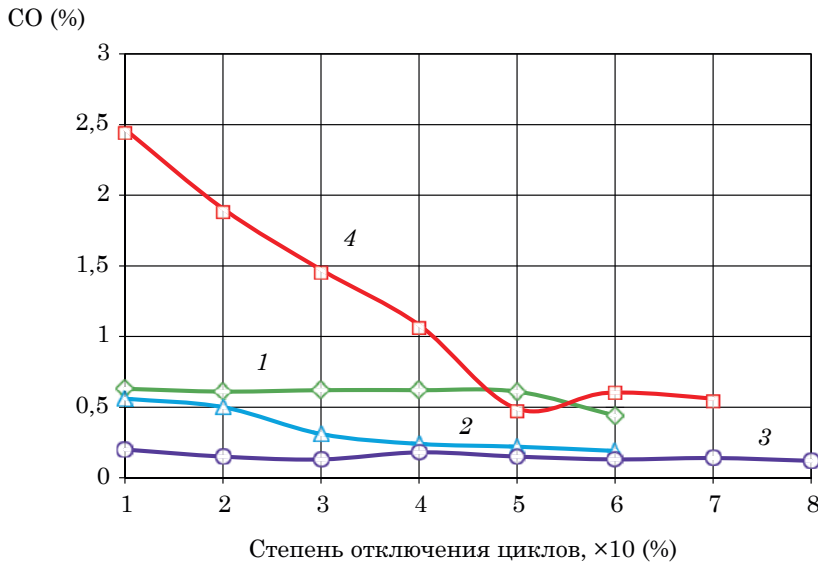


Рис. 6. Зависимости изменения концентрации СО, % в ОГ от степени нагружения ДВС при установке искусственного сопротивления в систему выпуска сечением $d = 50 \text{ мм}$
1–4 – номера не исключенных из работы цилиндров

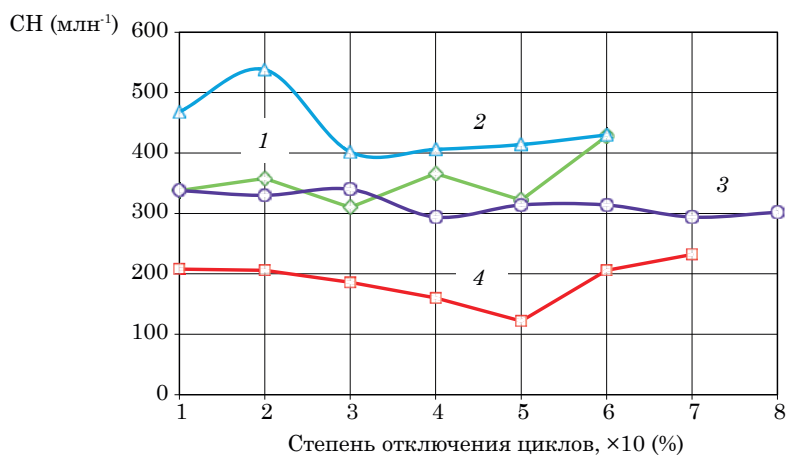


Рис. 7. Зависимости изменения концентрации СН, % в ОГ от степени нагружения ДВС при установке искусственного сопротивления в систему выпуска сечением $d = 50$ мм
1–4 – номера цилиндров, включенных в работу

Концентрация CO_2 достигает наибольшего значения для 4-го цилиндра – 5,35 % (рис. 8). Это связано с богатой смесью (пропускная способность форсунки на 6 % большей от номинала). Для 1-го и 2-го цилиндров величина CO_2 несколько выше – 3 % (форсунки у 1-го и 2-го формируют обедненную смесь, их пропускная способность составляет 0 и 3 %). Стабильно высокая концентрация CO_2 (на уровне 4 %) держится при работе под нагрузкой 3-го цилиндра, в котором установлена

форсунка с наименьшей подачей, что и вызывает данный эффект.

Максимальные значения O_2 (16–17 %) достигаются при работе под нагрузкой 1-го и 2-го цилиндров (форсунки с пропускной способностью 0 и 3 %) (рис. 9). Работа 3-го цилиндра сопровождается меньшим содержанием O_2 (15,5 %). Это объясняется наличием переобедненной смеси. Наименьшие же значения O_2 (ниже 14 %) формируются при работе 4-го цилиндра, так как в нем установлена форсунка (пропускная

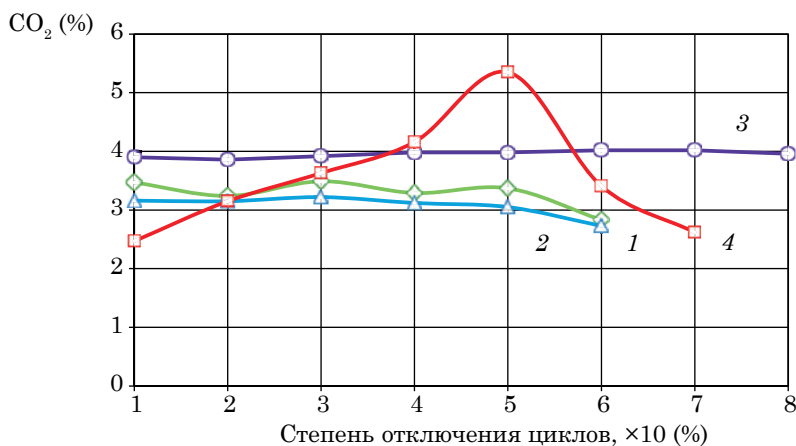


Рис. 8. Зависимости изменения концентрации CO_2 , % в ОГ от степени нагружения ДВС при установке искусственного сопротивления в систему выпуска сечением $d = 50$ мм
1–4 – номера цилиндров, включенных в работу

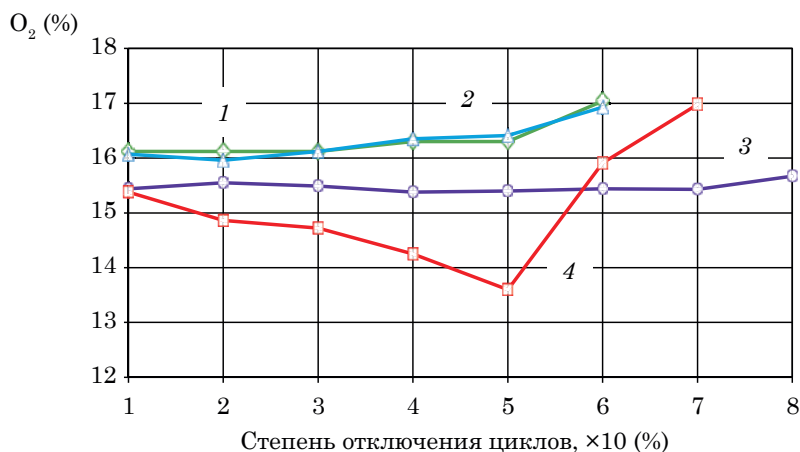


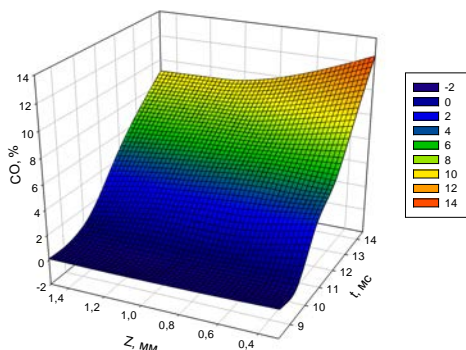
Рис. 9. Зависимости изменения концентрации O_2 , %, в ОГ от степени нагружения ДВС при установке искусственного сопротивления в систему выпуска сечением $d = 50$ мм
1–4 – номера цилиндров, включенных в работу

способность – +6 %), подающая переобогащенную смесь, что нивелирует свободный кислород при сжигании.

В подготовительной части эксперимента создавалось предельное сопротивление в выпускном тракте путем установки эквивалентного сечения диаметром в 8 мм. Задавалось положение дроссельной заслонки – 20 %. В результате получены графики трехмерных зависимостей (рис. 10–12) с определенной достоверностью коэффициента

аппроксимации данных R_{sq} . Анализ рис. 9, а показывает монотонный линейный рост уровня CO на всем протяжении изменения длительности впрыска t . Чем больше длительность впрыска, тем выше содержание концентрации CO в отработавших газах. Длительность впрыска 14 мс увеличивает CO на 12 %. На рис. 10, б виден всплеск уровня CO_2 – 10 мс длительности впрыска t . Это точка перехода, характеризующая нежелательное значение величины

а)



б)

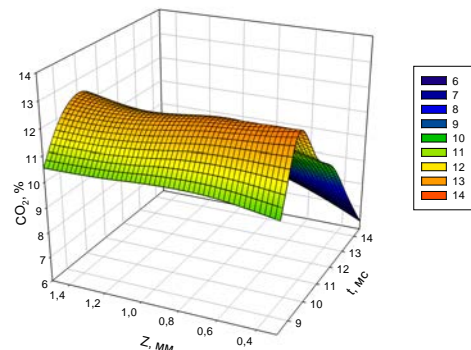
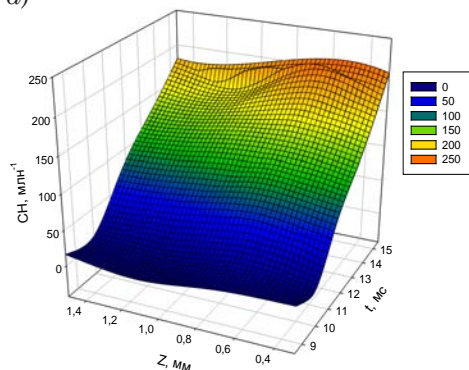


Рис. 10. Зависимости изменения концентрации компонентов ОГ (сопротивление катализатора эквивалентно сечению диаметром в 8 мм, положение дросселя – 20 %),
а – содержание CO при варьировании величины зазора свечи зажигания Z (мм) и длительности впрыска t , мс ($R_{sq} = 0,96$); б – содержание CO_2 при варьировании величины зазора свечи зажигания Z , мм, и длительности впрыска t , мс ($R_{sq} = 0,86$)

а)



б)

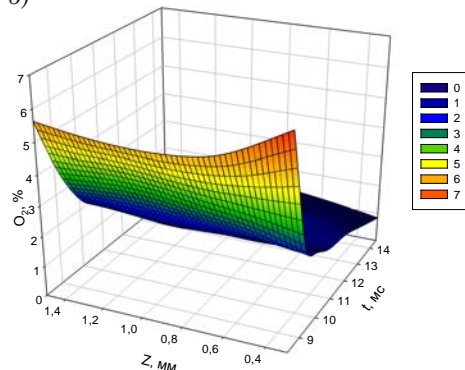


Рис. 11. Зависимости изменения концентрации компонентов ОГ (сопротивление катализатора эквивалентно сечению диаметром в 8 мм, положение дросселя – 20 %), % а – содержание CH , млн^{-1} , при варьировании величины зазора свечи зажигания Z , мм, и длительности впрыска t , мс ($\text{Rsqr} = 0,93$); б – содержание O_2 , %, при варьировании величины зазора свечи зажигания Z , мм, и длительности впрыска t , мс ($\text{Rsqr} = 0,92$)

впрыскиваемого форсункой топлива. Значения длительности впрыска 8–9 мс предпочтительны для данного ДВС.

На рис. 11, а, б виден явный минимум уровня токсичности CH и O_2 (свыше 12 мс длительности впрыска t), к которому следует стремиться при оптимизации технико-экономических параметров двигателя.

На рис. 10, б и рис. 12 виден явный максимум, соответствующий длительности впрыска 10–11 мс, где наблюдается наибольшая чувствительность

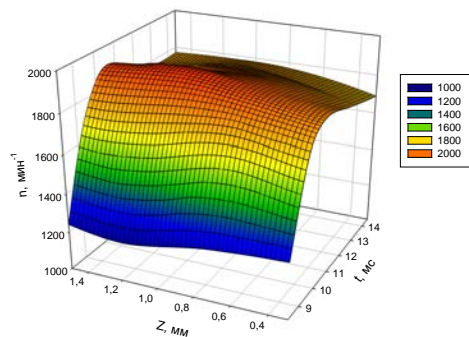


Рис. 12. Зависимость изменения оборотов коленвала n , мин^{-1} , при варьировании величины зазора свечи зажигания Z , мм, и длительности впрыска t , мс (сопротивление катализатора эквивалентно сечению диаметром в 8 мм, положение дросселя – 20 % ($\text{Rsqr} = 0,92$))

диагностического параметра (частоты вращения коленвала) к неисправностям элементов ДВС.

Разработана методика тестового контроля систем ДВС путем полного (частичного) отключения цилиндров и изменения длительности впрыска с целью повышения экологичности и экономичности.

Экспериментально выявлено, что метод ОЦ снижает уровень токсичности выхлопных газов. Содержание углеводорода и оксидов углерода с наименьшими показателями можно получить при оборотах двигателя 3500 мин^{-1} . Снижение часового расхода топлива подтверждено на всех экспериментальных режимах. Наибольшая экономия обеспечивается при величине оборотов двигателя в 3000 мин^{-1} .

В результате проведенного комплекса исследований разработана методика тестового контроля систем ДВС путем полного (частичного) отключения цилиндров и изменения длительности впрыска. Комплекс диагностических средств может быть использован машиностроительными, автообслуживающими и обучающими организациями для контроля параметров экологичности и экономичности работы ДВС. ■

Литература

1. Abas M., Zainal Abidin S., Rajoo S., Martinez-Botas R. et al. Evaluation Between Engine Stop. Start and Cylinder Deactivation Technologies Under Southeast Asia Urban Driving Condition // SAE Technical Paper 2017-01-0986, 2017.
2. Abas M. and Martinez-Botas R. Engine Operational with Cylinder Deactivation in Malaysian Urban Driving Conditions // SAE Technical Paper 2015-01-0983, 2015.
3. Bemman Y., Frei T., Jones C., and Keck M. Passive Exhaust System With Cylinder Deactivation // SAE Technical Paper 2005-01-2351, 2005.
4. Марков В., Девянин С., Савастенко Э., Савастенко А. Отключение цилиндров как способ улучшения топливной экономичности бензиновых двигателей // Автомобильная промышленность, 2014. № 1. С. 5–8. ISSN 0005-2337.
5. Гриценко А. Разработка методов тестового диагностирования работоспособности систем питания и смазки двигателей внутреннего сгорания : дис. ... на соиск. уч. ст. д-ра техн. наук. Челябинск, 2014. 397 с.
6. Гриценко А., Куков С. Обоснование и разработка эффективных систем диагностирования двигателей внутреннего сгорания мобильных сельскохозяйственных машин : Междун. науч.-техн. конф. «Достижения науки – агропромышленному производству» // Челябинск : ЧГАА, 2012. Ч. III. С. 20–25.
7. Гриценко А., Куков С. Диагностирование систем ДВС на тестовых статических режимах // Вестник ЧГАА, 2012. Т. 61. С. 31–38.
8. Гриценко А., Куков С. Определение эффективности использования средств технического диагностирования с учетом частоты отказов систем ДВС // Вестник ЧГАА, 2012. Т. 60. С. 45–48.
9. Гриценко А., Куков С. Разработка эффективных средств и методов диагностирования двигателей внутреннего сгорания // Вестник ЧГАА, 2011. Т. 58. С. 111–117.
10. Vinodh B. Technology for Cylinder Deactivation // SAE Technical Paper 2005-01-0077, 2005.
11. Mohammadpour M., Rahmani R., and Rahnejat H. The Effect of Cylinder De-Activation on Thermo-Friction Characteristics of the Connecting Rod Bearing in the New European Drive Cycle (NEDC) // SAE Technical Paper 2014-01-2089, 2014.
12. Senapati U., McDevitt I., and Hankinson A. Vehicle Challenges for a Large Displacement Engine with Cylinder Deactivation Capability // SAE Technical Paper 2011-01-1678, 2011.
13. Журавлев С., Зубарев К. Апробация способа управления мощности ДВС отключением цилиндров // Техника и технологии строительства, 2015. № 3 (3). С. 14–20. ISSN 2412-8406.
14. Leone T., and Pozar M. Fuel Economy of Cylinder Deactivation – Sensitivity to Vehicle Application and Operating Constraints // SAE Technical Paper 2001-01-3591, 2001.
15. Douglas K., Milovanovic N., Turner J., and Blundell D. Fuel Economy Improvement Using Combined CAI and Cylinder Deactivation (CDA) – An Initial Study // SAE Technical Paper 2005-01-0110, 2005.
16. Senapati U., McDevitt I., and Hankinson A. Vehicle Challenges for a Large Displacement Engine with Cylinder Deactivation Capability // SAE Technical Paper 2011-01-1678, 2011.
17. Muhamad Said M., Abdul Aziz A., Abdul Latiff Z., Mahmoudzadeh Andwari A. et al. Investigation of Cylinder Deactivation (CDA) Strategies on Part Load Conditions // SAE Technical Paper 2014-01-2549, 2014.
18. Joshi M., Gosala D., Allen C., Srinivasan S. et al. Diesel Engine Cylinder Deactivation for Improved System Performance over Transient Real-World Drive Cycles // SAE Technical Paper 2018-01-0880, 2018.
19. Lapuerta M., Hernández J., and Armas O. Kinetic Modelling of Gaseous Emissions in a Diesel Engine // SAE Technical Paper 2000-01-2939, 2000.
20. Гриценко А., Куков С. Обоснование и разработка средств и методов диагностирования двигателей внутреннего сгорания автомобилей : Междун. науч.-техн. конф. «Достижения науки – агропромышленному производству». – Челябинск : ЧГАА, 2011. С. 7–11.
21. Bech A., Shayler P., and McGhee M. The Effects of Cylinder Deactivation on the Thermal Behaviour and Performance of a Three Cylinder Spark Ignition Engine // SAE Int. J. Engines 9 (4):1999-2009.

22. Гриценко А. Диагностирование систем двигателя внутреннего сгорания бестормозным методом с перераспределением цилиндрических нагрузок // Вестник ЧГАА, 2011. Т. 58. С. 108–110.
23. Connolly F. Direct Estimation of Cyclic Combustion Pressure Variability Using Engine Speed Fluctuations in an Internal Combustion Engine // SAE Technical Paper 940143, 1994.
24. Зеер В. Влияние способа отключения части цилиндров на показатели поршневых двигателей // Вестник Красноярского государственного аграрного университета, 2007. № 2. С. 233–237. ISSN 1819-4036.
25. Зеер В., Мартынов А. Способ улучшения топливно-экономических и экологических показателей автотранспортных средств // Вестник Иркутского государственного технического университета, 2008. № 1 (33). С. 71–75. ISSN 1814-3520, ISSN 2500-1590.
26. Gritsenko A., Kukov S., Glemba K. Theoretical Underpinning of Diagnosing the Cylinder Group During Motoring // Procedia Engineering, 150, pp. 1182–1187, 2016.
27. Gritsenko A., Plaksin A., Glemba K. Experimental Studies of Cylinder Group State During Motoring // Procedia Engineering, 150, pp. 1188–1191, 2016.

Literature

1. Abas M., Zainal Abidin S., Rajoo S., Martinez-Botas R. et al. Evaluation Between Engine Stop/Start and Cylinder Deactivation Technologies Under Southeast Asia Urban Driving Condition // SAE Technical Paper 2017-01-0986, 2017.
2. Abas M. and Martinez-Botas R. Engine Operational with Cylinder Deactivation in Malaysian Urban Driving Conditions // SAE Technical Paper 2015-01-0983, 2015.
3. Kozhanov V. of deactivation of some engine cylinders on toxicity level of exhaust gases // Kazakhstan's News of Science [Vliyanie otklyucheniya nekotorykh tsilindrov dvigatelya na toksichnost' otrabotavshikh gazov // Novosti nauki Kazakhstana] 2014. № 1 (119). P. 104–114.
4. Surkin V., Petelin A., Fedoseyev S. Determination of diesel exhaust gases smoke opacity under deactivation of a part of cylinders // Bulletin of Samara state agrarian academy, [Opredelenie dymnosti otrabotavshikh gazov dizelya pri otklyuchenii chasti ego tsilindrov // Izvestiya Samarskoj gosudarstvennoj sel'skokhozyajstvennoj akademii] 2012. № 3. P. 50–55. ISSN 1997-3225.
5. Bemman Y., Frei T., Jones C., and Keck M. Passive Exhaust System With Cylinder Deactivation // SAE Technical Paper 2005-01-2351, 2005.
6. Vinodh B. Technology for Cylinder Deactivation // SAE Technical Paper 2005-01-0077, 2005.
7. Patrakhaltsev N., Strashnov S., Kornev B., Melnik I. Regulating a diesel with deactivation-activation of cylinders or cycles // Drive engineering, [Regulirovanie dizelya metodom otklyucheniya-vklyucheniya tsilindrov ili tsiklov // Dvigatellestroenie] 2011. № 3. P. 7–12. ISSN 0202-1633.
8. Markov V., Devyanin S., Savastenko E., Savastenko A. Deactivation of cylinders as a means to improve petrol engine fuel // Vehicle manufacturing industry, [Otklyuchenie tsilindrov kak sposob uluchsheniya toplivnoj ekonomichnosti benzinovykh dvigatelej // Avtomobil'naya promyshlennost'] 2014. № 1. P. 5–8. ISSN 0005-2337.
9. Mohammadpour M., Rahmani R., and Rahnejat H. The Effect of Cylinder De-Activation on Thermo-Friction Characteristics of the Connecting Rod Bearing in the New European Drive Cycle (NEDC) // SAE Technical Paper 2014-01-2089, 2014.
10. Senapati U., McDevitt I., and Hankinson A. Vehicle Challenges for a Large Displacement Engine with Cylinder Deactivation Capability // SAE Technical Paper 2011-01-1678, 2011.
11. Zhuravlev S., Zubarev K. Aprobation of a power control method by deactivation of cylinders // Construction machinery and technology, [Aprobatsiya sposoba upravleniya moshhnosti DVS otklyucheniem tsilindrov // Tekhnika i tekhnologii stroitel'stva] 2015. № 3 (3). P. 14–20. ISSN 2412-8406.
12. Leone T., and Pozar M. Fuel Economy of Cylinder Deactivation – Sensitivity to Vehicle Application and Operating Constraints // SAE Technical Paper 2001-01-3591, 2001.
13. Douglas K., Milovanovic N., Turner J., and Blundell D. Fuel Economy Improvement Using Combined CAI and Cylinder Deactivation (CDA) – An Initial Study // SAE Technical Paper 2005-01-0110, 2005.

14. Senapati U., McDevitt I., and Hankinson A. Vehicle Challenges for a Large Displacement Engine with Cylinder Deactivation Capability // SAE Technical Paper 2011-01-1678, 2011.
15. Muhamad Said M., Abdul Aziz A., Abdul Latiff Z., Mahmoudzadeh Andwari A. et al. Investigation of Cylinder Deactivation (CDA) Strategies on Part Load Conditions // SAE Technical Paper 2014-01-2549, 2014.
16. Joshi M., Gosala D., Allen C., Srinivasan S. et al. Diesel Engine Cylinder Deactivation for Improved System Performance over Transient Real-World Drive Cycles // SAE Technical Paper 2018-01-0880, 2018.
17. Lapuerta M., Hernández J., and Armas O. Kinetic Modelling of Gaseous Emissions in a Diesel Engine // SAE Technical Paper 2000-01-2939, 2000.
18. Bech A., Shayler P., and McGhee M. The Effects of Cylinder Deactivation on the Thermal Behaviour and Performance of a Three Cylinder Spark Ignition Engine // SAE Int. J. Engines 9 (4).1999-2009.
19. Connolly F. Direct Estimation of Cyclic Combustion Pressure Variability Using Engine Speed Fluctuations in an Internal Combustion Engine // SAE Technical Paper 940143, 1994.
20. Surkin V., Fedoseyev S., Petelin A. Analysis of change of diesel mechanical loss of a tractor and transport unit in deactivation of a part of cylinders // Achievements of AIC science and engineering, [Analiz izmeneniya mekhanicheskikh poter' dizelya traktorno-transportnogo agregata pri otklyuchenii chasti tsilindrov // Dostizheniya nauki i tekhniki APK] 2012. V. 7. C. 80–83. ISSN 0235-2451.
21. Gritsenko A., Zadorozhnaya E., Shepelev V. Diagnostics of Friction Bearings by Oil Pressure Parameters During Cycle-By-Cycle Loading // Tribology in Industry, 2 (40), 2018. Pp. 300–310.
22. Gritsenko A., Kukov S., Glemba K. Theoretical Underpinning of Diagnosing the Cylinder Group During Motoring // Procedia Engineering. № 150. 2016. Pp. 1182–1187.
23. Gritsenko A., Plaksin A., Glemba K. Experimental Studies of Cylinder Group State During Motoring // Procedia Engineering. № 150. 2016. Pp. 1188–1191.
24. Ramesh A., Gosala D., Allen C., Joshi M. et al. Cylinder Deactivation for Increased Engine and Aftertreatment Thermal Management in Diesel Engines // SAE Technical Paper 2018-01-0384, 2018.
25. Flierl R., Lauer F., Breuer M., and Hannibal W. Cylinder Deactivation with Mechanically Fully Variable Valve Train // SAE Int. J. Engines, 5 (2), pp. 207–215, 2012.
26. Gritsenko A., Kukov S., Glemba K. Theoretical Underpinning of Diagnosing the Cylinder Group During Motoring // Procedia Engineering, 150, pp. 1182–1187, 2016.
27. Gritsenko A., Plaksin A., Glemba K. Experimental Studies of Cylinder Group State During Motoring // Procedia Engineering, 150, pp. 1188–1191, 2016.

Статья сдана в редакцию 25 октября 2019 года

УДК 629.4

П. В. Губарев, Д. В. Глазунов, А. С. Шапшал, О. В. Айдиньян

Способ оценки технологических качеств пропитанных стеклослюдинитовых электроизоляционных лент

UDC 629.4

P. V. Gubarev, D. V. Glazunov, A. S. Shapshal, O. V. Aidinyan

Evaluation Technique of Technological Properties of impregnated mica-and-fiberglass electric insulation tapes

Аннотация

В производстве при пропитке стеклослюдинитовых электроизоляционных лент существует проблема в необходимости дозирования связующего.

В работе рассмотрена технология производства пропитанных стеклослюдинитовых электроизоляционных лент на микафолиевых машинах, предложен способ оценки технологических качеств пропитанных стеклослюдинитовых электроизоляционных лент, позволяющий обеспечить качественную изоляцию элементов тяговых электродвигателей. Этот способ основан на измерении сил трения, ко-

торые возникают в плоскости касания двух образцов одной и той же ленты при взаимном их скольжении по поверхности друг друга. Способ оценки технологических качеств пропитанных стеклослюдинитовых электроизоляционных лент реализован на модернизированном авторами лабораторном комплексе серии МИМ для тканей и лент. Комплекс дополнительно оснащен устройством, позволяющим оптимизировать определение коэффициента трения скольжения пропитанных стеклослюдинитовых электроизоляционных лент. Рассмотрены устройство и принцип работы мо-

дернизированного лабораторного комплекса серии МИМ и дополнительного устройства, предназначенного для оптимизации определения коэффициента трения скольжения стеклослюдинитовых лент.

Описаны этапы определения коэффициента трения скольжения пропитанных стеклослюдинитовых электроизоляционных лент. По результатам экспериментальных испытаний в эксплуатационном локомотивном депо Батайск определена оптимальная величина трения скольжения $f = 0,95$, соответствующая требованиям утяжки при выполнении изоляционных работ.

Статья рекомендована к публикации М.Г. Дурандиным, канд. техн. наук, доцентом Уральского государственного университета путей сообщения. E-mail: mdurandin@usurt.ru.

Павел Валентинович Губарев, канд. техн. наук; Ростовский государственный университет путей сообщения; г. Ростов-на-Дону, Россия. E-mail: pavel.gybarev@yandex.ru.

Дмитрий Владимирович Глазунов, канд. техн. наук; Ростовский государственный университет путей сообщения; г. Ростов-на-Дону, Россия. E-mail: glazunovdm@yandex.ru.

Александр Сергеевич Шапшал, канд. техн. наук; Ростовский государственный университет путей сообщения; г. Ростов-на-Дону, Россия. E-mail: llh@rgups.ru.

Ованес Вартанович Айдиньян, электромеханик, эксплуатационное локомотивное депо Батайск; г. Батайск, Россия, E-mail: ovanes_a@mail.ru.

The article is recommended for publishing by M.G. Durandin, Cand. of tech. science, Associate Professor, Ural state university of railway transport. E-mail: mdurandin@usurt.ru.

Pavel Valentinovich Gubarev, Cand. of tech. science, Rostov state university of railway transport; Rostov-on-the Don, Russia. E-mail: pavel.gybarev@yandex.ru.

Dmitry Vladimirovich Glazunov, Cand. of techn. science, Rostov state university of railway transport; Rostov-on-the Don, Russia. E-mail: glazunovdm@yandex.ru.

Alexander Sergeyevich Shapshal, Cand. of tech. science, Rostov state university of railway transport; Rostov-on-the Don, Russia. E-mail: llh@rgups.ru.

Ovanes Vartanovich Aidinyan, electrical mechanic, Bataisk locomotive depot; Bataisk, Russia. E-mail: ovanes_a@mail.ru.

Ключевые слова: стеклослюдинитовая лента, электроизоляционные материалы, подвижной состав, микафольевая машина, разрывная установка, коэффициент трения скольжения, бегунок, испытания, экспериментальные данные.

DOI: 10.20291/2079-0392-2019-4-40-45

Abstract

In manufacturing there exists a problem of necessary dosage of an adhesive while impregnating mica-and-fiberglass electric insulation tapes.

The paper looks upon manufacturing technology of impregnated mica-and-fiberglass electric insulation tapes on mica-folium machinery, an evaluation technique of technological properties of impregnated mica-

and-fiberglass electric insulation tapes is proposed, which ensures good-quality isolation of traction electrical engines. This method is based on measurement of frictional forces which appear in the tangent plane of two patterns of one and the same tape in case of their reciprocal slipping. The evaluation technique of technological properties of impregnated mica-and-fiberglass electric insulation tapes has been realized on a series MIM laboratory complex for fabrics and tapes which was updated by the authors. The complex is equipped additionally with a device enabling to optimize determining of a slipping friction coefficient of impregnated mica-and-fiberglass electric insulation tapes. The device and working principle of the series MIM

updated laboratory complex and additional apparatus for optimization of determining of a slipping friction of tapes are scrutinized.

The steps of determining of impregnated mica-and-fiberglass electric isolation tapes are described. By the results of experimental studies at Bataisk locomotive depot there was determined the optimum slipping friction value $f = 0,95$ which corresponds to tightening requirements on isolating operations.

Key words: mica-and-fiberglass tape, electric isolation material, rolling stock, mica-folium machinery, breaking device, slipping friction coefficient, runner, checkouts, experimental data.

DOI: 10.20291/2079-0392-2019-4-40-45

Оценка состояния отдельных узлов и агрегатов, выпущенных или прошедших ремонт перед их установкой на подвижной состав, и проверка их работоспособности во взаимодействии с другими агрегатами подвижного состава и особенно узлов, обеспечивающих безопасность движения, имеют первостепенное значение [1–4].

В настоящей работе рассмотрен способ оценки технологических качеств пропитанных стеклослюдинитовых электроизоляционных лент. В настоящее время не существует стандартизированных способов оценки технологических качеств пропитанных стеклослюдинитовых электроизоляционных лент. Предлагаемый способ разработан и сертифицирован Всесоюзным научно-исследовательским институтом стеклянного волокна.

Стеглослюдинитовая лента на каучуке – рулонный материал, состоящий из одного слоя слюдинитовой бумаги, склеенной с двух сторон стеклотканью при помощи синтетического каучука.

Стеглослюдинитовая лента изготавливается на микафольевых машинах, имеющих еще один дополнительный узел, состоящий из сушильной камеры и устройства для вторичного нанесения лакового слоя и укладки пленки. С отпускного механизма стеклоткань, пройдя через ванну с лаком ПЭ-934 концентрации 30–39 % и вязкостью 13–17 с, поступает на клеечную часть машины, где подвергается легкой провалке путем обдува утепленным воздухом $t\ 35\text{--}50\text{ }^{\circ}\text{C}$. На пропитанную и слегка подсушенную стеклоткань ровно, без перекосов и морщин с отпускного механизма накладывается слюдинитовая бумага. Полученная композиция входит в первую шахту. После сушки на выходе первой шахты полотно снова лакируется со стороны слюдинитовой бумаги и сушится во второй шахте с таким расчетом, чтобы нанесенный лаковый слой давал отлип, достаточный для приклеивания пленки. По выходе полотна из второй шахты накладывается полиэтилентерефталатная пленка

и полученная композиция наматывается в рулон. Скорость прохождения полотна через шахты – 15–19 м/мин [5–11] (рис. 1).

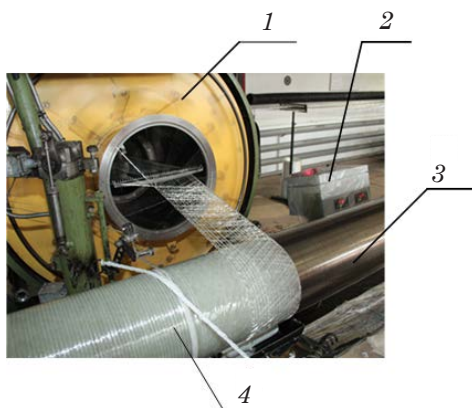


Рис. 1. Производство изоляционной ленты; пропитанная связующим стеклоткань 4 по транспортирующему устройству 3 перемещается в шахту 1 для просушки; перемещение стеклоткани регулируется при помощи пульта управления 2

В процессе производства изолирующих работ элементов электрических машин пропитанными электроизоляционными лентами возникают определенные трудности, связанные с количеством содержания связующих. При недостаточном их содержании (лента «сухая») необходимы дополнительные усилия для создания необходимой утяжки ленты. И, наоборот, при излишнем содержании связующих (лента «мокрая») связующие вытекают из подложки и не дают качественной изолировки. Оценка состояния ленты – субъективная (на ощупь). Для объективной оценки качества пропитанных электроизоляционных лент авторами предложен способ определения коэффициента трения скольжения пропитанных стеклослюдинитовых электроизоляционных лент. Этот способ основан на измерении сил трения, которые возникают в плоскости касания двух образцов одной и той же ленты при взаимном их скольжении по поверхности друг друга. При

этом важно определить усилие, которое необходимо для сдвига одного образца ленты по поверхности другого, закрепленного на образце.

Рассмотрим этапы определения коэффициента трения скольжения пропитанных стеклослюдинитовых электроизоляционных лент.

Для подготовки отбирают из одного ролика десять образцов пропитанных стеклослюдинитовых электроизоляционных лент (пять – длиной 200 ± 5 мм и пять – длиной 60 ± 5 мм).

Разрывная машина должна определить усилие $1 \pm 0,01$ кг·с. Для испытания использовалась машина серии МИМ с компьютерной системой управления и измерения. Машина включает двухступенчатую защиту для обеспечения безопасности работы при перегрузке, сверхтоках, перенапряжении, недостаточном напряжении, чрезмерной скорости, достижении крайнего положения и т.п. Пульт ручного управления магнитится и может быть прикреплен в любом месте на станине (рис. 2, а).

Авторами предложено дополнительное устройство к разрывной установке, совершенствующее определение коэффициента трения скольжения пропитанных стеклослюдинитовых электроизоляционных лент (рис. 2, б). Устройство имеет верхний 1 и нижний 7 зажимы. В центре бегунка крепится нить 3. Вес бегунка регламентирован (200 г). Нить от винта бегунка 4 через ролик 2 направляется к верхнему зажиму установки 1. При этом проверяют горизонтальность установки плоскости 5 опоры 6 по уровню (отклонение не более 0,01 мм). Устанавливают скорость перемещения бегунка 150 ± 20 мм/мин (рис. 3).

Испытание образцов производится следующим образом.

Образец 200 ± 5 мм помещают в центре пластины липкой стороной вниз. Образец 60 ± 5 мм прикрепляют к бегунку с помощью липкой ленты так, чтобы подложка была на поверхности бегунка (если этого не сделать, может произойти срыв ленты). Бегунок

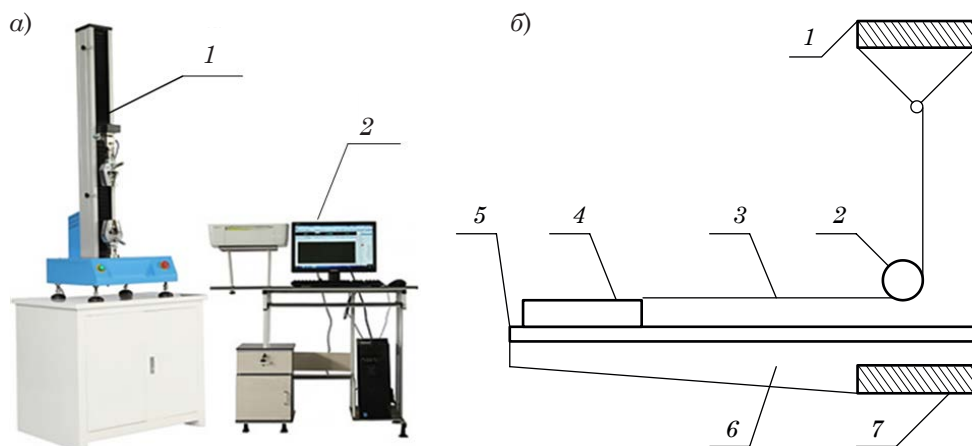


Рис. 2. Лабораторный комплекс серии МИМ для тканей и лент

а – разрывная машина; 1 – разрывная установка; 2 – автоматизированная система обработки данных; б – схема устройства к разрывной установке: 1 – верхний зажим; 2 – ролик; 3 – нить; 4 – бегунок; 5 – плоскость; 6 – опора; 7 – нижний подвижный зажим

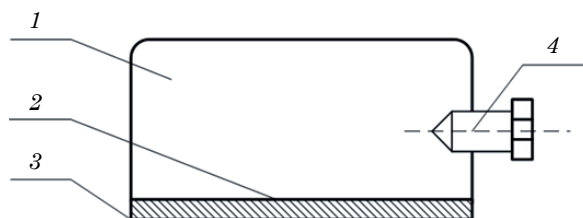


Рис. 3. Бегунок

1 – корпус бегунка; 2 – клей «Момент-1» (ТУ 2385-001-89589540-2009); 3 – резина; 4 – винт М4

устанавливают в исходное положение на закрепленный образец ленты. Приводится в движение механизм установки и фиксируются начальные усилия сдвига бегунка. Далее определяют коэффициент трения скольжения пропитанных стеклослюдинитовых электроизоляционных лент.

Коэффициент трения скольжения определяется по формуле:

$$f = \frac{F}{P},$$

где F – начальное усилие сдвига бегунка, кгс; P – вес бегунка, г [12–13].

После пяти экспериментов с подготовленными образцами выводят среднюю величину коэффициента трения скольжения.

Экспериментальные данные позволили выявить оптимальную величину трения скольжения $f = 0,95$. Эта величина может контролироваться в лабораторных условиях на любом электротехническом предприятии. Эта величина может контролироваться и корректироваться на предприятиях-изготовителях электроизоляционных лент. В зависимости от требований заказчика, на предприятиях-изготовителях лент

* Результаты научно-исследовательских испытаний представлены отделом изоляции и пластмасс ОАО «Всероссийский научно-исследовательский и проектно-конструкторский институт электровозостроения» (ОАО «ВЭЛНИИ», г. Новочеркасск) и получены при помощи эмпирических данных на испытательной станции ВЭЛНИИ.

и достигается требуемая величина трения скольжения.

Итак, при изолировочных работах определена проблема, связанная с количеством содержания связующего для пропитки стеклослюдинитовых электроизоляционных лент.

При подготовке экспериментальных исследований определения коэффициента трения скольжения пропитанных стеклослюдинитовых электроизоляционных лент проведена модернизация лабораторного комплекса серии МИМ для тканей и лент дополнитель-

ным устройством, позволяющим оптимизировать определение коэффициента трения скольжения пропитанных стеклослюдинитовых электроизоляционных лент. По результатам экспериментальных данных, установленных в эксплуатационном локомотивном депо Батайск, определена оптимальная величина трения скольжения пропитанных стеклослюдинитовых электроизоляционных лент $f = 0,95$, соответствующая требованиям утяжки при выполнении изолировочных работ. ■

Литература

1. Резниченко А. А., Чеботарев Е. А., Тептиков Н. Р., Глазунов Д. В. Оценка безотказности и готовности локомотивов в период нормальной эксплуатации // Вестник УрГУПС. 2018. № 3 (39). С. 15–22. ISSN 2079-0392.
2. Тептиков Н. Р., Резниченко А. А., Губарев П. В., Глазунов Д. В. Математические методы принятия решений в системах диагностики и управления на тяговом подвижном составе // Сборка в машиностроении, приборостроении. 2018. № 1. С. 13–15. ISSN 0202-3350.
3. Губарев П. В., Глазунов Д. В., Мишихина Е. С. Анализ системы ремонта и диагностики локомотивов по фактическому состоянию / Труды международной научно-практической конференции «Транспорт-2013», г. Ростов-на-Дону. – Ростов-на-Дону : ФГБОУ ВПО РГУПС. 2013. С. 143–144.
4. Глазунов Д. В. Технологические схемы для триботехнических испытаний узлов транспортного машиностроения // Известия Московского государственного технического университета МАМИ. 2019. № 1 (39). С. 8–16. ISSN 2074-0530.
5. Винокуров В. А. Электрические машины железнодорожного транспорта / В. А. Винокуров, Д. А. Попов. – М. : Транспорт, 1986. 511 с.
6. Вольдек А. И. Электрические машины. Л. : Энергия, 1978. 832 с.
7. Грищенко А. В., Стрекопытов В. В. Электрические машины и преобразователи подвижного состава. М. : Изд. центр «Академия». 2005. 320 с. ISBN 5-7695-2018-3.
8. Захарченко Д. Д. Тяговые электрические машины и трансформаторы / Д. Д. Захарченко, Н. А. Ротанов, Б. В. Горчаков – М. : Транспорт. 1979. 303 с.
9. Иванов-Смоленский А. В. Электрические машины. М. : Энергия, 1980. 928 с.
10. Находкин М. Д. Проектирование тяговых электрических машин / М. Д. Находкин, Г. В. Василенко, В. И. Бочаров. – М. : Транспорт, 1976. 624 с.
11. Стрекопытов В. В. Электрические передачи локомотивов / В. В. Стрекопытов, А. В. Грищенко, В. А. Кручек. – М. : Маршрут, 2003. 310 с. ISBN 10-5-89035-081-1.
12. Руководство по среднему и капитальному ремонту электрических машин тепловозов. РД 103.11.321-2004. М. : 2004. 180 с.
13. Руководство по среднему и капитальному ремонту электрических машин электровозов. РД 103.11.320-2004. М. : 2004. 192 с.

Literature

1. Reznichenko A. A., Chebotaryov E. A., Teptikov N. R., Glazunov D. V. Assessment of reliability and availability of locomotives within the normal running period // Herald of USURT [Otsenka bezotkaznosti i gotovnosti lokomotivov v period normal'noy ekspluatatsii // Vestnik UrGUPS]. 2018. № 3 (39). P. 15–22. ISSN 2079-0392.
2. Teptikov N. R., Reznichenko E. A., Gubarev P. V., Glazunov D. V. Mathematical methods of decision making in diagnostics and control systems on the traction rolling stock // Assemblage in Mechanical Engineering, Tool Engineering. [Matematicheskie metody

- prinyatiya reshenij v sistemakh diagnostiki i upravleniya na tyagovom podvizhnom sostave // Sbornik v mashinostroenii, priborostroenii] 2018. № 1. P. 13–15. ISSN 0202-3350.
3. Gubarev P. V., Glazunov D. V., Mishikhina E. S. Analysis of repair and diagnostics of locomotives by the real situation / Proceedings of the international and practical conference «Transport-2013», Rostov-on-the Don: FGBOU VPO RSURT. [Analiz sistemy remonta i diagnostiki lokomotivov po fakticheskomu sostoyaniyu / Trudy mezhdunarodnoj nauchno-prakticheskoy konferentsii «Transport-2013»] 2013. p. 143-144.
 4. Glazunov D. V. Technological patterns for tribotechnical tests of transport engineering units // Bulletin of Moscow state technical university MAMI. [Tekhnologicheskie skhemy dlya tribotekhnicheskikh ispytaniy uzlov transportnogo mashinostroeniya // Izvestiya Moskovskogo gosudarstvennogo tekhnicheskogo universiteta MAMI] 2019. № 1 (39). P. 8–16. ISSN 2074-0530.
 5. Vinokurov V. A. Railway electric machinery [Elektricheskie mashiny zheleznodorozhnogo transporta] / V. A. Vinokurov, D. A. Popov. – M.: Transport, 1986. 511 pp.
 6. Voldek A. I. Electric machinery. [Elektricheskie mashiny. L.: Energiya] L.: Energiya. 1978. 832 pp.
 7. Grischenko A. V., Strekopytov V. V. Electric machinery and rolling stock transducers. M.: «Academy» publishing centre. [Elektricheskie mashiny i preobrazovateli podvizhnogo sostava. M.: Izd. tsentr «Akademiya»] 2005. 320 pp. ISBN 5-7695-2018-3.
 8. Zakharchenko D. D. Traction electric machinery and transformers / D. D. Zakharchenko, N. A. Rotanov, B. V. Gorchakov – M.: Transport. [Tyagovye elektricheskie mashiny i transformatory. / D. D. Zakharchenko, N. A. Rotanov, B. V. Gorchakov – M.: Transport] 1979. 303 pp.
 9. Ivanov-Smolensky A. V. Electric machinery. M.: Energiya, [Elektricheskie mashiny. M.: Energiya] 1980. 928 pp.
 10. Nakhodkin M. D. Designing of traction electric machinery / M. D. Nakhodkin, G. V. Vasilenko, V. I. Bocharov. – M.: Transport, [Proektirovanie tyagovykh elektricheskikh mashin / M. D. Nakhodkin, G. V. Vasilenko, V. I. Bocharov. – M.: Transport] 1976. 624 pp.
 11. Strekopytov V. V. Electric transmissions of locomotives / V. V. Strekopytov, A. V. Grischenko, V. A. Kruchek. – M.: Marshrut, [Elektricheskie peredachi lokomotivov / V. V. Strekopytov, A. V. Grishhenko, V. A. Kruchek. – M.: Marshrut] 2003. 310 pp. ISBN 10-5-89035-081-1.
 12. Work manual in mid-life and overall repair of diesel locomotive electric machinery. [Rukovodstvo po srednemu i kapital'nomu remontu elektricheskikh mashin teplovozov] RD 103.11.321-2004. M.: 2004. 180 pp.
 13. Work manual in mid-life and overall repair of electric locomotive electric machinery. [Rukovodstvo po srednemu i kapital'nomu remontu elektricheskikh mashin elektrovovozov] RD 103.11.320-2004. M.: 2004. 192 p.

Статья сдана в редакцию 1 октября 2019 года

УДК 621.43.05

*А. В. Гриценко, К. В. Глемба, А. А. Петелин, В. Н. Кожанов,
А. Г. Карпенко, В. В. Руднев*

Исследование экологических качеств дизельного двигателя и его экономичности при отключении части цилиндров в режимах малых нагрузок

UDC 621.43.05

*A. V. Gritsenko, K. V. Glemba, A. A. Petelin, V. N. Kozhanov,
A. G. Karpenko, V. V. Rudnev*

Investigation of diesel engine ecological properties and its efficiency under deactivation of a part of cylinders in light-load conditions

Статья рекомендована к публикации М.В. Запечаловым, д-ром техн. наук, доцентом. Южно-Уральский аграрный университет. E-mail: mv.zapevalov@mail.ru.

Александр Владимирович Гриценко, д-р техн. наук; профессор кафедры «Автомобильный транспорт» ФГАОУ ВО «Южно-Уральский государственный университет (НИУ)»; профессор кафедры «Эксплуатация машинно-тракторного парка, и технология и механизация животноводства» ФГБОУ ВО «Южно-Уральский государственный аграрный университет»; г. Челябинск, Россия. E-mail: alexgrits13@mail.ru.

Константин Вячеславович Глемба, канд. техн. наук; доцент кафедры «Автомобильный транспорт» Южно-Уральского государственного университета (НИУ); доцент кафедры «Эксплуатация машинно-тракторного парка, и технология и механизация животноводства» ФГБОУ ВО «Южно-Уральский государственный аграрный университет»; г. Челябинск, Россия. E-mail: glemba77@mail.ru.

Андрей Александрович Петелин, канд. техн. наук; доцент кафедры «Тракторы, сельскохозяйственные машины и земледелие», ФГБОУ ВО «Южно-Уральский государственный аграрный университет»; г. Челябинск, Россия. E-mail: petelin.aa@mail.ru.

Владимир Николаевич Кожанов, канд. техн. наук; доцент кафедры «Тракторы, сельскохозяйственные машины и земледелие», ФГБОУ ВО «Южно-Уральский государственный аграрный университет»; г. Челябинск, Россия. E-mail: kozhanov.vn@mail.ru.

Анатолий Григорьевич Карпенко, канд. техн. наук; доцент кафедры «Автомобильный транспорт, информационные технологии и методика обучения техническим дисциплинам», ФГБОУ ВО Южно-Уральский государственный гуманитарно-педагогический университет (ЧГПУ); г. Челябинск, Россия. E-mail: angr123@list.ru.

Валерий Валентинович Руднев, канд. техн. наук; доцент кафедры «Автомобильный транспорт, информационные технологии и методика обучения техническим дисциплинам», ФГБОУ ВО Южно-Уральский государственный гуманитарно-педагогический университет (ЧГПУ); г. Челябинск, Россия. E-mail: rudnevv@mail.ru.

The article is recommended for publishing by M.V. Zapevalov, Doctor of tech. science, Associate Professor. South-Ural agrarian university. E-mail: mv.zapevalov@mail.ru.

Alexander Vladimirovich Gritsenko, Doctor of tech. science, Professor, «Motor transport» Chair, «South Ural state university»; Professor, «Operation of machine and tractor fleet, and technology and mechanization of livestock breeding» Chair, South Ural state agrarian university; Chelyabinsk, Russia. E-mail: alexgrits13@mail.ru.

Konstantin Vyacheslavovich Glemba, Cand. of tech. science, Associate Professor, «Motor transport» Chair, «South Ural state university»; Associate Professor, «Operation of machine and tractor fleet, and technology and mechanization of livestock breeding» Chair, South Ural state agrarian university; Chelyabinsk, Russia. E-mail: glemba77@mail.ru.

Andrey Alexandrovich Petelin, Cand. of tech. science, Associate Professor, «Tractors, farm machinery and land husbandry» Chair, South Ural state agrarian university; Chelyabinsk, Russia. E-mail: petelin.aa@mail.ru.

Vladimir Nikolayevich Kozhanov, Cand. of tech. science, Associate Professor, «Tractors, farm machinery and land husbandry» Chair, South Ural state agrarian university; Chelyabinsk, Russia. E-mail: kozhanov.vn@mail.ru.

Anatoly Grigorievich Karpenko, Cand. of tech. science, Associate Professor, «Motor transport, information technology and methodology of teaching engineering disciplines» Chair, South Ural state humanitarian and teachers' training university (ChSTTU); Chelyabinsk, Russia. E-mail: angr123@list.ru.

Valery Valentinovich Rudnev, Cand. of tech. science, Associate Professor, «Motor transport, information technology and methodology of teaching engineering disciplines» Chair, South Ural state humanitarian and teachers' training university (ChSTTU); Chelyabinsk, Russia. E-mail: rudnevv@mail.ru.

Аннотация

Исследования по улучшению топливной экономичности дизелей, которые эксплуатируются некоторое время, показывают возможность повышения экономичности за счет отключения части цилиндров – от 4 до 30 %. Эффект в экономии топлива тем выше, чем больше цилиндров отключается, однако по мере увеличения эффективной мощности их количество целесообразно уменьшать. Потенциал повышения экономичности за счет отключения части цилиндров заложен во всех эксплуатирующихся дизелях. Эффективность отключения цилиндров подтверждена экспериментальными данными, полученными на различных типах двигателей, в том числе на автомобильных, тракторных, тепловозных и судовых. Этот способ известен в двигателестроении прежде всего как средство повышения экономичности работы дизелей на холостом ходу и малых нагрузках. Установлено, что часовой расход топлива при отключении цилиндров двигателя по сравнению с вариантом без отключения цилиндров уменьшается до 33 % от номинальной эффективной мощности. Испытания дизеля проводились на обкаточно-тормозном стенде, оснащенном необходимыми измерительно-регистрирующей аппаратурой и приборами, позволяющем создать максимальный крутящий момент не более 363 Н·м при частоте вращения коленчатого вала в пределах 1200–3000 мин⁻¹. Исследования проводились при трех вариантах работы двигателя. Экспериментально установлено, что удельный индикаторный расход топлива во втором режиме по сравнению с первым уменьшается до 9 % из-за снижения часового расхода топлива при частотах от 1600 до 2350 мин⁻¹. В третьем режиме экономия топлива на холостом ходу с отключением подачи топлива и привода газораспределительного механизма 2-го и 3-го цилиндров составила около 24 % при частоте вращения вала двигателя в диапазоне от 1200 до 2350 мин⁻¹. Модернизация дизельного двигателя с помощью электромагнитного клапана подачи топлива окупается в течение года. Сопоставление экспериментальных данных с теоретическими показывает, что их расхождение во всем диапазоне частот вращения коленчатого вала двигателя не превышает 7 %.

Ключевые слова: дизельный двигатель, отключение цилиндров, отработавшие газы, экологические и виброакустические показатели, топливная экономичность, цикловая подача топлива.

DOI: 10.20291/2079-0392-2019-4-46-64

Abstract

Investigations aimed at improvement of of diesels which have been exploited for a certain time period, show the possibility to increase the through deactivation of a part of cylinders – from 4 to 30%. The effect in fuel saving is the higher, the more cylinders are deactivated, but with increase of effective power it is rational to reduce their number. A potential of increase through deactivation of a part of cylinders is built-in in all operating diesels. Effectiveness of cylinder deactivation is by experimental data, received on different types of engines, including automobile, tractor, diesel locomotive and marine engines. This technique is known in drive engineering and foremost as a means to increase operating of diesels at idle and light-load condition. Fuel consumption per hour under engine cylinders deactivation as compared with a variant without deactivation of cylinders decreases by 33%. Diesel checkouts were conducted on a running and breaking testing unit equipped with necessary measurement and recording apparatus and devices which enable to make a maximum torque not exceeding 363 Н·м at crankshaft rotational rate within 1200–3000 min⁻¹. Investigations were conducted under three variants of engine operation. It was experimentally found that that spec fuel consumption under the second mode as compared with the one decreases by 9 % due to reduction of fuel consumption per hour at the rate from 1600 to 2350 min⁻¹. Under the third mode fuel saving at idle with cutting out of fuel input and gas-distributing gear of 2nd and 3d cylinders was about 24% at the shaft rotational rate within 1200 to 2350 min⁻¹. Updating of a diesel engine with a fuel input electromagnetic valve is compensated within one year. Juxtaposition of experimental data with theoretical show that their discrepancy throughout the whole range of crankshaft rotational rates does not exceed 7%.

Key words: diesel engine, deactivation of cylinders, exhaust gases, ecological and vibroacoustic indicators, fuel fuel cyclic input.

DOI: 10.20291/2079-0392-2019-4-46-64

На режимы холостого хода и постоянной нагрузки приходится основная доля токсичных выбросов от транспортного средства [1, 2]. При сгорании 1 кг дизельного топлива образуется около 80–100 г токсичных веществ (сажи 3–5 г, оксида углерода 20–30 г, окислов серы 10–30 г, оксидов азота 20–40 г, углеводов 4–10 г, альдегидов 0,8–1,0 г и др.). В окружающую среду попадает в среднем около 3–5 кг сажи на 1 т сгоревшего топлива [3, 4], на которую, в зависимости от режима работы двигателя, приходится до 90 % токсичного воздействия.

По мере развития технологий в области автомобилестроения возрастают требования к экологическим показателям [5, 6]. Существующие исследования в области экономичности используемых дизелей подтверждают наличие у них технического потенциала в виде режима работы ДВС путем исключения из работы части цилиндров [7, 8], а указанный способ известен в двигателестроении

как средство повышения экономичности при работе дизелей на холостом ходу и на малых нагрузках. Выявлено, что проведенных исследований по снижению уровня токсичности отработавших газов (ОГ) недостаточно – необходима также тщательная проработка вопросов надежности и вибрации [9, 10].

Методика отключения цилиндров экспериментально подтверждена, она опробована на различных типах двигателей – на автомобильных, тракторных, тепловозных и судовых. В настоящее время исследованы различные способы отключения части цилиндров двигателя [6, 7]: прекращение подачи топлива в отдельные цилиндры, подача ОГ из работающих цилиндров в неработающие (отключенные) цилиндры, остановка поршней в отключаемых цилиндрах, одновременное отключение в части цилиндров подачи топлива с остановкой элементов привода газораспределительного механизма (ГРМ) для устранения насосного эффекта (рис. 1).

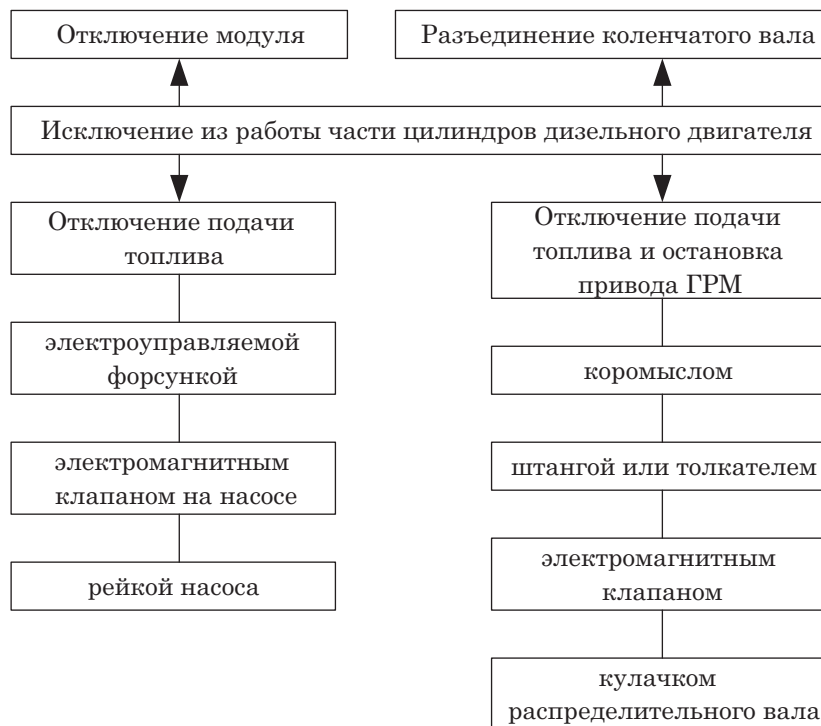


Рис. 1. Способы отключения цилиндров дизельного двигателя

Способы отключения подачи топлива в цилиндры двигателя исследованы и испытаны на различных конструкциях дизельных двигателей: разгерметизация линии высокого давления, использование отдельного топливного насоса высокого давления (ТНВД) для каждого цилиндра, системы с принудительной установкой на части цилиндров рейки ТНВД в положение нулевой подачи топлива, изменение конструкции форсунки, использование в ТНВД разных по конструкции плунжеров [11].

При отключении части цилиндров мощность двигателя снижается пропорционально их количеству, при отключении цилиндров снижается расход топлива на режимах малых нагрузок и холостого хода, уровень токсичности и дымности ОГ дизеля зависит от давления и температуры наддува, степени сжатия, качества топливоподающей аппаратуры, вида и качества топлива, коэффициента избытка воздуха – одного из главных факторов, влияющих на токсичность и дымность ОГ дизеля [12, 13].

Пока не раскрыты конкретные величины параметров токсичности и дымности ОГ дизеля при исключении из работы части его цилиндров, зависимость уровня токсичности и дымности ОГ дизеля от вариантов отключения

цилиндров на различных режимах работы двигателя, зависимость дымности ОГ от коэффициента избытка воздуха для конкретной конструкции двигателя, взаимосвязь параметрами токсичности и дымности ОГ с основными параметрами работы двигателя [10, 14].

Для контроля токсичности работы дизельного двигателя внутреннего сгорания (ДВС) используют комплексный метод: определение сажевого содержания и измерение дымности [4, 5]. Алгоритм теплового расчета для исследования взаимосвязи режимов отключения цилиндров ДВС (или части рабочих циклов цилиндра [15, 16]) с параметрами сажевого содержания и дымности [17] представлен на рис. 2.

В тепловом расчете двигателя в качестве исходных данных использовали индикаторные показатели: среднее индикаторное давление P_i (МПа), удельный индикаторный расход топлива g_i (г/кВт·ч), индикаторный КПД η_i . Расчет модели производился для номинального режима работы двигателя и основывался на исследовании взаимовлияния трех составляющих – коэффициента избытка воздуха α , коэффициента b_x , учитывающего конструктивные отличия двигателя, величины D (г/м³) сажевого содержания при значительной вариации режимов работы двигателя. Расчет основан на данных технически

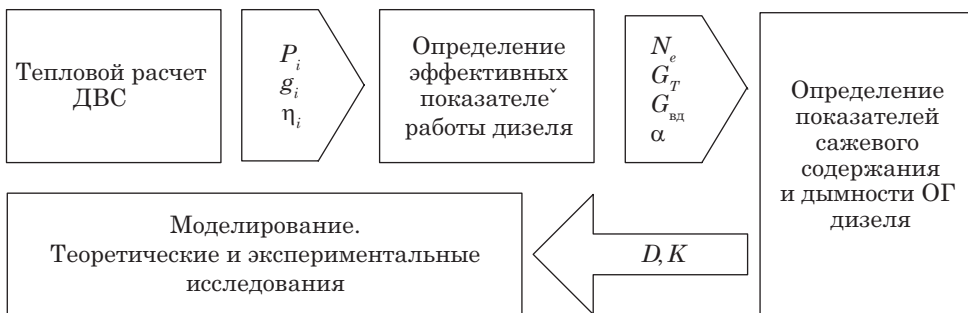


Рис. 2. Структурная схема алгоритма теплового расчета дизельного ДВС по определению дымности и сажевого содержания ОГ

P_i (МПа) – среднее индикаторное давление, g_i (г/кВт·ч) – удельный индикаторный расход топлива, η_i – индикаторный КПД; N_e (кВт) – эффективная мощность; G_T (кг/ч) – часовой расход топлива; $G_{вд}$ (кг/ч) – действительный расход воздуха; α – коэффициент избытка воздуха, D (г/м³) – показатель сажевого содержания в ОГ; K (м⁻¹) – показатель дымности ОГ

исправного объекта (стендовый двигатель Д-240); при обеспечении заданного теплового режима температура ОГ стабильна, а степень ее изменения доходит до 5 % [18, 19]. В результате построена зависимость (рис. 3; программный пакет Maple).

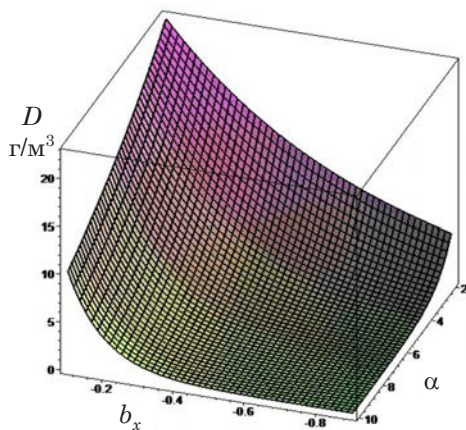


Рис. 3. Зависимость изменения показателя (D) сажевого содержания ОГ при варьировании коэффициента (α) избытка воздуха и коэффициента (b_x), учитывающего конструктивные отличия стендового дизеля

Результаты (рис. 3) с учетом взаимовлияния конструктивных параметров двигателя и режимов исследова-

ний описываются следующим выражением [20]:

$$D = a \cdot e^{-b_x \alpha}, \quad (1)$$

где e – основание натурального логарифма; a – эмпирический коэффициент; b_x – коэффициент, учитывающий конструктивные отличия дизеля Д-240 (коэффициенты для двигателя Д-240 можно принять $a = 27,438$, $b = 0,7818$); α – коэффициент избытка воздуха.

Для определения эффективного рабочего диапазона частот вращения коленчатого вала двигателя (КВД) при отключении цилиндров рассмотрены два режима работы четырехцилиндрового дизельного двигателя Д-240 (при уточнении эмпирического коэффициента). Первый режим типовой, где в работу включены все цилиндры, второй искусственный, формирующийся посредством отключения подачи топлива в двух цилиндрах. В результате моделирования и теоретического расчета получены зависимости изменения показателей сажевого содержания ОГ (D), дымности (K) и коэффициента избытка воздуха (α) при варьировании частоты вращения КВД (n) (рис. 4 и 5; MathCAD).

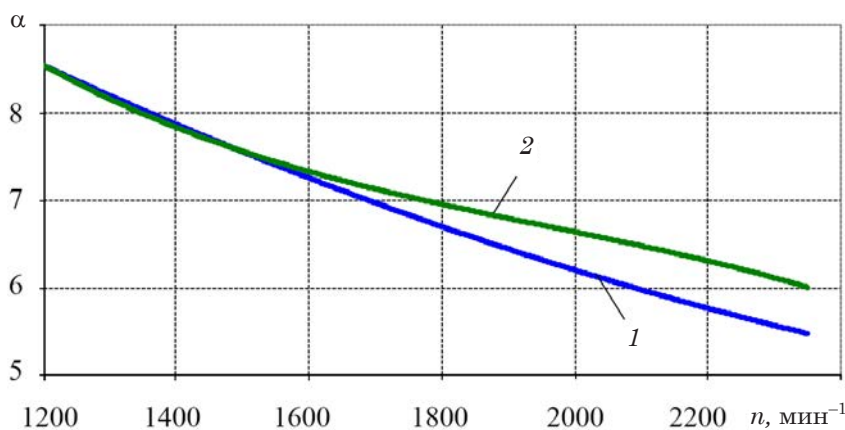


Рис. 4. Теоретическая зависимость изменения коэффициента избытка воздуха (α) от частоты (n) вращения КВД

1 – подключены в работу все цилиндры;
2 – отключена подача топлива к двум цилиндрам из четырех

Анализ данных (рис. 4) показывает, что при искусственном режиме работы дизеля (линия 2) начиная с оборотов КВД 1600 мин^{-1} происходит разветвление зависимостей и в диапазоне частот $2000\text{--}2400 \text{ мин}^{-1}$ расхождение значений коэффициента избытка воздуха от типового режима составляет около 10–12 %. Этот рост объясняется созданием в камере сгорания лучших условий процесса окисления топлива у работающих цилиндров и уменьшением часового расхода топлива (топливо не подается в два отключенных цилиндра) при неизменяемом расходе воздуха.

Анализ данных (рис. 5) показывает на снижение сажевого содержания при искусственном режиме работы дизеля (линия 2) по сравнению с типовым. Область снижения начинается с оборотов КВД в 1600 мин^{-1} и продолжается до 2400 мин^{-1} . При значении частоты 1800 мин^{-1} показатель сажевого содержания (D) уменьшается на 10 %, а при 2200 мин^{-1} – снижается на 36 %. Зависимость показателя дымности (K)

от частоты вращения КВД имеет аналогичную направленность. Величина снижения этого показателя при искусственном режиме (линия 2) на оборотах 2200 мин^{-1} составляет около 30 %. Таким образом, представленные исследования доказывают эффективность метода отключения цилиндров в пределах частот КВД в диапазоне $1600\text{--}2400 \text{ мин}^{-1}$.

Для определения максимальной эффективной мощности введем коэффициент изменения эффективной мощности двигателя (k_N) при отключении цилиндров [11, 20]:

$$k_N = \frac{z_p}{i} - \frac{z_b}{i} \delta_{\text{мп}} \left(\frac{1}{\eta_{\text{м}}^{\text{max}}} - 1 \right), \quad (2)$$

где $\eta_{\text{м}}^{\text{max}}$ – максимальное значение КПД на заданной частоте вращения КВД; i – количество цилиндров в двигателе (ед.); z_p – количество работающих цилиндров (ед.); z_b – количество выключенных из работы цилиндров (ед.); $\delta_{\text{мп}}$ – доля механических потерь.

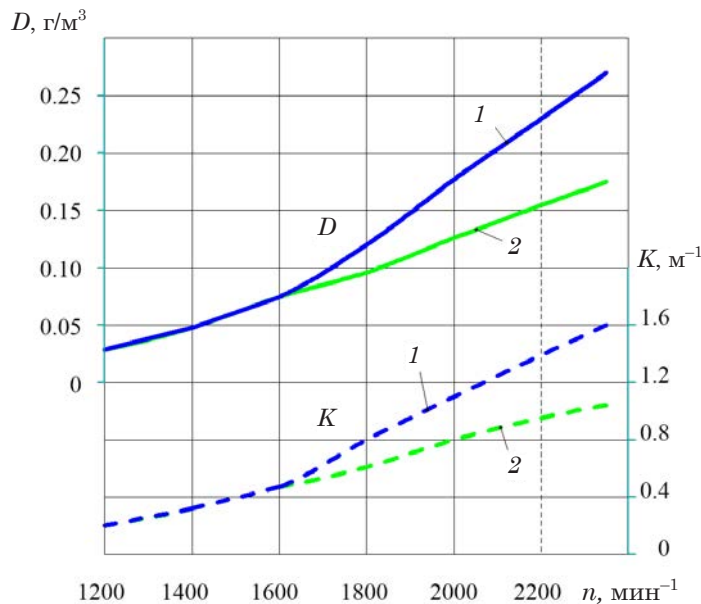


Рис. 5. Теоретическая зависимость изменения сажевого содержания (D) и дымности (K) отработавших газов от частоты (n) вращения КВД
1 – включены в работу все цилиндры;
2 – отключена подача топлива к двум цилиндрам из четырех

При определенном количестве работающих цилиндров z_p , в зависимости от значений коэффициента (k_N) максимальная эффективная мощность двигателя $N_{e(z_p)}^{\max}$ определяется из выражения (на номинальной частоте вращения) [11, 20]:

$$N_{e(z_p)}^{\max} = N_e^{\max} k_N = \frac{N_e^{\max}}{\eta_m^{\max} i} \left[\frac{z_p}{i} - \frac{z_b}{i} \delta_{\text{мп}} \left(\frac{1}{\eta_m^{\max}} - 1 \right) \right], \quad (3)$$

где N_e^{\max} – максимальная эффективная мощность двигателя без исключения из работы цилиндров (кВт).

Выражение (3) подходит и для других оборотов КВД, для чего следует подставлять соответствующую максимальную мощность без отключения цилиндров.

Зависимость изменения средней условной мощности механических потерь ($N_{\text{мп}}$) от частоты (n) вращения КВД представлена на рис. 6. Значение показателя ($N_{\text{мп}}$) условно можно представить в виде затрат на трение [21], привод вспомогательных механизмов, совершенные насосных ходов поршней цилиндров

двигателя [22, 23] и пр. При стендовых испытаниях для расчёта условной мощности механических потерь ($N_{\text{мп}}$) использовалось выражение (4), кВт [20]:

$$N_{\text{мп}} = 0,736 \cdot 10^{-3} F_T n, \quad (4)$$

где F_T – нагрузка на валу электрического тормоза (кг); n – частота вращения КВД (мин⁻¹).

Зависимость изменения среднего условного давления механических потерь ($P_{\text{мп}}$) от частоты (n) вращения КВД представлена на рис. 7. Показатель ($P_{\text{мп}}$) можно определить из выражения (5). Показатель (z_p) принимаем равным 4 ед. [20]:

$$P_{\text{мп}} = \frac{30 N_{\text{мп}} \tau}{n V_h z_p}, \quad (5)$$

где τ – такты работы двигателя (ед.). Принимаем $\tau = 4$ ед.; V_h – объём одного цилиндра, 1,188 л.

Испытания дизеля Д-240 проводились на обкаточно-тормозном стенде, оснащённом необходимыми приборами и измерительно-регистрирующей аппаратурой (рис. 8). Стенд предназначен

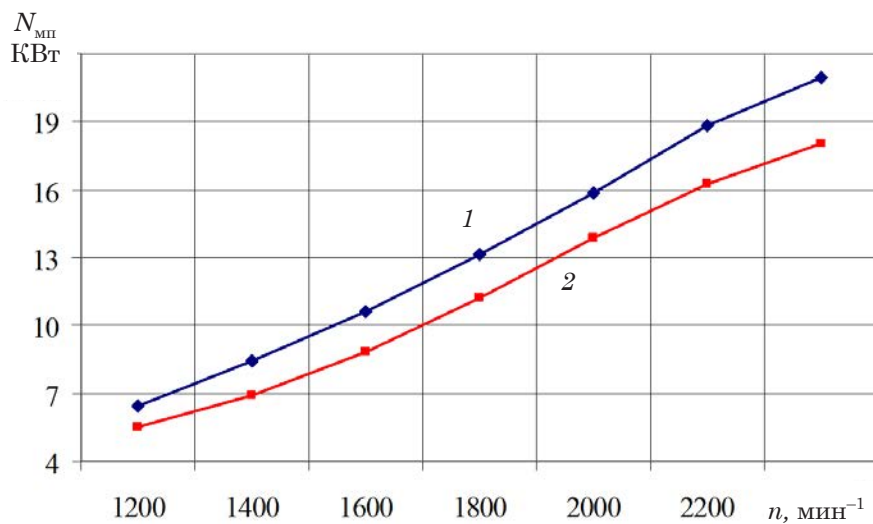


Рис. 6. Зависимость средней условной мощности механических потерь ($N_{\text{мп}}$) от частоты (n) вращения КВД
1 – первый и второй режимы; 2 – третий режим

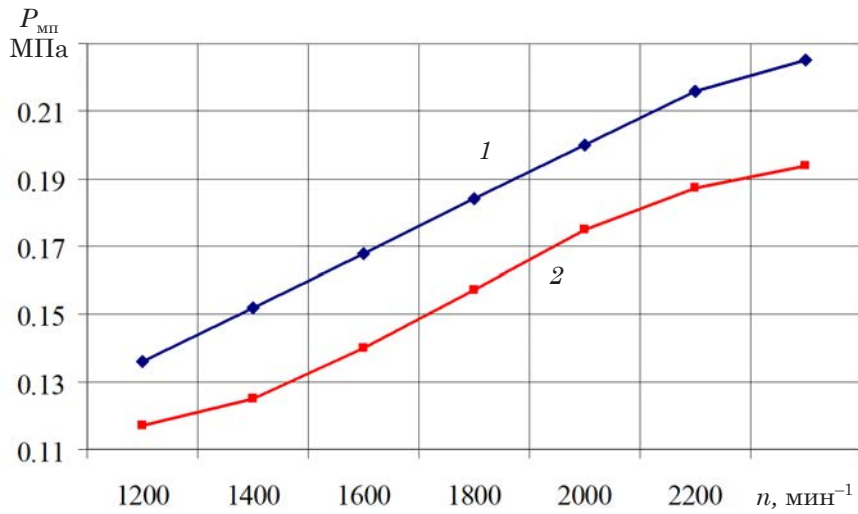


Рис. 7. Зависимость среднего условного давления механических потерь ($P_{мп}$) от частоты (n) вращения КВД
1 – первый и второй режимы; 2 – третий режим

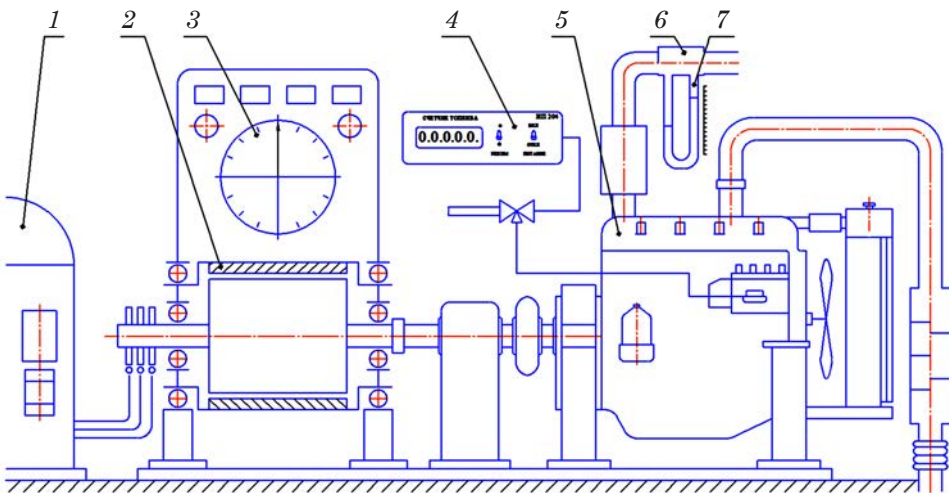


Рис. 8. Схема стенда для испытания дизеля

1 – жидкостный реостат с дистанционным управлением; 2 – динамометрическое устройство с балансирующей электрической машиной, поглощающей энергию прокрутки; 3 – устройство для измерения крутящего момента; 4 – стойка приборная с аппаратурой дистанционного управления; 5 – дизель Д-240; 6 – мерное сопло с устройством для измерения расхода воздуха и температуры ОГ; 7 – жидкостный манометр

для проведения обкатки и испытаний дизельных двигателей с максимальным крутящим моментом не более $363 \text{ Н} \cdot \text{м}$ и частотой вращения КВД в пределах $1200\text{--}3000 \text{ мин}^{-1}$. На стенде электрический тормоз позволяет стабилизировать его частоту вращения КВД в пределах $700\text{--}1400 \text{ мин}^{-1}$. Измерение дымности ОГ проводилось на режиме установившихся частот вращения КВД от 1000 до 2200 мин^{-1} с шагом 200 мин^{-1} . Пробоотборное устройство устанавливалось в выхлопную систему стенда.

Экспериментальные исследования проводились при трех режимах работы дизельного двигателя без внешнего нагружения КВД: первый режим – штатный, т.е. включены в работу все цилиндры; второй – отключена подача топлива во втором и третьем цилиндрах; третий – отключены подача топлива и привод элементов ГРМ у второго и третьего цилиндров (клапаны постоянно закрыты).

На первом режиме эксперимента можно отметить, что с повышением частоты вращения КВД с 1200 до 2350 мин^{-1} мощность механических потерь возрастает с $6,46$ до $20,97 \text{ кВт}$, так как увеличивается мощность на привод вспомогательных механизмов (топливный, водяной и масляный насос, вентилятор и т.д.) вследствие увеличения их производительности. Возрастают потери на насосные ходы, так как увеличивается аэродинамическое сопротивление камер сгорания, трактов впуска и выпуска. Возрастают потери на трение в сопряжениях «коленчатый вал – подшипники», «распределительный вал – подшипники», «поршни – гильзы» и т.д. из-за увеличения инерционных сил, уменьшения толщины смазки.

Во втором режиме при отключении только подачи топлива во втором и третьем цилиндрах значения мощности механических потерь практически не отличаются от значений при всех работающих цилиндрах, так как не изменяются насосные потери и мощность на привод механизма газораспределения.

В третьем режиме при отключении подачи топлива и механизма привода клапанов второго и третьего цилиндров значение мощности механических потерь меньше, но с повышением частоты вращения КВД оно возрастает с $5,55$ до $18,06 \text{ кВт}$. Это обусловлено тем, что во втором и третьем цилиндрах нет газообмена, поскольку клапаны постоянно закрыты. При этом работа, затрачиваемая на сжатие воздуха в цилиндре, практически равна работе воздуха при расширении. Среднее условное давление механических потерь ($P_{\text{мп}}$) изменяется аналогично средней условной мощности механических потерь ($N_{\text{мп}}$), возрастая от $0,136$ до $0,225 \text{ МПа}$ при условии повышении частоты вращения от 1200 до 2350 мин^{-1} . Характер изменения показателя ($P_{\text{мп}}$) свидетельствует о росте всех значений составляющих удельных потерь.

Характер направленности большинства зависимостей для трех режимов работы дизеля практически остается без изменений. Рассмотрим некоторые параметры работы двигателя.

Цикловая подача топлива ($q_{\text{ц}}$) (рис. 9) на втором режиме на исследованных частотах вращения КВД увеличилась почти в два раза по сравнению с первым. Это вызвано тем, что отключение подачи топлива во втором и третьем цилиндрах привело к увеличению показателя ($q_{\text{ц}}$) в первом и четвертом цилиндрах, поскольку для преодоления не изменившихся механических потерь необходимо увеличить индикаторную мощность на этом режиме. На режиме 3 показатель ($q_{\text{ц}}$) меньше, чем на втором режиме, что вызвано уменьшением мощности механических потерь за счёт снижения насосных потерь и затрат мощности на привод ГРМ. Цикловая подача ($q_{\text{ц}}$) на третьем режиме по сравнению с первым всегда выше, что объясняется теми же причинами, что и на втором режиме.

Часовой расход топлива ($G_{\text{р}}$) (рис. 10) на втором режиме снижается по сравнению с первым при частотах вращения КВД более 1600 мин^{-1} , что

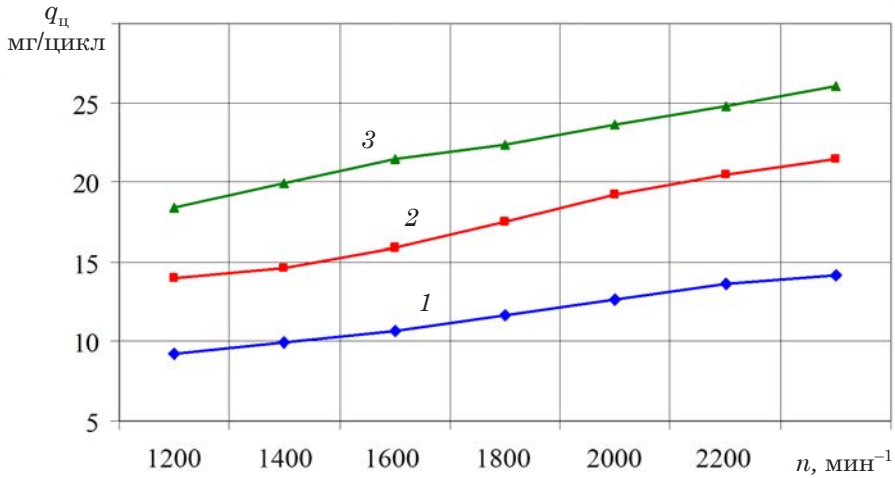


Рис. 9. Зависимость цикловой подачи топлива ($q_{ц}$) от частоты (n) вращения КВД
1, 2 и 3 – первый, второй и третий режимы

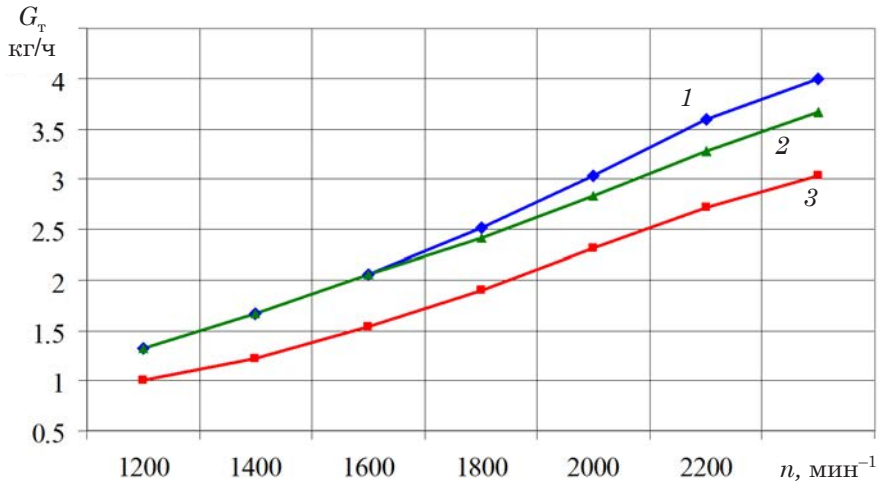


Рис. 10. Зависимость часового расхода топлива ($G_{т}$) от частоты (n) вращения КВД
1, 2 и 3 – первый, второй и третий режимы

вызывается увеличением индикаторного КПД и уменьшением индикаторного расхода топлива. На третьем режиме показатель ($G_{т}$) снизился из-за уменьшения цикловой подачи и уменьшения мощности механических потерь по сравнению со вторым режимом.

Температура ОГ ($t_{г}$) (рис. 11) на втором и третьем режимах пропорционально увеличивается, так как растет цикловая подача топлива, но на втором режиме она принимает меньшие значения,

так как поток ОГ из работающих первого и четвертого цилиндров разбавляется воздухом, выходящим из второго и третьего цилиндров, в которые не подавалось топливо.

Действительный расход воздуха ($G_{вд}$) (рис. 12) на первом и втором режимах практически одинаков, но на третьем этот показатель существенно ниже, так как клапаны второго и третьего цилиндров закрыты. По теоретическим расчетам показатель ($G_{вд}$)

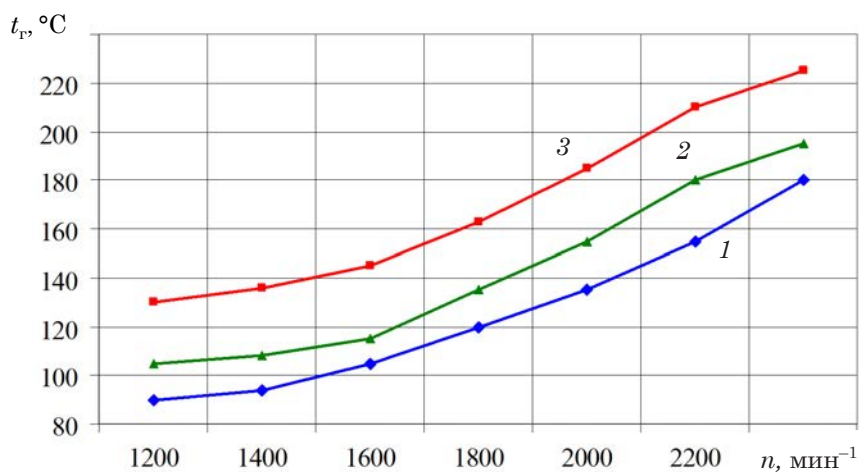


Рис. 11. Зависимость температуры ОГ (t_r) от частоты (n) вращения КВД
1, 2 и 3 – первый, второй и третий режимы

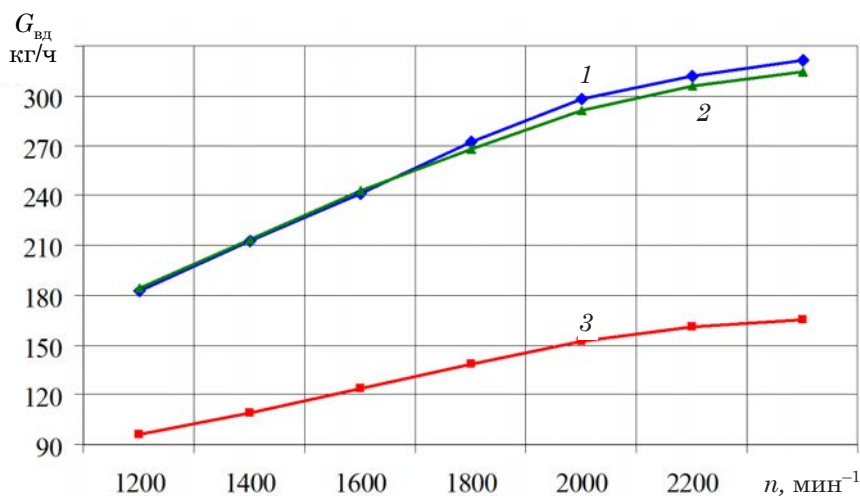


Рис. 12. Зависимость действительного расхода воздуха ($G_{вд}$) от частоты (n) вращения КВД
1, 2 и 3 – первый, второй и третий режимы

должен быть снижен в два раза, но на практике эта величина изменяется, что связано с аэродинамическими процессами во впускном тракте.

Коэффициент избытка воздуха (α) (рис. 13) на втором режиме несколько выше, чем на первом из-за уменьшения расхода топлива. На третьем режиме показатель (α) существенно меньше. Это связано с соотношением расхода воздуха и топлива на номинальных оборотах, так как расход воздуха снизился примерно в два раза, а расход топлива – в 1,3 раза.

Теоретический расход воздуха ($G_{вт}$) (рис. 14) на третьем режиме уменьшился в два раза за счёт закрытия клапанов второго и третьего цилиндров.

Коэффициент наполнения цилиндров свежим зарядом воздуха (η_v) (рис. 15) при увеличении частоты вращения снижается, оставаясь примерно одинаковым на всех режимах. На третьем показатель (η_v) выше из-за уменьшения аэродинамического сопротивления на впуске.

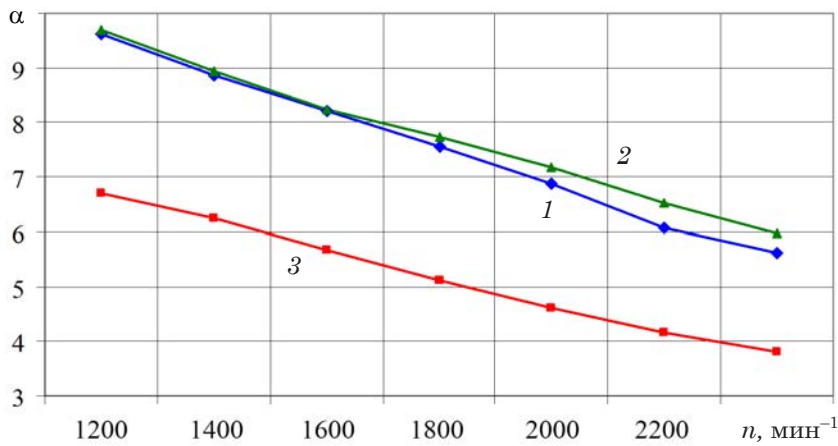


Рис. 13. Зависимость коэффициента избытка воздуха (α) от частоты (n) вращения КВД
1, 2 и 3 – первый, второй и третий режимы

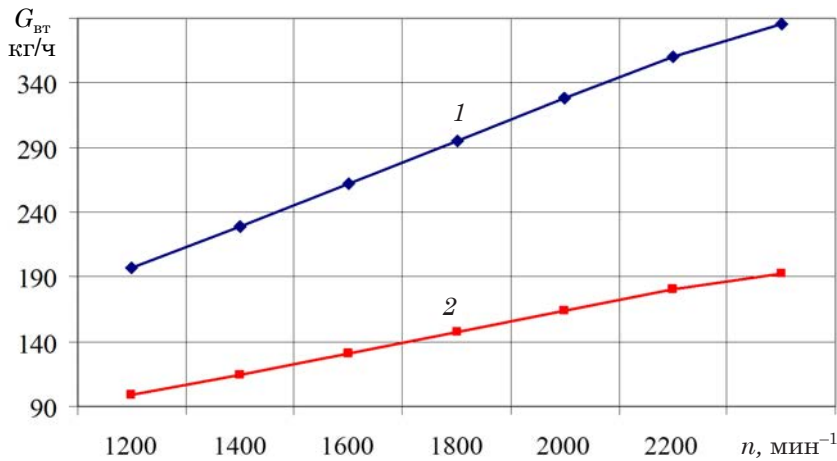


Рис. 14. Зависимость теоретического расхода воздуха ($G_{вт}$) от частоты (n) вращения КВД
1 – первый и второй режимы; 2 – третий режим

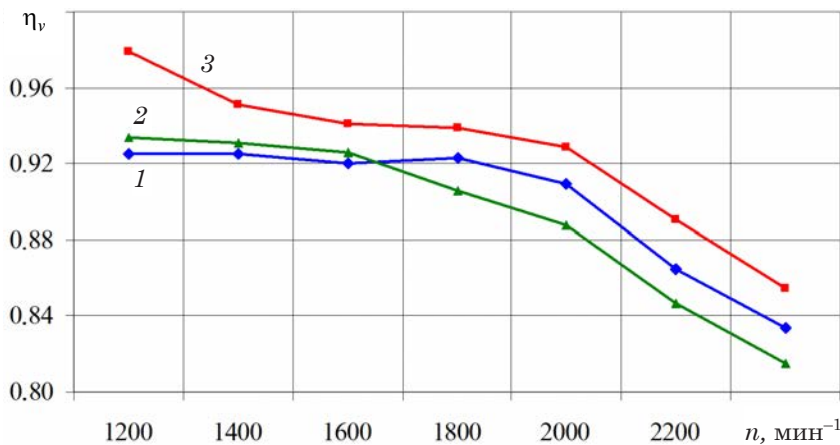


Рис. 15. Зависимость коэффициента наполнения воздухом (η_v) от частоты (n) вращения КВД
1, 2 и 3 – первый, второй и третий режимы

Направленность изменения температуры масла (t_m) (рис. 16) и охлаждающей жидкости ($t_{ж}$) (рис. 17) информирует, что при отключении цилиндров целесообразно применять автоматическое регулирование вентилятора системы охлаждения, которое позволит повысить экономичность двигателя.

Удельный индикаторный расход топлива (g_i) (рис. 18) на втором режиме по сравнению с первым уменьшается из-за снижения часового расхода топлива (G_T) в диапазоне 1600–2350 мин⁻¹. На

третьем режиме уменьшается показатель (g_i) главным образом за счёт снижения (G_T) по отношению к индикаторной мощности (N_i). Например, на номинальной частоте вращения (G_T) уменьшается в 1,33 раза, а (N_i) – в 1,16 раза.

Индикаторный КПД (η_i) (рис. 19) на втором режиме увеличивается по сравнению с первым в диапазоне 1600–2350 мин⁻¹ из-за снижения часового расхода топлива. Это также связано с тем, что два работающих цилиндра (первый и четвертый) преодолевают

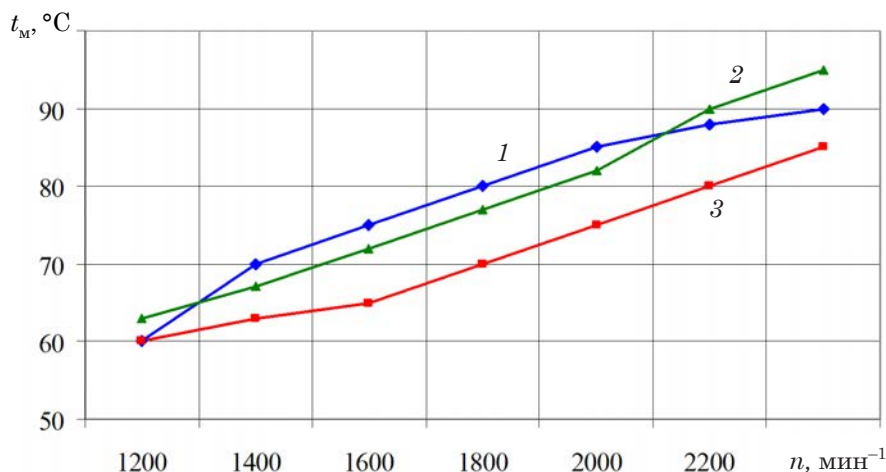


Рис. 16. Зависимость температуры масла (t_m) от частоты (n) вращения КВД
1, 2 и 3 – первый, второй и третий режимы

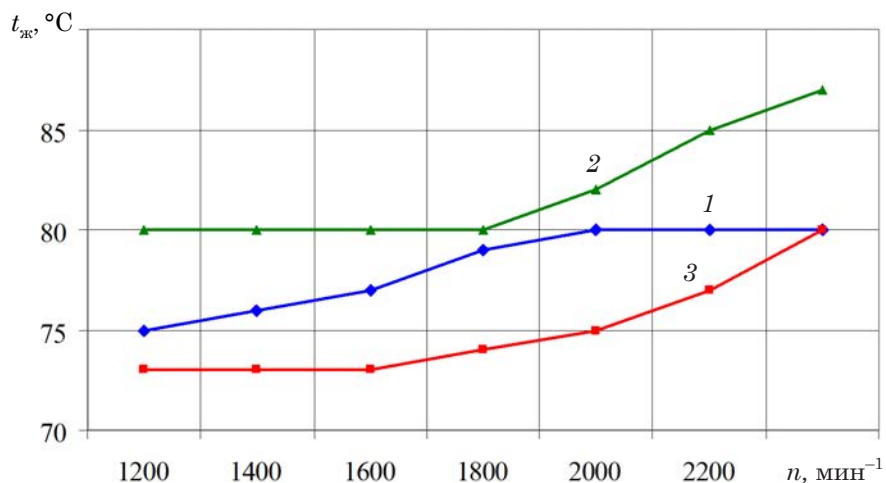


Рис. 17. Зависимость температуры охлаждающей жидкости ($t_{ж}$) от частоты (n) вращения КВД
1, 2 и 3 – первый, второй и третий режимы

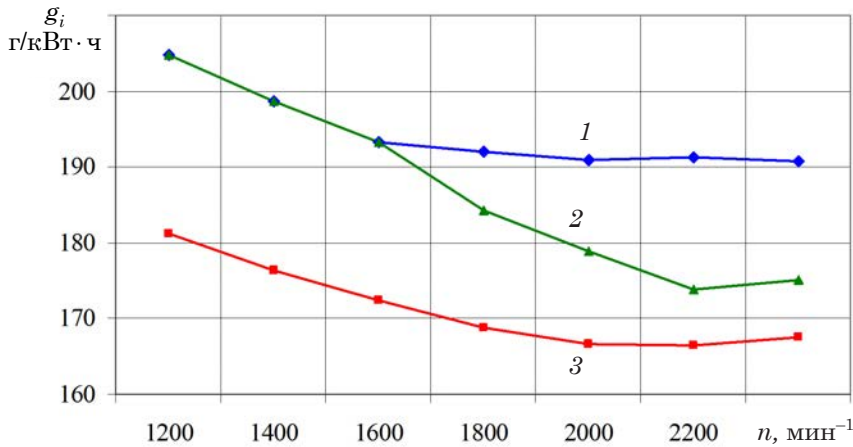


Рис. 18. Зависимость удельного индикаторного расхода топлива (g_i) от частоты (n) вращения КВД
1, 2 и 3 – первый, второй и третий режимы

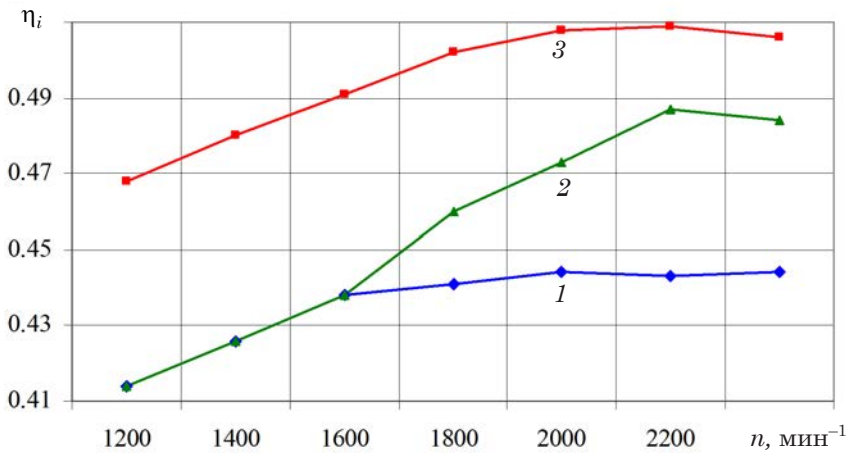


Рис. 19. Зависимость индикаторного КПД (η_i) от частоты (n) вращения КВД
1, 2 и 3 – первый, второй и третий режимы

механические потери второго и третьего цилиндров, в которых отключена подача топлива. На третьем режиме показатель (η_i) выше по сравнению с остальными режимами из-за уменьшения механических потерь (т.е. затрат энергии на насосные ходы поршней, привод механизма ГРМ второго и третьего цилиндров).

Таким образом, на холостом ходу экономия топлива в третьем режиме с отключением подачи топлива и привода ГРМ второго и третьего цилиндров

составляет около 24 % (при частотах вращения КВД в диапазоне 1200–2350 мин⁻¹). Если модернизировать устройство автоматической регулировки температуры двигателя, то можно дополнительно увеличить экономию топлива, так как повышение температуры охлаждающей жидкости до 90–95 °С позволит уменьшить потери на трение [24].

Вибрацию и шум измеряли на испытательном стенде при работе дизельного двигателя Д-240: на первом и втором

режимах при частотах вращения КВД в диапазоне 1000–2200 мин⁻¹, на третьем – 1200–2200 мин⁻¹. Результат исследований изменения показателей вибрации (ε) и шума (L_p) при разных режимах работы двигателя представлен на рис. 20 и 21.

Анализ графиков зависимостей (рис. 20, 21) показывает, что на третьем режиме показатель вибрации (ε) уменьшается за счет понижения сил инерции приблизительно в два раза, вследствие чего меняется частотный спектр, влияющий, в свою очередь, на

общую вибрацию. Величина показателя шума (L_p) имеет некоторое отличие между режимами работы двигателя в области частот 1200–2200 об/мин. Это объясняется исключением двух работающих форсунок (отключение топливной подачи для двух цилиндров). К тому же, в третьем режиме отключается привод клапанов двух цилиндров, что уменьшает инерционную и ударную нагрузки в механизмах двигателя. Однако ближе к частоте 2200 об/мин на этом режиме наблюдается рост величины показателя (L_p). Объяснить это

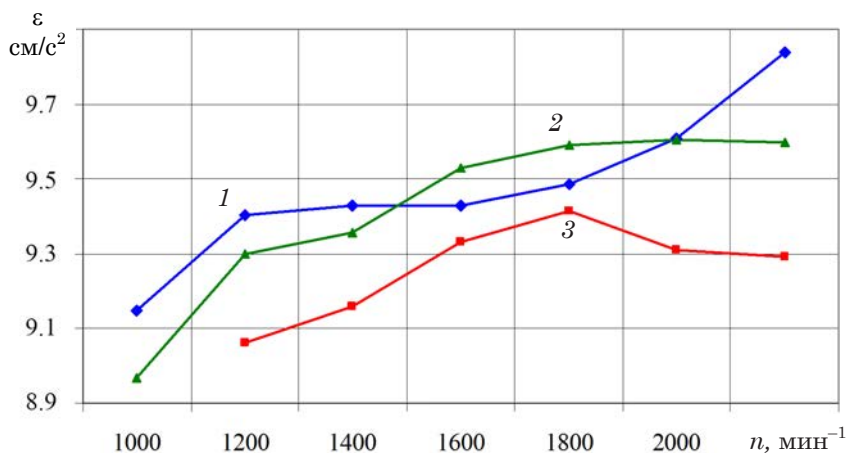


Рис. 20. Зависимость уровня колебательного ускорения (ε) от частоты (n) вращения КВД 1, 2 и 3 – первый, второй и третий режимы

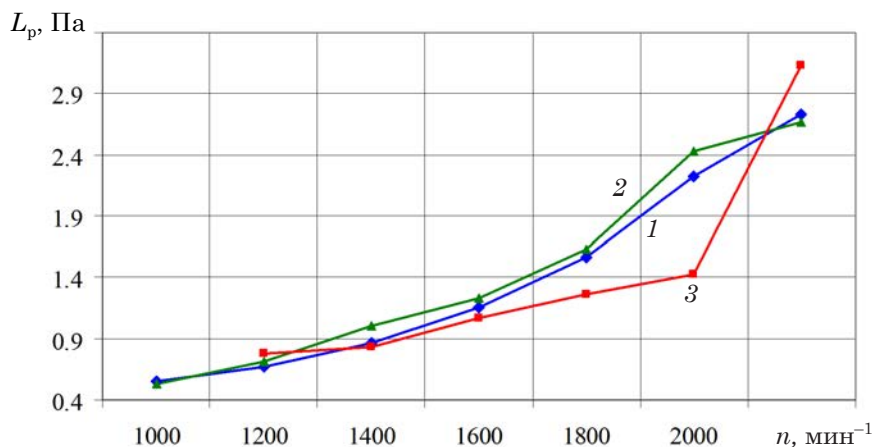


Рис. 21. Зависимость изменения звукового давления (L_p) от частоты (n) вращения КВД 1, 2 и 3 – первый, второй и третий режимы

можно повышением механических потерь у оставшихся в работе цилиндров и ростом динамики нагрузок.

Измерение показателя (N) дымности ОГ проводили на установившихся оборотах при частотах вращения КВД в диапазоне $1550\text{--}2350\text{ мин}^{-1}$. Результат исследований изменения показателя дымности ОГ на разных режимах работы двигателя представлен на рис. 22.

Анализ зависимостей (рис. 22) показывает, что на втором режиме испытаний относительно первого есть незначительный рост показателя (N) с увеличением оборотов КВД. Это объясняется увеличением цикловой подачи топлива в оставшиеся два цилиндра. При третьем режиме испытаний в диапазоне частот $1600\text{--}1900\text{ об/мин}$ превышен показатель (N) в сравнении с первыми двумя режимами. Пояснить это можно увеличением цикловой подачи топлива в двух неотключённых цилиндрах и ухудшением воздушного обмена в соседних цилиндрах. Но уже в диапазоне $1900\text{--}2300\text{ об/мин}$ происходит замедление снижения дымности, что связано с улучшением условий сгорания топлива. После превышения частоты в 2300 об/мин возникает лавинное

снижение дымности, связанное с оптимизацией смесеобразования.

Итак, часовой расход топлива при отключении цилиндров двигателя по сравнению с вариантом без отключения цилиндров уменьшается при нагрузке на КВД до 33 % от номинальной эффективной мощности. Показатель удельного индикаторного расхода топлива (g_i) уменьшается из-за снижения часового расхода топлива (G_T) в диапазоне оборотов двигателя $1600\text{--}2350\text{ мин}^{-1}$. На номинальной частоте вращения установлено уменьшение показателей (G_T) и (N) в 1,33 и 1,16 раза. Показатель (N) дымности ОГ дизеля при работе на холостом ходу и малых нагрузках в режиме отключения половины цилиндров снизился на 30–35 %, а сажевое содержание (D) уменьшилось на 3–5 %, стремясь к нулю при повышении оборотов КВД до 2250 мин^{-1} .

Максимальная экономичность достигается в режиме холостого хода. Чем выше обороты двигателя при малых нагрузках, тем выше экономичность. Под нагрузкой до 33 % от номинальной мощности экономия топлива при работе дизельного двигателя Д-240 на холостом ходу при втором режиме составила до 9 % (отключение топлива

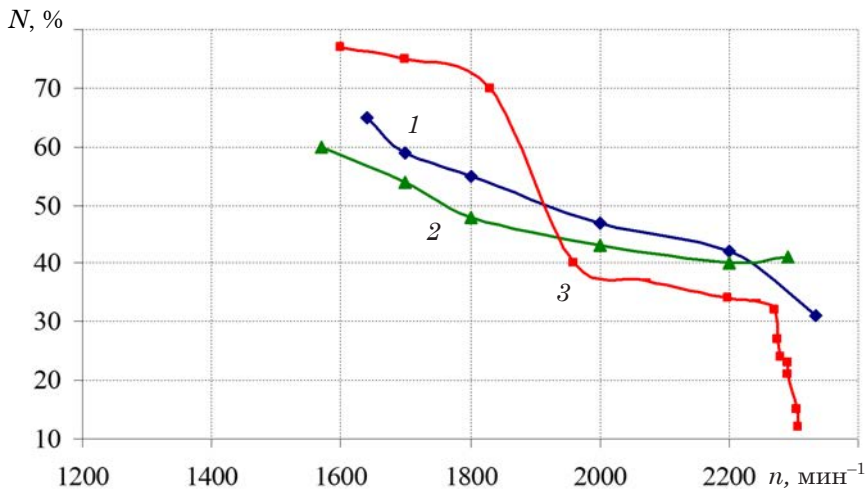


Рис. 22. Изменение показателя дымности (N) дизельного двигателя на установившихся оборотах в зависимости от частоты (n) вращения КВД
1, 2 и 3 – первый, второй и третий режимы

только в двух цилиндрах). С увеличением частоты вращения КВД от 1200 до 2350 мин⁻¹ экономия топлива достигает 0,33 кг/ч, или 8,25 %. Эффект снижается до нуля при возрастании эффективной мощности до 8 кВт; на холостом ходу на третьем режиме – до 25 % (отключение топлива и привода клапанов у двух цилиндров). Экономия топлива при частоте вращения КВД в диапазоне 1200–2350 мин⁻¹ достигает 0,97 кг/ч,

или 24,8 %. Эффект снижается до нуля при возрастании эффективной мощности до 22 кВт.

Сопоставление экспериментальных данных с теоретическими показывает, что расхождение не превышает 7 % во всем диапазоне частот вращения КВД. Модернизация дизельного двигателя Д-240 окупит себя примерно через один год, что говорит об эффективности указанного способа. ■

Литература

1. Abas M., Zainal Abidin S., Rajoo S., Martinez-Botas R. et al. Evaluation Between Engine Stop/Start and Cylinder Deactivation Technologies Under Southeast Asia Urban Driving Condition // SAE Technical Paper 2017-01-0986, 2017.
2. Abas M. and Martinez-Botas R. Engine Operational with Cylinder Deactivation in Malaysian Urban Driving Conditions // SAE Technical Paper 2015-01-0983, 2015.
3. Кожанов В. Влияние отключения некоторых цилиндров двигателя на токсичность отработавших газов // Новости науки Казахстана, 2014. № 1 (119). С. 104–114.
4. Суркин В., Петелин А., Федосеев С. Определение дымности отработавших газов дизеля при отключении части его цилиндров // Известия Самарской государственной сельскохозяйственной академии, 2012. № 3. С. 50–55. ISSN 1997-3225.
5. Bemman Y., Frei T., Jones C., and Keck M. Passive Exhaust System With Cylinder Deactivation // SAE Technical Paper 2005-01-2351, 2005.
6. Vinodh B. Technology for Cylinder Deactivation // SAE Technical Paper 2005-01-0077, 2005.
7. Патрахальцев Н., Страшнов С., Корнев Б., Мельник И. Регулирование дизеля методом отключения-включения цилиндров или циклов // Двигателестроение, 2011. № 3. С. 7–12. ISSN 0202-1633.
8. Марков В., Девянин С., Савастенко Э., Савастенко А. Отключение цилиндров как способ улучшения топливной экономичности бензиновых двигателей // Автомобильная промышленность, 2014. № 1. С. 5–8. ISSN 0005-2337.
9. Mohammadpour M., Rahmani R., and Rahnejat H. The Effect of Cylinder De-Activation on Thermo-Friction Characteristics of the Connecting Rod Bearing in the New European Drive Cycle (NEDC) // SAE Technical Paper 2014-01-2089, 2014.
10. Senapati U., McDevitt I., and Hankinson A. Vehicle Challenges for a Large Displacement Engine with Cylinder Deactivation Capability // SAE Technical Paper 2011-01-1678, 2011.
11. Журавлев С., Зубарев К. Апробация способа управления мощностью ДВС отключением цилиндров // Техника и технологии строительства, 2015. № 3 (3). С. 14–20. ISSN 2412-8406.
12. Leone T., and Pozar M. Fuel Economy of Cylinder Deactivation - Sensitivity to Vehicle Application and Operating Constraints // SAE Technical Paper 2001-01-3591, 2001.
13. Douglas K., Milovanovic N., Turner J., and Blundell D. Fuel Economy Improvement Using Combined CAI and Cylinder Deactivation (CDA) - An Initial Study // SAE Technical Paper 2005-01-0110, 2005.
14. Senapati U., McDevitt I., and Hankinson A. Vehicle Challenges for a Large Displacement Engine with Cylinder Deactivation Capability // SAE Technical Paper 2011-01-1678, 2011.
15. Muhamad Said M., Abdul Aziz A., Abdul Latiff Z., Mahmoudzadeh Andwari A. et al. Investigation of Cylinder Deactivation (CDA) Strategies on Part Load Conditions // SAE Technical Paper 2014-01-2549, 2014.
16. Joshi M., Gosala D., Allen C., Srinivasan S. et al. Diesel Engine Cylinder Deactivation for Improved System Performance over Transient Real-World Drive Cycles // SAE Technical Paper 2018-01-0880, 2018.

17. Lapuerta M., Hernández J., and Armas O. Kinetic Modelling of Gaseous Emissions in a Diesel Engine // SAE Technical Paper 2000-01-2939, 2000.
18. Bech A., Shayler P., and McGhee M. The Effects of Cylinder Deactivation on the Thermal Behaviour and Performance of a Three Cylinder Spark Ignition Engine // SAE Int. J. Engines 9 (4).1999-2009.
19. Connolly F. Direct Estimation of Cyclic Combustion Pressure Variability Using Engine Speed Fluctuations in an Internal Combustion Engine // SAE Technical Paper 940143, 1994.
20. Суркин В., Федосеев С., Петелин А. Анализ изменения механических потерь дизеля тракторно-транспортного агрегата при отключении части цилиндров // Достижения науки и техники АПК, 2012. Т. 7. С. 80–83. ISSN 0235-2451.
21. Gritsenko A., Zadorozhnaya E., Shepelev V. Diagnostics of Friction Bearings by Oil Pressure Parameters During Cycle-By-Cycle Loading // Tribology in Industry, 2 (40), 2018. Pp. 300–310.
22. Gritsenko A., Kukov S., Glemba K. Theoretical Underpinning of Diagnosing the Cylinder Group During Motoring // Procedia Engineering. № 150. 2016. Pp. 1182–1187.
23. Gritsenko A., Plaksin A., Glemba K. Experimental Studies of Cylinder Group State During Motoring // Procedia Engineering. № 150. 2016. Pp. 1188–1191.
24. Ramesh A., Gosala D., Allen C., Joshi M. et al. Cylinder Deactivation for Increased Engine and Aftertreatment Thermal Management in Diesel Engines // SAE Technical Paper 2018-01-0384, 2018.
25. Flierl R., Lauer F., Breuer M., and Hannibal W. Cylinder Deactivation with Mechanically Fully Variable Valve Train // SAE Int. J. Engines, 5 (2), pp. 207–215, 2012.

Literature

1. Abas M., Zainal Abidin S., Rajoo S., Martinez-Botas R. et al. Evaluation Between Engine Stop/Start and Cylinder Deactivation Technologies Under Southeast Asia Urban Driving Condition // SAE Technical Paper 2017-01-0986, 2017.
2. Abas M. and Martinez-Botas R. Engine Operational with Cylinder Deactivation in Malaysian Urban Driving Conditions // SAE Technical Paper 2015-01-0983, 2015.
3. Kozhanov V. of deactivation of some engine cylinders on toxicity level of exhaust gases // Kazakhstan's News of Science [Vliyanie otklyucheniya nekotorykh tsilindrov dvigatelya na toksichnost' otrabotavshikh gazov // Novosti nauki Kazakhstana] 2014. № 1 (119). P. 104–114.
4. Surkin V., Petelin A., Fedoseyev S. Determination of diesel exhaust gases smoke opacity under deactivation of a part of cylinders // Bulletin of Samara state agrarian academy, [Opredelenie dymnosti otrabotavshikh gazov dizelya pri otklyuchenii chasti ego tsilindrov // Izvestiya Samarskoj gosudarstvennoj sel'skokhozyajstvennoj akademii] 2012. № 3. P. 50–55. ISSN 1997-3225.
5. Bemman Y., Frei T., Jones C., and Keck M. Passive Exhaust System With Cylinder Deactivation // SAE Technical Paper 2005-01-2351, 2005.
6. Vinodh B. Technology for Cylinder Deactivation // SAE Technical Paper 2005-01-0077, 2005.
7. Patrakhaltsev N., Strashnov S., Kornev B., Melnik I. Regulating a diesel with deactivation-activation of cylinders or cycles // Drive engineering, [Regulirovanie dizelya metodom otklyucheniya-vklyucheniya tsilindrov ili tsiklov // Dvigatelsestroenie] 2011. № 3. P. 7–12. ISSN 0202-1633.
8. Markov V., Devyanin S., Savastenko E., Savastenko A. Deactivation of cylinders as a means to improve petrol engine fuel // Vehicle manufacturing industry, [Otklyuchenie tsilindrov kak sposob uluchsheniya toplivnoj ekonomichnosti benzinovykh dvigatelej // Avtomobil'naya promyshlennost'] 2014, № 1. P. 5–8. ISSN 0005-2337.
9. Mohammadpour M., Rahmani R., and Rahnejat H. The Effect of Cylinder De-Activation on Thermo-Friction Characteristics of the Connecting Rod Bearing in the New European Drive Cycle (NEDC) // SAE Technical Paper 2014-01-2089, 2014.
10. Senapati U., McDewitt I., and Hankinson A. Vehicle Challenges for a Large Displacement Engine with Cylinder Deactivation Capability // SAE Technical Paper 2011-01-1678, 2011.
11. Zhuravlev S., Zubarev K. Aprobation of a power control method by deactivation of cylinders // Construction machinery and technology, [Aprobatsiya sposoba upravleniya moshhnosti

- DVS otklyucheniem tsilindrov // Tekhnika i tekhnologii stroitel'stva] 2015. № 3 (3). P. 14–20. ISSN 2412-8406.
12. Leone T., and Pozar M. Fuel Economy of Cylinder Deactivation - Sensitivity to Vehicle Application and Operating Constraints // SAE Technical Paper 2001-01-3591, 2001.
 13. Douglas K., Milovanovic N., Turner J., and Blundell D. Fuel Economy Improvement Using Combined CAI and Cylinder Deactivation (CDA) – An Initial Study // SAE Technical Paper 2005-01-0110, 2005.
 14. Senapati U., McDevitt I., and Hankinson A. Vehicle Challenges for a Large Displacement Engine with Cylinder Deactivation Capability // SAE Technical Paper 2011-01-1678, 2011.
 15. Muhamad Said M., Abdul Aziz A., Abdul Latiff Z., Mahmoudzadeh Andwari A. et al. Investigation of Cylinder Deactivation (CDA) Strategies on Part Load Conditions // SAE Technical Paper 2014-01-2549, 2014.
 16. Joshi M., Gosala D., Allen C., Srinivasan S. et al. Diesel Engine Cylinder Deactivation for Improved System Performance over Transient Real-World Drive Cycles // SAE Technical Paper 2018-01-0880, 2018.
 17. Lapuerta M., Hernández J., and Armas O. Kinetic Modelling of Gaseous Emissions in a Diesel Engine // SAE Technical Paper 2000-01-2939, 2000.
 18. Bech A., Shayler P., and McGhee M. The Effects of Cylinder Deactivation on the Thermal Behaviour and Performance of a Three Cylinder Spark Ignition Engine // SAE Int. J. Engines 9 (4).1999-2009.
 19. Connolly F. Direct Estimation of Cyclic Combustion Pressure Variability Using Engine Speed Fluctuations in an Internal Combustion Engine // SAE Technical Paper 940143, 1994.
 20. Surkin V., Fedoseyev S., Petelin A. Analysis of change of diesel mechanical loss of a tractor and transport unit in deactivation of a part of cylinders // Achievements of AIC science and engineering, [Analiz izmeneniya mekhanicheskikh poter' dizelya traktorno-transportnogo agregata pri otklyuchenii chasti tsilindrov // Dostizheniya nauki i tekhniki APK] 2012. V. 7. C. 80–83. ISSN 0235-2451.
 21. Gritsenko A., Zadorozhnaya E., Shepelev V. Diagnostics of Friction Bearings by Oil Pressure Parameters During Cycle-By-Cycle Loading // Tribology in Industry, 2 (40), 2018. Pp. 300–310.
 22. Gritsenko A., Kukov S., Glemba K. Theoretical Underpinning of Diagnosing the Cylinder Group During Motoring // Procedia Engineering. № 150. 2016. Pp. 1182–1187.
 23. Gritsenko A., Plaksin A., Glemba K. Experimental Studies of Cylinder Group State During Motoring // Procedia Engineering. № 150. 2016. Pp. 1188–1191.
 24. Ramesh A., Gosala D., Allen C., Joshi M. et al. Cylinder Deactivation for Increased Engine and Aftertreatment Thermal Management in Diesel Engines // SAE Technical Paper 2018-01-0384, 2018.
 25. Flierl R., Lauer F., Breuer M., and Hannibal W. Cylinder Deactivation with Mechanically Fully Variable Valve Train // SAE Int. J. Engines, 5 (2), pp. 207–215, 2012.

Статья сдана в редакцию 13 октября 2019 года

Управление в технических системах

УДК 629.423.2

А.С. Митраков

Выбор и обоснование рациональных параметров системы принудительного наклона кузова отечественного электропоезда

UDC 629.423.2

A.S. Mitrakov

Choice and justification of rational parameters of body powered tilt system of domestic electric train

Аннотация

Выбраны и обоснованы параметры системы принудительного наклона кузова для перспективного отечественного электропоезда. Предложена схема реализации наклона кузова, найдены параметры системы наклона. Рациональные параметры системы предлагается выбирать по разработанной методике, основанной на анализе динамики электропоезда и комфорта пассажиров. Для исследования динамических качеств подвижного состава разработана компьютерная имитационная модель, включающая гибридные подсистемы кузовов вагонов. Данные динамической нагрузки электропоезда принимаются по результатам моделирования движения верифицированной модели электропоезда по реальным неровностям пути.

Для оценки безопасности и комфорта пассажиров использована методика, основанная на математической модели антропометрических манекенов, размещенных по салону вагонов электропоезда. Изучено влияние работы системы принудительного наклона кузова на динамические показатели электропоезда и комфорт пассажиров. Приведены зависимости показателей от скорости движения и радиусов рассматриваемых кривых. По результатам численных экспериментов выбраны рациональные параметры системы принудительного наклона кузова, осуществлен сравнительный анализ данных динамики и комфорта для электропоезда, оборудованного и не оборудованного системой наклона кузова, обоснованы параметры системы наклона.

Ключевые слова: подвижной состав, кузов, система принудительного наклона, математическое моделирование, динамические характеристики, критерий комфорта, антропометрический манекен.

DOI: 10.20291/2079-0392-2019-4-65-75

Abstract

Parameters of a body powered tilt system for a perspective domestic train are chosen and justified. There was proposed a pattern of body tilt realization, parameters of the tilt system are found. It is suggested to choose rational parameters of the system according to the elaborated methods based on electric train dynamics analysis and comfort for passengers. A computer simulation model was developed, which includes hybrid subsystems of carriage bodies. Information on dynamic loading of the electric train is taken by the results of movement modeling of a domestic electric train model along real track irregularities.

In order to evaluate safety and comfort for passengers we used methods based on a mathematical model of anthropometric dummies located in electric train carriages.

The influence of functioning of a body powered tilt system on dynamic indicators of the electric train and passengers was examined. Dependencies of indicators on movement speed and radii of curves are given. By the results of numeric experiments rational parameters of the body powered tilt system are chosen, comparative analysis of information on dynamics and comfort for the electric train equipped and unequipped with the body tilt system is made, tilt system parameters are grounded.

Key words: rolling stock, body, powered tilt system, mathematical modeling, dynamic features, criterion of comfort, anthropometric dummy.

DOI: 10.20291/2079-0392-2019-4-65-75

Статья рекомендована к публикации В.Ф. Лапшиным, д-ром техн. наук, профессором. Уральский государственный университет путей сообщения. E-mail: VLapshin@usurt.ru.

Артём Сергеевич Митраков, аспирант; кафедра «Вагоны» Уральского государственного университета путей сообщения; Екатеринбург, Россия. E-mail: mitrakov.tema@mail.ru.

The article is recommended for publishing by V.F. Lapshin, Doctor of tech. science, Professor. Ural state university of railway transport. E-mail: VLapshin@usurt.ru.

Artyom Sergeyevich Mitrakov, Post Graduate, «Railway Cars» Chair, Ural state university of railway transport (USURT); Yekaterinburg, Russia. E-mail: mitrakov.tema@mail.ru.

В рамках решения проблемы повышения скоростей движения разработаны и введены в эксплуатацию несколько типов подвижного состава с увеличенной конструкционной скоростью. Опыт эксплуатации показал, что увеличение максимальной скорости на участках с большим количеством кривых незначительно влияет на средние маршрутные скорости. Это обусловлено ограничениями, накладываемыми на подвижной состав в кривых участках пути. Дальнейшее повышение скоростей движения связано с модернизацией пути и увеличением радиусов кривых, что требует большого количества ресурсов, а в некоторых случаях, например, условиях городских агломераций, не представляется возможным.

Анализ мирового опыта организации скоростного и высокоскоростного движения на существующих линиях показал эффективность использования подвижных составов, оборудованных системой принудительного наклона кузова (СПНК). Применение подобного подвижного состава позволяет повысить скорость движения в кривых участках пути до 30 % [1]. Эффективность системы наклона обуславливается комфортом и безопасностью пассажиров при движении в кривых участках пути и напрямую зависит от качества выбора параметров ее работы. Но этой теме уделяется мало внимания, поскольку разработка и создание подвижного состава подобного типа – новое направление для отечественного машиностроения. В настоящей работе рассмотрен выбор рациональных параметров СПНК для перспективного отечественного подвижного состава.

В качестве объекта исследования принят электропоезд ЭС2Г «Ласточка»; исходя из модульной компоновки и конструкции вторичного подвешивания электропоезда целесообразным вариантом реализации СПНК является активная система с электропневматическим приводом. Подобные системы позволяют управлять уровнем опорных поверхностей пневморессор

регулированием давления в них с помощью системы электроклапанов. Управляющее воздействие на электроклапане (приводе) формируется в специальных системах управления на основании скорости движения, координат о текущем местоположении подвижного состава и данных о путевой инфраструктуре.

Для полного описания СПНК рассмотрим параметры, полностью характеризующие работу и эффективность: а) угол наклона (основной параметр, не зависящий от других параметров, обусловлен только конструктивными возможностями), б) скорость наклона и временные задержки в системе управления (скорость наклона кузова и задержки в системе управления СПНК взаимозависимые параметры через скорость движения и параметры кривой). Обзор поездов, оборудованных активной СПНК с электропневматическим приводом [1, 2], показал, что использование пневморессор в качестве управляющего органа позволяют достичь угла наклона до 5 град, скорости наклона – до 6 град/с. Современные системы управления обеспечивают различный уровень точности и быстродействия; подход к управлению наклоном целесообразно выбирать на основании рассчитанных временных задержек.

Выбирать и обосновывать рациональные параметры предлагается на основании данных динамических показателей электропоезда и комфорта пассажиров, полученных в ходе многовариантного моделирования движения рельсового экипажа по реальным неровностям пути. Для определения рациональных параметров СПНК в работе предложена специальная методика, предусматривающая установление каждого из рассматриваемых параметров поочередно.

Модель электропоезда разрабатывалась в программном комплексе моделирования динамики и кинематики систем тел «Универсальный механизм» [3]. Сцеп электропоезда сформирован набором отдельных частей – подсистемами различного уровня. Вагоны

электропоезда представляют собой самостоятельные подсистемы первого уровня, состоящие из подсистем второго уровня, описывающих кузова вагонов и ходовые части. Ходовые части вагонов состоят из совокупности абсолютно твердых тел, соединенных шарнирами, упруго-диссипативных элементов и специальных силовых элементов.

Подсистемы кузовов вагонов имеют два исполнения. В первом варианте подсистема представляет собой абсолютно твердое тело с заданным центром тяжести и инерционными характеристиками с учетом навесного оборудования. Во втором варианте кузов вагона представлен в виде упругого тела, позволяющего учитывать малые пространственные колебания при движении. Упругие свойства кузова формируются на основе данных конечно-элементной модели кузова со специальными элементами, моделирующими массы навесного оборудования. Для снижения необходимых вычислительных мощностей упругие свойства кузова рассматривались поочередно для каждого из исследуемых вагонов.

Моделирование движения электропоезда по различным участкам пути полностью повторило натурные ходовые испытания [4]. Анализ результатов моделирования и данных испытаний показал качественное совпадение результатов с максимальным расхождением не более 18,6 % [5, 6].

В поездах, оборудованных СПНК, боковое ускорение, действующее на пассажиров в кривых участках пути, компенсируется наклоном кузова, и общий уровень непогашенного ускорения снижается (по сравнению с традиционным подвижным составом). Опыт эксплуатации и исследования в области комфорта пассажиров наклоняемых поездов [7] показывают, что, несмотря на снижение уровня непогашенного ускорения, система наклона способна привести к дискомфорту пассажиров и развитию болезни укачивания. В качестве основных причин негативного воздействия на пассажиров выделяют быстропротекающие

процессы, вызванные движением в переходных кривых и наклоном кузова, а развитие болезни укачивания связывают с низкочастотными колебаниями и сенсорным конфликтом органов чувств человека.

В отечественных нормативных стандартах в качестве критериев комфорта пассажиров предлагается использовать непогашенное ускорение, воздействующее на пассажиров и показатели плавности хода. Из-за особенностей методики измерения показателя плавности хода [8] и компенсации непогашенного ускорения наклоном кузова эти показатели не позволяют учесть кратковременные негативные явления и сформировать объективную оценку комфорта пассажиров в поездах, оборудованных СПНК.

Влияние работы СПНК на пассажиров предлагается оценивать с использованием процента пассажиров, испытывающих дискомфорт, — $P_{\text{ст}}$, представленном в CEN 12299 и позволяющем учитывать быстропротекающие кратковременные процессы.

Количественное прогнозирование укачивания предлагается осуществлять на основании рейтинга заболеваемости $IR(t)$. Градация рейтинга заболеваемости: от 0 («я чувствую себя хорошо») до 3 («я чувствую себя ужасно») [9]. Заболеваемость с учетом времени на появление эффекта укачивания и восстановление после него в работе оценивается на основе «чистой» дозы укачивания NR [10].

Критерии комфорта пассажиров рассчитываются на основе данных, полученных измерением конструкции кузова вагона, или элементов, жестко связанных с ним. Такой подход позволяет получить усредненные показатели комфорта внутри кузова вагона, мало зависящие от позы пассажира и его положения в салоне. Для повышения точности прогнозирования комфорта пассажиров внутри салона электропоезда предлагается оценивать комфорт по данным, полученным измерениями на антропометрических моделях, находящихся в салоне. Для этого разработаны

специальные математические модели манекенов [6, 11].

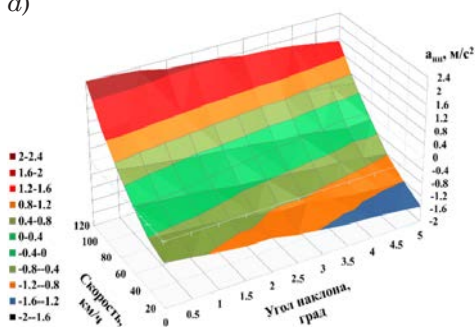
Выбор и обоснование рациональных параметров СПНК в работе осуществлялись для полигона эксплуатации, содержащем кривые участки пути радиусом 350, 400, 500, 600, 700, 800, 1000 м. Параметры криволинейных участков пути задавались в соответствии с [12] для особо грузонапряженных линий. Микронеровности пути принимались в соответствии с РД 32.68-96 [13] для пути хорошего состояния, по рекомендациям, приведенным в работе [14].

В соответствии с методикой определения рациональных параметров СПНК, на первом этапе моделирования рассматривалось движение электропоезда

в круговой кривой постоянного радиуса со скоростями от 20 км/ч до максимально допустимых, с углом наклона кузова от 0 до 5 град с шагом в 0,5 град. В ходе моделирования определялись следующие динамические показатели электропоезда: непогашенное ускорение, боковые силы, ускорения кузова, рамные силы, коэффициенты динамики, запас устойчивости против схода с рельса.

По результатам моделирования составлены зависимости показателей от угла наклона кузова и скорости движения для каждой из рассмотренных кривых; на рис. 1 и 2 представлены примеры зависимостей боковых сил и непогашенного ускорения от скорости движения для некоторых радиусов кривых.

а)



б)

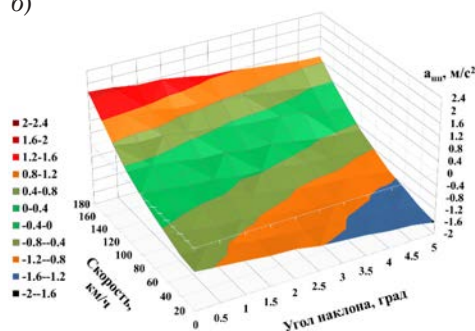
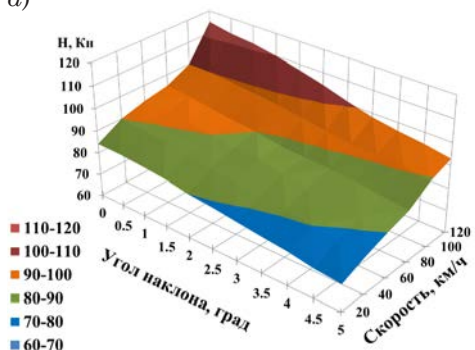


Рис. 1. Зависимости непогашенного ускорения от угла наклона кузова и скорости движения для кривых различного радиуса
а – для кривой радиусом 350 м; б – для кривой радиусом 1000 м

а)



б)

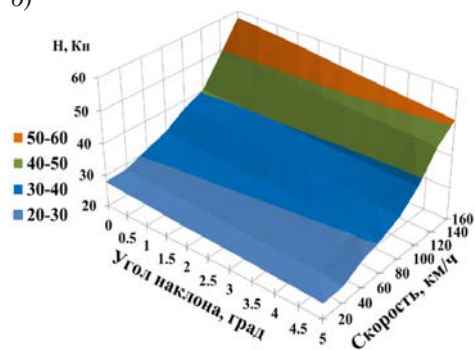


Рис. 2. Зависимости боковых сил от угла наклона кузова и скорости движения для кривых различного радиуса
а – для кривой радиусом 350 м; б – для кривой радиусом 1000 м

По результатам анализа полученных зависимостей можно сделать вывод о положительном влиянии наклона кузова на рассмотренные показатели динамики (за исключением вертикальных ускорений и коэффициентов динамики поддрессоренных масс). Рост этих показателей с увеличением наклона кузова обусловлен перераспределением вертикальных нагрузок от колес вагонов на рельсы и увеличением угла вкатывания колеса на рельс под воздействием центробежных сил при движении в кривых с положительными непогашенными ускорениями. При этом во время моделирования по всем исследуемым режимам коэффициент запаса устойчивости против схода с рельса соответствовал требованиям нормативных документов [8]. Наклон кузова существенно снижает непогашенное ускорение при движении в кривой постоянного радиуса; чрезмерная компенсация непогашенного ускорения по данным эксплуатации и исследований комфорта в наклоняемом подвижном составе [15] может привести сенсорному конфликту и развитию болезни укачивания. Для исключения такого явления в работах [7,16] рекомендуется в поездах, оборудованных СПНК, поддерживать

положительное непогашенное ускорение на ощутимом для пассажиров уровне: не менее $0,3\text{--}0,4\text{ м/с}^2$.

При выборе рационального угла наклона в качестве показателей, лимитирующих минимальное значение угла наклона, выступают такие показатели динамики, как боковые силы отжатия наружного рельса, поперечные горизонтальные ускорения, рамные силы, максимальные значения непогашенного ускорения, в качестве показателей, ограничивающих максимальный угол наклона, – коэффициенты динамики, вертикальное ускорение кузова, минимальные значения непогашенного ускорения. По результатам анализа динамических показателей электропоезда при движении в кривых постоянного радиуса составлена зависимость рационального угла наклона кузова от скорости движения и радиуса кривой (рис. 3).

На следующем этапе в соответствии с методикой осуществляется моделирование в переходных кривых с рациональным углом наклона кузова и изменением скорости наклона кузова от $0,5$ до 6 град/с. По результатам моделирования составлялись зависимости показателей комфорта и укачивания пассажиров от скорости наклона кузова

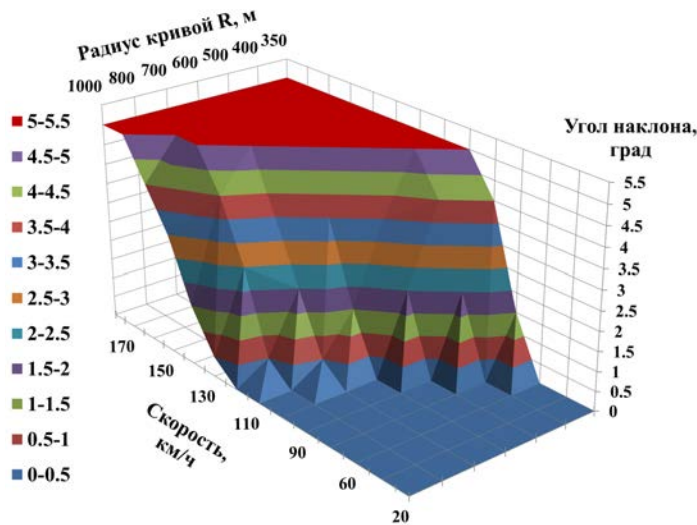


Рис. 3. Зависимость рационального угла наклона кузова от радиуса кривой и скорости движения электропоезда

и радиуса переходной кривой. На рис. 4, 5 приведены зависимости процента сидящих пассажиров, испытывающих дискомфорт, и чистой дозы укачивания от радиуса кривой и скорости наклона кузова электропоезда.

По результатам анализа показателей комфорта нами предлагается установить рекомендуемую скорость наклона кузова на уровне 3,8 град/с.

На последнем этапе на основе выбранного угла и скорости наклона кузова вагона рассчитывались величины рациональных задержек в системе управления наклоном кузова по зависимости, полученной в ходе анализа

алгоритма работы системы наклона кузова в кривой:

$$t_{\text{зад}} = \frac{l}{v} - \frac{\varphi_{\text{рац}}(v)}{\dot{\varphi}_{\text{рац}}},$$

где l – длина переходной кривой, м; v – скорость движения в кривой, м/с; $\dot{\varphi}_{\text{рац}}$ – рациональная скорость наклона кузова, град/с; $\varphi_{\text{рац}}(v)$ – зависимость рационального угла наклона от скорости движения, град.

Зависимость рассчитанных рекомендуемых задержек в СПНК от радиуса рассматриваемой кривой и скорости движения представлена на рис. 6.

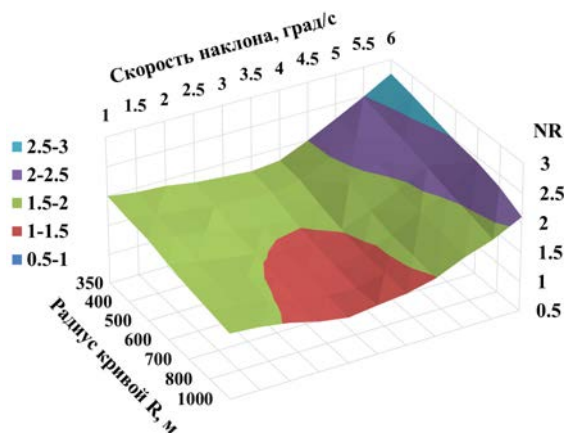


Рис. 4. Зависимость чистой дозы укачивания от радиуса кривой и скорости наклона кузова электропоезда

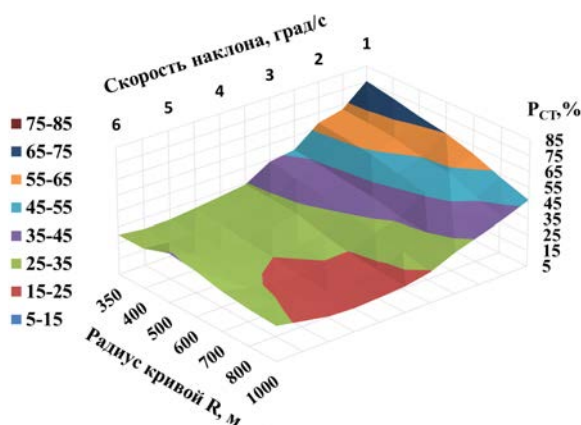


Рис. 5. Зависимость процента сидящих пассажиров, испытывающих дискомфорт, от радиуса кривой и скорости наклона кузова электропоезда

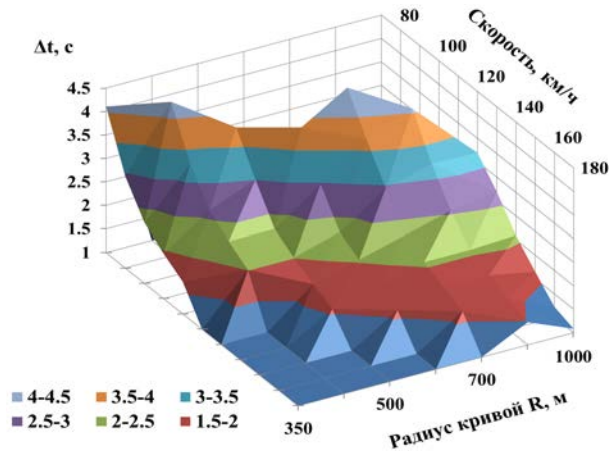


Рис. 6. Зависимость рекомендуемых задержек в системе управления наклоном кузова от радиуса кривой и скорости движения электропоезда

Рациональные параметры СПНК подтверждены и обоснованы моделированием движения электропоезда по полигону эксплуатации, содержащему прямые участки пути и кривые радиусом 350, 650 и 1000 м. Для формирования сравнительной оценки рассматривались два режима эксплуатации электропоез-

да: с активной СПНК (с предложенными в работе параметрами) и с выключенной СПНК. В ходе моделирования определялись параметры динамики подвижного состава и комфорта пассажиров внутри салона. Наиболее близкие к критериальным значения показателя отображены в таблицах 1 и 2.

Таблица 1

Наибольшие значения показателей динамических качеств вагонов электропоезда при движении на рассматриваемом полигоне

Показатель, размерность	Тип вагона	Режим	
		СПНК	без СПНК
Рамные силы, кН	МГ*	41,8	49,9
	ППТ**	43,6	52,6
	ППО***	39,4	47,6
Отношение рамных сил к статической осевой нагрузке (груз. 183,5 и 176,6 кН)	МГ	0,228	0,272
	ППТ	0,247	0,298
	ППО	0,223	0,270
Боковые силы, кН	МГ	78,3	97,6
	ППТ	78,7	94,7
	ППО	75,8	93,5
Коэффициенты вертикальной динамики подрессорных масс вагонов	МГ	0,29	0,27
	ППТ	0,27	0,25
	ППО	0,27	0,26
Ускорения кузова вертикальные	МГ	1,72	1,62
	ППТ	1,69	1,54
	ППО	1,67	1,57
Ускорения кузова горизонтальные	МГ	1,25	1,83
	ППТ	1,12	1,76
	ППО	1,03	1,64

* МГ – моторный головной вагон; ** ППТ – прицепной промежуточный вагон с токоприемником; *** ППО – прицепной промежуточный вагон с тяговым оборудованием.

Таблица 2

Наибольшие значения показателей комфорта пассажиров в вагонах
электропоезда при движении на рассматриваемом полигоне

Позиция в салоне вагона		Критерии оценки комфорта					
		W_y	W_z	N_{mv}	P_{CT}	NR	$IR(t)$
МГ	1	$\frac{2,07}{2,48}$	$\frac{2,53}{2,46}$	$\frac{2,27}{2,63}$	14,3/22,1	1,78/1,54	0,816/0,973
	2				14,0/21,6	1,74/1,49	0,809/0,964
	3	$\frac{1,98}{2,40}$	$\frac{2,34}{2,28}$	$\frac{2,09}{2,35}$	12,8/19,6	1,58/1,33	0,782/0,893
	4				12,3/19,2	1,61/1,36	0,778/0,889
	5				26,3/38,7		
	6	$\frac{1,78}{1,99}$	$\frac{1,98}{1,92}$	$\frac{2,05}{2,43}$	12,8/19,1	1,68/1,43	0,712/0,836
	7				12,6/18,7	1,63/1,40	0,703/0,826
	8				26,8/38,9		
ПШТ	1	$\frac{2,13}{2,48}$	$\frac{2,73}{2,62}$	$\frac{1,71}{1,98}$	25,9/37,5		
	2				11,0/17,7	1,58/1,36	0,878/0,994
	3				11,2/17,9	1,61/1,4	0,863/0,996
	4	$\frac{1,89}{2,12}$	$\frac{2,27}{2,21}$	$\frac{2,04}{2,31}$	27,0/38,8		
	5				12,9/19,3	1,66/1,43	0,778/0,896
	6				13,0/19,5	1,71/1,48	0,793/0,908
	7	$\frac{1,98}{2,29}$	$\frac{2,39}{2,32}$	$\frac{2,10}{2,46}$	13,5/20,9	1,72/1,51	0,816/0,921
	8				13,3/20,7	1,69/1,49	0,803/0,918
	9				29,2/40,2		
ППО	1	$\frac{2,08}{2,39}$	$\frac{2,21}{2,16}$	$\frac{1,61}{1,92}$	10,9/17,8	1,54/1,31	0,765/0,867
	2				10,7/17,4	1,52/1,28	0,753/0,851
	3				25,0/36,9		
	4	$\frac{1,93}{2,26}$	$\frac{2,13}{2,05}$	$\frac{2,44}{2,73}$	13,0/18,9	1,65/1,44	0,794/0,859
	5				12,9/18,6	1,61/1,38	0,783/0,851
	6				27,1/39,0		
	7	$\frac{1,98}{2,17}$	$\frac{2,31}{2,24}$	$\frac{2,16}{2,48}$	13,9/20,8	1,71/1,47	0,823/0,946
	8				13,7/20,6	1,67/1,44	0,816/0,938
	9				30,2/41,2		

Примечание: в числителе – с СПНК, в знаменателе – без СПНК.

W_y – плавность хода в горизонтальном поперечном направлении; W_z – плавность хода в вертикальном направлении; N_{mv} – показатель среднего комфорта пассажиров.

Математические модели антропометрических манекенов размещались по салону электропоезда (в стоящем и сидячем положениях; рис. 7).

По результатам моделирования движения электропоезда, оборудованного СПНК с рекомендуемыми параметрами, с максимально допускаемыми скоростями движения выполняются

нормативные показатели безопасности движения и комфорта пассажиров. В ходе сравнения данных моделирования электропоезда в равных условиях при использовании СПНК наблюдается улучшение общих динамических показателей и комфорта пассажиров, за исключением незначительного повышения вертикальных ускорений кузова,

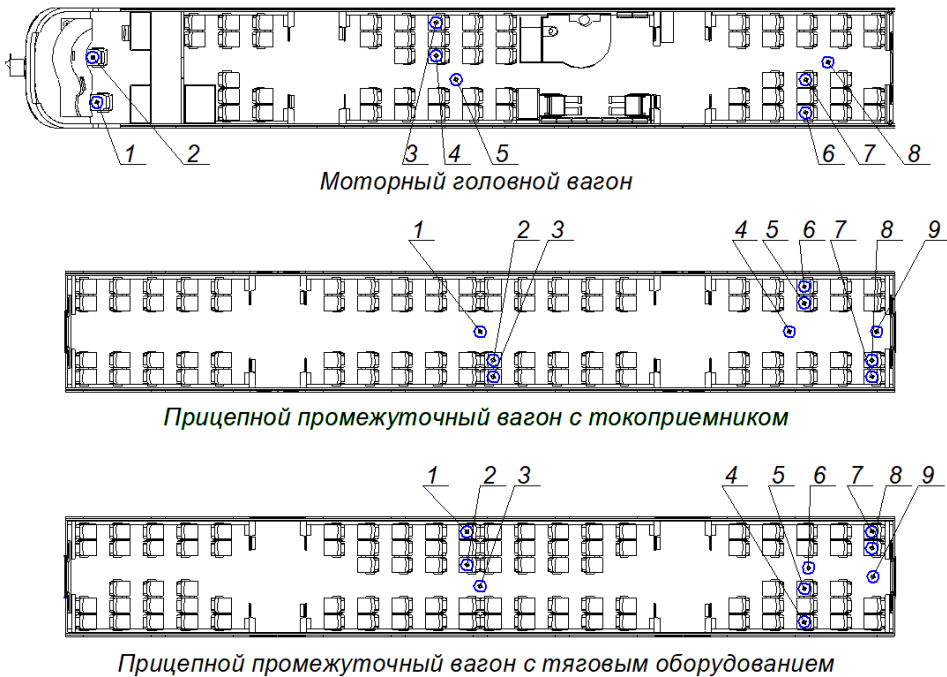


Рис. 7. Схема размещения антропометрических манекенов внутри вагонов электропоезда

коэффициентов динамики и плавности хода в вертикальном направлении для которых ухудшение составило 9, 7,5 и 4 % соответственно, что не превышает критериальные значения.

Таким образом, по результатам моделирования можно сделать вывод о возможности повышения скоростей движения в кривых до 20 % для электропоезда,

оборудованного СПНК с предложенными параметрами, без ухудшения комфорта пассажиров и сохранением безопасности движения.

Предложенная методика расчета параметров СПНК может быть применена для различных конструктивных исполнений системы наклона, без существенных доработок расчетных моделей. ■

Литература

1. Persson R. Tilting trains, a description and analysis of the present situation. Report // KTH Railway Vehicles. Stockholm, 2007. ISBN 978-91-7178-608-1.
2. Higaki H., Fujimori S., Horike Y., Yasui T., Koyanagi S., Okamoto I. & Terada K. An active pneumatic tilting system for railway cars // Vehicle System Dynamics. 1992. Т. 20. № 1. С. 254–268.
3. Универсальный механизм : рук. пользователя. – Брянск, 2006.
4. Протокол по результатам приемочных динамико-прочностных испытаний электропоезда с асинхронным тяговым приводом типа ЭГЭ, серийное обозначение ЭС2Г. М. : ВНИИЖТ, 2014.
5. Антипин Д. Я., Лапшин В. Ф., Митраков А. С. Разработка и валидация имитационной модели отечественного электропоезда, оборудованного системой принудительного наклона кузова // Совершенствование транспортных машин : сборник научных трудов. Брянск, 2018. С. 193–196.
6. Антипин Д. Я., Ваулин П. В., Лапшин В. Ф., Митраков А. С. Исследование уровня комфорта пассажиров в поездах с принудительным наклоном кузова в кривых методами математического моделирования // Транспорт Урала. 2017. № 3 (54). С. 3–8. ISSN 1815-9400.

7. Forsberg J. Ride comfort and motion sickness in tilting trains: дис. Stockholm: Institutionen för farkostteknik, 2000. 234 p.
8. ГОСТ 33796–2016. Моторвагонный подвижной состав. Требования к прочности и динамическим качествам. М. : , 2016. 36 с.
- 9.
10. Kufver, B. and Förstberg, J. A net dose model for development of nausea. Proc. of the 34th UK Conference on Human Response to Vibration. Dunton, 1999.
11. Антипин Д. Я., Кобищанов В. В., Лапшин В. Ф., Митраков А. С. Исследование динамических характеристик отечественного пассажирского подвижного состава, оборудованного системой принудительного наклона кузова в кривых // Транспорт Урала. 2015. № 3 (46). С. 54–59. ISSN 1815-9400.
12. СП 238.1326000.2015 : Свод правил «Железнодорожный путь». – М. : Министерство транспорта, 2015. 71 с.
13. РД 32.68-96. Расчетные неровности железнодорожного пути для использования при исследованиях и проектировании пассажирских и грузовых вагонов. М. : ВНИИЖТ, 1997. 20 с.
14. Паначев О. И. Повышение безремонтного пробега грузового вагона снижением вибронегативности экипажной части : дис. ... на соиск. уч. ст. канд. техн. наук. – М., 2017. 148 с.
15. Persson R. Motion sickness in tilting trains, Description and analysis of the present knowledge. Report, ISBN 978-91-7178-680-3. KTH Rail Vehicles, Stockholm, 2008.
16. Zolotas A. C. Advanced control strategies for tilting trains : дис. Lincoln: University of Lincoln, 2002. 243 с.

Literature

1. Persson R. Tilting trains, a description and analysis of the present situation. Report // KTH Railway Vehicles. Stockholm, 2007. ISBN 978-91-7178-608-1.
2. Higaki H., Fujimori S., Horike Y., Yasui T., Koyanagi S., Okamoto I. & Terada K. An active pneumatic tilting system for railway cars // Vehicle System Dynamics. 1992. T. 20. № 1. С. 254–268.
3. Universal mechanism: user's manual. [Universal'nyj mekhanizm : ruk. pol'zovatelya] – Bryansk, 2006.
4. Protocol by the results of accepting dynamic and strength tests of an electric train with asynchronous traction drive of ЭГЭ, serial sign ЭС2Г type. М.: ВНИИЖТ, 2014.
5. Antipin D.Ya., Lapshin V.F., Mitrov A.S. Elaboration and validation of a simulation model of a domestic electric train, equipped with a body powered tilt system // Improvement of transport machines: collection of scientific papers. [Razrabotka i validatsiya imitatsionnoj modeli otechestvennogo elektropoezda, oborudovannogo sistemoy prinuditel'nogo naklona kuzova // Sovershenstvovanie transportnykh mashin : sbornik nauchnykh trudov] Bryansk, 2018. P. 193–196
6. Antipin D.Ya., Vaulin P.V., Mitrov A.S. Investigation of comfort level for passengers on trains with body powered tilt in curves by methods of mathematical modeling // Transport of the Urals. [Issledovanie urovnya komforta passazhirov v poezdakh s prinuditel'nym naklonom kuzova v krivykh metodami matematicheskogo modelirovaniya // Transport Urala] 2017. № 3 (54). P. 3–8. ISSN 1815-9400.
7. Forsberg J. Ride comfort and motion sickness in tilting trains: дис. Stockholm: Institutionen för farkostteknik, 2000. 234 p.
8. ГОСТ 33796–2016. Motor carriage rolling stock. Requirements to strength and dynamic properties. [Motorvagonnyj podvizhnoj sostav. Trebovaniya k prochnosti i dinamicheskim kachestvam] М. : , 2016. 36 p.
- 9.
10. Kufver B. and Förstberg J. A net dose model for development of nausea. Proc. of the 34th UK Conference on Human Response to Vibration. Dunton, 1999.
11. Antipin D. Ya., Kobishanov V. V., Lapshin V. F., Mitrov A. S. Investigation of dynamic features of domestic passenger rolling stock equipped with a body powered tilt system in curves // Transport of the Urals. [Issledovanie dinamicheskikh kharakteristik otechestvennogo passazhirskogo podvizhnogo sostava, oborudovannogo sistemoy prinuditel'nogo naklona kuzova v krivykh // Transport Urala] 2015. № 3 (46). P. 54–59. ISSN 1815-9400.

12. SP 238.1326000.2015 : Rules and regulations «Railway track». [Svod pravil «Zheleznodorozhnyj put'»] – M.: Ministry of Transport, 2015. 71 p.
13. RD 32.68-96. Estimated railway track irregularities for usage in studies and designing of passenger and freight carriages. [Raschetnye nerovnosti zheleznodorozhnogo puti dlya ispol'zovaniya pri issledovaniyakh i proektirovanii passazhirskikh i gruzovykh vagonov] M. : VNIIZT, 1997. 20 p.
14. Panachev O. I. Increase of maintenance-free running of a freight carriage through reduction of vibration load of a carriage underframe: [Povyshenie bezremontnogo probega gruzovogo vagona snizheniem vibronagruzhennosti ekipazhnoj chasti] diss. ... for Cand. of tech. science degree. – M., 2017. 148 p.
15. Persson R. sickness in tilting trains, Description and analysis of the present knowledge. Motion Report, ISBN 978-91-7178-680-3. KTH Rail Vehicles, Stockholm, 2008.
16. Zolotas A. C. Advanced control strategies for tilting trains : дис. Lincoln : University of Lincoln, 2002. 243 с.

Статья сдана в редакцию 3 ноября 2019 года

УДК 629.4

Д. М. Маяков

Качественный анализ надёжности силового оборудования тепловозов серии 2ТЭ25А

UDC 629.4

D. M. Mayakov

Quantitative analysis of 2ТЭ25А diesel locomotive power equipment reliability

Аннотация

Рассматривается качественный анализ надёжности силового оборудования тепловозов серии 2ТЭ25А, для чего использован статистический метод повышения качества – построение диаграммы Парето. Исходные данные – отказы, зафиксированные в единой системе мониторинга технического состояния локомотивов. В результате проведенного исследования получены диаграммы Парето за отчетный период 2015–2018 гг. и за каждый год в отдельности. На основании построений проведен анализ и выявлены менее надежные узлы локомотивов за каждый период их эксплуатации.

При анализе построенных диаграмм выявлено, что за каждый год работы силовое оборудование тепловозов серии 2ТЭ25А «Витязь» имеет разный уровень надёжности. Поэтому построена общая диаграмма Парето за все четыре года эксплуатации локомотивов. Основным лимитирующим надёжность оборудованием служат цилиндры комплекты и турбокомпрессоры дизель-генератора 21-26ДГ-01 и тяговые асинхронные электродвигатели. Ввиду того, что при обработке данных отдельно выделены деградационные и эксплуатационные отказы, можно отметить случаи, связанные с нарушениями машинистами режимов эксплуатации локомотивов. Установлены случаи несвоевременного проведения тепловозам текущего обслуживания и ремонта.

Ключевые слова: диаграмма Парето, надёжность силового оборудования, тепловозы серии 2ТЭ25А, оборудование, лимитирующее надёжность, отказ силового и вспомогательного оборудования тепловоза, качественный анализ надёжности.

DOI: 10.20291/2079-0392-2019-4-76-82

Abstract

Quantitative analysis of 2ТЭ25А diesel locomotive power equipment reliability is under review with application of a statistical method of quality enhancement – construction of a Pareto chart. The source data are failures recorded in the unique monitoring system over locomotive mechanical condition. The investigation resulted in acquisition of a Pareto chart for the period throughout 2015–2018 and for each year separately. On the basis of charting there was made the analysis and less reliable locomotive units for each period of their operation were revealed.

While analyzing the constructed charts it was found out that «Vityaz» 2ТЭ25А diesel locomotive power equipment has various reliability levels for each year of operation. Therefore, a generalized Pareto chart for all four years of locomotive exploitation was constructed. Cylinder sets and 21-26ДГ-01 diesel-generator turbochargers and traction asynchronous electric motors serve as a main factor limiting equipment reliability. Considering the fact that while data processing there were separately highlighted degradation and operation failures, one may accentuate cases connected with misuse by engine drivers. Some instances of untimely maintenance service and repairs for diesel locomotives were detected.

Key words: Pareto chart, power equipment reliability, 2ТЭ25А diesel locomotives, equipment, a factor limiting reliability, diesel locomotive power and auxiliary equipment failure, qualitative analysis of reliability.

DOI: 10.20291/2079-0392-2019-4-76-82

Статья рекомендована к публикации Э.Э. Ридэлем, канд. техн. наук, доцентом, Российский университет транспорта (МИИТ). E-mail: ree@raps.edu.ru.

Денис Михайлович Маяков, аспирант; кафедра «Электропоезда и локомотивы» Российского университета транспорта РУТ (МИИТ); Москва, Россия. E-mail: majakovdenis@yandex.ru.

The article is recommended for publishing by E.E. Reedel, Cand. of tech.science, Associate Professor, Russia's transport university (MIIT). E-mail: ree@raps.edu.ru.

Denis Mikhailovich Mayakov, Post Graduate; «Electric trains and locomotives» Chair, Russia's transport university RTU (MIIT); Moscow, Russia. E-mail: majakovdenis@yandex.ru.

В 2004 г. принята Стратегия обновления парка подвижного состава, которая предусматривала создание техники переходного поколения. В это время появилась техника, в которой применялись новые решения: микропроцессорная система управления, статические преобразователи, асинхронные тяговые двигатели и др. Так, в 2006 г. на Брянском машиностроительном заводе (АО УК БМЗ) совместно с ОАО ВНИКТИ создан первый в России магистральный тепловоз с асинхронным тяговым приводом, который по объему реализованных в нем технических решений перерос определение «техника переходного периода» и являлся образцом нового поколения. Тепловоз серии 2ТЭ25А «Витязь» уже в 2009 г. получил сертификат соответствия, но модернизация первого образца на тот момент еще не завершилась [1, 2].

На тепловозе 2ТЭ25А применяется электрическая передача переменного тока с асинхронными тяговыми двигателями ДТА-350Т (АД-917 УХЛ1, ДАТ 350-6 УХЛ1) и поосным регулированием силы тяги, тяговыми статическими преобразователями частоты на базе автономных инверторов напряжения, что обеспечивает повышение тяговых свойств тепловоза. Коломенский завод укомплектовал эту серию локомотивов дизель-генераторами 21-26ДГ-01. Также были применены технические решения в механической части, охлаждающих устройствах, устройствах безопасности, пневматическом оборудовании, климатической системе кабины машиниста тепловоза [3–5].

С 2011 г. на замену старому парку локомотивов на Дальневосточной железной дороге (ДВЖД) постепенно вводились в эксплуатацию тепловозы серии 2ТЭ25А «Витязь». С появлением «Витязя» стало возможным отказаться от подталкивания на участках ДВЖД в местах больших расчётных подъёмов, что позволило увеличить пропускную способность линии. В первые годы эксплуатации «Витязь» показал хорошие

эксплуатационные и тягово-энергетические показатели, продемонстрировав во многом превосходство над старыми тепловозами, используемыми в ОАО «РЖД». Но появлялись и недостатки, которые требовали вмешательства по их устранению [1, 2].

Поэтому большой интерес представляет проведение качественного анализа надежности силового оборудования тепловоза 2ТЭ25А, который еще в 2009 г. был машиной нового поколения. Применение дизеля 12ЧН26/26, тягового привода с использованием асинхронных электродвигателей и моторно-осевых подшипников качения, микропроцессорной системы управления с поосным регулированием силы тяги, унифицированных тяговых преобразователей частоты на IGBT-транзисторах, системы электронного управления подачей топлива дизеля, тормозного пневматического оборудования и электропневматического оборудования со встроенными микропроцессорными средствами управления дает возможность уже сейчас оценить надежность впервые примененных оборудования и систем на всех выпускаемых локомотивах данной серии [3–5].

В 2016 г. последние локомотивы прибыли для эксплуатации на ДВЖД, а в конце 2018 г. закончилось их гарантийное обслуживание. Всего на сеть железных дорог ОАО «РЖД» поставлено 55 грузовых магистральных тепловозов 2ТЭ25А производства АО УК БМЗ. Все тепловозы эксплуатируются в локомотивном депо Тынды Дальневосточной дирекции тяги – филиала ОАО «РЖД». В июле 2014 г. тепловозы серии 2ТЭ25А приняты на сервисное обслуживание в ООО «ЛокоТех-Сервис» (ООО «ТМХ-Сервис»).

Депо Тынды, эксплуатирующее эту серию локомотивов, обслуживает три тяговых плеча (рис. 1, а, б, в) в двухсекционном исполнении: а) Тынды – Новая Чара (протяжённость 484 км); б) Беркажит – Тынды – Сковородино (398 км); в) Тынды – Нерюнгри – Сковородино – Тынды (876 км).

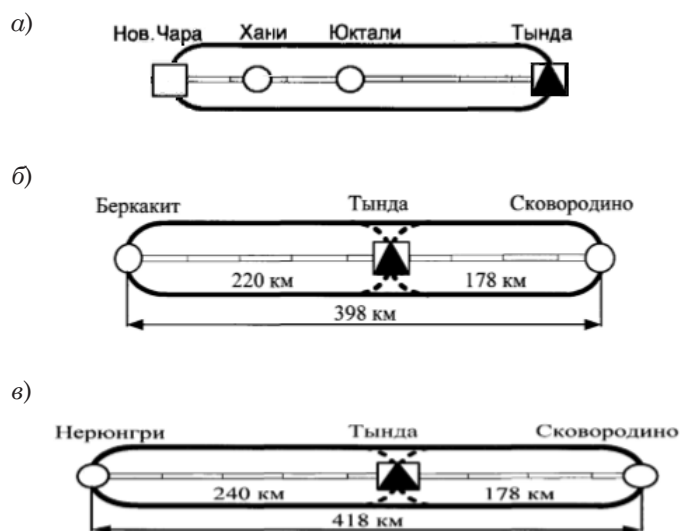


Рис. 1. Тяговые плечи обращения тепловозов серии 2ТЭ25А

В качестве метода анализа надёжности рассматриваемого локомотива использована диаграмма Парето.

Согласно данному методу, в подавляющем большинстве случаев количество дефектов, следовательно, и больших материальных затрат происходит из-за относительно небольшого числа различных причин и факторов. Значит, определив причины наступления и проявления нарушений, можно исключить почти все потери, направив максимальные усилия на исключение главных причин и факторов. Это позволяет объективно показать и выявить основные и главные факторы, влияющие на рассматриваемую проблему, и сконцентрировать усилия на её решении [6].

Применив диаграмму Парето, можно найти оборудование, которое чаще всего отказывает. Исходные данные для выполнения качественного анализа надёжности тепловоза серии 2ТЭ25А зафиксированы в Единой системе мониторинга технического состояния локомотивов (ЕСМТ) за период эксплуатации 2015–2018 гг.

Результаты зарегистрированных данных для итогов в отдельности по каждому узлу, накопленные суммы отказов, процент числа отказов и накопленный процент числа отказов в порядке значимости для построения и анализа диаграммы Парето за 2015–2018 гг. структурированы и сведены в таблицу.

Наименование	Отказы, кол-во	Накопленная сумма кол-ва отказов	Процент числа отказов	Накопленный процент
Дизель	1630	1630	56,4	56,4
Асинхронный тяговый двигатель	793	2423	27,4	83,8
Электрическое оборудование силовых и вспомогательных цепей	208	2631	7,2	91,0
Микропроцессорные системы управления	97	2728	3,4	94,3
Тормозное и пневматическое оборудование	75	2803	2,6	96,9
Экипажная часть	51	2854	1,8	98,7
Тяговый синхронный генератор	38	2892	1,3	100,0
Всего	2892	—	100,0	—

ЕСМТ регистрирует во время эксплуатации все отказы, связанные с производственными ошибками ремонтных бригад, деградационные проблемы, связанные с износом и старением оборудования, эксплуатационные ошибки локомотивных бригад из-за неправильной эксплуатации локомотива. В дальнейших расчётах использованы данные об отказах, влияющих на работоспособность локомотива. В диаграммах Парето отдельно отмечены эксплуатационные и деградационные отказы.

На основании систематизации данных по отказам тепловозов построены диаграммы Парето по каждому году эксплуатации локомотивов (рис. 2).

Анализ диаграмм (рис. 2, а) показал, что основная доля отказов приходится на асинхронный тяговый привод, большая часть которых – это ошибки локомотивной бригады или непредвиденные обстоятельства во время эксплуатации. Дизель, в свою очередь, имеет большое число деградационных отказов, что говорит о его низкой надёжности. Меньшая доля отказов приходится на экипажную часть, что свидетельствует о достаточной её надёжности.

Анализ диаграммы за 2016 г. (рис. 2, б) показал, что чаще всего отказывает дизель. Доля отказов асинхронного тягового двигателя составляет 34,2 % от числа всего оборудования. Меньшее число отказов составляют экипажная часть (1,8 %) и тяговый синхронный генератор (1,3 %).

Анализ диаграммы за 2017 г. (рис. 2, в) показывает значительно большую долю отказов дизеля и дизельного оборудования (68,6 %) к общему числу всех отказов за отчётный год. Причём 54,7 % отказов дизельного оборудования приходится на эксплуатационные ошибки, что свидетельствует о неправильном использовании оборудования или ненадёжной работе автоматической микропроцессорной системы управления дизелем. Самый безотказный узел – тяговый агрегат, на долю которого приходится 0,4 % всех отказов.

Анализ диаграммы Парето за 2018 г. (рис. 2, г) показывает, что дизель и дизельное оборудование имеют больший процент отказов по сравнению с другим оборудованием. На отказы асинхронного тягового двигателя приходится много эксплуатационных ошибок, что может свидетельствовать об ошибочной работе автоматической микропроцессорной системы управления, которая по числу отказов расположена на втором месте (4,7 %). Меньшую долю отказов составляют тормозное и пневматическое оборудование (1,1 %).

Из полученных диаграмм видно, что за каждый отчётный год оборудование локомотива имеет разброс по уровню надёжности. Поэтому построена общая диаграмма Парето за все четыре года эксплуатации (рис. 3).

Как видно из диаграммы (рис. 3), при эксплуатации локомотива наибольший уровень безотказности приходится на тяговый синхронный генератор, что говорит о его высокой надёжности. Больше всего отказов дизеля и дизельного оборудования (56,4 %). Следовательно, если повысить надёжность дизеля, можно значительно снизить число внезапных отказов оборудования и, соответственно, эксплуатационные затраты на его ремонт и обслуживание. Большое число отказов асинхронного тягового двигателя и дизеля с его оборудованием может свидетельствовать о некорректной работе микропроцессорных систем и нарушении режимов эксплуатации локомотивными бригадами. Анализируя другие узлы, видно, что электрическое оборудование, микропроцессорные системы управления и асинхронные тяговые двигатели имеют почти равную долю отказов (6,8 %). На электрическое оборудование приходится 6,6 % отказов, а на микропроцессорные системы управления – 3,3 %. Высокую безотказность, помимо тягового синхронного генератора (1,3 %), имеют также экипажная часть (1,3 %), тормозное и пневматическое оборудование (2,3%).

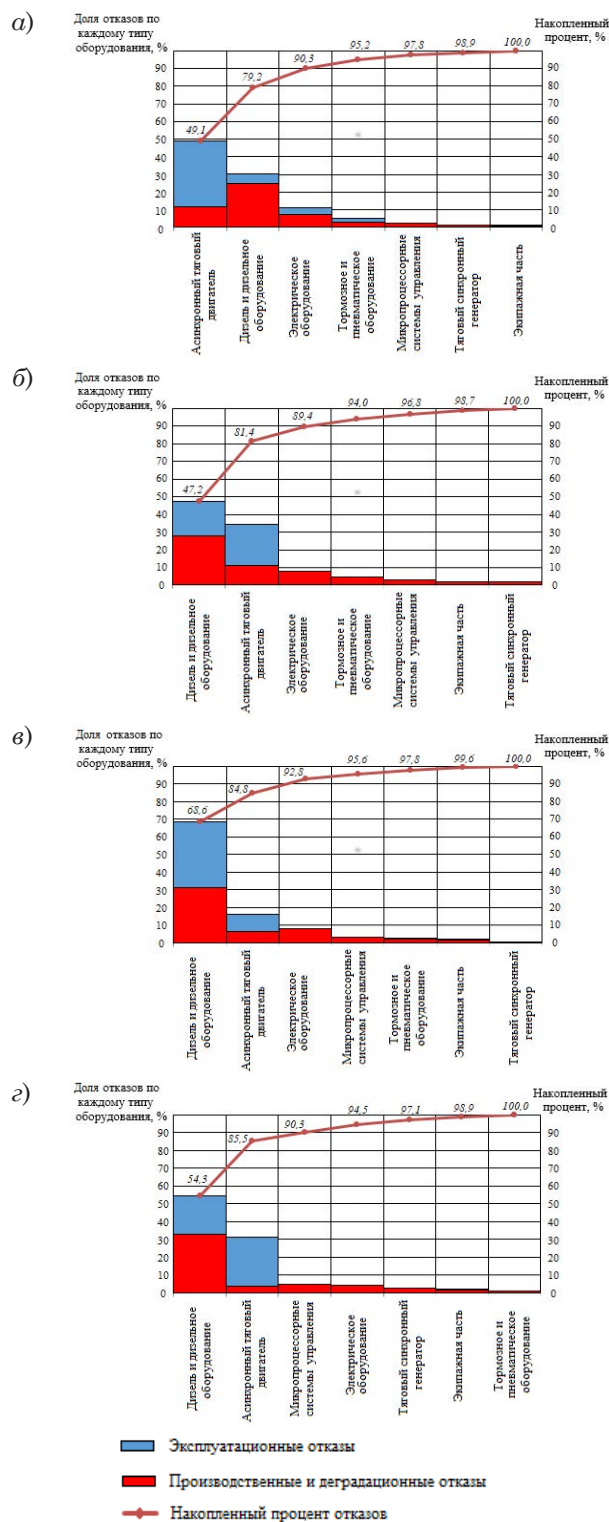


Рис. 2. Диаграммы Парето для оборудования тепловозов серии 2ТЭ25А
а – 2015 г.; б – 2016 г.; в – 2017 г.; г – 2018 г.

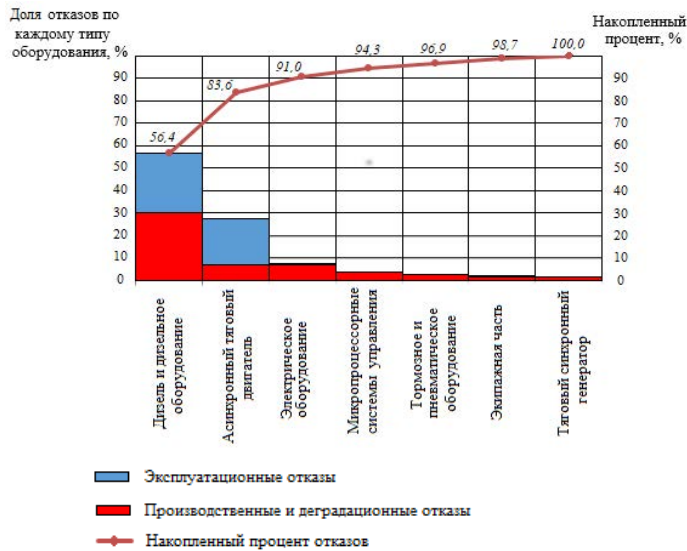


Рис. 3. Диаграмма Парето по отказам силового и вспомогательного оборудования тепловозов серии 2ТЭ25А за отчетный период 2015–2018 гг.

Основными лимитирующими надежностью узлами являются цилиндрические комплекты и турбокомпрессоры дизель-генератора 21-26ДГ-01 и тяговые асинхронные электродвигатели. Отмечено нарушение режимов эксплуатации локомотивов машинистами. Качество сервисного обслуживания остается на низком уровне из-за нарушений ремонтным персоналом требований инструкций, руководств по техническому обслуживанию и ремонту оборудования тепловозов. Установлены случаи

несвоевременного проведения тепловозам текущего обслуживания и ремонта. Всё это, в конечном итоге, привело к низкой надёжности тепловоза серии 2ТЭ25А.

Благодаря проведенному исследованию и полученным результатам в дальнейшем представляется возможным определить показатели надежности тепловозов серии 2ТЭ25А «Витязь» и оптимальную структуру ремонтного цикла, влияющие на устойчивость перевозочного процесса и безопасность движения. ■

Литература

1. Перов С., Дорохин К., Аксенов Е., Кинжигазиев В., Лещев Ю., Козаченко Е., Пономарев Д. Тепловоз 2ТЭ25А «Витязь»: локомотив нового поколения [Электронный ресурс] // Журнал для партнеров ЗАО «Трансмашхолдинг». 2009. № 1. URL: <https://www.> (дата обращения: 05.07.2019).
2. Перов С., Дорохин К., Белова Н., Дюметье Г., Захарова Е., Бычкова Е., Шушера Ю., Попов И., Федорова М. Тепловозы БМЗ: от маневрового ТЭМ1 до магистрального 2ТЭ25А «Витязь» [Электронный ресурс] // Журнал для партнеров ЗАО «Трансмашхолдинг». 2010. № 5. URL: https://www.tmholding.ru/press_office/corporate_magazine/?PAGEN_1=5 (дата обращения: 05.07.2019).
3. Говоров В. С., Васюков Е. С., Сидорук А. М., Киржнер Д. Л., Машталер Ю. А. Магистральный грузовой двухсекционный тепловоз 2ТЭ25А. Руководство по эксплуатации [Электронный ресурс]. 2009. Часть 1. URL: <https://prolokomotiv.ru/teplovoz-2te25-vityaz.html> (дата обращения: 24.02.2019).
4. Говоров В. С., Васюков Е. С., Сидорук А. М., Киржнер Д. Л., Машталер Ю. А. Магистральный грузовой двухсекционный тепловоз 2ТЭ25А. Руководство по эксплуатации [Электронный ресурс]. 2009. Часть 2. URL: <https://prolokomotiv.ru/teplovoz-2te25-vityaz.html> (дата обращения: 24.02.2019).

5. Говоров В. С., Васюков Е. С., Сидорук А. М., Киржнер Д. Л., Машталер Ю. А. Магистральный грузовой двухсекционный тепловоз 2ТЭ25А. Руководство по эксплуатации [Электронный ресурс]. 2009. Часть 3. URL: <https://prolokomotiv.ru/teplovoz-2te25-vityaz.html> (дата обращения: 24.02.2019).
6. Статистические методы повышения качества. Под ред. Хитоси Кумэ: Пер. с англ. М. : Финансы и статистика, 1990. 304 с. : ил. ISBN 5-279-00441-3.
7. Четвергов В. А., Швецов С. В., Воробьев А. А., Горский А. В., Пузанков А. Д., Скребков А. В. Надежность подвижного состава. М.: ФГБУ ДПО «Учебно-методический центр по образованию на железнодорожном транспорте», 2017. 301 с. ISBN 978-5-89035-978-0.

Literature

1. Perov S., Dorokhin K., Kinzhigaziev V., Leschev Yu., Kozachenko E., Ponomarev D. «Vityaz» 2ТЭ25А diesel locomotive: a new generation locomotive [Electronic resource] // Journal for ZAO «Transmashholding» partners. [Teplovoz 2ТЭ25А «Vityaz»: lokomotiv novogo pokoleniya [Elektronnyj resurs] // Zhurnal dlya partnerov ZAO «Transmashkholding»] 2009. № 1. URL: <https://prolokomotiv.ru/teplovoz-2te25-vityaz.html> (reference date: 05.07.2019).
2. Perov S., Dorokhin K., Belova N., Dumatier G., Zakharova E., Bychkova E., Shusherova Yu., Popov I., Fyodorova M. БМЗ diesel locomotives: from ТЭМ1 diesel shunter to Vityaz 2ТЭ25А mainline locomotive [Electronic resource] // Journal for ZAO «Transmashholding» partners. [Teplovozy BMZ: ot manevrovogo TEM1 do magistral'nogo 2ТЭ25А «Vityaz» [Elektronnyj resurs] // Zhurnal dlya partnerov ZAO «Transmashkholding»] 2010. № 5. URL: <https://prolokomotiv.ru/teplovoz-2te25-vityaz.html> (reference date: 05.07.2019).
3. Govorov B. S., Vasyukov E. S., Sidoruck A. M., Kirzhner D. L., Mashtaler Yu. A. 2ТЭ25А mainline freight-hauling twin-unit diesel locomotive. Operating guide [Electronic resource]. [Magistral'nyj gruzovoj dvukhseksionnyj teplovoz. Rukovodstvo po ekspluatatsii] 2009. P. 1. URL: <https://prolokomotiv.ru/teplovoz-2te25-vityaz.html> (reference date: 24.02.2019).
4. Govorov B. S., Vasyukov E. S., Sidoruck A. M., Kirzhner D. L., Mashtaler Yu. A. 2ТЭ25А mainline freight-hauling twin-unit diesel locomotive. Operating guide [Magistral'nyj gruzovoj dvukhseksionnyj teplovoz 2ТЭ25А. Rukovodstvo po ekspluatatsii] [Electronic resource]. 2009. P. 2. URL: <https://prolokomotiv.ru/teplovoz-2te25-vityaz.html> (reference date: 24.02.2019).
5. Govorov B. S., Vasyukov E. S., Sidoruck A. M., Kirzhner D. L., Mashtaler Yu. A. 2ТЭ25А mainline freight-hauling twin-unit diesel locomotive. Operating guide [Magistral'nyj gruzovoj dvukhseksionnyj teplovoz 2ТЭ25А. Rukovodstvo po ekspluatatsii] [Electronic resource]. 2009. P. 3. URL: <https://prolokomotiv.ru/teplovoz-2te25-vityaz.html> (reference date: 24.02.2019).
6. Statistical methods for quality improvement / edited by Hitoshi Kumais / Tranl. from Eng. – M.: Finance and statistics, [Statisticheskie metody povysheniya kachestva / pod red. Khitosi Kume / Per. s angl. – M. : Finansy i statistika] 1990. 304 p. ISBN 5-279-00441-3.
7. Chetvergov V. A., Shvetsov S. V., Vorobyov A. A., Gorsky A. V., Puzankov A. D., Skrebkov A. V. Rolling stock reliability. M.: FSBI CPE «Training and methodology centre for railway transport», [Nadezhnost' podvizhnogo sostava. M. : FGBU DPO «Uchebno-metodicheskij tsentr po obrazovaniyu na zheleznodorozhnom transporte»] 2017. 301 p. ISBN 978-5-89035-978-0.

Статья сдана в редакцию 12 октября 2019 года

Организация и логистика

УДК 331.1:658

В. С. Паршина

Реализация управленческой концепции эластичности спроса на услуги (на примере грузоперевозок)

UDC 331.1:658

V. S. Parshina

Realization of managerial conception of elasticity of demand for services (as exemplified by freight transportation)

Аннотация

В рыночной экономике стабильный успех коммерческих организаций связан с планированием своей деятельности на основе постоянного сбора и аккумулирования информации о состоянии целевых рынков, положении на них конкурентов, собственных возможностях. Использование технологий исследования рынка, применяемых за рубежом, вносит существенный вклад в повышение эффективности деятельности отечественных организаций в результате аргументированных управленческих решений. Среди них большое место занимают модели анализа различных аспектов взаимодействия с конкурентами и клиентами. Особенность их применения – конкретизация условий функционирования организации относительно определённого региона и сферы деятельности.

Одной из эффективных бизнес-моделей, применяемых на рынке, служит обоснование ценовой эластичности продуктов (услуг). Но в литературе существуют общие положения относительно эластичности; исследование и практическое использование результатов расчета эластичности спроса – относительно новая тема для российского рынка, что делает её актуальной и интересной для изучения не только в теоретическом плане, но и в практическом (в рамках отдельных предприятий и сфер деятельности).

Исследование эластичности проведено на примере транспортной компании (ТК), занимающейся посредническими услугами – грузоперевозками (собственных транспортных средств не имеет). Анализ статистических данных показал: а) в стране большая конку-

ренция среди ТК, б) преобладают автомобильные грузоперевозки. Представлена последовательность аналитических действий по ценообразованию грузоперевозок, в основе которой лежит изучение конкурентов, клиентов рынка и данных, полученных в процессе оперативной деятельности в аспекте конкретных маршрутов, сезонности, наличия конкурентов по конкретным направлениям.

Изложен современный алгоритм ценообразования на основе использования понятия «эластичность» и разработан вариант, включающий анализ внешней среды ТК, сложившихся цен по видам услуг, анализ клиентов по частоте и количеству заказанных поездок и направлениям грузоперевозок, данных опроса постоянных клиентов для выявления их приоритетов при

Статья рекомендована к публикации В.П. Негановой, д-ром экон. наук, профессором; Институт экономики УрО РАН. E-mail: vp-neganova@yandex.ru.

Валентина Сергеевна Паршина, д-р экон. наук, профессор, кафедра «Управление в социальных и экономических системах» Уральского государственного университета путей сообщения; Екатеринбург, Россия. E-mail: vparshina@usurt.ru.

The article is recommended for publishing by V.P. Neganova, Doctor of econ. science, Professor; Institute of Economics, Ural branch, RAS. E-mail: vp-neganova@yandex.ru.

Valentina Sergeyevna Parshina, Doctor of econ. science, Professor, «Management in social and economic systems» Chair, Ural state university of railway transport; Yekaterinburg, Russia. E-mail: vparshina@usurt.ru.

выборе компаний, удовлетворенности качеством обслуживания и отношения к возможному повышению цены. На примере исследуемой компании предложены сезонные цены на грузоперевозки по конкретному маршруту.

Материалы имеют практическую направленность и позволяют менеджерам малых, в частности, транспортных предприятий использовать предложенную технологию моделирования цен на основе использования понятия «эластичность» в конкретных условиях для повышения эффективности деятельности организаций.

Ключевые слова: транспортная компания, транспортные услуги, грузоперевозки, конкуренция, ценообразование, эластичность спроса, модели исследования рынка, прибыль, оптимизация цены, анализ деятельности фирмы, анализ клиентов, дифференциация клиентов, результаты опроса клиентов, модели исследования деятельности.

DOI: 10.20291/2079-0392-2019-4-83-91

Abstract

In market economy steady success of commercial organizations is connected with planning of their activity on the basis of constant collection and accumulation of information about target markets, competitors, in-house capacity. The use of technologies for market studies, applied overseas, makes a contribution to

efficiency improvement of domestic organizations activity resulted from well-reasoned managerial decisions. A major place among them is occupied by analysis patterns of various aspects of interaction with competitors and customers. Peculiarity of their application is concretizing of conditions of functioning of an organization as relating to a cer-

One of effective business patterns which are used at the market proves to be the application of price elasticity of products (services). But in literature there exist general provisions in relation to elasticity: investigation and practical usage of calculation results on elasticity demand is a relatively new theme for Russian market, this making it presently topical and interesting for investigation not only in theoretical but in practical aspect as well (within the framework of separate enterprises and ac-

Studies of elasticity were made on the example of a transport company (TK), providing intermediary services – freight transportation (it does not have its own vehicles). The analysis of statistical data showed: a) there is a great competitiveness among TC in this country; b) motor freight transportation prevails. A sequence of analytical actions on price formation of freight transportation, it being based on studies of competitors, market clients and data received in the process of operative activity in aspect of spe-

routes, seasons, availability of competitors by speci-

The updated price formation algorithm based on the concept of «elasticity» is described and the variant is analyzed which includes TC surroundings analysis, existing prices by types of services, analysis of customers by frequency and amount of trips being ordered and freight transportation destinations, opinion findings from permanent customers for detection of their priorities in choosing the company, service satisfaction and attitude towards probable price rise. As a result by the company under examination there were proposed season prices for freight transportation by a spe-

The materials have a practical focus and allow managers of small, in particular, transport enterprises to use a suggested technology of price modeling on the basis of application of the concept «elasticity» under conditions for improvement of activities of organizations.

Key words: transport company, transportation services, freight transportation, competitiveness, price formation, demand elasticity, patterns of market studies, price optimization, company activity analysis, analysis of customers, differentiation of customers, opinion findings from customers, activity investigation patterns.

DOI: 10.20291/2079-0392-2019-4-83-91

Возрастание воздействия на организацию внешней хозяйственной среды в условиях конкуренции требует высокой гибкости реагирования, умения постоянно просчитывать варианты управленческих решений. В рыночной

экономике невозможно добиться стабильного успеха, если нет обоснованного планирования деятельности на основе постоянного сбора и аккумуляции информации как о состоянии целевых рынков, положении на них

конкурентов, так и о собственных перспективах и возможностях. Использование существующих и разработка новых моделей исследования различных аспектов деятельности обуславливают эффективность бизнеса в результате аргументированных управленческих решений. Особенность их применения заключается в анализе факторов для определенных регионов и сфер деятельности. Так, использование накопленных статистических данных по нужным показателям и установление их зависимости позволяет спрогнозировать развитие бизнес-процессов.

Из применяемых на рынке бизнес-моделей [1] достаточно эффективно обоснование ценовой эластичности для продуктов (услуг). В литературе существуют общие положения относительно эластичности [2–6]; гибкая оптимизация цены для продуктов (услуг) служит определяющим фактором роста объема продаж. Установление взаимосвязи между ценой и объемом спроса позволяет спрогнозировать рациональные объемы продаж, т.е. обоснование цены для конкретных условий дает возможность максимизировать объем выручки.

В качестве объекта исследования выбрано транспортное предприятие (автомобильные грузоперевозки), которое работает в условиях высокой конкуренции, обусловленной большим количеством функционирующих объектов. Общий объем перевозки грузов в РФ за 2017–2018 гг. представлен в таблице 1.

Объем грузоперевозок в России в 2000–2018 гг. автомобильным транспортом намного превышает объемы

таких перевозок железнодорожным транспортом. Доля автотранспорта в общем объеме в это время составляет от 67 до 83 %. Преимущество автомобильного транспорта объясняется возможностью быстрой доставки грузов небольшими партиями «от двери до двери» в сравнении с низкой себестоимостью транспортировки больших объемов грузов железнодорожным транспортом.

В Свердловской области сосредоточено 1147 транспортных компаний [9] (для сравнения: в Московской – 3482, в Новосибирской – 1924). Особенность рынка грузоперевозок заключается в существенных сезонных колебаниях объемов, которые следует учитывать при гибком формировании цены.

В странах, длительно функционирующих в рыночных условиях, показатель эластичности спроса широко применяется по видам работ (услуг), что позволяет руководителям после оценки ситуации на рынке своевременно принимать эффективные ценовые решения. Российский рынок значительно отстает в вопросе определения коэффициентов эластичности, но первые шаги в данном направлении делаются.

Исследование проведено на примере транспортной компании (ТК), занимающейся грузоперевозками путем осуществления посреднических услуг (собственных транспортных средств не имеет). Компания предоставляет услуги по перевозке грузов отдельными машинами – длинномерами. Снижение стоимости перевозок в основном идет за счет экономии на расходах ТК, связанных с обслуживанием клиентов (торговая наценка на стоимость грузоперевозок).

Таблица 1

Объем перевозки грузов в РФ, млн т [7, 8]

Вид транспорта	Год	2017	2018	2018 г. в % к 2017 г.
Транспорт всех отраслей экономики, в т.ч.		7997,8	8145,2	101,8
транспорт отраслей Минтранса России, из них:		6859,6	6975,9	101,7
железнодорожный		1266,5	1291,5	102,0
автомобильный		5447,0	5544,0	101,8

Оплата водителя изменяется незначительно, в отдельных поездках есть возможность несколько ее снизить, например, в случае предотвращения холостого пробега автомобиля, возвращающегося в пункт приписки, или у работника запланирована оплаченная поездка из определённого пункта, ему срочно нужно туда добраться.

К настоящему времени у менеджера есть достаточно стабильный состав заказчиков, а это создает основу для опроса. Их количество в месяц индивидуально для каждого специалиста и зависит от стажа работы в фирме, позволяющего нарабатывать клиентскую базу. Каждый менеджер обслуживает найденных им контрагентов, в заявках которых он материально заинтересован. Менеджер-логист, работающий в компании на протяжении четырех лет, обеспечивает в среднем сто заявок в месяц, имея при этом всего лишь 3-4 крупных клиента. Соотношение мелких и крупных заявок в общем объеме выручки составляет примерно 30:70. К мелким относятся перевозки по городу и области, прибыль от них минимальна, поэтому в исследовании они не принимаются во внимание. Анализ деятельности нового сотрудника (работа в фирме от 0,5 до 1 года) показывает тридцать-сорок реализованных им

заявок в месяц, а количество постоянных клиентов по всем направлениям составляет восемь-десять.

Индивидуальный подход ТК к каждому клиенту – следствие небольших размеров компании. По условиям деятельности ТК, клиентам предоставляется возможность отсрочки платежа (очень привлекательное условие, т. к. многие компании работают по предоплате).

Используя накопленный опыт (прежде всего зарубежный), проведем расчеты коэффициента эластичности и дифференцированной цены. Для исследования выбран маршрут Екатеринбург – Москва, доля которого в общем объеме перевозок и прибыли очень значительна. Для этого исследованы сезонные изменения цен и объемов по видам услуг, направлениям перевозок в конкурентной среде, что возможно при индивидуальной работе с клиентами (рис. 1).

Для перехода к конкретным расчетам проведен предварительный анализ клиентов по выделенному направлению, их потребностей, который реализован с помощью АБС-анализа, позволяющего в дальнейшем осуществить дифференцированный подход, а именно: установление цены для определенных категорий покупателей, по конкретным

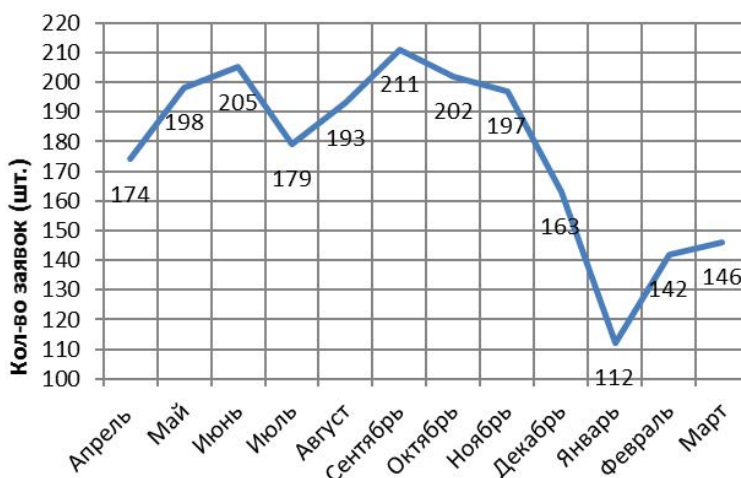


Рис. 1. Количество заявок по направлению Екатеринбург – Москва

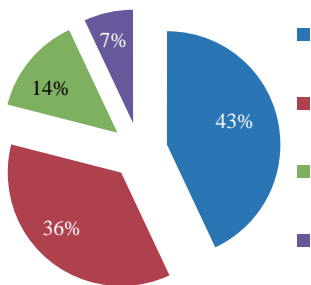


Рис. 2. Распределение клиентов по количеству перевозок

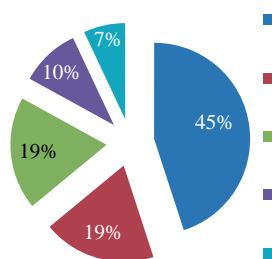


Рис. 3. Предпочтения клиентов при выборе ТК

маршрутам, расчет цены в зависимости от общего состояния рынка, сезонного колебания цен и др. При определении цены учитываются выгоды, которые предоставляет компания по сравнению с конкурентами. В некоторых случаях прогнозируется отложенный эффект в результате существующей инертности клиентов.

Проанализированы данные отчетности фирмы относительно частоты обращения в компанию за услугами, на основе чего проведена дифференциация клиентов данного направления по частоте обращения в ТК (рис. 2). Услугами исследуемой ТК несколько раз в неделю пользуется 43 % клиентов, а 36 % придерживаются сезонности.

Далее проведено анкетирование более ста респондентов – постоянных клиентов фирмы. Выявлена значительная лояльность клиентов по отношению к ТК (рис. 3): 45 % клиентов высказались за целесообразность длительных связей с ней.

По результатам опроса установлено (рис. 4), что клиенты при выборе грузоперевозчика приоритет отдают цене на транспортные услуги (41 %), качеству обслуживания (36 %) и соблюдению сроков перевозок (21 %). Результаты опроса подчеркивают значимость ценовой политики фирмы.

Клиенты стремятся поддерживать длительные связи, основанные на высоком качестве предоставляемых услуг (рис. 5). Для понимания особенностей выбора задан вопрос относительно приверженности клиентов изначально выбранной компании на основе оценки качества обслуживания (доброжелательности). Большая часть опрошенных (64 %) подчеркнула важность этого показателя оценки обслуживания при выборе компании (что следует иметь в виду при адаптации работников транспортной фирмы).

На фоне лояльности клиентов к фирме выявлены их предполагаемые шаги по условиям взаимодействия: 48 %

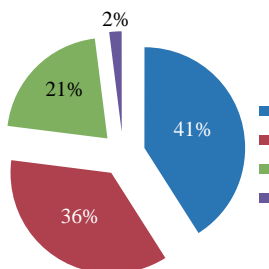


Рис. 4. Приоритеты клиентов при выборе грузоперевозчика



Рис. 5. Отношение к качеству обслуживания

выступают с инициативой снижения цены, а 21 % не обращают внимания на ее незначительное завышение (рис. 6).

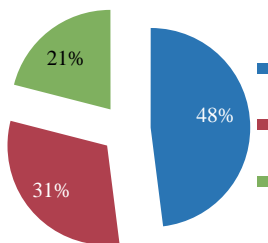


Рис. 6. «На каких условиях вы продолжите взаимодействовать с исследуемой ТК?»

Понимание состава клиентов, их требований к взаимодействию, приоритетов в расстановке интересов, предпочтений позволяет разработать стратегию гибкого реагирования при формировании цены.

Далее спрогнозированы ценовые решения для заказчиков услуг по выбранному направлению, которое обеспечивает наибольшую прибыль ТК. Используем понятие «эластичность спроса» – коэффициент, показывающий степень зависимости изменения объема спроса (предложения) от изменения цены (доходов, издержек) на 1 %. При увеличении стоимости на услуги спрос закономерно будет уменьшаться и наоборот. Для принятия эффективного управленческого решения в конкретной ситуации необходимо высчитать коэффициент и предложить такую стоимость услуг, при которой компания будет иметь максимальную прибыль.

Один из способов расчета эластичности спроса – метод дуговой эластичности, показывающий изменение объема спроса в зависимости от цены и дающий общую характеристику влияния цен на спрос. Эластичность по дуге применяется при измерении эластичности между двумя точками на кривой спроса или предложения и предполагает знание первоначальных и последующих уровней цен и объемов. Снижение цен, как правило, приводит к росту спроса на продукцию, и показатель

эластичности спроса по цене получается отрицательным (кроме случая равенства нулю). На практике для удобства знак «минус» опускают [10].

Эластичность E_p^d спроса (предложения) вычисляется как отношение процентного изменения величины спроса к процентному изменению какой-либо детерминанты:

$$E_p^d = \left(\frac{Q_2 - Q_1}{(Q_2 + Q_1) / 2} \right) : \left(\frac{P_2 - P_1}{(P_2 + P_1) / 2} \right) = \frac{\Delta Q}{\Delta P},$$

где Q_2 – новый объем; Q_1 – первоначальный объем; P_2 – новая цена; P_1 – начальная цена.

С использованием этой формулы и накопленных фактических данных приведены расчеты коэффициента эластичности для анализа эффективности снижения цен в отдельные периоды (таблица 2).

По данным таблицы 2 построим кривую зависимости спроса от цены (рис. 7) по конкретному направлению – зависимость $P(Q)$ от Q и выявим участки эластичного и неэластичного спроса.

При расчёте цены на перевозку принимается во внимание стоимость услуг у конкурентов, цена перевозчика и все в большей степени – сформированная внутренняя база данных подобных расчётов. Данные спроса сформированы из обобщения показателей деятельности транспортной фирмы за последние два года. Использование формулы дуговой эластичности дает общее представление об эластичности, и погрешность будет тем больше, чем более выпуклой будет дуга AB .

Из таблицы 2 видно, что с увеличением цены спрос снижается, что вполне закономерно, но при этом объем выручки не растет пропорционально росту цены. В определенный момент спрос падает настолько, что и выручка от продажи начинает падать, значит, ТК невыгодно продолжать повышать стоимость. Расчеты показали, что при стоимости грузоперевозки 55 000 руб. количество заявок в месяц составляет 50 шт. и при

Таблица 2

Расчёт коэффициента эластичности спроса

Цена перевозки (P) Екатеринбург – Москва, руб.	Величина спроса (Q) – количество заявок в месяц	Объём выручки, руб.	Характер эластичности спроса	E_p^d – коэффициент ценовой эла- стичности спроса
45 000	55	2 475 000		
			Неэластичен	0,3
50 000	53	2 650 000		
			Неэластичен	0,6
55 000	50	2 750 000		
			Эластичен	1,21
60 000	45	2 700 000		
			Эластичен	1,47
65 000	40	2 600 000		
			Эластичен	2,5
70 000	33	2 310 000		

этом достигается максимальный объем выручки. Это необходимо учитывать при принятии управленческих решений при формировании цены на услугу. На основании полученных результатов предложены рекомендации: в период высокого спроса поднимаем цену до 55 тыс. руб. и получаем максимальную прибыль с каждой заявки. В период низкого спроса снижаем цену, запускаем рекламную кампанию, проводим акции. При последующем росте спроса постепенно повышаем стоимость.

Сформированные рекомендации по сезонным колебаниям цен на выбранном направлении показаны на рис. 8.

Представленные предложения прошли проверку в ТК, в результате получен прогнозируемый эффект. В дальнейшем предполагается сосредоточить внимание на других крупных заказчиках.

Итак, можно сделать вывод относительно целесообразности наличия специалиста в организации, занимающегося продажами товаров или услуг. В его функции входит обоснование цены по

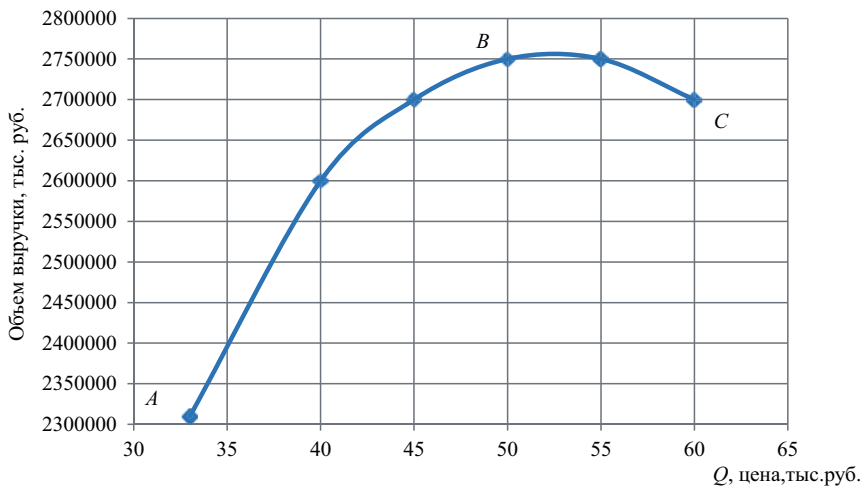


Рис. 7. Зависимость объема выручки от цены

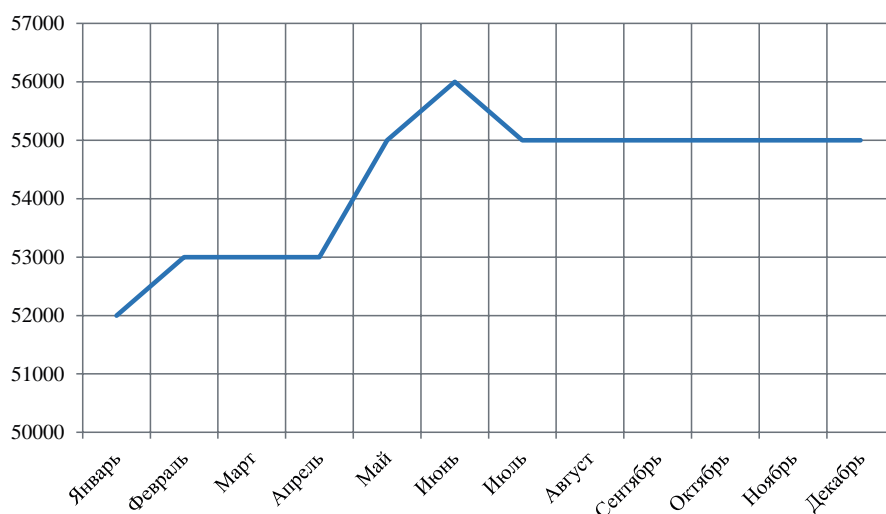


Рис. 8. Расчетные значения сезонных цен на грузоперевозки по исследуемому направлению

критерию максимизации прибыли, составление рекомендаций по ценообразованию для менеджеров, обоснование рисков потерь, участие в составлении стратегического плана развития и др. Только в таком случае компания может

рассчитывать на успешную коммерческую деятельность и лидирующие позиции на рынке. Рынку не хватает квалифицированных кадров, способных принимать эффективные управленческие решения. ■

Литература

- Макконелл К. Р., Брю С. Л. Экономика : принципы, проблемы и политика / Пер. с англ. – Т. 2. – М. : Республика. – В 2 т. – 2000. – С. 400. ISBN 5-250-01486-0 (т. 2).
- Паршина В. С. Управленческая экономика : курс лекций. – Екатеринбург : УрГУПС, 2015. – С. 132.
- Калитин Б. С. Метод вычисления ценовой эластичности спроса / Б. С. Калитин, Н. С. Кузьмич // Экономические исследования и разработки. 2016. № 4. С. 7–17. ISSN 2542-0208.
- Копытовских А. А. Оценка возможностей практического использования показателей эластичности при управлении ценами / А. А. Копытовских, А. В. Копытовских // Экономика и банки. 2016. № 1. С. 66–73. ISSN 2524-2393 (online), ISSN 2078-5410 (print).
- Лавров И. М. Методика и результаты расчетов эластичности спроса относительно качества транспортного обслуживания // Мир транспорта. 2014. № 1. С. 86–95. ISSN 1992-3252.
- Экономическое моделирование и прогнозирование спроса на грузовые перевозки в России. URL : <https://cyberleninka.ru/> (дата обращения: 11.07.2019).
- Грузооборот транспорта в России. URL: <http://tass.ru/transport/5138144> (дата обращения: 08.04.2019).
- Официальная статистика. Транспорт. URL : <http://www.gks.ru/> (дата обращения: 28.09.2019).
- Транспортные компании Свердловской области. URL : <https://2gis.ru/ekaterinburg/> (дата обращения: 14.06.2019).
- Скляр А. Я. Математическое моделирование спроса на основе принципа максимальной полезности // Modern economy success. 2017. № 5. С. 42–49. ISSN 2500-3747.

Literature

- Macconel K. R., Brue S. L. Economics: principles, problems and policy [Ekonomiks : printsipy, problemy i politika] / Transl. from Eng. – V. 2. – M.: Respublica. – In 2 v. – 2000. – P. 400. ISBN 5-250-01486-0 (v. 2).

2. Parshina V.S. Managerial economics: a course of lectures. [Upravlencheskaya ekonomika : kurs lektzij] – Yekaterinburg: USURT, 2015. – P. 132.
3. Kalitin B. S. Method of calculation of demand price elasticity / B. S. Kalitin, N. S. Kuzmich // Economic studies and elaborations. [Metod vychisleniya tsenovoj elastichnosti sprosа / B. S. Kalitin, N. S. Kuz'mich // Ekonomicheskie issledovaniya i razrabotki] 2016. № 4. P. 7–17. ISSN 2542-0208.
4. Kopytovskikh A. A. Assessment of possibilities of practical use of elasticity indicators in price management / A. A. Kopytovskikh, A. V. Kopytovskikh // Economy and banks. [Otsenka vozmozhnostej prakticheskogo ispol'zovaniya pokazatelej elastichnosti pri upravlenii tsenami / A. A. Kopytovskikh, A. V. Kopytovskikh // Ekonomika i banki] 2016. № 1. P. 66–73. ISSN 2524-2393 (online), ISSN 2078-5410 (print).
5. Lavrov I. M. Methodology and results of estimates of demand elasticity relating to transportation service quality // World of Transport. [Metodika i rezul'taty raschetov elastichnosti sprosа otnositel'no kachestva transportnogo obsluzhivaniya // Mir transporta] 2014. № 1. P. 86–95. ISSN 1992-3252.
6. Economical modeling and prediction of demand for freight transportation in Russia. [Ekonomicheskoe modelirovanie i prognozirovanie sprosа na gruzovye perevozki v Rossii] URL : <https://cyberleninka.ru/> (reference date: 11.07.2019).
7. Freight turnover in Russia. [Gruzooborot transporta v Rossii] URL: <http://tass.ru/transport/5138144> (reference date: 08.04.2019).
8. statistics. Transport. statistika. Transport.] URL : <http://www.gks.ru/> (reference date: 28.09.2019).
9. Transport companies of Sverdlovsk region. [Transportnye kompanii Sverdlovskoj oblasti.] URL : <https://2gis.ru/ekaterinburg/> (reference date: 14.06.2019).
10. Sklyar A. Ya. Mathematical modeling of demand on the basis of maximum helpfulness principle [Matematicheskoe modelirovanie sprosа na osnove printsipa maksimal'noj poleznosti] // Modern economy success. 2017. № 5. P. 42–49. ISSN 2500-3747.

Статья сдана в редакцию 11 октября 2019 года

УДК 378.14

Н. А. Друцко

Особенности реализации проектной технологии в неязыковом вузе в контексте подготовки студентов к научно-технической конференции

UDC 378.14

N. A. Drutsko

Specific features of project technology implementation in a non-linguistic University in the context of preparing students for a scientific and technical conference

Аннотация

Статья посвящена актуальной проблеме подготовки студентов железнодорожных и экономических специальностей вуза к участию в научно-технических конференциях. Научно-техническая конференция, регулярно проводимая в стенах вуза с 2014 г., — это мероприятие, призванное поддерживать и развивать естественный интерес молодых людей к своей будущей профессии с первого дня обучения в вузе. Тематика студенческих работ, представленных на конференции, наглядно свидетельствует о желании студентов расширить свои познания в профессиональной области и приобщить к опыту научного общения на иностранном языке. Студенты выступают с такими проектами, как «Российские железные дороги и окружающая среда», «Проблема обеспечения на железнодорожном транспорте», «Срав-

нительно-сопоставительный анализ транспортных систем мира», «Высокоскоростная магистраль как фактор повышения мобильности населения», «Как стать лучшим менеджером».

Конкурентоспособность современного специалиста на железнодорожном транспорте определяется не только его квалификацией в профессиональной сфере, но и уровнем владения английским языком, так как именно этот язык стал рабочим языком делового и научного мира. Российские железные дороги имеют в своем распоряжении передовые компетенции во всех ключевых сегментах железнодорожного бизнеса: логистике, управлении железными дорогами, производстве подвижного состава и оборудования, НИ-ОКР и подготовке кадров. «Карта присутствия» российских железных дорог включает свыше 40 стран.

Чтобы студент — будущий специалист — чувствовал себя уверенно в реальной жизненной ситуации, его и во время учебы нужно поставить в такие условия, чтобы с помощью иностранного языка он мог решать конкретные профессиональные задачи. Возможность интеграции будущих исследователей в международную научную среду требует развития и постоянного совершенствования навыков научно-исследовательской деятельности не только на родном, но и на иностранном языке. В центре внимания оказываются профессиональные и академические умения и навыки, инструментом развития которых может стать иностранный язык, преподаваемый в неязыковом вузе. Значит, научно-практическая конференция — это мероприятие, позволяющее приобщать студентов к реалиям языковой среды, где иностранный

The article is recommended for publishing by S. V. Balakin, Doctor of philological sciences, Professor, Ural state university of railway transport. E-mail: SBalakin@usurt.ru.

Наталья Анатольевна Друцко, ст. преподаватель; кафедра иностранных языков и межкультурных коммуникаций Уральского государственного университета путей сообщения; Екатеринбург, Россия. E-mail: drutsko@yandex.ru.

The article is recommended for publishing by S. V. Balakin, Doctor of philological sciences, Professor, Ural state university of railway transport. E-mail: SBalakin@usurt.ru.

Natalya Anatolyevna Drutsko, Senior lecturer; Foreign Languages and Intercultural Communications Chair, Ural State University of Railway Transport; Ekaterinburg, Russia. E-mail: drutsko@yandex.ru.

Публикуется в авторской редакции.

язык становился средством общения.

В качестве наиболее эффективного метода подготовки студентов к участию в конференции рассматривается такой вид самостоятельной работы студентов, как проектная деятельность. Задачи научно-практической конференции и цели проектного обучения полностью совпадают: формирование у обучающихся мотивации к саморазвитию, аналитического и критического мышления обучающихся в процессе творческой деятельности, развитие профессиональной грамотности будущего специалиста, создание условий для самореализации студентов, организация и развитие совместного творчества преподавателя и студента. В условиях сокращения аудиторных часов в железнодорожном вузе на изучение иностранного языка акцент делается на самостоятельную работу студентов, их умение изучать материал в больших объемах вне академических занятий, ставить и решать практические и исследовательские задачи. Особенно востребованы навыки отбирать и анализировать информацию, творчески применять ее на практике, выявлять проблемы и принимать управленческие решения.

В статье приводится детальная характеристика метода проектного обучения и обосновывается необходимость его применения для эффективной подготовки студентов к участию в научно-практической конференции. Инновационность данного подхода заключается в возможности сочетать успешную разработку проекта с эффективным развитием всех тех навыков, которые необходимы студенту для дальнейшей учебы в вузе.

Особое внимание уделено активной позиции преподавателя в деле подготовки проектного задания студента для представления его на конференции.

Работа конференций, организованная по профилирующим направлениям вуза, предоставляет студентам возможность принимать участие в одной из трех секций: «Развитие экономики мира», «Актуальные проблемы в области современного транспорта», «Вызовы в современной культуре». Разнообразие секций позволяет студентам как технических, так и гуманитарных специальностей соотносить научный интерес к предмету с особенностями будущей профессии. Работу секций можно рассматривать как действенную форму пропаганды профессии и школы формирования исследовательских навыков.

Ключевые слова: научно-практическая конференция, проектное обучение, самостоятельная работа студентов, конкурентоспособные специалисты.

DOI: 10.20291/2079-0392-2019-4-92-100

Annotation

The article is devoted to the actual problem of preparing students of railway and economic specialties of the University for and technical conferences. A scientific and technical conference, which has been regularly held at the University, is an event designed to support and develop the natural interest of young people to their future profession. The topics of the projects presented at the conference clearly demonstrate the desire of students to expand their knowledge in the professional sphere and gain experience in

communication in a foreign language. Students present such projects as «The Russian Railways and the Environment», «The Problem of Provision in Railway Transport», «Comparative Analysis of the World Transport Systems», «High-Speed Highway As a Factor of Increasing the Mobility of the Population», «How to become a better Manager». Choosing a certain topic for the project the student wants to make other people aware of the problems in a certain area. He also wants to approach these problems critically, come into contact with them, make judgement and present the result of his work. Students invest a lot of themselves in a project and so they will usually make every effort to do their best work.

The competitiveness of a modern railway transport specialist is determined not only by his/her in the professional sphere, but also by the level of English proficiency, since this language has become the working language of the business

Russian Railways have at their disposal advanced competencies in all key segments of the railway business: logistics, railway management, production of rolling stock and equipment, R & D and staff training. The «presence» map of Russian Railways includes more than 40 countries.

What is expected from the future specialist is to be done by the student during the learning process at the university. This involves the learner's participation in meaningful activities that require authentic language use. Authentic activities refer to activities designed to develop students' thinking and problem-solving skills,

which are important in out-of-university context. The possibility of integrating future researchers into the international environment requires the development and continuous improvement of research skills not only in their native language, but also in a foreign language. The focus is on professional and academic skills, the instrument of development of which can be a foreign language taught in a non-linguistic University. This means that the and practical conference is an event that allows students to familiarize themselves with the realities of the language environment, where a foreign language became a means of communication.

As the most effective method of preparing students to participate in the conference, such type of independent work of students as project activity is considered. The tasks of the -cal conferences and the goals of project-based teaching are similar. They are the formation of students' motivation to self-development and analytical and critical thinking

skills, the development of professional competence of future specialists and joint creativity of the teacher and the student, the creation of conditions for self-education of students. Due to reducing classroom hours in the railway university for studying a foreign language, the emphasis is on the independent work of students, their ability to study material in large volumes outside of academic classes, to set and solve practical and research tasks. Of special importance are the skills of selecting and analyzing information, identifying problems and making managerial decisions.

The article provides a detailed description of the method of project training and the need for its application for effective preparation of students to participate in the and practical conference. The innovation of this approach is the ability to combine the successful designing of the project with the effective development of all those skills that are necessary for the further student's study at the university.

Project work is a highly adaptable methodology. It

can be used at every level from absolute beginner to advanced. There is a wide range of possible project activities, and the range of possible topics is limitless.

The conferences which are organized according to the main directions of the University provide students with the opportunity to participate in one of the three sections: «Developed economies of the world», «Actual problems in the of modern transport», «Challenges in modern culture». The variety of sections allows students of both technical and humanitarian specialties to correlate interest in the subject with the characteristics of the future profession. The work of the sections can be considered as an effective form of promotion of the profession and a school of formation of research skills

Keywords: and practical conference, project training, independent work of students, competitive specialists.

DOI: 10.20291/2079-0392-2019-4-92-100

In the conditions of intensive development of direct contacts between Russian and foreign enterprises, and between various educational institutions, the requirements to the level of practical knowledge and skills of University graduates are changing. The need for specialists who are in a foreign language is due to rapidly developing international business contacts with colleagues from different countries. Modern economy needs professionally oriented, competitive specialists who independently and creatively solve problems, who are able to choose, synthesize and assimilate an ever-growing amount of information,

predict in advance and adapt to different life situations.

Hence, it is necessary to move from the content side to the effectiveness of the educational process, and here a special role is played by independent work of students, their ability to study material in large volumes outside of academic classes and to set and solve practical and research problems.

There are several types of independent extracurricular work of students, the most important of which are project activities and participation in conferences.

The project technology of training assumes involvement of the student in active creative process and at the same

time in cognitive process of receiving new and consolidation of old knowledge. The purpose of project training at the University is to create conditions under which students independently and willingly acquire the missing knowledge from different sources, and learn to use it for solving practical and cognitive tasks. [1] This approach allows us to correlate the content of training with the requirements of the market, as it is aimed at a particular person and includes work with problems of the real world, which is especially important in the context of the formation of communicative competence [2].

The main goal of any conference is to support and develop the scientific potential of students. The objectives of the scientific and practical conference are as follows:

- generating students' motivation for self-development;
- transforming analytical and critical thinking of students in the process of creative activity;
- raising the professional literacy level of the future specialist;
- creating conditions for self-realization of students;
- developing teacher – student joint creativity.

Currently, the number of hours for learning foreign languages in non-linguistic universities has been reduced. Therefore, independent work of students is very important – part of the responsibility for the organization of the educational process falls on the students.

Scientific and practical conferences (one of the most important types of independent work of students) are not only training but also educational activities, as students acquire knowledge on their own, overcoming feasible difficulties. This knowledge is absorbed more effectively than that acquired in the classroom with the teacher's assistance. Working independently, each student is directly in contact with educational and additional material, completely focusing on it and mobilizing individual reserves of intellectual, emotional and volitional character. [3]

The distinctive features of scientific and practical conferences held at the University are:

- organization of the event with the widespread use of information technologies;
- enhancement of the audience of the conference participants (students and postgraduates of foreign universities are regularly invited);
- free choice of the research topic;
- organization of participants' performances through the work of sections;
- implementation of the project learning method in training students for the conference.

The ability to embed online discussions and video bridges in the course of the conference expands the range of participants and specialists. The wide application of information technologies in the practice of student scientific and practical conferences allows not only to implement the tasks set by the organizers, but also to fulfill the requirements of the GEF, to promote the formation of the necessary competencies, providing the student with new tools for self-development and self-education [4].

The international scientific and practical conference of young scientists «Languages, science and business», held annually at the Ural State University of Railway Transport, accepts students from different countries (Indonesia, Finland, China, Germany, Gabon, etc.). In 2019 alone, 56 conference participants made 35 presentations. The peculiarity of the project competition, according to the organizers, is its high importance for young scientists, for whom the knowledge of English at the intermediate level made it possible to participate in the event. Speaking in a foreign language is of great importance for the development of a research communication culture and the opportunity to present participants' scientific achievements at the international level.

The subject of scientific and practical conferences should follow from not only the requirements of curricula and the needs of students, but also from the needs of future practical activities,

but also it should be interesting to young researchers themselves. When planning the conference, it is necessary to pay attention to the integration links of disciplines, which will allow students to create a holistic view of the world, understand the relationship of disciplines and ultimately develop a scientific worldview. Within the scope of the theme of the section, the student is free to choose a research topic. The variety of sections allows students of both technical and humanitarian specialties to correlate interest in the subject with the peculiarities of the future profession. The work of the sections can be considered as an effective form of promotion of the profession and a school of formation of research skills.

The active position of the teacher is manifested already at the stage of students' choice of the research topic. Students must take on the greater part of the responsibility for managing their learning process. The teacher assumes a new role. From an authoritative carrier of ready-made knowledge, he becomes a guide and coordinator of independent activities of the student. The focal point of the learning process moves from the teacher to the learner. A project is a piece of work on a particular topic where the content and the presentation are determined principally by the learners. The teacher acts as a facilitator in this process helping students in finding the right sources of information, being himself the source information, supporting continuous feedback and encouraging the students [5].

and practical conference is the form of research work, which involves a public presentation of students with a demonstration of the results and analysis of the work performed. The main purpose of the conference is to provide an opportunity for future professionals to implement skills and abilities of practical language proficiency in situations of foreign language communication, which is why the conference is organized according to the main specialization

trends of the University. Students of technical specialties defend their projects separately from students of the faculty of economics. The reports accompanied by presentations (in English, French and German) are devoted to the research in the professional sphere of students. Each report is followed by a discussion when participants are asked questions in a foreign language by the members of the jury and the audience present. This is how each project is discussed. Works are evaluated by an expert group (jury) according to the following criteria: scientific quality (relevance, logical structuring, of facts, examples or the level of foreign language the ability to make value judgments, the use of visual aids, the ability to convincingly answer questions, the practical of the work.

VI international and practical conference of young scientists «Languages, science and business» (May, 2019) was devoted to the current prospects for the development of transport, the economy in the transport sector, as well as to the trends and prospects for human development in the socio-cultural space.

«Languages, Business and Science» is a multi-faceted event, which involves not only people of science, from professors to students, but also representatives of business and international According to the participants, the conference is characterized by a dynamic format, a good professional level of reports and topical issues. This is an opportunity to improve language skills, a way to overcome yourself and get a new experience [6].

Public performances of the participants of this event were held within the framework of three sections.

The innovation of this approach is in the ability to combine the successful working out of the project by the student with the effective development of all the skills that are necessary for him to further study at the University. Project technology involves «a certain set of educational and

cognitive techniques that allow you to solve a particular problem as a result of independent actions of students with the mandatory presentation of these results». [7] The application of the project method contributes to the complex formation of students' academic skills and learning style. It optimizes training to the level of professional in a foreign language and prepares students for activities with the use of foreign languages. What is expected from the future specialist is to be done by the student during the learning process at the university. This involves the learner's participation in meaningful activities that require authentic language use. Authentic activities refer to activities designed to develop students' thinking and problem-solving skills, which are important in out-of-university context. The possibility of integrating future researchers into the international scientific environment requires the development and continuous improvement of research skills not only in their native but in a foreign language as well. The focus is on professional and academic skills, the instrument of development of which can be a foreign language taught in a non-linguistic university. With the help of the project method, students can be taught to identify, formulate and analyze problems, ways to solve them, work with information and the necessary source, for example, data in reference literature or the media, and apply the information to solve problems.

There are different of projects. Thus, E. S. Polat offers six main criteria by which different types of projects are distinguished [8].

1. According to the dominant method or activity (research, creative, role-playing, informational, practice-oriented (applied)).

2. According to the subject-content area (mono, interdisciplinary projects).

3. According to the nature of the contacts (domestic or regional, international).

4. According to the number of project participants (individual, pair, group).

5. According to the duration of the project (short-term, medium-term, long-term).

6. According to the results (report, album, collection, catalog, almanac, layout, scheme, plan-map, video, exhibition, etc.).

Since 2012, the Department of foreign languages and intercultural communications of the Ural State University of Railway Transport (USURT) has been implementing the technology of a multi-level approach to the organization of foreign language teaching. The aim of the project was to change the situation in the teaching of a foreign language at technical faculties, in the direction of increasing the internal motivation of students, equalization of knowledge levels among graduates of different schools, overcoming the language barrier. This approach involves the division of the of students in the study of English into subgroups according to the level of knowledge and internal motivation, the use of high-tech authentic textbooks, the creation of a motivating environment within the walls of the University.

Such differential subgroup formation allows from the day of study at the University to identify a group of the most active students for whom a foreign language is not only the subject of training but also a source of information and a means of communication.

The access to authentic textbooks is also of fundamental importance. They are meant for tackling the problem of transforming the initial students' level into the functional one. Any course that is designed to solve practical problems, such as understanding a lecture in a foreign language, participating in a conference, writing a report, assumes that students have a level not lower than Intermediate. It is this functional level of language proficiency that allows the student to become a participant of business, professional and communication. The educational material in them is successively built along the line of increasing from lower to higher – Starter, Beginner, Elementary, Pre-Intermediate,

Upper-Intermediate, Advanced. The distinctive features of such textbooks are: topics that meet the interests of young people and the realities of the modern world, the presence of sections that develop intercultural communication skills, language «portfolio», a variety of tasks for project training.

Modern authentic educational and methodical complexes of all levels are «sharpened» to develop such skills and abilities that make the language functional, that is, provide the opportunity to use it in real life. Performing different types of project tasks at regular lessons in Market Leader course or Headway course allows elementary level students to participate in the conference along with students with a «ready» functional language. Actually, every unit in an authentic textbook contains elements of project learning such as project-message or research project, project-interview, project-role game and project presentation. The University has the experience of holding «small» conferences organized for students of the Elementary level, which, however, has not become a good tradition.

The creation of a motivating environment at the University as a whole is facilitated by complex events organized by the department of international relations. Generally speaking, it is the creation of an accessible language environment through international student organizations, lectures and workshops and scientific conferences in English. During the period of its cooperation with various international organizations, USURT held several unique events, providing the university students with the opportunity to communicate with students of similar specialties, exchange experience and valuable language practice. Language courses, congresses, trainings, fairs were organized. The most active participants of all events were students whose language potential allowed them to overcome all kinds of barriers. These were the steps to introduce students to the realities of the language environment, where a

foreign language became a means of communication. [9]

The following stages of work on the research project are highlighted:

- choice of research topic;
- problem statement;
- formulation of the urgency of the problem;
- analysis of available information on the topic;
- planning and organization of work;
- registration of results of work, presentation;
- performance evaluation.

Within the framework of the chosen topic, the student formulates a research task. The relevance of the problem is checked using a questionnaire. This is a sure way to verify the appropriateness of the chosen topic. The results of the survey are presented in the report in the form of charts, graphs or simply statistics.

The next stage is devoted to the search and selection of the necessary information. The skills of skimming and scanning reading acquired at lessons of a foreign language help students to make the correct selection of the necessary material. Basing on this compilation material, students write essays on the topic, citing their own judgments.

The application of the project training method is the most effective and affordable way of developing independent activity skills and preparation for and practical conferences.

The organization of the and technical conference and the systematic implementation of the project methodology in the learning process are interrelated and interdependent. The success of such responsible event as a research conference is determined by the qualitative level of preparation of the speakers' works. On the other hand, it is always important for a young researcher to present the results of his creative activity to as large an audience as possible. In this sense, the conference is an event where students have the opportunity not only to defend their project, but also to participate in dialogue and discussion.

Turning to the project method as a means of organizing students' activities in preparation for the conference helped to eliminate many of the shortcomings inherent in it at the stages. There was a lack of experience in the design of the presentation and the material as a whole. There was a discrepancy between the defended theses and the material presented in the presentation. Consistent implementation of the project method both in the classroom, and during individual work helped to make the conference a massive event not only in the number of participants in attendance, but in the number of people involved in its preparation and conduct. By type of activity, the projects presented at the conference are certainly research, creative and informational. In most cases, they are medium-term, individual or paired projects. According to the results of activities, the projects are in the form of reports, diagrams and videos.

The stages of further improvement of the methodology of the and practical conference are:

- expansion of the number of participants by attracting students of elementary level, organization of special conferences of small forms;
- activation of the position of the teacher as the head of project activities both in the classroom and outside the educational process;
- dissemination of the experience of the scientific and practical conference as an effective form of promotion of the profession and the school of formation of research skills through various activities of the department of international relations;
- expansion of the contingent of foreign participants of the conference and, accordingly, the expansion of the theme of the working sections of the conference. ■

Литература

1. Цапко И. Г. Кейс-технология в образовательном процессе и ее влияние на формирование межкультурной языковой коммуникативной компетенции. URL: <http://festival.1september.ru/articles/626702/> (дата обращения: 05.01.2014).
2. Проектирование государственных образовательных стандартов высшего профессионального образования нового поколения : методические рекомендации для руководителей УМО вузов Российской Федерации. – М. : Исследовательский центр проблем качества подготовки специалистов, Координационный совет УМО и НМС, 2005. – С. 5–16.
3. Григорьева А. В., Москвина Ю. А. Подготовка и проведение научно-практических конференций на иностранном языке в неязыковом вузе. URL: <http://e-koncept.ru/2013/13162.htm> (дата обращения: 7.11.2019).
4. Пучков М. Ю., Ребко Э. М. Особенности организации студенческих научно-практических конференций по безопасности жизнедеятельности в педагогическом вузе. URL: <https://moluch.ru/archive/110/27097/> (дата обращения: 20.10.2019).
5. Papandreou A. An application of project approach to EFL // English Teaching Forum, 32(3) – Pp. 41–42.
6. «Languages, Business and Science» – драгоценный опыт для каждого. // Магистраль. – 2018. – Май (№ 5).
7. Полат Е. С. Новые педагогические и информационные технологии в системе образования. М. : Академия, 2005. – С. 14.
8. Полат Е. С. Метод проектов на уроках английского языка. URL: <http://news.asp> (дата обращения: 20.10.2019).
9. Студенческая мобильность. URL: <http://www.usurt.ru/international/mezhdunarodnye-proekty-i-programmy/studencheskaya-mobilnost> (дата обращения: 20.10.2019).

Literature

1. Tsapko I. G. Case-technology in educational process and its impact on forming intercultural communicative linguistic competence. [Kejs-tekhnologiya v obrazovatel'nom protsesse i ee vliyanie na formirovanie mezhkul'turnoj yazykovoj kommunikativnoj kompetentsii] URL: <http://festival.1september.ru/articles/626702/> (reference date: 05.01.2014).

2. Elaboration of state educational standards for higher professional education of a new generation: methodological recommendations for managers of educational- methodological association of the Russian Federation's higher educational establishments. [Proektirovanie gosudarstvennyh obrazovatel'nyh standartov vysshego professional'nogo obrazovaniya novogo pokoleniya : metodicheskie rekomendatsii dlya rukovoditelej UMO vuzov Rossijskoj Federatsii.] – M. : Research center of quality issues on training of specialists, Coordination council of educational and methodological association and councils, 2005. – pp. 5 – 16.
3. Grigor'eva A. V., Moskvina Yu. A. Preparation and conducting of research-to-practice conferences in a foreign language in a non-linguistic higher educational establishment. [Podgotovka i provedenie nauchno-prakticheskikh konferentsij na inostrannom yazyke v neyazykovom vuze] URL: <http://e-koncept.ru/2013/13162.htm> (reference date: 7.11.2019).
4. Puchkov M. Yu., Rebko E. M. Peculiarities of organization of student research-to-practice conferences on health and safety in a teachers-training higher educational establishment. [Osobennosti organizatsii studencheskikh nauchno-prakticheskikh konferentsij po bezopasnosti zhiznedeyatel'nosti v pedagogicheskom vuze] URL: <https://moluch.ru/archive/110/27097/> (reference date: 20.10.2019).
5. Papandreou, A. An application of project approach to EFL // English Teaching Forum, 32(3) – Pp. 41–42.
6. «Languages, Business and Science» – valuable experience for everyone. // Magistral. – 2018. – May (№ 5). – P. 10.
7. Polat E. S. New pedagogical and information technologies in the education system. [Novye pedagogicheskie i informatsionnye tekhnologii v sisteme obrazovaniya] M.: Academia, 2005. – P. 14.
8. Polat E. S. Project-based method at English learning classes. URL: news.asp (reference date: 20.10.2019).
9. Student mobility. [Studencheskaya mobil'nost'] <http://www.usurt.ru/international/mezhdunarodnye-proekty-i-programmy/studencheskaya-mobilnost> (reference date: 20.10.2019).

Статья сдана в редакцию 1 октября 2019 года

Безопасность деятельности человека

УДК628.5

К. Б. Кузнецов, А. А. Пазуха

Оценка на основе теории нечетких множеств эффективности защитных заземляющих устройств при эксплуатации контактной сети

UDC 628.5

K.B. Kuznetsov, A.A. Pazukha

Evaluation of protective earthing device efficiency in catenary working on the basis of fuzzy-set theory

Аннотация

Статья посвящена оценке эффективности разработанных защитных переносных заземляющих устройств с помощью аппарата нечетких множеств.

Предложена логико-вероятностная модель, позволяющая оценить вероятность электрической травмы при производстве работ на контактной сети по категории работ со снятием напряжения и заземлением при применении системы контроля функциональных свойств заземляющих штанг контактной сети.

Выполнен расчет вероятности электрического травмирования электротехнического персонала при работах на контактной сети со снятием напряжения и заземлением без применения и с применением системы контроля функциональных свойств защитных заземляющих устройств с помощью теории нечетких множеств по представленной логико-вероятностной модели.

Дана оценка эффективности внедрения разработанной системы автоматического контроля за процессом применения переносных защитных заземляющих штанг контактной сети. Определен уровень повышения электробезопасности электротехнического персонала района контактной сети электрифицированных железных дорог.

Ключевые слова: логико-вероятностная модель, контактная сеть, переносное заземляющее устройство, нечеткое множество, нечеткое число, электрическая травма, индивидуальный риск, электробезопасность.

DOI: 10.20291/2079-0392-2019-4-101-111

Abstract

The article is devoted to evaluation of protective portable earthing devices with the help of fuzzy-set apparatus.

There was proposed a logical and probabilistic model which makes it possible to evaluate probability of an electrical injury while working on the catenary system connected with removal of voltage and earthing under application of control over functional properties of catenary earthing sticks.

There was made the estimation of probability of electrical injury of the electric staff while working on the catenary system with removal of voltage and earthing without and with application of the control system over functional features of protective earthing devices with the help of the fuzzy-set theory in accordance with the given logical and probabilistic model.

of introducing the elaborated automatic control system over the process of application of catenary portable protective earthing sticks is evaluated. The increase level of electrical safety for electric staff of the catenary

Key words: logical and probabilistic model, catenary system, portable earthing device, fuzzy-set theory, fuzzy number, electrical injury, individual risk, electrical safety.

DOI: 10.20291/2079-0392-2019-4-101-111

Статья рекомендована к публикации А.А. Ковалевым, канд. техн. наук, доцентом; Уральский государственный университет путей сообщения. E-mail: AKovalev@usurt.ru.

Константин Борисович Кузнецов, д-р техн. наук, профессор; кафедра «Техносферная безопасность» Уральского государственного университета путей сообщения; Екатеринбург, Россия. E-mail: kkuznetsov@usurt.ru.

Александр Александрович Пазуха, аспирант, Уральский государственный университет путей сообщения; Екатеринбург, Россия. E-mail: aapazukha@gmail.com.

The article is recommended for publishing by A.A. Kovalev, Cand. of tech. science, Associate Professor, Ural state university of railway transport. E-mail: AKovalev@usurt.ru.

Konstantin Borisovich Kuznetsov, Doctor of tech. science, Professor; «Technosphere safety» Chair, Ural state university of railway transport; Yekaterinburg, Russia. E-mail: kkuznetsov@usurt.ru.

Alexander Alexandrovich Pazukha, Post Graduate, Ural state university of railway transport; Yekaterinburg, Russia. E-mail: aapazukha@gmail.com.

Наибольшее количество электро-травм на контактной сети (КС) происходит при работе со снятием напряжения и заземлением (таблица 1). Основные причины травматизма на КС приведены в таблице 2 [1, 2].

Для повышения уровня электробезопасности работников и снижения вероятности электротравмы лучше всего использовать контролирующие устройства на переносных заземляющих штангах (на штангах для переноса и выравнивания потенциала при работе под напряжением с применением съемной изолирующей вышки) [3–5].

Рассмотрим ветви I, II, III структурной схемы логико-вероятностной модели

возникновения электрической травмы при эксплуатации КС [5] (рис. 1).

Здесь независимые последовательности событий выступают как самостоятельные логико-вероятностные модели, отражающие основные события, ведущие к электротравме (таблица 3). Логико-вероятностная модель включает в себя девять элементов X_i , соответствующих событиям, вероятности которых приведены в таблице 4.

Основная причина электротравмы – неприменение переносных заземляющих устройств либо ошибочные действия персонала при их эксплуатации, что и подтверждает разработанная модель.

Таблица 1

Распределение электротравм по категориям работ на контактной сети,
01.2012–08.2019 гг.

Категория работ	2012	2013	2014	2015	2016	2017	2018	2019	Всего
Со снятием напряжения и заземлением	5	5	2	2	3	4	2	1	24
Под напряжением	1					1	1	1	4
Вблизи частей, находящихся под напряжением								2	2
Вдали частей, находящихся под напряжением					1				1

Таблица 2

Анализ распределения основных причин электротравматизма на КС,
01.2012–08.2019 гг.

Причины электрического травмирования	Проявление, %
Недостаточное количество переносных устройств заземления	14
Нарушение порядка завешивания и снятия переносных устройств заземления	6
Нарушение технологии работ	4
Работа без оформления наряда-допуска, приказа энергодиспетчера	2
Неприменение электрозащитных средств и средства индивидуальной защиты	17
Расширение места работы	9
Нарушение в применении электрозащитных средств	7
Недостаточный состав бригады	7
Отсутствие контроля со стороны производителя работ	19
Неиспользование шунтирующих штанг	3
Непроведение целевого инструктажа	1
Недостаточное количество отключений	9
Работа с автомотрисами под напряжением	1
Неснятие шунтирующей штанги с лейтера	1

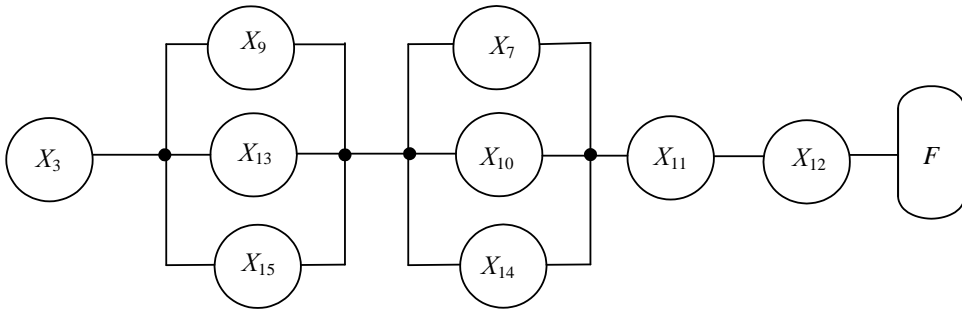


Рис. 1. Структурная схема логико-вероятностной модели возникновения электрической травмы при эксплуатации КС по категории работ со снятием напряжения и заземлением без применения контролирующего устройства

Таблица 3

Элементы логико-вероятностной модели возникновения электротравмы

Событие	Содержание
X_3	Выполнение работ со снятием напряжения и заземлением
X_7	Недостаточное количество отключений
X_9	Неприменение переносных устройств заземления
X_{10}	Ошибочная подача напряжения
X_{11}	Неприменение электрозащитных средств и средства индивидуальной защиты
X_{12}	Прикосновение к токоведущим частям
X_{13}	Недостаточное количество переносных устройств заземления
X_{14}	Наведенное напряжение при работе на контактной сети переменного тока
X_{15}	Нарушение порядка завешивания и снятия переносных устройств заземления
F	Электрическое травмирование работника

Таблица 4

Вероятность события, ведущего к электрической травме

Элемент	Нечеткая вероятность \tilde{p}_i
X_3	$(0,9 \cdot 10^{-1}; 1,4 \cdot 10^{-1}; 1,8 \cdot 10^{-1})$
X_7	$(7,9 \cdot 10^{-2}; 8,7 \cdot 10^{-2}; 9,5 \cdot 10^{-2})$
X_9	$(7,9 \cdot 10^{-2}; 8,7 \cdot 10^{-2}; 9,5 \cdot 10^{-2})$
X_{10}	$(3,9 \cdot 10^{-2}; 4,3 \cdot 10^{-2}; 4,8 \cdot 10^{-2})$
X_{11}	$(9,2 \cdot 10^{-2}; 1,3 \cdot 10^{-1}; 1,7 \cdot 10^{-1})$
X_{12}	$(7,9 \cdot 10^{-2}; 8,7 \cdot 10^{-2}; 9,5 \cdot 10^{-2})$
X_{13}	$(2,1 \cdot 10^{-1}; 2,6 \cdot 10^{-1}; 3,1 \cdot 10^{-1})$
X_{14}	$(1,8 \cdot 10^{-1}; 2,2 \cdot 10^{-1}; 2,6 \cdot 10^{-1})$
X_{15}	$(2,9 \cdot 10^{-1}; 3,0 \cdot 10^{-1}; 3,2 \cdot 10^{-1})$

Элементы схемы соединяются последовательно (логический знак «И»), определяются по теореме умножения вероятностей независимых событий:

$$P\left(\prod_{i=1}^n S_i\right) = \prod_{i=1}^n P(S_i). \quad (1)$$

Для определения общей вероятности группы событий, расположенных в схеме параллельно (логический знак «ИЛИ»), используется теорема сложения вероятностей несовместных событий [5]:

$$\begin{aligned} P\left(\sum_{i=1}^n S_i\right) &= \sum_i P(S_i) - \\ &- \sum_{i,j} P(S_i, S_j) + \sum_{i,j,k} P(S_i, S_j, S_k) + \\ &+ \dots (-1)^{n-1} P(S_1, S_2, \dots, S_n). \end{aligned} \quad (2)$$

При этом каждая пара элементов схемы, соединенных параллельно и имеющих вероятности p_i и p_j , заменяется одним элементом с вероятностью $1 - (1 - p_i)(1 - p_j)$.

Последовательное применение правил редукции (уменьшение числа элементов) позволяет определить вероятность возникновения конечного события [5].

Логико-вероятностный метод моделирования нежелательных событий имеет существенный недостаток, обусловленный трудностями определения конкретных вероятностей тех или иных событий, особенно событий, связанных с ошибочными действиями человека или сознательными нарушениями требований безопасности. Эту проблему можно решить, например, с помощью аппарата теории нечетких множеств, заполняющего пробел в области структурированной неопределенности там, где нельзя корректно применить статистику и вероятности [6–13].

Обобщение классического понятия «множество» для более корректного и полного использования описаний тех или иных процессов привело к понятию «нечеткое множество»:

$$\tilde{A} = \{(\mu_A(x), x)\} \quad (3)$$

или

$$\tilde{A} = \bigcup_{x \in X} \mu_A(x)^{x/x}, \quad (4)$$

где X – универсальное множество; $\mu_A: X \rightarrow [0, 1]$ – функция принадлежности, которая ставит в соответствие каждому множеству число $\mu_A(x) \in [0, 1]$, характеризующее степень его принадлежности множеству \tilde{A} . В множество \tilde{A} не включаются элементы, для которых $\mu_A(x) = 0$.

Таким образом, нечеткое множество – это математическая структура, позволяющая оперировать с относительно неполно определенными элементами.

Множество

$$\text{Supp } \tilde{A} = \{x \in X \mid \mu_A(x) > 0\} \quad (5)$$

называется носителем нечеткого множества \tilde{A} , а множество

$$A_\alpha = \{x \in X \mid \mu_A(x) \geq \alpha\}, \alpha \in [0, 1], \quad (6)$$

называется множеством α уровня нечеткого множества \tilde{A} .

Построение математических моделей возникновения нежелательных событий характеризуется отсутствием статистических данных о неопределенных параметрах ситуации, наличием двух видов неопределенности (стохастичность, обусловленная природой процесса возникновения нежелательного события, и нечеткость, обусловленная качественными описаниями компонентов модели), необходимостью оперировать со стохастической неопределенностью как при четком (частотная, субъективная вероятность), так и при нечетком описании вероятностных характеристик.

Таким образом, из-за существенных неопределенностей при моделировании нежелательных событий необходимы дополнительная информация (например, от экспертов) и средства представления и использования этой информации для выбора альтернативы на отдельных этапах построения модели.

Вероятности элементов структурной логической модели возможности неблагоприятного воздействия электрического поля промышленной частоты с учетом нечеткости и неопределенности имеющихся данных устанавливаются как нечеткие числа \tilde{p} с треугольным представлением функции принадлежности $\mu_{\tilde{p}}: [0,1] \rightarrow [0,1]$.

При построении математических моделей с использованием нечетких чисел для упрощения выполнения арифметических операций целесообразно строить треугольную функцию принадлежности. Функция принадлежности нечеткого числа \tilde{P} , имеющая треугольное представление, задается формулой:

$$\mu_{\tilde{P}}(p) = \begin{cases} 0 & \text{при } p < P' \\ \frac{p - P'}{\beta(p)} & \text{при } P' \leq p \leq P \\ \frac{P'' - p}{\beta(p)} & \text{при } P \leq p \leq P'' \\ 0 & \text{при } p > P'' \end{cases}, \quad (7)$$

а унимодальное нечеткое число \tilde{P} определяется тройкой P', P, P'' (рис. 2), где P – среднее значение (мода) нечеткого числа \tilde{P} ; P' и P'' – нижняя и верхняя границы его функции принадлежности [6].

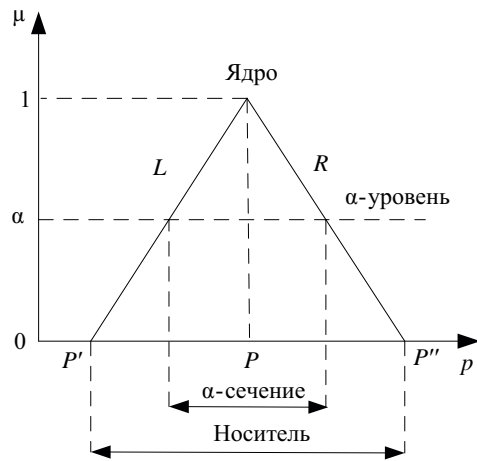


Рис. 2. Нечеткое число \tilde{P} с треугольным заданием функции принадлежности

Задача построения функции принадлежности сводится к определению P' и P'' ; P' и P'' можно рассчитать по формулам:

$$P' = P - \beta(p), \quad (8)$$

$$P'' = P + \beta(p), \quad (9)$$

где $\beta(p)$ определяется в зависимости от разряда младшей значащей цифры числа P [6] (таблица 5).

Арифметические действия нечетких чисел (A', A, A'') и (B', B, B'') выполняются по правилам [13]:

Таблица 5

Значения $\beta(p)$ в зависимости от p

№	p	$\beta(p)$
1	1, 2, 3, 4, 6, 7, 8, 9	$0,46p$
2	10, 20, 30, 40, 60, 70, 80, 90	$(0,357 - 0,00163p)p$
3	35, 45, 55, 65, 75, 85, 95	$(0,213 - 0,00067p)p$
4	5	2,8
5	15	6,45
6	25	6,75
7	50	24
8	Прочие двузначные числа	$\frac{1}{2} \left(\beta \left(\left[\frac{p}{10} \right] 10 + 5 \right) + \beta \left(p - \left[\frac{p}{10} \right] 10 \right) \right)$

[...] – целая часть [12].

сложения

$$\begin{aligned} C &= A + B, C' = A' + B', \\ C'' &= A'' + B''; \end{aligned} \quad (10)$$

вычитания

$$\begin{aligned} C &= A - B, C' = A' - B', \\ C'' &= A'' - B''; \end{aligned} \quad (11)$$

умножения

$$\begin{aligned} C &= A \cdot B, C' = AB' + A'B - AB, \\ C'' &= AB'' + A''B - AB; \end{aligned} \quad (12)$$

деления

$$\begin{aligned} C &= \frac{A}{B}, C' = \frac{AB'' - A'B}{B^2}, \\ C'' &= \frac{A''B - AB'}{B^2}. \end{aligned} \quad (13)$$

Вероятность элемента X_3 может быть найдена при помощи анализа длительности выполнения по категории работ со снятием напряжения и заземлением по формуле:

$$\tilde{p}_3 = \frac{t_{\text{КС}}}{t_{\text{общ}}}, \quad (14)$$

где $t_{\text{КС}}$ – время выполнения работ на КС по категории работ со снятием напряжения и заземлением в течение года, ч; $t_{\text{общ}}$ – среднегодовой баланс рабочего времени для работников района контактной сети, ч.

Определим значение вероятности \tilde{p}_3 :

$$\tilde{p}_3 = \frac{282,5}{1976} = 0,14.$$

В соответствии с логико-вероятностной моделью (см. рис. 1), вероятность получения электротравмы рассчитывается по формуле:

$$\begin{aligned} \tilde{P}_1(F) &= \tilde{p}_3 \times \\ &\times [1 - (1 - \tilde{p}_9) \cdot (1 - \tilde{p}_{13}) \cdot (1 - \tilde{p}_{15})] \times \\ &\times [1 - (1 - \tilde{p}_7) \cdot (1 - \tilde{p}_{10}) \cdot (1 - \tilde{p}_{14})] \times \\ &\times \tilde{p}_{11} \cdot \tilde{p}_{12}, \end{aligned} \quad (15)$$

где $\tilde{P}_1(F)$ – вероятность возникновения электротравмы;

$\tilde{p}_3, \tilde{p}_7, \tilde{p}_9, \tilde{p}_{10}, \tilde{p}_{11}, \tilde{p}_{12}, \tilde{p}_{13}, \tilde{p}_{14}, \tilde{p}_{15}$ – нечеткие вероятности событий.

Определим значение вероятности получения электротравмы:

$$\begin{aligned} 1 - \tilde{p}_9 &= (0,969; 1; 1) - \\ &-(7,9 \cdot 10^{-2}; 8,7 \cdot 10^{-2}; 9,5 \cdot 10^{-2}) = \\ &= (8,7 \cdot 10^{-1}; 9,1 \cdot 10^{-1}; 9,2 \cdot 10^{-1}), \end{aligned}$$

$$\begin{aligned} 1 - \tilde{p}_{13} &= (0,969; 1; 1) - \\ &-(2,1 \cdot 10^{-1}; 2,6 \cdot 10^{-1}; 3,1 \cdot 10^{-1}) = \\ &= (6,59 \cdot 10^{-1}; 7,4 \cdot 10^{-1}; 7,9 \cdot 10^{-1}), \end{aligned}$$

$$\begin{aligned} 1 - \tilde{p}_{15} &= (0,969; 1; 1) - \\ &-(2,9 \cdot 10^{-1}; 3,0 \cdot 10^{-1}; 3,2 \cdot 10^{-1}) = \\ &= (6,5 \cdot 10^{-1}; 7,0 \cdot 10^{-1}; 7,1 \cdot 10^{-1}), \end{aligned}$$

$$\begin{aligned} 1 - \tilde{p}_7 &= (0,969; 1; 1) - \\ &-(7,9 \cdot 10^{-2}; 8,7 \cdot 10^{-2}; 9,5 \cdot 10^{-2}) = \\ &= (8,7 \cdot 10^{-1}; 9,1 \cdot 10^{-1}; 9,2 \cdot 10^{-1}), \end{aligned}$$

$$\begin{aligned} 1 - \tilde{p}_{10} &= (0,969; 1; 1) - \\ &-(3,9 \cdot 10^{-2}; 4,3 \cdot 10^{-2}; 4,8 \cdot 10^{-2}) = \\ &= (9,2 \cdot 10^{-1}; 9,6 \cdot 10^{-1}; 9,6 \cdot 10^{-1}), \end{aligned}$$

$$\begin{aligned} 1 - \tilde{p}_{14} &= (0,969; 1; 1) - \\ &-(1,8 \cdot 10^{-1}; 2,2 \cdot 10^{-1}; 2,6 \cdot 10^{-1}) = \\ &= (7,1 \cdot 10^{-1}; 7,8 \cdot 10^{-1}; 8,2 \cdot 10^{-1}), \end{aligned}$$

$$\begin{aligned} (1 - \tilde{p}_9) \cdot (1 - \tilde{p}_{13}) &= \\ &= (8,7 \cdot 10^{-1}; 9,1 \cdot 10^{-1}; 9,2 \cdot 10^{-1}) \times \\ &\times (6,59 \cdot 10^{-1}; 7,4 \cdot 10^{-1}; 7,9 \cdot 10^{-1}) = \\ &= (5,7 \cdot 10^{-1}; 6,7 \cdot 10^{-1}; 7,2 \cdot 10^{-1}), \end{aligned}$$

$$\begin{aligned} (1 - \tilde{p}_9) \cdot (1 - \tilde{p}_{13}) \cdot (1 - \tilde{p}_{15}) &= \\ &= (5,7 \cdot 10^{-1}; 6,7 \cdot 10^{-1}; 7,2 \cdot 10^{-1}) \times \\ &\times (6,59 \cdot 10^{-1}; 7,4 \cdot 10^{-1}; 7,9 \cdot 10^{-1}) = \\ &= (3,7 \cdot 10^{-1}; 4,7 \cdot 10^{-1}; 5,2 \cdot 10^{-1}), \end{aligned}$$

$$\begin{aligned}
& 1 - (1 - \tilde{p}_9) \cdot (1 - \tilde{p}_{13}) \cdot (1 - \tilde{p}_{15}) = \\
& = (0,969; 1; 1) - \\
& - (3,7 \cdot 10^{-1}; 4,7 \cdot 10^{-1}; 5,2 \cdot 10^{-1}) = \\
& = (4,5 \cdot 10^{-1}; 5,3 \cdot 10^{-1}; 6,4 \cdot 10^{-1}),
\end{aligned}$$

$$\begin{aligned}
& (1 - \tilde{p}_7) \cdot (1 - \tilde{p}_{10}) = \\
& = (8,7 \cdot 10^{-1}; 9,1 \cdot 10^{-1}; 9,2 \cdot 10^{-1}) \times \\
& \times (9,2 \cdot 10^{-1}; 9,6 \cdot 10^{-1}; 9,6 \cdot 10^{-1}) = \\
& = (8,0 \cdot 10^{-1}; 8,7 \cdot 10^{-1}; 8,8 \cdot 10^{-1}),
\end{aligned}$$

$$\begin{aligned}
& (1 - \tilde{p}_7) \cdot (1 - \tilde{p}_{10}) \cdot (1 - \tilde{p}_{14}) = \\
& = (8,0 \cdot 10^{-1}; 8,7 \cdot 10^{-1}; 8,8 \cdot 10^{-1}) \times \\
& \times (7,1 \cdot 10^{-1}; 7,8 \cdot 10^{-1}; 8,2 \cdot 10^{-1}) = \\
& = (5,6 \cdot 10^{-1}; 6,8 \cdot 10^{-1}; 7,2 \cdot 10^{-1}),
\end{aligned}$$

$$\begin{aligned}
& 1 - (1 - \tilde{p}_7) \cdot (1 - \tilde{p}_{10}) \cdot (1 - \tilde{p}_{14}) = \\
& - (0,969; 1; 1) - \\
& - (5,6 \cdot 10^{-1}; 6,8 \cdot 10^{-1}; 7,2 \cdot 10^{-1}) = \\
& = (2,5 \cdot 10^{-1}; 3,2 \cdot 10^{-1}; 4,4 \cdot 10^{-1}),
\end{aligned}$$

$$\begin{aligned}
& \tilde{p}_3 \cdot [1 - (1 - \tilde{p}_9) \cdot (1 - \tilde{p}_{13}) \cdot (1 - \tilde{p}_{15})] = \\
& = (0,9 \cdot 10^{-1}; 1,4 \cdot 10^{-1}; 1,8 \cdot 10^{-1}) \times \\
& \times (4,5 \cdot 10^{-1}; 5,3 \cdot 10^{-1}; 6,4 \cdot 10^{-1}) = \\
& = (3,7 \cdot 10^{-2}; 7,4 \cdot 10^{-2}; 1,1 \cdot 10^{-1}),
\end{aligned}$$

$$\begin{aligned}
& \tilde{p}_3 \cdot [1 - (1 - \tilde{p}_9) \cdot (1 - \tilde{p}_{13}) \cdot (1 - \tilde{p}_{15})] \times \\
& \times [1 - (1 - \tilde{p}_7) \cdot (1 - \tilde{p}_{10}) \cdot (1 - \tilde{p}_{14})] = \\
& = (3,7 \cdot 10^{-2}; 7,4 \cdot 10^{-2}; 1,1 \cdot 10^{-1}) \times \\
& \times (2,5 \cdot 10^{-1}; 3,2 \cdot 10^{-1}; 4,4 \cdot 10^{-1}) = \\
& = (6,4 \cdot 10^{-3}; 2,4 \cdot 10^{-2}; 4,4 \cdot 10^{-2}),
\end{aligned}$$

$$\begin{aligned}
& \tilde{p}_3 \cdot [1 - (1 - \tilde{p}_9) \cdot (1 - \tilde{p}_{13}) \cdot (1 - \tilde{p}_{15})] \times \\
& \times [1 - (1 - \tilde{p}_7) \cdot (1 - \tilde{p}_{10}) \cdot (1 - \tilde{p}_{14})] \cdot \tilde{p}_{11} = \\
& = (6,4 \cdot 10^{-3}; 2,4 \cdot 10^{-2}; 4,4 \cdot 10^{-2}) \times \\
& \times (9,0 \cdot 10^{-2}; 1,3 \cdot 10^{-1}; 1,7 \cdot 10^{-1}) = \\
& = (5,7 \cdot 10^{-4}; 3,1 \cdot 10^{-3}; 6,6 \cdot 10^{-3}),
\end{aligned}$$

$$\begin{aligned}
& \tilde{p}_3 \cdot [1 - (1 - \tilde{p}_9) \cdot (1 - \tilde{p}_{13}) \cdot (1 - \tilde{p}_{15})] \times \\
& \times [1 - (1 - \tilde{p}_7) \cdot (1 - \tilde{p}_{10}) \cdot (1 - \tilde{p}_{14})] \cdot \tilde{p}_{11} \cdot \tilde{p}_{12} = \\
& = (5,7 \cdot 10^{-4}; 3,1 \cdot 10^{-3}; 6,6 \cdot 10^{-3}) \times \\
& \times (7,9 \cdot 10^{-2}; 8,7 \cdot 10^{-2}; 9,5 \cdot 10^{-1}) = \\
& = (0,3 \cdot 10^{-4}; 2,7 \cdot 10^{-4}; 6,0 \cdot 10^{-4}),
\end{aligned}$$

$$\tilde{P}_1(F) = (0,3 \cdot 10^{-4}; 2,7 \cdot 10^{-4}; 6,0 \cdot 10^{-4}).$$

Вероятность возникновения электротравмы F представляет собой нечеткое число: $0,3 \cdot 10^{-4}; 2,7 \cdot 10^{-4}; 6,0 \cdot 10^{-4}$.

Значения функции принадлежности в точках из интервала $0,3 \cdot 10^{-4}; 6,0 \cdot 10^{-4}$ и ее график (рис. 3) позволяют утверждать, что вероятность возникновения получения электротравмы по категории работ со снятием напряжения и заземлением равна $\approx 2,7 \cdot 10^{-4}$.

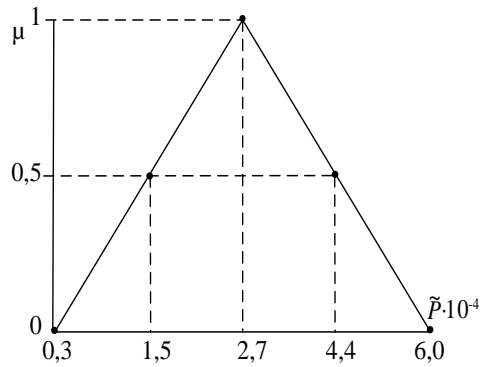


Рис. 3. Функция принадлежности $\tilde{P}_1(F)$

Разработанная логико-вероятностная модель (см. рис. 1) соответствует реальным условиям, что проверено с использованием статистики травматизма. Например, с 2012-го по 2018-й гг. среднее значение вероятности электротравмы по категории работ со снятием напряжения и заземлением в расчете на одного человека составляла $1,9 \cdot 10^{-4}$. Это значение близко к вероятности, рассчитанной по формуле (15) логико-вероятностной модели.

Риск смертельного природного воздействия на человека – $1 \cdot 10^{-6}$ – во всем

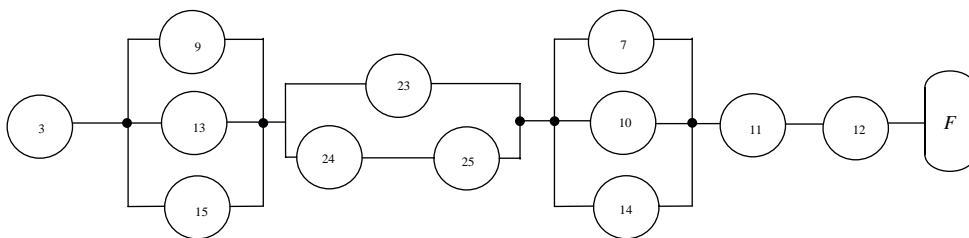


Рис. 4. Структурная схема логико-вероятностной модели возникновения электрической травмы при эксплуатации КС по категории работ со снятием напряжения и заземлением с применением контролирующего устройства

мире принимается в качестве предельно допустимого [1, 14].

Вероятность летального исхода при работе с электроустановкой в СССР составляла $6 \cdot 10^{-6}$ чел./год, в США – $5,1 \cdot 10^{-6}$ [14]. Среднее значение индивидуального риска гибели работников энергетического комплекса ОАО «РЖД» в настоящее время составляет $146 \cdot 10^{-6}$, что очередной раз говорит о низком уровне электробезопасности [2].

Для повышения уровня электробезопасности рассмотрим применение контролирующего устройства [3] при производстве работ на КС по категории работ со снятием напряжения и заземлением (рис. 4).

Элементы X_{23} , X_{24} , X_{25} добавлены после установки заземляющих штанг, так как контролирующее устройство фиксирует и информирует об их применении. Логико-вероятностная модель включает в себя 12 элементов X_i (таблицы 3, 6), соответствующих событиям, вероятности которых приведены в таблицах 4, 7.

В соответствии с логико-вероятностной моделью (рис. 4), вероятность получения электротравмы по категории работ со снятием напряжения и заземлением с применением контролирующего устройства [3] рассчитывается по формуле:

Таблица 6

Элементы логико-вероятностной модели возникновения электротравмы при снятии напряжения и заземлении

Событие	Содержание
X_{23}	Нет или неисправно контролирующее устройство
X_{24}	Не распознан сигнал о состоянии заземляющей штанги
X_{25}	Производитель работ не оснащен пультом контролирующего устройства

Таблица 7

Вероятности событий, ведущих к появлению электрической травмы при снятии напряжения и заземлении

Элемент	Нечеткая вероятность \tilde{p}_i
X_{23}	$(6,110^{-2}; 6,8 \cdot 10^{-2}; 7,5 \cdot 10^{-2})$
X_{24}	$(8,0 \cdot 10^{-2}; 8,8 \cdot 10^{-2}; 9,6 \cdot 10^{-2})$
X_{25}	$(8,8 \cdot 10^{-2}; 9,7 \cdot 10^{-2}; 10,6 \cdot 10^{-2})$

$$\begin{aligned} \tilde{P}_2(F) = & \tilde{p}_3 \times \\ & \times [1 - (1 - \tilde{p}_9) \cdot (1 - \tilde{p}_{13}) \cdot (1 - \tilde{p}_{15})] \times \\ & \times \{1 - (1 - \tilde{p}_{23}) \cdot (1 - \tilde{p}_{24} \cdot \tilde{p}_{25})\} \times \\ & \times [1 - (1 - \tilde{p}_7) \cdot (1 - \tilde{p}_{10}) \cdot (1 - \tilde{p}_{14})] \times \\ & \times \tilde{p}_{11} \cdot \tilde{p}_{12}, \end{aligned} \quad (16)$$

где $\tilde{P}_2(F)$ – вероятность возникновения электротравмы при эксплуатации контактной сети по категории работ со снятием напряжения и заземлением при использовании системы контроля [3]; $\tilde{p}_3, \tilde{p}_7, \tilde{p}_9, \tilde{p}_{10}, \tilde{p}_{11}, \tilde{p}_{12}, \tilde{p}_{13}, \tilde{p}_{14}, \tilde{p}_{15}, \tilde{p}_{23}, \tilde{p}_{24}, \tilde{p}_{25}$ – нечеткие вероятности событий.

Определим значение вероятности получения электротравмы по категории работ со снятием напряжения и заземлением при использовании системы контроля. Расчет такой же, как и без использования системы контроля применения заземляющих штанг контактной сети:

$$\tilde{P}_2(F) = (0,9 \cdot 10^{-5}; 2,0 \cdot 10^{-5}; 6,4 \cdot 10^{-5}).$$

Вероятность возникновения электротравмы F представляет собой нечеткое число: $0,9 \cdot 10^{-5}; 2,0 \cdot 10^{-5}; 6,4 \cdot 10^{-5}$.

Значения функции принадлежности в точках из интервала $0,9 \cdot 10^{-5}; 6,4 \cdot 10^{-5}$ и ее график (рис. 5) позволяют утверждать, что вероятность возникновения получения электротравмы по категории работ со снятием напряжения и заземлением равна $\approx 2,0 \cdot 10^{-5}$.

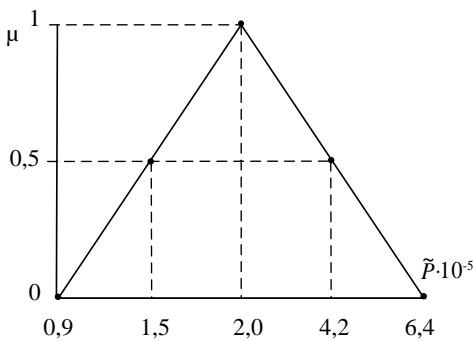


Рис. 5. Функция принадлежности вероятности $\tilde{P}_2(F)$

Повышение уровня электробезопасности после внедрения [3] оценивается измерением вероятности возникновения электрической травмы по категории работ со снятием напряжения и заземлением:

$$\tilde{K}_{\text{пуэ}} = \frac{\tilde{P}_1(F)}{\tilde{P}_2(F)}, \quad (17)$$

где $\tilde{K}_{\text{пуэ}}$ – кратность нечетких вероятностей, характеризующая повышение уровня электробезопасности; $\tilde{P}_1(F), \tilde{P}_2(F)$ – нечеткие вероятности возникновения электротравмы при эксплуатации КС по категории работ со снятием напряжения и заземлением без использования и при использовании [3].

Рассчитаем кратность нечеткой вероятности, которая характеризует повышение уровня электробезопасности:

$$\tilde{K}_{\text{пуэ}} = (3; 13; 24).$$

Моделирование показало, что уровень электробезопасности элетротехнического персонала по категории работ со снятием напряжения и заземлением повысится не менее чем в 13 раз.

Проведенный расчет вероятности возникновения электротравмы при эксплуатации КС по категории работ со снятием напряжения и заземлением без использования контролирующего устройства [3] с помощью теории нечетких множеств по разработанной логико-вероятностной модели доказывает высокий индивидуальный риск гибели работников ($2,7 \cdot 10^{-4}$ чел./год). Применение контролирующего устройства [3] при эксплуатации КС по категории работ со снятием напряжения и заземлением снижает индивидуальный риск гибели работников в 13 раз (до $2,0 \cdot 10^{-5}$ чел./год), существенно повышая уровень электробезопасности персонала. ■

Литература

1. Кузнецов К. Б., Пазуха А. А. Обеспечение функциональной надежности заземляющих штанг и шунтирующих перемычек контактной сети // Вестник УрГУПС. № 3 (39). 2018. С. 98–105. ISSN 2079-0392.
2. Кузнецов К. Б. Оценка и анализ риска электротравматизма на энергетическом комплексе ОАО «РЖД» / К. Б. Кузнецов, А. А. Пазуха // Безопасность жизнедеятельности глазами молодежи : сборник материалов V Всероссийской студенческой конференции (с международным участием) : в 2 т. / под ред. А. И. Сидорова. – Челябинск : Издательский центр ЮУрГУ, 2019. – Т. 1. С 125–131. ISBN 978-5-696-05024-9.
3. Пат. 2672041 Российская Федерация, МПК G01R19/155 Переносная заземляющая штанга / К. Б. Кузнецов, А. А. Пазуха ; заявитель и патентообладатель ФГБОУ ВО «УрГУПС». – № 2017138888; заявл. 08.11.2017; опубл. 08.11.2018; Бюлл. № 31. – 10 с.
4. Заявка 2019107627 РФ, МПК B60M1/28. Переносное заземляющее устройство / К. Б. Кузнецов, А. А. Пазуха ; заявитель : УрГУПС ; заявл. 18.03.2019.
5. Кузнецов К. Б. Логико-вероятностная модель возникновения электротравмы при эксплуатации контактной сети / К. Б. Кузнецов, А. А. Пазуха // Экологическая, промышленная и энергетическая безопасность-2019 : сборник статей по материалам Международной научно-практической конференции «Экологическая, промышленная и энергетическая безопасность-2019» (23–26 сентября 2019 г.) / под ред. Л. И. Лукиной, Н. В. Ляминой. – Севастополь : СевГУ, 2019. – С. 892–896. ISBN 978-5-6041740-3-6.
6. Сидоров А. И., Окраинская И. С., Номоконова О. В. Оценка риска неблагоприятного воздействия электрического поля на персонал вблизи электроустановок сверхвысокого напряжения // Изв. вузов. Проблемы энергетики. 2012. № 1–2. С. 107–119. ISSN 1998-9903.
7. Кофман А. В. Введение в теорию нечетких множеств. М. : Радио и связь, 1982. – 432 с.
8. Нечеткие множества в моделях управления и искусственного интеллекта / под ред. Д. А. Поспелова. М. : Наука. 1986. 312 с.
9. Нечеткие множества и теория возможностей. Последние достижения / под ред. Р. Р. Ягера. М. : Радио и связь, 1986. – 408 с.
10. Красных А. А. Повышение уровня электробезопасности при эксплуатации воздушных линий электропередачи напряжением 10 кВ путем разработки и внедрения средств бесконтактного контроля наличия напряжения на проводах : дис.... на соиск. уч. ст. д-ра техн. наук. – Киров. 2004. 190 с.
11. Номоконова О. В., Окраинская И. С. Применение нечетких множеств для определения экспертных оценок при анализе условий электробезопасности // «Наука – производство – технологии – экология» : сборник материалов Всероссийской научно-технической конференции. – Киров : Изд-во ВятГУ. 2002. С. 33–35.
12. Скофенко А. В. О построении функции принадлежности нечетких множеств, соответствующих количественным экспертным оценкам // Науковедение и информатика. – Киев : Наукова думка. 1981. Вып. 22. С. 70–79.
13. Номоконова О. В. Применение нечетких множеств в оценке и прогнозировании опасных ситуаций : дис. ... на соиск. уч. ст. канд. техн. наук. – Челябинск. – 2003. – 94 с.
14. Кузнецов К. Б. Основы электробезопасности в электроустановках : учебное пособие. – М. : ФГБУ ДПО «Учебно-методический центр по образованию на железнодорожном транспорте», 2017. – 495 с. ISBN 978-5-89035-966-7.

Literature

1. Kuznetsov K. B., Pazukha A. A. Ensurance of functional reliability of earthing sticks and catenary jumper shunts // Herald of USURT. [Obespechenie funktsional'noj nadezhnosti zazemlyayushhikh shtang i shuntiruyushhikh peremychek kontaktnoj seti // Vestnik UrGUPS] № 3 (39). 2018. P. 98–105. ISSN 2079-0392.
2. Kuznetsov K.B. Assessment and analysis of risk of electrical injury rate at a JSC «RZD» power complex / K.B. Kuznetsov, A.A. Pazukha // Health and safety through the young people's eyes: V All-Russia students' conference proceedings (with international participation): [Otsenka i analiz riska elektrotравmatizma na energeticheskom komplekse ОАО «RZhD» / K. B. Kuznetsov, A. A. Pazukha // Bezopasnost' zhiznedeятel'nosti glazami molodezhi : sbornik materialov V Vserossijskoj studencheskoj konferentsii (s mezhdunarodnym uchastiem)] in 2 v. / edited by A. I. Sidorova. – Chelyabinsk: Publishing centre SUSU, 2019. – V. 1. P. 125–131. ISBN 978-5-696-05024-9.

3. Pat. 2672041 Russian Federation, МПК G01R19/155 Portable earthing stick / K. B. Kuznetsov, A. A. Pazukha; applicant and owner of the patent «USURT». [Pat. 2672041 Rossijskaya Federatsiya, MPK G01R19/155 Perenosnaya zazemlyayushhaya shtanga / K. B. Kuznetsov, A.A. Pazukha ; zayavitel' i patentoobladatel' FGBOU VO «UrGUPS»] – № 201713 8888; appl. 08.11.2017; publ. 08.11.2018; Bull. № 31. – 10 p.
4. Application 2019107627 RF, МПКB60M1/28.Portable earthing device / K. B. Kuznetsov, A. A. Pazukha; USURT; [Zayavka 2019107627 RF, MPKV60M1/28. Perenosnoe zazemlyayushhee ustrojstvo / K. B. Kuznetsov, A. A. Pazukha ; zayavitel' : UrGUPS] appl. 18.03. 2019.
5. Kuznetsov K. B. Logical and probabilistic model of electric injuries in catenary working / K. B. Kuznetsov, A. A. Pazukha // Environmental, industrial and energetic safety-2019: collection of papers by proceedings of International and practical conference «Environmental, industrial and energetic safety-2019» (September 23–26 2019) / ed. by L. I. Lukina, N. V. Lyamina. – Sevastopol: [Logiko-veroyatnostnaya model' vozniknoveniya elektrotravmy pri ekspluatatsii kontaktnoj seti / K. B. Kuznetsov, A. A. Pazukha // Ekologicheskaya, promyshlennaya i energeticheskaya bezopasnost'-2019 : sbornik statej po materialam Mezhdunarodnoj nauchno-prakticheskoy konferentsii «Ekologicheskaya, promyshlennaya i energeticheskaya bezopasnost'-2019» (23–26 sentyabrya 2019 g.) / pod red. L. I. Lukinoj, N. V. Lyaminov. – Sevastopol'] SevSU, 2019. P 892–896. ISBN 978-5-6041740-3-6.
6. Sidorov A. I., Okrainskaya I. S., Nomokonova O. V. Assessment of risk of unfavourable effect of electrical on the staff close to the super voltage electric installations // Bul. of higher schools. Problems of energy engineering. [Otsenka riska neblagopriyatnogo vozdejstviya elektricheskogo polya na personal vblizi elektroustanovok sverkhvysokogo napryazheniya // Izv. vuzov. Problemy energetiki] 2012. № 1–2. P. 107–119. ISSN 1998-9903.
7. Kofman A. V. Introduction to fuzzy-set theory. M.: Radio and communication, [Vvedenie v teoriyu nechetkikh mnozhestv. M. : Radio i svyaz'] 1982. – 432 p.
8. Fuzzy-sets in models of management and intellect / ed. by D. A. Pospelov. [Nechetkie mnozhestva v modelyakh upravleniya i iskusstvennogo intellekta / pod red. D. A. Pospelova] M.: Nauka. 1986. 312 p.
9. Fuzzy sets and theory of opportunities. Latest achievements / ed. by R. R. Yagger. [Nechetkie mnozhestva i teoriya vozmozhnostej. Poslednie dostizheniya / pod red. R. R. Yagera] M. : Radio and communication, 1986. – 408 p.
10. Krasnykh A. A. Increase of electrical safety level in exploitation of overhead 10 kV transmission lines through development and introduction of devices for contactless control of voltage on wires: [Povyshenie urovnya elektrobezopasnosti pri ekspluatatsii vozdushnykh linij elektropredachi napryazheniem 10 kV putem razrabotki i vnedreniya sredstv beskontaktnogo kontrolya nalichiya napryazheniya na provodakh] dis. ... for Dr of tech. science degree. – Kirov. 2004. 190 p.
11. Nomokonova O. V., Okrainskaya I. S. Usage of fuzzy sets for determination of expert evaluations in analysis of conditions for electrical safety // «Science-manufacturing-technologies-ecology»: All-Russia and technical conference proceedings. [Primenenie nechetkikh mnozhestv dlya opredeleniya ekspertnykh otsenok pri analize uslovij elektrobezopasnosti // «Nauka – proizvodstvo – tekhnologii – ekologiya»: sbornik materialov Vserossijskoj nauchno-tekhnicheskoy konferentsii] – Kirov: VyatGU Publishers. 2002. P. 33–35.
12. Skofenko A. V. Plotting a fuzzy set adjective corresponding to quantitative expert evaluations // Science studies and informatics. [O postroenii funktsii prinadlezhnosti nechetkikh mnozhestv, sootvetstvuyushhikh kolichestvennym ekspertnym otsenkam // Naukovedenie i informatika] – Kiev: Naukova dumka. 1981. Iss. 22. P. 70–79.
13. Nomokonova O. V. Application of fuzzy sets in evaluation and forecasting of dangerous situations: [Primenenie nechetkikh mnozhestv v otsenke i prognozirovanii opasnykh situatsij] diss. ... for .Cand. of tech. science degree. – Chelyabinsk. – 2003. – 94 p.
14. Kuznetsov K. B. Fundamentals of electrical safety at power installations: teaching aid. – M.: FSBI CPE «Training and Methodology centre for railway transport», [Osnovy elektrobezopasnosti v elektroustanovkakh : uchebnoe posobie. – M. : FGBU DPO «Uchebno-metodicheskij tsentr po obrazovaniyu na zheleznodorozhnom transporte»] 2017. – 495 p. ISBN 978-5-89035-966-7.

Статья сдана в редакцию 4 октября 2019 года

Аспирантская тетрадь

УДК 658.7.011.1

П. М. Тихонов

Развитие ресурсного обеспечения при регулируемой закупочной деятельности

UDC 658.7.011.1

P. M. Tikhonov

Development of resources provision under controlled procurement-related activities

Аннотация

Выполнен обзор и дан анализ процесса ресурсного обеспечения организации при регулируемой закупочной деятельности в рамках Закона № 223-ФЗ. Показаны основные регулируемые реперные точки и необходимость публикации информации о составляющих процесса ресурсного обеспечения в Единой информационной системе в сфере закупок (ЕИС), которые необходимо учитывать при совершенствовании всего процесса.

Выделены и проанализированы текущие проблемы и направления исследования составляющих ресурсного обеспечения: планирование, выбор исполнителей и исполнение обязательств сторон. Для всех составляющих предложены подходы математической формализации процессов с учетом требований законодательного регулирования и целей осуществления.

Выполнен обзор и анализ подходов к моделированию бизнес-процессов ресурсного обеспечения и предложен агент-ориентированный подход как наиболее универсальный и адаптивный инструмент.

Предложен функционал агент-ориентированной модели ресурсного обеспечения холдинга «РЖД» и обозначена целесообразность графоаналитического представления воздействующих факторов в виде радиально-планетарной и пространственно-ориентированной сетевой сэндвич-модели.

Для формализации составляющих агент-ориентированной модели и ресурсного обеспечения предложен математический аппарат.

Сделаны выводы, которые показывают направления исследования и совершенствования ресурсного обеспечения.

Ключевые слова: государственные закупки, закупки, холдинг «РЖД», сетевые структуры, ресурсное обеспечение, управление ресурсными потоками, выбор исполнителей, исполнение обязательств, математическое моделирование, агент-ориентированное моделирование.

DOI: 10.20291/2079-0392-2019-4-112-123

Abstract

The survey and analysis of the process of resources provision of an enterprise under controlled procurement-related activities are carried out in accordance with Law №223-FL. The main controlled reference points and the necessity of public disclosure of information on constituent parts of the process of resources provision in information system in the of procurement (UIS) are illustrated, which are to be taken into consideration while improving the whole process.

The current problematic issues and directions of research of constituent parts of resources provision: planning, choosing a contractor and fulfillment of obligation of the Parties are highlighted and analyzed. The approaches of mathematical formalisation of the processes are suggested for all constituent parts taking into account the legislation regulation requirements and implementation purposes.

The survey and analysis of approaches to modelling of business processes of resources provision are carried out and agent-based approach is suggested as the most versatile and adaptive tool.

Functionality of the agent-based model of resources provision for «RZD» (Russian Railways) holding is suggested and expediency of a graphical-analytic representation of contributing factors as a radial-planetary and spatially oriented net sandwich-model

Mathematical tools for formalisation of the constituent parts of an agent-based model and resources provision are suggested.

The conclusions indicating research directions and improvement of resources provision are made.

Key words: government procurement, procurement activities, «RZD» holding, net structures, resources provision, management of resource choosing a contractor, of commitments, mathematical modelling, agent-based modelling.

DOI: 10.20291/2079-0392-2019-4-112-123

Статья рекомендована к публикации В.М. Сай, д-ром техн. наук, профессором. Уральский государственный университет путей сообщения. E-mail: vsay@usurt.ru.

Павел Михайлович Тихонов, аспирант; кафедра «Путь и железнодорожное строительство» Уральского государственного университета путей сообщения; Екатеринбург, Россия. E-mail: tikhonov.p.m@gmail.com.

The article is recommended for publishing by V.M. Say, Doctor of technical sciences, Professor. Ural state university of railway transport. E-mail: vsay@usurt.ru

Pavel Mihajlovich Tikhonov, post-graduate student; «Railway construction and railway track» Chair of Ural state university of railway transport; Yekaterinburg, Russia. E-mail: tikhonov.p.m@gmail.com.

Ресурсное обеспечение – одна из основных функций организации, реализация которой определяет эффективность системного функционирования. Функция состоит из привлечения, накопления и распределения/перераспределения ресурсов [1].

Ресурсное обеспечение как составная часть концепции supply chain management (SCM) представляется материальными потоками и потоками услуг, может оказывать внешнее и внутреннее воздействие на хозяйствующий субъект.

Под внутренним воздействием будем понимать внутрихолдинговое обеспечение материалами и услугами. Холдинг «РЖД» – один из ярких примеров компании с разветвлённой системой внутреннего обеспечения. Закупочная деятельность холдинга «РЖД» регулируется Законом № 223-ФЗ [2] и внешним положением о закупках [3].

Процесс внешнего ресурсного обеспечения состоит из планирования, выбора исполнителей и исполнения обязательств сторон.

При внутреннем обеспечении, внутрихолдинговом, приоритет выбора исполнителей определен на этапе формирования холдинга и тоже регулируется Законом № 223-ФЗ [2].

Планирование – определение целей, сроков и механизмов их достижения. От качественного планирования зависят все последующие этапы ресурсного обеспечения.

В части планирования Законом № 223-ФЗ закреплена обязанность размещения планов закупок в Единой информационной системе в сфере закупок (ЕИС), с указанием информации о ценах, объемах, сроках и видах предстоящих закупок [2].

Методы планирования (с учетом [4–6]) представлены в таблице 1.

Основной недостаток нормативного, балансового и аналитического методов планирования – неопределенность и одновременное воздействие множества трудноучитываемых и часто взаимосвязанных факторов.

Сетевые методы планирования можно развить до сетевых структур, но при повышении декомпозиции графиков снижается наглядность.

Метод математического моделирования планирования – объективен, учитывает все составляющие рассмотренных методов. Его использование позволяет автоматизировать процессы и получить объективные и достоверные результаты искусственным и виртуальным путем. Субъективность отсекается, повышается оперативность получения информации о реакции системы в различных условиях и ситуациях без дополнительных затрат, сопряженных рисками.

При математическом моделировании планирования ресурсного обеспечения используют подходы, представленные в таблице 2 ([4, 5, 7, 8]).

Во всех перечисленных в таблице 2 подходах имеется существенный недостаток: не учтена динамика всего процесса ресурсного обеспечения. В частности, риски при регулируемом выборе исполнителей, а также нестабильность финансирования (задержка финансирования, дополнительное выделение финансирования, не подтвержденно проектом или планом и т.п.).

Следующий этап ресурсного обеспечения – выбор исполнителей, состоящий из комплексного использования совокупности способов и процессов, необходимых для определения победителей и последующего заключения договоров. Важность данного этапа заключается в том, что от качества и сроков выбора исполнителей зависит результат исполнения обязательств сторон.

Хотя способы выбора исполнителей регламентируются Законом № 223-ФЗ [2] (аукцион, конкурс, запрос котировок, запрос предложений, единственный исполнитель), допускается вариативность самих процессов (при непротиворечии Закона № 135-ФЗ [9] и публичному представлению информации в ЕИС). Вариативность дает возможность разработки, совершенствования и выстраивания процессов выбора исполнителей

Таблица 1

Методы планирования внешнего ресурсного обеспечения

Метод	Суть метода	Положительные стороны	Отрицательные стороны
Нормативный	Технико-экономические нормы и нормативы	Универсальность и унификация при контроле и централизации	Негибкость при динамическом воздействии и необходимость системного совершенствования и корректировки
Оптимизационный	Несколько вариантов плановых расчетов	Выделение сценариев развития и комбинация различных методов с учетом различных факторов	Субъективное (на основе экспертных оценок) представление вариативности сценариев Трудозатратность при расчете и определении сценариев Необходимость определения сценария для дальнейшей деятельности
Балансовый	Увязка существующих ресурсов с фактической потребностью, использование и распределение ресурсов не должно превышать их реального объема	Обеспечение соответствия источников и направлений использования Увязка величины начальных и конечных остатков при определении потребностей	Не все ресурсы и процессы подлежат балансировке, особенно по CAPEX Слабый учет динамичности, из-за чего происходит дисбаланс потребностей с направлением их использования
Аналитический	Оценочные критерии, базируемые на достигнутых ранее показателях с декомпозицией соответствующих процессов	Построение относительных (косвенных) взаимосвязей и дальнейшее использование как индикаторов	Необходимость наличия высококвалифицированных специалистов Вероятность субъективизма при интерпретации выводов
Сетевой	Графическое моделирование планируемых процессов с указанием логических взаимосвязей	Наглядность представляемой информации (схемы, графики, диаграммы) Быстрое решение задачи нахождения минимальных затрат	При нелинейности сложная декомпозиция графиков Сложность построения и увязки при косвенных взаимосвязях
Математическое моделирование	Совокупность экономико-математических и формализованных приемов при комбинации методов	Оперативное планирование сценариев с корректировкой составляющих факторов В случае «обучаемых агентов» улучшение качества планирования без вмешательства Максимизация объективности результатов Простота при наличии программного продукта	Невозможность полной формализации и учета всех факторов При отсутствии программного продукта необходимость наличия высококвалифицированных специалистов

Таблица 2

Подходы к моделированию планирования

Подход	Суть подхода	Положительные стороны	Отрицательные стороны
Экстраполяция	Нахождение планируемых значений функций при известных значениях в прошлом	Для условно-постоянных процессов, изменяющихся по заданным зависимостям	Допущение того, что будет развитие по плавной траектории, без учета динамичности Допущение того, что тенденции прошлого сохраняются в будущем
Интерполяция	Нахождение планируемых значений функций в точках внутри отрезка	Для условно-постоянных процессов, изменяющихся по заданным зависимостям при заданных крайних значениях	Допущение того, что внутри отрезка процессы неизменные и не учитывается динамичность системы
Статистический	Опора на статистические данные при комбинации методов	Нахождение зависимостей от различных факторов и использование медианных значений	Зависимость от качества исходных данных Субъективность интерпретации и упрощения
Линейное программирование	Нахождение максимума/минимума целевой функции при заданных системах ограничений	Планирование условно-постоянных значений при линейных функциональных взаимоотношениях относительно целевых переменных	Для процессов со всеми известными исходными данными и параметрами
Корреляционно-регрессионный	Нахождение зависимостей между показателями и определяющими их факторами	Нахождение и анализ зависимостей в системах Обнаружение неизвестных причин связей Нахождение и ранжирование системообразующих факторов	Сложность и многогранность математического представления Чаще использует статистические данные, в связи с чем зависимость от качества исходных

в рамках регламентируемых способов в зависимости от категоризации закупок и целей ресурсного обеспечения.

На практике можно выделить следующие процессы выбора исполнителей, которые в том числе используются в холдинге «РЖД»: а) классический (применение формализованных критериев допуска и оценки; недостаток – сложность баланса критериев для достижения целей и трудозатратность применения), б) индикативно-экспертный (применение субъективных экспертных оценок и неформализованных индикаторов; недостаток – разнородность практик, отсутствие законодательного регулирования и вероятность появления фаворитизма).

Можно выделить следующие направления исследования и совершенствования выбора исполнителей [10–15]: а) разработка и совершенствование критериев допуска и оценки исполнителей с увязкой достижения целей и категоризации закупочных процессов, б) математическое моделирование, направленное на сокращение субъективных факторов влияния и разработку автоматизированных систем выбора исполнителей.

В большинстве случаев при математическом моделировании выбора исполнителя используют подходы, представленные в таблице 3 [10, 15, 16, 17].

В перечисленных в таблице 3 математических моделях, за исключением

Таблица 3

Подходы к моделированию выбора исполнителей

Подход	Суть подхода	Положительные стороны	Отрицательные стороны
Рейтинговый	Рейтингование на основе полученных данных	Простота и визуализация Использования существующих критериев	Вероятность субъективных оценок при занижении рейтинга Усложнение вычисления при многокритериальной оценки
Иерархический	Метод расширенного анализа для вычисления весов различных критериев	Декомпозиция необходимых составляющих до нужного уровня	Сложность и неунификация при различных кейсах Вероятность субъективизма при интерпретации косвенных связей
Интегральный	Комбинация подходов с учетом совокупной оценки риска, при известных вариантах среды	Комплексная оценка, характеризующая систему	Необходимость задания показателя среды Сложность построения, так как основана на комбинации разных подходов
Теория игр	Структурирование данных и моделирование эталонного исполнителя и далее расчет среднего значения	Выбор наилучшего из наихудших	Субъективизм при формировании эталонных значений экспертным методом
Линейный и нелинейный многоцелевой	Минимизация негативных и максимизация позитивных целей Расчет общего значения с учетом стоимости и времени исполнения при относительных зависимостях	Целевой характер для решения конкретной проблематики при необходимости не учета остальных параметров	Неуниверсальность, так как подходит только для целевых функции, направленных на максимизацию/минимизацию значений
Нечеткий многоцелевой	Использование теории нечетких множеств для выявления коэффициента весового критерия выбора	Преобразование к единой шкале разнотипных данных при нахождении функции принадлежности прямым и косвенным методами	Субъективизм при прямом методе без оценки иерархий
TOPSIS	Упорядоченное предпочтение через сходство с идеальным решением путем ранжирования на основании определения важности весов всех критериев выбора	Оценка всех атрибутов лингвистическими значениями, представленными нечеткими числами Учет всех альтернатив решений, ранжирование в зависимости от коэффициента близости, выбранного в качестве оценки	Вероятность субъективной оценки в отношении определения идеальных положительных и идеальных отрицательных значений

рейтингового, недостаточно учитывается законодательное регулирование, особенно Закон № 135-ФЗ [9]. В частности, отсутствует прозрачная и публичная система оценки исполнителей.

Общий недостаток рассмотренных в таблице 3 моделей: нет учета влияния сетевого интегратора, факторы эффективности и целесообразности есть только при высокой конкуренции.

Влияние сетевого интегратора и уровня конкуренции следует из общей концепции построения организационных сетевых структур и тяготения субъектов сети, изученных в работе [14].

При выборе исполнителей следует учитывать многообразие и разнородность материальных потоков и потоков услуг, особенно применительно к ресурсоемким активам. Для этого целесообразно вводить категоризацию закупочных процедур и применять различные подходы к развитию направлений совершенствования выбора исполнителей.

Заключительный этап ресурсного обеспечения – исполнение обязательств сторон по обеспечению ресурсного потока в соответствии с заключенным договором.

Несмотря на то, что проблематика исполнения обязательств изучена многими исследователями и во многом относится к юридической сфере, в практической плоскости до сих пор остаются следующие узкие места, в том числе актуальные для холдинга «РЖД»: субъективизм и вероятность фаворитизма при личном контроле специалистами всех этапов исполнения обязательств, бюрократическая волокита приемо-сдаточных документов, проблематика возникновения дополнительной оплаты и/или убытков при некачественном планировании ресурсного обеспечения и выбора исполнителей.

Одно из направлений совершенствования процесса исполнения обязательств – использование функционала концепции «умных договоров» (smart-контрактов).

В части исполнения обязательств сторон функционал smart-контрактов – это

цифровой алгоритм действий, реализуемый при наступлении определенных событий с применением заданных правил [18, 19]. Функционал smart-контрактов является математической моделью исполнения обязательств сторон.

Для нивелирования технических сбоев и субъективных факторов функционирования цифрового алгоритма следует использовать технологического посредника (электронную площадку), а также (при допустимости и необходимости) технологию распределенного реестра (хранение всей обезличенной и контрольной информации в нескольких источниках).

В связи с отсутствием достаточности правового регулирования применения цифрового алгоритма smart-контрактов, для практической реализации и надления юридической значимости целесообразно выводить на должностных лиц заказчиков и исполнителей финальные акцепты решений по существенным действиям, после которых наступают юридические и финансовые обязательства.

Дополнительно стоит отметить, что в соответствии с требованиями Закона № 223-ФЗ [2], все документы, после которых наступают юридические и финансовые обязательства, должны быть опубликованы в ЕИС.

Использование цифрового алгоритма для исполнения действий, которые возможны до выполнения финального акцепта, позволит уменьшить субъективность и улучшить проблематику исполнения обязательств сторон автоматизацией нижележащей структуры принятия таких решений, как резервирование товаров, блокирование денежных средств для дальнейшей оплаты, выдача разрешений на логистические операции, визирование промежуточных актов и т.п.

Для повышения мобильности, гибкости, сокращения бюрократических операций и увязки с автоматизированными программными комплексами сами действия по финальным акцептам целесообразно делать в системе электронного

документооборота с применением электронных цифровых подписей.

Для хеджирования рисков некачественного планирования ресурсного обеспечения, а также сокращения сроков регулируемых закупочных процедур, в дополнение к концепции «умных договоров» предлагается использовать рамочные договоры с множественностью исполнителей.

Использование рамочных договоров фиксирует цены товаров, работ и услуг, а также общую предельную цену на определенный промежуток времени. Исполнение обязательств по рамочным договорам происходит по конкретным заказам, выдача которых возможна с использованием рассмотренных цифровых алгоритмов автоматизировано, без дополнительных закупочных процедур. Использование множественности исполнителей позволяет распределять заказы равномерно и хеджировать риски всех сторон, нивелируя локальные деструктивные динамические воздействия.

Дополнительно стоит выделить проблематику моделирования самого процесса ресурсного обеспечения. В настоящее время нет единого подхода к математическому моделированию процесса ресурсного обеспечения и универсального программного продукта для оценки эффективности и анализа результатов.

Подходы к моделированию процесса ресурсного обеспечения представлены в таблице 4 ([10, 15, 20–23]).

Наиболее универсальный подход – агент-ориентированное моделирование с необучаемыми (реактивными) и обучаемыми (когнитивными) агентами (таблица 4). Его использование позволяет представлять моделируемый процесс независимо от первоначальных целей, наделяя агентов (субъектов права) определенными свойствами в соответствии с принципами агент-ориентированного подхода.

При использовании агент-ориентированного моделирования для описания функционирования ресурсного обеспечения холдинга «РЖД» (F) необходимо учитывать воздействие

регулирования (R_i), воздействие интегратора (I_i), конкуренцию и воздействие рынка (M_i), внутреннее регламентирующее воздействие (IR_i), воздействие стейкхолдеров и внутренних заказчиков/исполнителей (S_i).

Рассматриваемая модель должна учитывать концепцию SCM как сущность, без которой функционирование ресурсных потоков не имеет смысла. Основное влияние концепции SCM заключается в воздействии на результирующий внешний поток работы системы.

Модель можно описать в виде функционала:

$$F = R_i; I_i; M_i; IR_i; S_i; \text{ SCM}. \quad (1)$$

Для наглядности показания воздействующих процессов функционал модели F целесообразно представлять в виде радиально-планетарной и пространственно-ориентированной сетевой сэндвич-модели с учетом исследований [13, 14].

На основе представленного функционала, который учитывает все основные составляющие, возможна разработка сбалансированных показателей принятия решений для отдельных категорий закупочных процедур в рамках ресурсного обеспечения с увязкой составляющих в общей интегральной оценке.

При агент-ориентированном моделировании процесса ресурсного обеспечения, а также всех рассмотренных составляющих описание и формализация бизнес-процессов происходит с использованием математического аппарата.

В качестве графоаналитического представления агент-ориентированной модели с предложенным функционалом естественным образом подходит использование теории графов и сетевых структур.

Для формализации составляющих ресурсного обеспечения логичнее использовать в качестве математического аппарата теорию нечетких множеств, теорию вероятностей, теорию игр, математическую статистику и теорию дискретных оптимизаций.

Таблица 4

Подходы к моделированию процесса

Подход	Суть подхода	Положительные стороны	Отрицательные стороны
IDEFO	Укрупненное моделирование потоков с применением примитивов и создание функциональных моделей	Возможность представления функционирования бизнес-процессов в общем виде	Невозможность детализации и учета особенностей процессов
BPMN 2.0	Описание с помощью XML с отображением, используя диаграммы, взаимодействие бизнес-процессов в виде моделирования потоков данных и сообщений с ассоциацией данных с действиями	Унификация процессов за счет создания единого набора условных обозначений и алгоритмов	Поддерживает только набор концепций, необходимых для моделирования Не подходит для создания модели данных и организационной структуры
SCOR-модели	Эталонная и унифицированная модель организации бизнес-процессов в концепции SCM	Задание единого языка и стандартов для описания бизнес-процессов SCM с целью управления, сравнения, контроля и улучшения	Референтная модель, которая описывает только блоки, без приведения конкретных действий
Автоматизированные модели функционирования отдельных процессов	Моделирование отдельных закупочных процессов в зависимости от их вида, например, аукцион, котировки, конкурс и т.п.	Создание и моделирование отдельного автоматизированного процесса в зависимости от вида процедуры с заданными изначальными параметрами	Отсутствие универсальности и неучет динамического воздействия
Автоматизированные целевые модели	Моделирование закупочных процессов в зависимости от целей, например, учет нормативов, издержек, эффектов, коррупционной составляющей, неценовой конкуренции и т.п.	Создание и моделирование отдельного автоматизированного целевого процесса с заданными изначальными параметрами	Отсутствие универсальности и неучет динамического воздействия
Агент-ориентированные модели	Моделирование процесса с применением различных подходов путем наделения агентов (субъектов) различными свойствами	Возможность использования обучаемых (когнитивных) и необучаемых (реактивных) агентов Моделирование различных процессов независимо от целей (универсальность) Учет динамичности за счет исходных данных без необходимости изменения свойств агентов	Отсутствие единого понятийного и математического аппарата

Использование обозначенного математического аппарата для формализации составляющих ресурсного обеспечения обусловлено множественностью анализируемых показателей и необходимостью выявления корреляционных взаимосвязей, необходимостью нахождения максимума и минимума функции при определении результатов, изменчивостью и вероятностью процессов с определением значений, близких к эталонным, необходимостью приведения конечных результатов и оцениваемых разнородных параметров к единой шкале, итоговым выражением результатов в лингвистических значениях, необходимых для принятия решений.

Выводы

1. В целях совершенствования системы ресурсного обеспечения необходимо разработать методику управления данным процессом, основанную на количественном подходе.

2. Под количественным подходом необходимо понимать разработку математической модели ресурсного обеспечения, которая будет учитывать регулирование закупочной деятельности и позволит осуществлять многократное проигрывание сценариев производственного процесса для выработки

вариантов принятия окончательного управленческого решения.

3. В основу формирования математической модели необходимо положить теорию графов и теорию сетевых организационных структур.

Таким образом, следующим шагом является разработка графоаналитической модели процесса ресурсного обеспечения, на основании которой появляется возможность разработать математическую модель.

4. Цифровое представление процесса ресурсного обеспечения позволяет уменьшить субъективные факторы влияния и, как следствие, сократить риск возникновения фаворитизма, автоматизировать процесс приема-сдаточных операций и хеджировать риски сторон.

5. Предлагается при разработке математической модели процесса ресурсного обеспечения использовать агент-ориентированное моделирование.

Применение такого подхода позволяет представлять бизнес-процесс (процесс ресурсного обеспечения) независимо от первоначальных целей, наделяя агентов (субъектов права) определенными внутренними свойствами, что позволяет формализовать их поведение при воздействии различных внутренних и внешних факторов. ■

Литература

1. Французова М. А. Сущность ресурсного обеспечения деятельности организации // Транспортное дело России, № 3. 2008. С. 59–60. ISSN 2072-8689.
2. О закупках товаров, работ, услуг отдельными видами юридических лиц : Федеральный закон. URL: http://www.consultant.ru/document/cons_doc_LAW_116964/ (дата обращения: 02.10.2019).
3. Положение о закупке товаров, работ, услуг для нужд ОАО «РЖД» (утверждено Советом директоров ОАО «РЖД» «28» июня 2018 г.). – URL: http://doc.rzd.ru/doc/public/ru?STRUCTURE_ID=704&layer_id=5104&refererLayerId=5103&id=6824/ (дата обращения: 02.10.2019).
4. Чинь Вьет Тьен. Методология стратегического планирования использования основных производственных факторов на мебельных предприятиях : автореф. дис. ... на соиск. уч. ст. канд. экон. наук : 08.00.05. ГОУ ВПО «Санкт-Петербургская государственная лесотехническая академия имени С. М. Кирова», Санкт-Петербург, 2009. 19 с.
5. Захаркина Н. В. Совершенствование инструментов стратегического планирования на основе моделирования бизнес-процессов : автореф. дис. ... на соиск. уч. ст. канд. экон. наук : 08.00.05. – Брянск : ГОУ ВПО «Брянский государственный технический университет». 2006. 24 с.
6. Куржкова Г. В. Экономический механизм обеспечения сырьем предприятий, не доминирующих на рынке вторичных драгоценных металлов: дис. ... на соиск. уч. ст. канд.

- экон. наук : 08.00.05. – М. : ФГАУ ВО «Национальный исследовательский технологический университет «МИСиС»», – 2018. 160 с.
7. Зотов И. В., Яровый А. В. Методология стратегического планирования на основе системно-динамического моделирования бизнес-процессов предприятия. URL: [http://naukovedenie.ru/PDF/18TVN115.pdf/](http://naukovedenie.ru/PDF/18TVN115.pdf) (дата обращения: 02.10.2019). ISSN 2223-5167.
 8. Бабина О. И. Обзор имитационных моделей в планировании на предприятии. URL: <http://fundamental-research.ru/ru/article/view?id=39751/> (дата обращения: 02.10.2019). ISSN 1812-7339.
 9. О защите конкуренции : Федеральный закон. URL: http://www.consultant.ru/document/cons_doc_LAW_61763/ (дата обращения: 02.10.2019).
 10. Кулиш М. С. Сбалансированная модель закупочной деятельности на предприятиях телекоммуникационной отрасли : дис. ... на соиск. уч. ст. канд. экон. наук : 08.00.05. – М. : ФГОУ ВО «РЭУ им. Г. Е. Плеханова», 2016. 199 с.
 11. Копнов В. А., Бессонов А. И., Астафьева О. М. Стратегический подход к управлению качеством закупок машиностроительного предприятия : моногр. – Екатеринбург : Урал. гос. лесотехн. ун-т, 2012. 142 с. ISBN 978-5-94984-403-8.
 12. Демиденко М. В. Развитие подрядных торгов на строительство объектов в системе государственных закупок : дис. ... на соиск. уч. ст. канд. экон. наук : 08.00.05. – СПб : ФГБОУ ВПО «Санкт-Петербургский государственный архитектурно-строительный университет». 2017. 151 с.
 13. Фомин В. К. Оценка и выбор поставщиков продукции и услуг при взаимодействии транспортной компании с хозяйствующими субъектами : дис. ... на соиск. уч. ст. канд. технич. наук : 05.02.22. – Екатеринбург : УрГУПС, 2010. 167 с.
 14. Сай В. М., Сизый С. В. Образование, функционирование и распад организационных сетей : монография. – Екатеринбург : УрГУПС, 2011. 270 с. ISBN 978-5-94614-199-4.
 15. Абрамов В. И. Разработка агент-ориентированной модели функционирования системы государственных закупок (на примере закупочной деятельности предприятия на-укограда) : дис. ... на соиск. уч. ст. канд. экон. наук : 08.00.13. М. : ФГБУН «Центральный экономико-математический институт Российской академии наук», 2018. 163 с.
 16. Козлова Е. В., Волынский В. Ю. Обзор математических моделей выбора поставщиков материальных ресурсов // Проблемы экономики, финансов и управления производством, № 35. 2014. С. 130–138.
 17. Лобкова Е. В. Применение метода TOPSIS при решении задачи оценки устойчивости развития территорий // Экономические науки, № 172. 2019. С. 47–51. ISSN 2072-0858.
 18. Осмоловская А. С. Смарт-контракты: функции и применение // Бизнес-образование в экономике знаний, № 2 (10). 2018. С. 54. ISSN 2412-5318.
 19. Аналитический обзор по теме «Смарт-контракты». URL: [https://www.cbr.ru/Content/Document/File/47862/SmartKontrakt_18-10.pdf/](https://www.cbr.ru/Content/Document/File/47862/SmartKontrakt_18-10.pdf) (дата обращения: 02.10.2019).
 20. Никитенко С. М., Никифорова Л. Е., Шабашев В. А. Высокотехнологические секторы региональной экономики: формирование и развитие : монография. – Кемерово : Сибирская издательская группа, 2012. 311 с. ISBN 978-5-904496-17-3.
 21. Старцев Ю. В., Гиндулина Т. К., Старцева К. Ю. К вопросу применения BPMN-технологий в моделировании экономических процессов при проектировании автоматизированных систем на примере процесса осуществления государственной закупки // Актуальные вопросы экономической теории: развитие и применение в практике российских преобразований : м-лы 4-й Всеросс. научн.-практ. конф. – 2018. С. 120–123.
 22. Грачев С. А. Моделирование бизнес-процессов управления цепями поставок с использованием эталонной SCOR-модели : автореф. дис ... на соиск. уч. ст. канд. экон. наук : 08.00.05. – М. : ФГБОУ ВПО «Государственный университет управления», 2013. 24 с.
 23. Островная М. В. Издержки участия и уровень конкуренции в государственных закупках в условиях фаворитизма : дис. ... на соиск. уч. ст. канд. экон. наук : 08.00.01. М. : ФГАУ ВО «Национальный исследовательский университет «Высшая школа экономики», 2016. 148 с.

Literature

1. Frantsuzova M. A. The essence of resources provision of activity of an enterprise // Transport business of Russia, [Sushhnost' resursnogo obespecheniya deyatel'nosti organizatsii // Transportnoe delo Rossi] № 3. 2008. Pp. 59–60. ISSN 2072-8689.

2. As for procurement of goods, works, services by the types of legal entities. Federal law. [O zakupkakh tovarov, rabot, uslug otdel'nymi vidami yuridicheskikh lits : Federal'nyy zakon.] URL: http://www.consultant.ru/document/cons_doc_LAW_116964/ (reference date: 02.10.2019).
3. Regulations on procurement of goods, works, services for the needs of JSC «RZD» (approved by the Board of directors of JSC «RZD» on June, 28 2018). [Polozhenie o zakupke tovarov, rabot, uslug dlya nuzhd OAO «RZhD» (utverzhdeno Sovetom direktorov OAO «RZhD» «28» iyunya 2018 g.) URL: http://doc.rzd.ru/doc/public/ru?STRUCTURE_ID=704&layer_id=5104&refererLayerId=5103&id=6824/ (reference date: 02.10.2019).
4. Chin Viet Tien. Methodology of strategic planning of using the main factors of production at furniture-manufacturing enterprises: [Metodologiya strategicheskogo planirovaniya ispol'zovaniya osnovnykh proizvodstvennykh faktorov na mebel'nykh predpriyatiyakh] synopsis of a diss. for degree of Candidate of economic sciences: 08.00.05. State Educational Establishment of Higher Professional Education «Saint-Petersburg state forest technical university» (named after S. M. Kirov), Saint-Petersburg, 2009. 19 pp.
5. Zaharkina N. V. Improvement of the tools of strategic planning on the basis of modelling of business-processes : [Sovershenstvovanie instrumentov strategicheskogo planirovaniya na osnove modelirovaniya biznes-protsessov] synopsis of a diss. ... for a degree of Candidate of economic sciences : 08.00.05. – Bryansk : State Educational Establishment of Higher Professional Education «Bryansk state technical university». 2006. 24 pp.
6. Kurzhekova G. V. Economic mechanism of raw material provision for enterprises, which are not dominant in the secondary precious metals market : [Ekonomicheskij mekhanizm obespecheniya syr'em predpriyatij, ne dominiruyushhikh na rynke vtorichnykh dragotsennykh metallov] synopsis of a diss. ... for a degree of Candidate of economic sciences : 08.00.05. – M. : Federal State Autonomous Establishment of Higher Education «National university of science and technology «MISIS».
7. Zotov I. V., Yarovy A. V. Mthodology of strategic planning on the basis of system-dynamic modelling of business processes of an enterprise. [Metodologiya strategicheskogo planirovaniya na osnove sistemno-dinamicheskogo modelirovaniya biznes-protsessov predpriyatiya.] URL: <http://naukovedenie.ru/PDF/18TVN115.pdf/> (reference date: 02.10.2019). ISSN 2223-5167.
8. Babina O. I. A survey of simulation models in planning of an enterprise. [Obzor imitatsionnykh modelej v planirovanii na predpriyatii.] URL: <http://fundamental-research.ru/ru/article/view?id=39751/> (reference date: 02.10.2019). ISSN 1812-7339.
9. On competition protection : Federal law. [O zashhite konkurentsii : Federal'nyy zakon.] URL: http://www.consultant.ru/document/cons_doc_LAW_61763/ (reference date: 02.10.2019).
10. Kulish M. S. Well-balanced model of procurement activities at enterprises in telecommunication industry : [Sbalansirovannaya model' zakupочноj deyatel'nosti na predpriyatiyakh telekommunikatsionnoj otrasli] diss. ... for a degree of Candidate of economic sciences : 08.00.05. – M. Federal State Educational Establishment of Higher Education «Plekhanov Russian University of Economics», 2016. 199 pp.
11. Kopnov V. A., Bessonov A. I., Astaf'eva O. M. Strategic approach to the quality of procurement management of a machine-building enterprise : [Strategicheskij podkhod k upravleniyu kachestvom zakupok mashinostroitel'nogo predpriyatiya] monograph. – Yekaterinburg : «Ural state forest engineering university», 2012. 142 pp. ISBN 978-5-94984-403-8.
12. Demidenko M. V. Elaboration of contract tendering for construction of facilities in state procurement system : [Razvitie podryadnykh trgov na stroitel'stvo ob'ektov v sisteme gosudarstvennykh zakupok] diss. ... for a degree of Candidate of economic sciences : 08.00.05. – SPb : Federal State Budgetary Educational Establishment of Higher Professional Education «Saint-Petersburg state university of architecture and civil engineering». 2017. 152 pp.
13. Fomin V. K. Assessment and selection of production and service suppliers in the process of interaction between transport companies and economic entities : [Otsenka i vybor postavshhikov produktsii i uslug pri vzaimodejstvii transportnoj kompanii s khozyajstvuyushhimi sub'ektami] diss. ... for a degree of Candidate of technical sciences : 05.02.22. – Yekaterinburg : USURT, 2010. 167 pp.
14. Saj V. M., Sizy S. V. Formation, functioning and disintegration of organisational networks : [Obrazovanie, funktsionirovanie i raspad organizatsionnykh setej] monograph. – Yekaterinburg : USURT, 2011. 270 pp. ISBN 978-5-94614-199-4.

15. Abramov V. I. Elaboration of agent-based functioning model for the system of state procurement (as by procurement activities of «Naukograd» enterprise) : [Razrabotka agent-orientirovannoj modeli funktsionirovaniya sistemy gosudarstvennykh zakupok (na primere zakupочноj deyatel'nosti predpriyatiya naukograda)] diss. ... for a
16. Kozlova E. V., Bolynskij V. Yu. A survey of mathematical models for selection of material resources suppliers // Issues of the economy, nance and production management, [Obzor matematicheskikh modelej vybora postavshhikov material'nykh resursov // Problemy
17. Lobkova E. V. Application of TOPSIS method in addressing the objective of assessment of sustainable development of the territories // Economic sciences, [Primenenie metoda TOPSIS pri reshenii zadachi otsenki ustojchivosti razvitiya territorij // Ekonomicheskie nauki] № 172. 2019. p. 47–51. ISSN 2072-0858.
18. Osmolovskaya A. S. Smart contracts: the functions and application // Business-education in knowledge economy, [Smart-kontrakty: funktsii i primenenie // Biznes-obrazovanie v ekonomike znaniy] № 2 (10). 2018. pp. 54. ISSN 2412-5318.
19. Analytical review on the topic «Smart contracts» [Analiticheskij obzor po teme «Smart-kontrakty».] URL: https://www.cbr.ru/Content/Document/File/47862/SmartKontrakt_18-10.pdf/ (reference date: 02.10.2019).
20. Nikitenko S. M., Nikiforova L. E., Shabashev V. A. Advanced technology sectors of regional economy: formation and development : [Vysokotekhnologicheskie sektory regional'noj ekonomiki: formirovanie i razvitie] monograph. – Kemerovo : Siberian publishing group, 2012. 311 pp. ISBN 978-5-904496-17-3.
21. Startsev Yu. V., Gindullina T. K., Startseva K. Yu. As for the issue of BPMN-technologies application in modelling economic processes in designing automated systems as exempl ed in the process of implementation of state procurement // Current issues of the theory of economics: development and application in practice of Russian transformational changes: [K voprosu primeneniya BPMN-tekhnologij v modelirovanii ekonomicheskikh protsessov pri proektirovanii avtomatizirovannykh sistem na primere protsessosa osushhestvleniya gosudarstvennoj zakupki // Aktual'nye voprosy ekonomicheskoy teorii: razvitie i primenenie v praktike rossijskikh preobrazovanij] materials of 4th All-Russian research-to-practice conference. – 2018. P. 120–123.
22. Grachev S. A. Modelling of business-processes of delivery chain management using SCOR-model as standard : [Modelirovanie biznes-protsessov upravleniya tsepyami postavok s ispol'zovaniem etalonnoj SCOR-modeli] synopsis of a diss. ... for a degree of Candidate of economic sciences : 08.00.05. – M. : Federal State Budgetary Educational Establishment of Higher Professional Education «The state university of management».
23. Ostrovnaya M.V. Hidden expenses of participating and competition level in state procurement under conditions of favouritism : [Izderzhki uchastiya i uroven' konkurentsii v gosudarstvennykh zakupkakh v usloviyakh favoritizma] diss. ... for a degree of Candidate of economic sciences : 08.00.01. M. : Federal State Automous Educational Establishment of Higher Education' National research university «Higher school of economics», 2016. 148 pp.

Статья сдана в редакцию 24 октября 2019 года

УДК 658.014

Д. Ю. Горелова

Архитектоника взаимодействия интегратора и элементов сети с учетом рисков

UDC 658.014

D. Yu. Gorelova

Architectonics of interaction between an integrator and network elements with consideration of risks

Аннотация

В статье изложены главные идеи теоретических концепций формирования сети и кооперации правовых субъектов в рамках сетевых организационных структур, осуществляющих свою деятельность в условиях неопределенности.

Предложена структура возникновения и влияния риска в организационной сети, опирающаяся на организационную сеть с разделенными интересами, смоделированную в трехмерном измерении, чье организационно-экономическое поле представлено в виде спиралеобразной орбиты, на которой последовательно располагаются элементы сети различного типа.

Предложена авторская модель архитектоники взаимодействия интегратора и элементов сети, отображающая главные концепции влияния риска внешних и внутренних глубинных факторов на кооперацию и работу элементов организационно-экономического и организационно-правовых плоскостей. Основой данной модели служат пространственная сэндвич-модель организационной сети и модель организационной сети с разделенными интересами. В работе представлены конструктивные концепции управления рисками сетевой структуры.

Предложено распределить риск, возникающий в организационной сети, между тремя плоскостями – организационно-экономической (взаимоотношения базируются на административном влиянии интегратора и праве собственности) и двумя организационно-правовыми (взаимоотношения базируются на контрактно-договорной основе).

Ключевые слова: организационная сеть, хозяйствующий субъект, сетевые структуры, риск, сетевые риски, сетевая экономика, управление рисками, риск-менеджмент.

DOI: 10.20291/2079-0392-2019-4-124-133

Abstract

The article focuses on basic ideas of theoretical concepts of formation of network and cooperation of entities within the framework of network organizational structures performing their activities under conditions of insecurities.

The structure of emergence and influence of risk in the organizational network is proposed which is supported by the organizational network with separate interests, modeled in tridimensional measurement, its organizational and economic being presented as a spiral-shaped orbit where various network elements are located in tandem.

The author suggests the architectonics model of interaction between an integrator and network elements, basic concepts of risks of external and internal deep factors on cooperation and work of organizational and economic and organizational and judicial elements. A spatial sandwich-model of the organizational network and an organizational network model with separate interests serve as the basis of this model. Constructive concepts of risk management of a network structure are presented in the paper.

It is suggested to distribute the risk emerging in the organizational network among three planes – organizational and economic (relationship is based on administrative influence of an integrator and a proprietary right), and two organizational and judicial planes (relationship is supported by a contract and agreement basis).

Key words: organizational network, economic entity, network structures, risk, network risks, network economy, risk management.

DOI: 10.20291/2079-0392-2019-4-124-133

Статья рекомендована к публикации В.М. Сай, д-ром техн. наук, профессор. Уральский государственный университет путей сообщения. E-mail: vsay@usurt.ru.

Дарья Юрьевна Горелова, аспирант; кафедра «Путь и железнодорожное строительство» Уральского государственного университета путей сообщения; Екатеринбург, Россия. E-mail: DGorelova@usurt.ru.

The article is recommended for publishing by V.M. Say, Doctor of tech.science, Professor. Ural state university of railway transport. E-mail: vsay@usurt.ru.

Darya Yurievna Gorelova, Post Graduate Student; «Rail Track and railway construction» Chair, Ural state university of railway transport; Yekaterinburg, Russia. E-mail: DGorelova@usurt.ru.

Крупные предприятия – организационные сети неотвратимо подвергаются воздействию внешних и внутренних факторов, влияющих на надежность и оперативность их функционирования. Вынужденно поставленные перед задачей противодействия отрицательному влиянию этих факторов социально-экономические системы не останавливаются в развитии, на протяжении всего жизненного цикла. Эффективность работы сетей, функционирующих в рыночных условиях неопределенности, требует непрерывной регуляции всех элементов сети, включая интегратора. Неясность результатов обусловлена неопределенностью, но степень ее воздействия не известна. При регуляции элементов сети в обстоятельствах неопределенности нельзя избежать возникновения рисков ситуаций, случайных по характеру возникновения [1–5]. Следовательно, формирование организационной сети, учитывающее обстоятельства появления риска, определяет её эффективную работу в дальнейшем.

Концептуальные стороны развития, регуляции и работы организационной сети приведены в [6–10]. Но в этих публикациях не упоминается о влиянии экстренных рисков явлений на функционирование элементов, образующих организационную сеть как в общем, так и в частном рассмотрении.

Выполним анализ организации, регулирования и работы сети, учитывая наличие риска.

Объектом настоящего исследования служат зонтичные сети, образованные вокруг крупной компании-интегратора, что объясняется характером существования сетей, определяющим отраслевое развитие целых областей и регионов, местопологающих для субъектов сети. Все эмпирические вычисления представлены на примере зонтичной сетевой организации ОАО «РЖД».

Угроза риска как неопределенного фактора, возникающего при кооперации правовых субъектов в организационно-экономическом пространстве, с должным вниманием не воспринимается, так

как до сих пор не разработаны системные методики его обнаружения и количественного определения.

Одна из главных целей исследования концептуальных сторон формирования сетевых организационных систем с учетом фактора риска как в самой сети, так и в её элементах – создание графического отражения архитектоники возникновения рисков и их регулирования – графоаналитической модели.

Оговорим смысловое значение термина «риск» как возможность нарушения условий договора хозяйствующего субъекта с интегратором сети, другим участником правоотношений или рынком по причинам, зависящим от самого субъекта или его экономического окружения, напрямую или опосредованно воздействующим на производственную сферу.

Каждый элемент организационной сети предприятия может совмещать в себе свойства как порождать риск нестабильностью своего внутреннего технико-экономического состояния, так и подвергаться влиянию риска, вызванного нарушением условий договора с физическим или юридическим лицом. Значит, кооперационные риски организационной структуры управления всегда имеют направленный характер возникновения.

Двойственная природа возникновения рисков в организационной сети, где каждый элемент цепочки является одновременно и источником рисков, и адресатом направленного рискового воздействия, представлена на рис. 1. Предложенная схема опирается на модель организационной сети с разделенными интересами, где все субъекты сети группируются по спирали вокруг интегратора [11].

Графическая формализация возникновения риска в организационной сети дает возможность представить организационно-экономическое поле сети как спиралеобразную орбиту, на которой последовательно располагаются элементы сети различного типа. Можно выделить наиболее значимые субъекты с точки

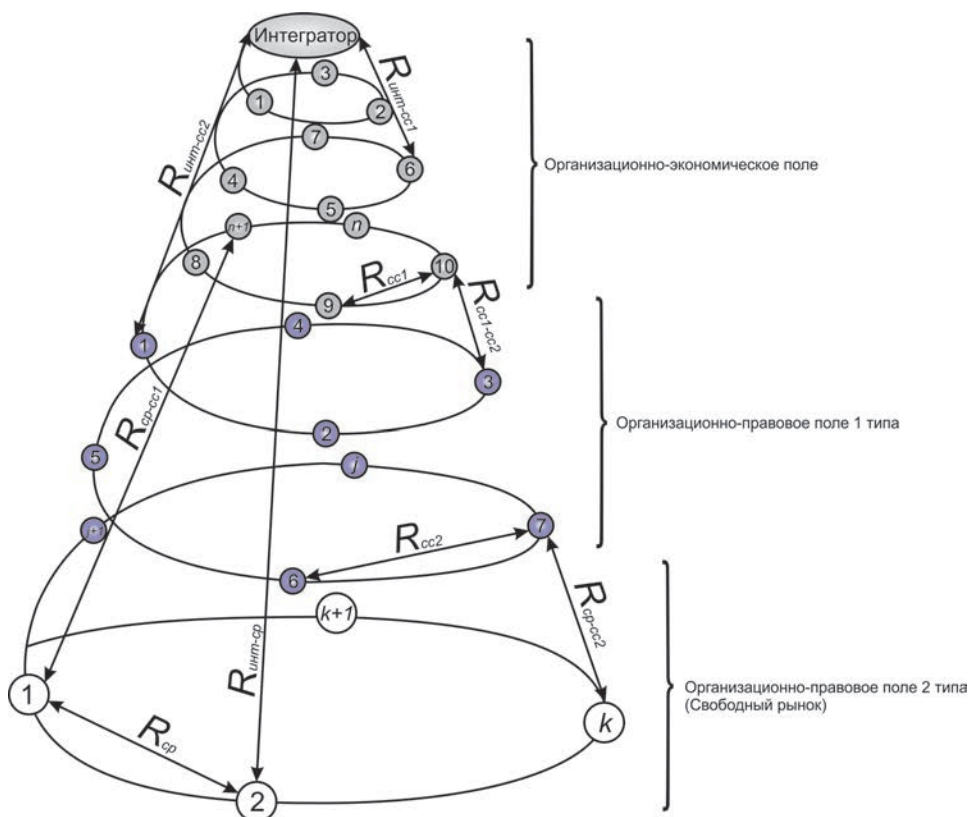


Рис. 1. Структура возникновения и влияния риска в организационной сети

$R_{ср}$ – межсубъектный риск кооперации элементов рынка; $R_{ср-ср2}$ – межсубъектный риск кооперации элемента рынка и элемента 1-го организационно-правового поля;
 $R_{ср-ср1}$ – межсубъектный риск кооперации элемента рынка и элемента организационно-экономического поля; $R_{ср2}$ – межсубъектный риск кооперации элементов 1-го организационно-правового поля; $R_{ср1-ср2}$ – межсубъектный риск кооперации элементов организационно-экономического и организационно-правового поля 1-го типа;
 $R_{ср1}$ – межсубъектный риск кооперации элементов организационно-экономического поля;
 $R_{инт-ср1}$ – риск кооперации интегратора с элементом организационно-экономического поля;
 $R_{инт-ср2}$ – риск кооперации интегратора с элементом 1-го организационно-правового поля;
 $R_{инт-сп}$ – риск кооперации интегратора с элементом рынка

зрения рискового воздействия на интегратор даже среди однотипных элементов сети. Перевод модели из двухмерного пространства в трехмерное позволяет распределить риски в пространстве и детализировать их влияние на интегратор.

Модель возникновения рисков в организационной сети можно представить в виде усеченного конуса, вершиной которого является интегратор, а элементы, нанизанные на спиральную ось, делятся последовательно на

хозяйствующие субъекты, подверженные административному воздействию интегратора, субъекты сети, взаимодействующие как с хозяйствующими субъектами сети, так и со свободным рынком, субъекты свободного рынка.

Среди особенностей данной модели можно отметить возможность трехмерного ранжирования рисков, в том числе для однотипных элементов, распределенных по оси организационно-экономического поля. Кроме того, за счет незамкнутости данной системы свободный

рынок тоже попадает в поле притяжения сети и может влиять на нее.

Подобный взгляд на модель возникновения рисков требует дополнительной формализации пространств, где возникают три типа рисков: а) риски хозяйствующих субъектов, б) риски сети и в) риски свободного рынка. Модель графического отражения архитектуры возникновения рисков и их регулирования представлена на рис. 2.

Авторское представление ранжирования риска в архитектуре сети простирается в пределах трех плоскостей: одной организационно-экономической и двух организационно-правовых. В первой плоскости располагаются интегратор и хозяйственные субъекты холдинга,

на которые распространяется его административное влияние, благодаря чему фактор возникновения риска максимально подконтролен. При измерении риска в этой плоскости существует возможность рассчитать убытки интегратора, спровоцированные поведением элементов сети.

Субъекты, интегрированные в пространство организационно-правовой плоскости первого типа, имеют возможность предоставлять свои услуги (продукцию) и хозяйствующим элементам холдинга, и предприятиям свободного рынка. Отличительной чертой этой плоскости можно назвать открытость системы, благодаря чему все элементы имеют возможность кооперировать

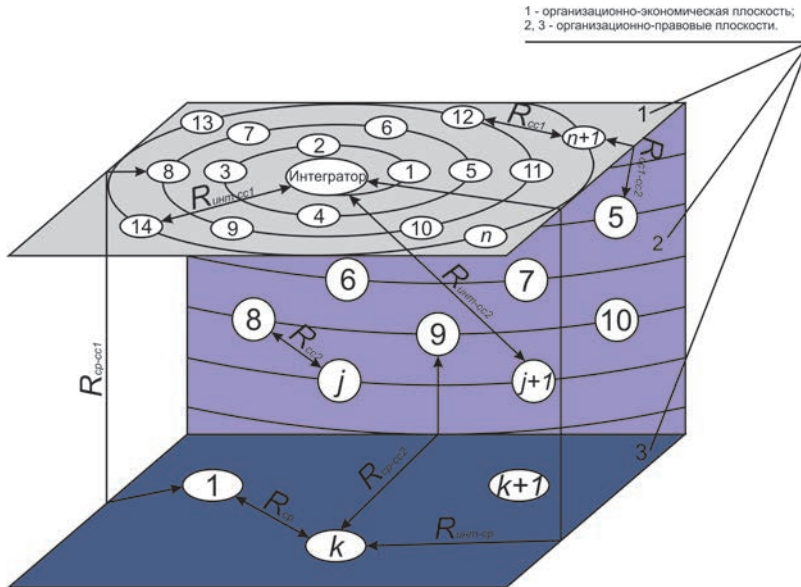


Рис. 2. Графическое отражение архитектуры возникновения рисков и их регулирования
 R_{cp} – межсубъектный риск кооперации элементов организационно-правовой плоскости 2-го типа (свободный рынок); R_{cp-cc2} – межсубъектный риск кооперации элемента свободного рынка и элемента 1-й организационно-правовой плоскости; R_{cp-cc1} – межсубъектный риск кооперации элемента рынка и элемента организационно-экономической плоскости; R_{cc2} – межсубъектный риск кооперации элементов 1-й организационно-правовой плоскости; $R_{cc1-cc2}$ – межсубъектный риск кооперации элементов организационно-экономической и 1-й организационно-правовой плоскостей; R_{cc1} – межсубъектный риск кооперации элементов организационно-экономической плоскости; $R_{инт-cc1}$ – риск кооперации интегратора с элементом организационно-экономической плоскости; $R_{инт-cc2}$ – риск кооперации интегратора с элементом 1-й организационно-правовой плоскости; $R_{инт-cp}$ – риск кооперации интегратора с элементом рынка

со свободным рынком, оказывающим неопределенное влияние на субъекты, провоцируя возникновение негативных рисков последствий для элементов сети, что отягощено слабым административным влиянием интегратора.

Свободный рынок, расположенный в организационно-правовой плоскости второго типа, характеризуется бессистемным и непоследовательным взаимодействием субъектов, преследующих своей целью выгодоприобретение, что дополняется условиями возрастающей конкуренции и влиянием макроэкономических процессов на субъекты рынка. Значит, формируется перманентно изменяющаяся среда с непредсказуемым исходом событий.

Подобное состояние неопределенности провоцирует формирование большого количества рисков, воздействующих на функционирование элементов свободного рынка, а также на организационную сеть, взаимодействующую с этими элементами.

Математическая формализация модели опирается на понятие «риск интегратора и субъекта» [12].

С математической точки зрения, модель возникновения рисков целесообразно формализовать с помощью теории графов [13, 14]. Структура возникновения рисков предстает в виде направленного графа, чьи ребра и вершины помечают следующим образом:

$$G = \langle G; N; f; g \rangle, \quad (1)$$

где G – множество вершин графа G (хозяйствующие субъекты); N – множество ребер (цепочек взаимодействия) графа G ; f, g – функции меток ребер графа G [15, 16].

Потоковое распределение рисков различного характера (от финансового до социального) происходит вдоль ребра графа, обозначенного как цепочки взаимодействия, хозяйствующие субъекты предстают в виде вершин графа.

Математическая формализация кооперации интегратора и элемента сети

основывается на динамико-эволюционном развитии организационных сетей и на концепции риска интегратора и субъекта [12]. Под кривой риска (рис. 3) будем понимать графическое изображение нормального распределения вероятностей возникновения риска, которая представляет собой плотность распределения убытков в зависимости от уровня риска и может быть построена на основе статистических данных, базирующихся на исследованиях взаимодействий организационной сети. Но практически количество данных не дает возможности выстроить кривые распределения риска, отражающие объективную картину.

Для создания объективных кривых распределения риска в элементах организационных сетей целесообразно применять функционал имитационного моделирования [17, 18]. Опираясь на имитационное моделирование, можно исследовать дополнительные обстоятельства и данные, не поддающиеся анализу.

Можно выявить алгоритм исследования архитектуры распределения риска интегратора и субъекта сети (рис. 4).

Расчеты опираются на параметры, описывающие организационные, технические и экономические аспекты взаимодействия хозяйствующих субъектов и основываются на количественном измерении кооперационной пары интегратора и субъекта, а также двух равнозначных субъектов сети.

Необходимо учитывать всевозможные события, вследствие которых неизбежно наступает убыточное событие для интегратора и субъекта сети. Событие можно описать следующим образом:

$$\left(R_{\text{инт.и}}(n_{\text{г}}(i)), R_{\text{инт.с}}(n_{\text{г}}(i)), R_{\text{инт.сп}}(n_{\text{г}}(i)), R_{\text{инт.п}}(n_{\text{г}}(i)), R_{\text{инт.рп}}(n_{\text{г}}(i)), R_{\text{и.инт}}(n_{\text{г}}(i)), R_{\text{и.с}}(n_{\text{г}}(i)), R_{\text{и.сп}}(n_{\text{г}}(i)), R_{\text{и.п}}(n_{\text{г}}(i)), R_{\text{и.рп}}(n_{\text{г}}(i)) \right), \quad (2)$$

где $n_{\text{г}}$ – порядковый номер смоделированного события.

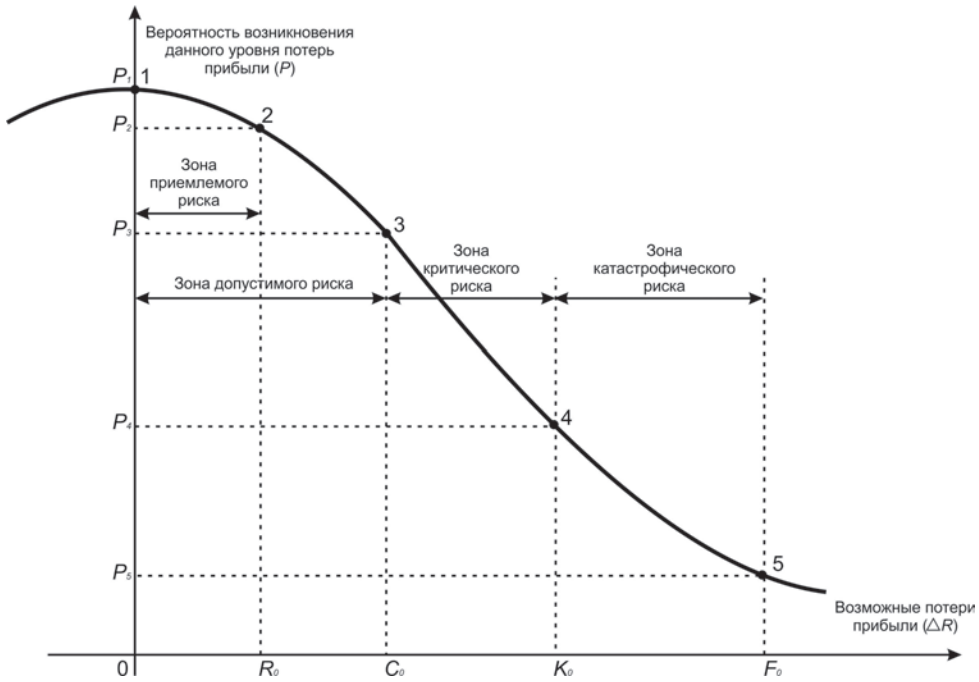


Рис. 3. Кривая нормального распределения вероятностей с обозначенными на ней рисковыми зонами [12]

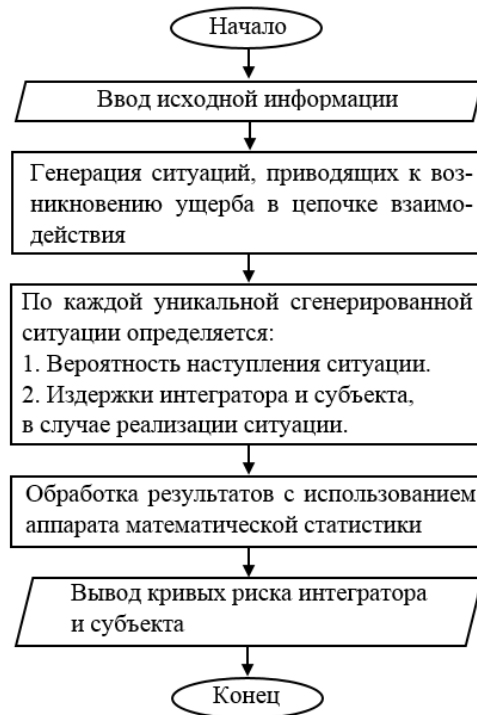


Рис. 4. Алгоритм исследования архитектуры распределения риска интегратора и субъекта сети

Моделирование события заключено в следующих этапах [19].

1) Нахождение элементов, кооперация с которыми влечет наступление отрицательных последствий для интегратора и субъекта организационной сети. Например, в случае возникновения события n_r моделирование $R_{\text{инт.}i}(n_r) = 1$, что означает отрицательный результат кооперации интегратора и i -го субъекта сети, влекущий за собой убытки для обеих сторон.

2) Установление степени упущенной выгоды (убытков, измеренных для каждого отрицательного результата кооперации и для каждой стороны). Например, $C_{\text{инт.}i}(n_r) = \text{randi}([1 \ 100])$.

Чтобы не дублировать, результаты моделирования по каждому событию сравниваются между собой и события, отличающиеся неповторимым результатом, выбираются для соответствующих расчетов. События моделируют до наступления условий, определяющих количество неповторимых ситуаций по формуле:

$$N_{\text{ун}} < 2^{N_p}, \quad (3)$$

где N_p – количество исследуемых кооперационных рисков в организационной сети.

Следующая стадия моделирования требует рассчитать степень вероятности наступления события, убытки интегратора и элемента сети для каждого неповторимого события. Математическая формализация убытков интегратора и элемента сети:

$$\begin{aligned} C_{\text{инт}}(n_r) = & \alpha_6 \cdot \frac{C_{\text{инт.}i}(n_r) \cdot Q_{\text{инт.}i}}{100} + \\ & + \alpha_7 \cdot \frac{C_{\text{инт.с}}(n_r) \cdot Q_{\text{инт.с}}}{100} + \\ & + \alpha_8 \cdot \frac{C_{\text{инт.сп}}(n_r) \cdot Q_{\text{инт.сп}}}{100} + \\ & + \alpha_9 \cdot \frac{C_{\text{инт.р}}(n_r) \cdot Q_{\text{инт.р}}}{100} + \\ & + \alpha_{10} \cdot \frac{C_{\text{инт.рп}}(n_r) \cdot Q_{\text{инт.рп}}}{100}, \end{aligned} \quad (4)$$

$$\begin{aligned} C_{\text{суб}}(n_r) = & \alpha_1 \cdot \frac{C_{i,\text{инт}}(n_r) \cdot Q_{i,\text{инт}}}{100} + \\ & + \alpha_2 \cdot \frac{C_{i,\text{с}}(n_r) \cdot Q_{i,\text{с}}}{100} + \\ & + \alpha_3 \cdot \frac{C_{i,\text{сп}}(n_r) \cdot Q_{i,\text{сп}}}{100} + \\ & + \alpha_4 \cdot \frac{C_{i,\text{р}}(n_r) \cdot Q_{i,\text{р}}}{100} + \\ & + \alpha_5 \cdot \frac{C_{i,\text{рп}}(n_r) \cdot Q_{i,\text{рп}}}{100}, \end{aligned} \quad (5)$$

где $C_{\text{инт}}$, $C_{\text{суб}}$ – совокупность убытков для интегратора и элемента сети; $Q_{x,y}$ – ценное измерение кооперации субъектов x и y ; $\alpha_1, \dots, \alpha_{10}$ – ценностные коэффициенты, рассчитанные с учетом организационного устройства сети в интервале $[0;1]$.

С опорой на теорему умножения вероятностей и схему Бернулли рассчитывается степень вероятности возникновения события n_r для интегратора и элемента сети:

$$P_{\text{инт}}(n_r) = \prod_{i=1}^{N_{\text{р.инт}}} p_i(n_r), \quad (6)$$

где

$$p_i(n_r) = \begin{cases} \frac{a_i}{1 + \sigma_i \cdot (C_i(n_r) - 0)^2}, & \text{если } R_i(n_r) = 1 \\ 0,5, & \text{если } R_i(n_r) = 0 \end{cases};$$

$N_{\text{р.инт}}$ – объем исследуемых рисков взаимодействия интегратора.

В предложенной на рис. 2 модели архитектуры возникновения рисков $N_{\text{р.инт}} = 5 (R_{\text{инт.}i}, R_{\text{инт.с}}, R_{\text{инт.сп}}, R_{\text{инт.р}}, R_{\text{инт.рп}})$; a_i, σ_i – значения, обуславливающие тип кривой i -го риска интегратора.

Исходные данные, заложенные в имитационную модель, определяют значение параметров a_i и σ_i .

Имитационное моделирование дает возможность измерить и предсказать риски, возникающие в организационной сети при кооперации хозяйствующих субъектов. Математическая формализация исследуемой модели требует

измерения допустимой для хозяйствующего субъекта доли риска от кооперации в организационной сети и организация целесообразной экономической среды, учитывающей кооперационные риски.

Итак, разработанная модель архитектоники возникновения рисков в организационной сети основана на предшествующих исследованиях формирования пространственной сэндвич-модели

организационной сети и модели организационной сети с разделенными интересами и позволяет ранжировать влияние риска на элементы сети и интегратора в трехмерном пространстве. Представленная модель включает в себе главные концепции распределения риска при кооперации и работе хозяйствующих субъектов, объединенных в сетевую организационную структуру. ■

Литература

1. Alquier A. M. B., Tignol M. H. L. Risk Management in Small and Medium-sized Enterprises. *Production Planning & Control*. № 17 (3). 2014 Pp. 273–282. ISSN 0953-7287.
2. Altman E., Sabato G., Wilson N. The Value of Qualitative Information in SME Risk Management. CMRC, Leeds University Business School, UK. URL: http://people.stern.nyu.edu/ealtman/SME_EA_GS_NW (дата обращения 10.09.2019).
3. COSO (Committee of Sponsoring Organizations of the Tread way Commission). *Enterprise Risk Management – Integrated Framework*, Vol. 2. URL: <http://www.coso.org/ermintegratedframework.htm> (дата обращения 15.09.2019).
4. Garatwa W., Bollin C. Disaster Risk Management: Working Concept. Deutsche Gesellschaft für Technische Zusammenarbeit (GTZ), Eschborn. URL: <http://www2.gtz.de/dokumente/bib/02-5001.pdf> (дата обращения 17.09.2019).
5. Iskanius P. (2009). Risk Management in ERP Project in the Context of SMEs. *Engineering Letters*, 17 (4). URL: (дата обращения 26.09.2019).
6. Сай В. М. Формирование организационных структур управления : монография. – М. : ВИНТИ РАН, 2002. – 437 с. ISBN 900242-307.
7. Громов И. Д., Сай В. М. Моделирование взаимоотношений хозяйствующих субъектов элементарной организационной сети с разделенными интересами // *Современные проблемы транспортного комплекса России*. 2013. № 3. С. 199–208. ISSN 2222-9396.
8. Антропов В. А., Громов И. Д. Организационные показатели взаимодействия хозяйствующих субъектов промышленности в сети с разделенными интересами // *Вестник УрГУПС*. 2015. № 1. С. 29–37. ISSN 2079-0392.
9. Патюрель Р. Создание сетевых организационных структур // *Проблемы теории и практики управления*. 1997. № 3. С. 76–81.
10. Владимирова И. Г. Компании будущего: организационный аспект // *Менеджмент в России и за рубежом*. 1999. № 2. С. 58–72.
11. Громов И. Д. Формирование и оценка организационных сетевых структур с разделенными интересами (на примере холдинга «РЖД») : дис. ... на соиск. уч. ст. канд. техн. наук., защищена 24.12.2015 на заседании диссертационного совета Д 218.013.02 на базе федерального бюджетного образовательного учреждения высшего профессионального образования, Уральский государственный университет путей сообщения». – 127 с.
12. Курс экономики : учебник / под ред. Б. А. Райзберга. – М. : Инфра-М, 1997. 720 с.
13. Бассакер Р. Конечные графы и сети / Р. Бассакер, Т. Саати ; пер. с англ. – М. : Наука, 1973. – 368 с.
14. Ramos P. P. *Network Models for Organizations: The Flexible Design of 21st Century Companies*. New York : Palgrave Macmillan, 2011. – 192 p. ISBN 10-0-23032-016-3.
15. Сай В. М. Образование, функционирование и распад организационных сетей : монография / В. М. Сай, С. В. Сизый. – Екатеринбург : УрГУПС, 2011. – 270 с. ISBN 978-5-94614-199-4.
16. Филлипс Д. Методы анализа сетей / Д. Филлипс, А. Гарсиа-Диас. – М. : Мир, 1984. – 496 с.
17. Строгалева В. П. Имитационное моделирование / В. П. Строгалева, И. О. Толкачева. – М. : МГТУ им. Баумана, 2008. 280 с. ISBN 978-5-7038-3021-5.

18. Емельянов А. А., Власова Е. А., Дума Р. В. Имитационное моделирование экономических процессов : учеб. пособие. – М. : Финансы и статистика, 2002. 368 с. ISBN 5-279-02572-0.
19. Сай В. М., Громов И. Д. Количественная оценка организационной сети компании ОАО «РЖД» // Транспорт Урала. 2015. № 3 (46). С. 3–10. ISSN 1815-9400.

Literature

1. Alquier A. M. B., Tignol M. H. L. Risk Management in Small and Medium-sized Enterprises. Production Planning & Control. № 17 (3). 2014. Pp. 273–282. ISSN 0953-7287.
2. Altman E., Sabato G., Wilson N. The Value of Qualitative Information in SME Risk Management. CMRC, Leeds University Business School, UK. URL: http://people.stern.nyu.edu/ealtman/SME_EA_GS_NW. (reference date: 10.09.2019).
3. COSO (Committee of Sponsoring Organizations of the Tread way Commission). Enterprise Risk Management – Integrated Framework, Vol. 2. URL: <http://www.coso.org/erminegratedframework.htm> (reference date: 15.09.2019).
4. Garatwa W., Bollin C. Disaster Risk Management: Working Concept. Deutsche Gesellschaft für Technische Zusammenarbeit (GTZ), Eschborn. URL: <http://www2.gtz.de/dokumente/bib/02-5001.pdf> (reference date: 17.09.2019).
5. Iskanius P. (2009). Risk Management in ERP Project in the Context of SMEs. Engineering Letters, 17 (4). URL: (reference date: 26.09.2019).
6. Say V. M. Formation of management organizational structures: [Formirovanie organizatsionnykh struktur upravleniya : – M. : VINITI RAN] Monograph. – M.: VINITI RAS, 2002. – 437 pp. ISBN 900242-307.
7. Gromov I. D., Say V. M. Modelling of relationship of economic entities of elementary organizational network with separate interests // Contemporary problems of Russia's transport complex. [Modelirovanie vzaimootnoshenij khozyajstvuyushhikh sub"ektov elementarnoj organizatsionnoj seti s razdelennymi interesami // Sovremennye problemy transportnogo kompleksa Rossii.] 2013. № 3. P. 199–208. ISSN 2222-9396.
8. Antropov V. A., Gromov I. D. Organizational indicators of interaction among economic entities of industry in the network with separate interests // Herald of USURT. [Organizatsionnye pokazateli vzaimodejstviya khozyajstvuyushhikh sub"ektov promyshlennosti v seti s razdelennymi interesami // Vestnik UrGUPS] 2015. № 1. p. 29–37. ISSN 2079-0392.
9. Paturel R. Creating of network organizational structures // Problems of management theory and practice. [Sozdanie setevykh organizatsionnykh struktur // Problemy teorii i praktiki upravleniya] 1997. № 3. P. 76–81.
10. Vladimirova I. G. Companies of the future: organizational aspect // Management in Russia and abroad. [Kompanii budushhego: organizatsionnyj aspekt // Menedzhment v Rossii i za rubezhom] 1999. № 2. P. 58–72.
11. Gromov I. D. Formation and assessment of organizational network structures with separate interests (as by RZD holding company): [Formirovanie i otsenka organizatsionnykh setevykh struktur s razdelennymi interesami (na primere kholdinga «RZhD»)] diss...for Cand.of tech.sci., defended on 24.12.2015 at the dissertation board Д 218.013.02 housed at the federal budgeting educational institution of higher vocational education Ural state university of railway transport. – 127 pp.
12. A course in economics: textbook / edit .by B. A. Rizeberg. – M.: Infra-M. [Kurs ekonomiki : uchebnik / pod red. B. A. Rajzberga. – M. : Infra-M] 1997. 720 pp.
13. Bassacker R. Ultimate graphs and networks / R. Bassacker, T. Sahati; transl. from Eng. – M.: Nauka, [Konechnye grafy i seti / R. Bassaker, T. Caati ; per. s angl. – M. : Nauka] 1973. – 368 pp.
14. Ramos P. P. Network Models for Organizations: The Flexible Design of 21st Century Companies. New York : Palgrave Macmillan, 2011. – 192 pp. ISBN 10-0-23032-016-3
15. Say V. M. Education, functioning and disintegration of organizational networks: monograph / V. M. Say. S.V. Sizyj. [Obrazovanie, funktsionirovanie i raspad organizatsionnykh setej : / V. M. Saj, S. V. Sizyj] – Yekaterinburg: USURT, 2011. – 270 pp. ISBN 978-5-94614-199-4.
16. Phillips D. Methods of network analysis / D. Phillips, A. Garcia-Dias. – M. : Mir, [Metody analiza setej / D. Fillips, A. Garsia-Dias. – M. : Mir] 1984. – 496 pp.

17. Strogalev V. P. Imitational modeling / V. P. Strogalev, I. O. Tolkacheva. – М.: MSTU named after Bauman, [Imitatsionnoe modelirovanie / V. P. Strogalev, I. O. Tolkacheva. – М. : MGTU im. Baumana] 2008. 280 pp. ISBN 978-5-7038-3021-5.
18. Emelyanov A. A., Vlasova E. A., Duma R. V. Imitational modeling of economic processes : teaching manual. – М.: Finance and statistics. [Imitatsionnoe modelirovanie ekonomicheskikh protsessov : ucheb. posobie. – М. : Finansy i statistika] 2002. 368 pp. ISBN 5-279-02572-0
19. Say V. M., Gromov I. D. Quantitative assessment of RZD JSC organizational network // Transport of the Urals. [Kolichestvennaya otsenka organizatsionnoj seti kompanii OAO «RZhD» // Transport Urala] 2015. № 3 (46). p. 3–10. ISSN 1815-9400.

Статья сдана в редакцию 22 октября 2019 года

Уважаемые коллеги!

Информирую вас о требованиях, предъявляемых к оформлению статей.

При наборе используйте Word-2003 или Word-2007; шрифт (по всему тексту, в том числе в рисунках и таблицах) – тип Times, размер шрифта – 14, межстрочное расстояние – 1,5, абзацный отступ – 1,25 (1,27) см, поля – 2 см; расстановка переносов по всему тексту – автоматическая.

Набор формул: простые формулы и сочетания символов ($x^2 < y^2$; $E = mc^2$; $a^2 + b^2 = c^2$; Q_{i-1} ; ψ_j) – только в текстовом режиме, сложные

$$(s^2 = \frac{1}{n-1} \left[\sum_{j=1}^e x_j^2 n_j - \frac{1}{n} \left(\sum_{j=1}^e x_j n_j \right)^2 \right]; \left(\frac{\sigma_a}{[n]} \right)$$

или S_i^m) – только в редакторе формул

Equation или в MathType.

Написание букв: русские (а, б, в, А, Б, В), греческие (Θ, Σ, Ω, Ψ, α, β, δ, ε, λ, π), а также цифры и аббревиатуры (1, 2, 3; I, II, III; max, lg, sin и т. п.) пишутся только прямо; латинские (a, b, n, A, B, N и т. д.) – только курсивом. Исключение – курсив во вспомогательном тексте (слова «Таблица» и «Рис.», примечания в рисунках и ссылки в тексте на эти примечания).

Оформление текста: левый верхний край – инициалы, фамилия; заголовков – все буквы ПРОПИСНЫЕ, жирные, расположение – по центру набора; таблиц и рисунков: в таблицах размер шрифта – на полтора-два размера меньше, чем в основном тексте (11,5–12), расположение текста в «шапке» таблицы – по центру, в столбцах – по ширине; межстрочное расстояние – 1; слово «Таблица» – курсивное начертание, в правый край таблицы; название таблицы – начертание нормальное (прямое), расположение – по центру таблицы. В рисунках (графиках, диаграммах): размер подрисуночной

подписи – 14, расположение – по центру набора, слово «Рис.» – курсив, название рисунка – нормальное начертание, описание рисунка (экспликация) – нормальное начертание, условные обозначения – курсивное начертание, их расшифровка – нормальное. Расположение таблиц и рисунков – строго после ссылки на них.

Кроме того, рисунки обязательно прилагаются к материалу (один рисунок – один файл; формат – *.jpg).

Ссылки на литературу в тексте пишутся в квадратных скобках ([1], [1, 2] или [3–5]); нумерация сквозная. Список литературы/источников оформляется по ГОСТ 7.0.5–2008.

В конце статьи обязательно ставится дата отсылки материала в редакцию.

Объем статьи – не более 14-ти страниц.

Название файла: Фамилия. Первое слово заголовка. Подчеркивание. Последнее слово заголовка (Сидоров. Синтез_электроприводом).

К материалу (статье) обязательно прилагаются (отдельным файлом): УДК, сведения об авторе, аннотация, ключевые слова (название файла: УДК 000. Сидоров. Синтез_электроприводом).

Материалы для очередного номера журнала «Вестник УрГУПС» принимаются до 30 числа первого месяца квартала (до 30-го января, 30-го апреля, до 30-го июля, до 30-го октября). Материалы, поступившие в редакцию после 30-го числа, будут опубликованы только в следующем номере.

Успешной работы!

*Л. Барышникова,
литературный и выпускающий
редактор журнала «Вестник УрГУПС»*

Уважаемые читатели и авторы журнала «Вестник УрГУПС»!

Если вам нравится наш журнал, вы можете оказать содействие в его развитии, перечислив денежные средства по реквизитам:

Ассоциация выпускников УЭМИИТ-УрГУПС

ИНН-КПП 6670317893/667001001

ОГРН 1156600001470

620075, Свердловская обл., г. Екатеринбург, ул. Шевченко, д. 20, помещение 1

Р/с 40703810863010000192

в ПАО КБ «УБРИР» филиал ССБ

к/с 30101810900000000795

БИК 046577795

Назначение платежа: «Пожертвование для поддержки научных журналов УрГУПС».

Ваша финансовая поддержка позволит нам увеличить число публикаций, повысить индексы цитирования журнала и наших авторов.

Уважаемые руководители инновационных компаний и предприятий!

Предлагаем вам услуги по продвижению вашей продукции через сеть Ассоциации выпускников УЭМИИТ-УрГУПС.

Ассоциация выпускников УЭМИИТ-УрГУПС – это кооперация большого числа неравнодушных людей различных сфер деятельности, окончивших наш университет.

Кроме того, предлагаем услуги по подбору молодых специалистов, по организации поиска решений прикладных и научных задач в рамках диссертационных работ, выполняемых в УрГУПС.

Всю необходимую информацию вы можете получить по тел. (343) 221-25-60

или на сайте <http://www.usurt.ru/vypusnikam/assotsiatsiya-vypusnikov-urgups>

Извещение	<p>Получатель: Ассоциация выпускников УЭМИИТ-УрГУПС</p> <p>КПП: 667001001 ИНН: 6670317893</p> <p>ОКТМО: 65701000 Р/сч.: 40703810863010000192</p> <p>в: ПАО КБ «УБРИР» филиал ССБ</p> <p>БИК: 046577795 К/сч.: 30101810900000000795</p> <p>Код бюджетной классификации (КБК): _____</p> <p>Платеж: Пожертвование для поддержки научных журналов УрГУПС</p> <p>Плательщик: _____</p> <p>Адрес плательщика: _____</p> <p>ИНН плательщика: _____ № л/сч. плательщика: _____</p> <p>Сумма: _____ руб. _____ коп.</p> <p>Подпись: _____ Дата: «____» _____ 2020 г.</p>
Квитанция	<p>Получатель: Ассоциация выпускников УЭМИИТ-УрГУПС</p> <p>КПП: 667001001 ИНН: 6670317893</p> <p>ОКТМО: 65701000 Р/сч.: 40703810863010000192</p> <p>в: ПАО КБ «УБРИР» филиал ССБ</p> <p>БИК: 046577795 К/сч.: 30101810900000000795</p> <p>Код бюджетной классификации (КБК): _____</p> <p>Платеж: Пожертвование для поддержки научных журналов УрГУПС</p> <p>Плательщик: _____</p> <p>Адрес плательщика: _____</p> <p>ИНН плательщика: _____ № л/сч. плательщика: _____</p> <p>Сумма: _____ руб. _____ коп.</p> <p>Подпись: _____ Дата: «____» _____ 2020 г.</p>

ф. СП-1



АБОНЕМЕНТ

на ~~газету~~
журнал

70070

(индекс издания)

Вестник УрГУПС

(наименование издания)	Количество комплектов:	
------------------------	------------------------	--

на 2020 год по месяцам:

1	2	3	4	5	6	7	8	9	10	11	12
X	X	X	X	X	X						

Куда

(почтовый индекс)

(адрес)

Кому

(фамилия, инициалы)

ДОСТАВОЧНАЯ КАРТОЧКА

ПВ	место	литер

на ~~газету~~
журнал

70070

(индекс издания)

Вестник УрГУПС

(наименование издания)

Стои- мость	подписки	руб. ____ коп.	Количество комплектов:	
	переадресовки	руб. ____ коп.		

на 2020 год по месяцам:

1	2	3	4	5	6	7	8	9	10	11	12
X	X	X	X	X	X						

Куда

(почтовый индекс)

(адрес)

Кому

(фамилия, инициалы)